

特集

無線による高速データ伝送が身近になってきた！



[表紙デザイン：(株)プランニング・ロケッツ]

27 ワイヤレスネットワーク技術入門

Introduction to wireless network technology

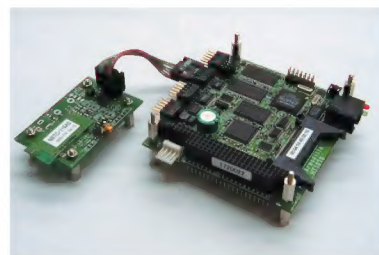
第1章 IEEE802.11方式を中心とした

28 ワイヤレスネットワーク技術の現況

阪田 徹

Chapter 1 Present condition of the wireless network technology

Tetsu Sakata



第2章 Linux上で動作する無線通信システムを構築する

48 Bluetoothプロトコルスタックの開発と検証

中野敬仁

Chapter 2 Development and verification of Bluetooth protocol stack

Yukihito Nakano



第3章 無線LANの基本技術を実装する

59 OFDM 無線モデムの基礎技術と設計事例

西村芳一

Chapter 3 Basic technology and design examples of OFDM wireless modem

Yoshikazu Nishimura



第4章 広い帯域を利用し、100Mbps以上の伝送を実現する

84 60GHz帯を使った高速無線伝送技術

莊司洋三/辻 宏之

Chapter 4 High speed wireless transfer technology by 60GHz band

Yozo Shoji/Hiroyuki Tsuji

第5章 数GHzの広帯域を使い、低消費電力で100Mbps以上の伝送速度を実現する

100 超広帯域 (UWB) ワイヤレス通信の基礎と動向

河野隆二

Chapter 5 Basics and trends in Ultra Wideband wireless communication

Ryuji Kohno



話題のテクノロジー解説

- 122 保護機能をもった μ ITRON仕様準拠カーネル
Hyper ITRONと μ ITRON4.0/PX仕様の解説
 Explanation on specifications of Hyper ITRON and μ ITRON4.0/PX
- 140 フリーソフトウェア徹底活用講座 (第6回)
GCCのインストールとC言語におけるGCCの拡張機能
 GCC installation and expanded functions of GCC in C language
- 147 光デジタルオーディオ入出力対応
デジタルオーディオボードの設計/製作
 Design and production of digital audio board
- 157 音楽配信技術の最新動向 (第1回)
音楽配信技術について——Ogg Vorbis
 About music distribution technology ——Ogg Vorbis



金田一勉
Tsutomu Kindaichi

岸 哲夫
Tetsuo Kishi

山武一朗
Ichiro Yamatake

岸 哲夫
Tetsuo Kishi

ショウレポート&コラム

- 13 組み込み技術の総合展示会
Embedded Technology 2002
 Embedded Technology 2002
- 15 家電機器をもネットワーク化するインフラ
Universal Plug and Play Asia Summit in TOKYO
 Universal Plug and Play Asia Summit in TOKYO
- 19 フジワヒロタツの現場検証 (第67回)
周期
 A cycle
- 171 ハッカーの常識的見聞録 (第26回)
デジカメとPC共用CFカードはバックアップを忘れずに
 Don't forget to back-up CF card shared in digital camera and PC
- 172 シニアエンジニアの技術草子 (貳拾四之段)
人間は考える葦である
 Man is a thinking reed
- 174 Engineering Life in Silicon Valley
起業・独立のステップ
 Steps for opening a business and independence
- 182 IPパケットの隙間から (第52回)
物持ちが良い人々の話
 A story on people who treat and keep things well



北村俊之
Toshiyuki Kitamura

SUGATECH

Hiroatsu Fujiwara

広畑由紀夫
Yukio Hirohata

旭 征佑
Shousuke Asahi

H.Tony Chin

祐安重夫
Shigeo Sukeyasu

一般解説&連載

- 114 開発技術者のためのアセンブラ入門 (第15回)
2進演算命令の加減算
 Addition and subtraction in a binary operation instruction
- 130 インターネットを使った音声通話の実現
IP電話システムの概要と現状
 Summary and present condition of IP telephone system
- 134 開発環境探訪 (第15回)
C言語のソースコードを読みやすく整形する——GNU indent
 Adjusting C language source code to be readable —— GNU indent
- 162 やり直しのための信号数学 (第14回)
FFTによる信号処理応用 (システム設計編 I)
 Signal operation application with FFT (system design I)

大貫広幸
Hiroyuki Oonuki

太田博之
Hiroyuki Ohta

水野貴明
Takaaki Mizuno

三谷政昭
Masaaki Mitani

■情報のページ

- 17 Show & News Digest
- 176 NEW PRODUCTS
- 183 海外・国内イベント/セミナー情報
- 184 読者の広場
- 186 次号のお知らせ



Embedded Technology 2002

北村俊之

「あなたが求める『組み込み技術』が必ず見つかる一週間!」をテーマに「Embedded Technology 2002」が11月20日(水)~22(金)の3日間、パシフィコ横浜で開催された(写真1)。主催は、(社)日本システムハウス協会。名称を「MST」から「Embedded Technology」に変更した同展示会は、今年で通算16回目を迎え、出展社数270団体、カンファレンス総数120セッションと規模を大幅に拡大しての開催となった。

昨年に引き続き、「インドパビリオン」をはじめ海外からの参加も増大し、大学研究室の出展コーナーである「ユニバーシティパビリオン」(写真2)も充実が図られていた。また、「システムハウス・SIパビリオン」、「テスト&メジャメントゾーン」、「プラットホームゾーン」など、時代のニーズに応えた出展企画も多く見られた。展示会の前日2日間には、12コース設けられたチュートリアルも開催され、今回は初めての試みとして注目を集めていた。最終的な延べ来場者数は、3日間で16,741人に達した。

● 注目される展示物

先頃、タブレットPCの発表で話題を集めたマイクロソフトは、「Windows CE.NET 4.1」および「Windows XP Embedded」を中心に展示を行っていた。同社のパートナーパビリオンでは、10社以上のパートナー企業がEmbedded Windowsを利用した多彩なソリューションを展示しており、注目を集めていた(写真3)。

〔写真3〕マイクロソフトのパートナーパビリオン

エンジニアリングサポートを含むプログラマブルシステムソリューションを提供するサイリンクスは、「Virtex-Ⅱ Pro」、「Spartan-Ⅱ E」、「ISE5.1i」、「CoolRunner-Ⅱ」などのFPGA、ソフトウェア開発ツールなどの展示を行っていた。とくに、開発システムである「ISE5.1i」は、来場者の注目が高いとのことであった。

ウィンドリバーは、リアルタイムOS[VxWORKS]や統合開発環境「Tornado」、インテリジェントデバイスのソフトウェア開発を支援するプラットホームなどを展示していた。

リアルタイムOSや多彩なミドルウェアを展示していたのがグレープシステムである。「ThreadX-μ ITRON」はCISCで最小約2.5KバイトのコンパクトなRTOSで、同等クラスでは業界No.1の速度を誇るという。また、同社ではT-Engine対応のUSB、Bluetooth、FTP、HTTPなどのミドルウェアも注目度が高いという。「GR-USB/OTG」は、組み込みシステム用のUSB OTG機能を提供するものだ。



〔写真1〕入場口の様子



〔写真2〕ユニバーシティパビリオン

富士通は、Bluetooth、ブロードバンドルータ、マイクロコントローラなどを中心に展示を行っていた。ブロードバンドルータソリューションは、双方向100MHzフルレート転送を実現するホームブロードバンドルータ向けIPパケット高速処理LSIの紹介を行っていた。また、SoC開発環境では、UMLとC言語をベースとしたシステムLSI設計手法の紹介を行っていた。

T-Engineプロジェクトに早い時期から参加していたパーソナルメディアは、日立製作所、三菱電機のCPUを利用したT-Engine開発キットの新製品やソリューションを多数展示していた。ITS Japanおよび自動車走行電子技術協会は、テレマティクスサービスやプローブ情報システム、インターネットITSシステムなど最新車載技術の展示を行っており、来場者の注目を集めていた(写真4)。日本テキサスインスツルメンツは、DSPの新製品、製品のロードマップ、開発ツールなどを中心に展示を行っていた。WLAN、デジタルスチルカメラ向けのソリューションなどのデモも行っており、パートナー

企業19社によるソリューションの展示も注目を集めていた。

開発ツール「CodeWarrior」を中心とした開発ソフト、ハードウェアおよび総合的なサービスを提供するメトロワークスは、「Symbian OS」、「Tao intent」をはじめとするJavaやEmbedded Linuxなどの最新テクノロジーを展示していた(写真5)。イーソルはコンフィギュレータ、ビルダ、デバッグテストツール、品質向上テストツールなどの機能を搭載する「eBinder」を中心とした展示を行っていた。

QNXソフトウェアシステムズは、MIPS、ARMなど多様なターゲットに対応し、開発者にあった言語と開発ホストを使用できる「QNX Momentics開発スイート」の展示を行っていた(写真6)。



〔写真5〕Metrowerks Embedix SDKの展示



〔写真6〕QNX Momentics 開発スイートの展示

アームは、最新の「RealView」開発ツールの概要をデモを交えながら行っていた。同製品はSoC設計やSoC統合に向けた統合的なツールであり、ファーストシリコンの信頼性の向上と製品化までの期間を大幅に短縮することである。こちらのブースでも20社近くのパートナー企業が、ARMテクノロジーを利用したソリューションの展示を行っていた(写真7)。

サイバネットシステムは、テキサスインスツルメンツ社製DSPに対するトップダウン設計ツールである「Embedded Target for Texas Instrument C6000 DSP」および「MATLAB Link for Code Composer Studio Development Tools」を紹介し、実機デモを行っていた(写真8)。



〔写真7〕RealViewによる開発を展示していたARM



〔写真8〕DSPデザインとMATLABの連携に力を入れるサイバネット

Universal Plug and Play Asia Summit in TOKYO

SUGATECH

北米以外では初の開催となる UPnP Asia Summit in TOKYO が、11月11日と12日の両日、東京フォーラムで開催された。これまでインテルの IDF-J やマイクロソフトの Plugfest 内で UPnP に関する技術情報が公開されてはいたが、UPnP フォーラムのメンバーが開発者を対象として日本国内で動向を紹介するのは初めてのことであり、235名の参加者が会場に集まった。

● 基調講演

UPnP 運営委員会のメンバーであるマイクロソフトの加治佐氏の基調講演に始まり、技術情報以外にも、フォーラムにおける現状の活動内容や今後の方針が説明された(写真1)。現在日本から参加し、各運営委員会の主要メンバーとなっているソニー、キヤノン、三菱電機、リコーの4社からはそれぞれの運営委員会の状況が紹介され、製品デモも行われた。



〔写真1〕マイクロソフトの加治佐氏

● UPnP の動向

UPnP 自身がめざすところは、パソコン周辺機器やコンシューマ機器をネットワークに接続し、お互いに情報を共有して制御を可能とすることだが、ネットワーク上で機器の接続と制御を容易にするための仕様書(UPnP Version 1)が策定された。仕様書は運営委員会ごとに発行され、最初の仕様書としては、2001年11月にインターネットゲートウェイ運営委員会によるものがある。その結果として、各社のブロードバンドルータが UPnP 対応を始めている(写真2)。



〔写真2〕Linksys のワイヤレスアクセスポイントルータ

イメージング(プリンタとスキャナ)、オーディオ/ビデオの仕様書は2002年夏から秋にかけて策定を完了しているので、今後各社から対応機器の発表が期待される。もともと PC の周辺機器であるルータやプリンタそしてスキャナなどが UPnP を導入することは当然の進歩といえるが、UPnP はさらにコンシューマ機器との融合をめざしている。そのため、UPnP Audio/Video や UPnP Home Automation といった運営委員会が発足している。

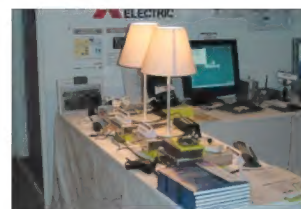
ソニーによるデモでは、VAIO 上のコンテンツを、VAIO ルームリンクに接続されたテレビにリモコンからコンテンツ配信の制御を行っていた(写真3)。UPnP AV(オーディオ/ビデオ)の仕様ではコンテンツを配信する側をメディアサーバ、再生機能をもつデバイスをレンダラと呼び、リモコンにあたるコントロールポイントが二つのデバイスの制御を行う。この分野の製品としてレンダラとコントロ



〔写真3〕VAIO を使ったソニーのデモ

ールポイントが一つになった再生デバイスが普及すると予測される。UPnP AV 仕様ではストリーミングのプロトコルとデータフォーマットは規定せずに互換性のチェックのみを行うため、デバイス開発者は独自のストリーミングプロトコルやデータフォーマットを採用することができる。

UPnP Home Automation 運営委員会では、ホームオートメーションに関する DCP(Device Control Protocol)の策定を行っており、照明機器や防犯カメラ/システム、電力システムなどの制御やモニタを UPnP によって実現することをめざしている。三菱は電力線を利用した PLC(Power Line Control)ネットワークと UPnP ネットワークを、イスラエルの ITRAN 社が開発した IT800 モデムによって結合し、コントロールポイントである Pocket PC で制御するデモを行っていた(写真4)。PLC ネットワークに接続される照明機器などのデバイスは IP アドレスをもっていないため、実際の制御は PLC モデム間で行われる。すでに家庭内に引き回されている電力線を、インフラとしてそのまま利用できるのが最大のメリットである。

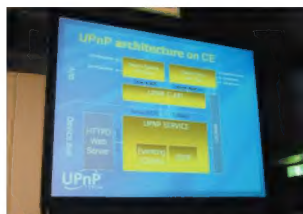


〔写真4〕三菱電機の電力線による PLC ネットワーク

また、METROLINK 社では、家電製品を UPnP TCP/IP ネットワークで簡単に結合するソリューションを提示していた。三菱との共同開発による M16C 評価ボードに同社の IPWorks OS を搭載することで、完全な UPnP インフラを必要としないピアツーピアでの機器接続が可能であるという。写真5のデモは CD-ROM プレーヤーで再生した音楽を、UPnP 経由で接続されたスピーカで再生するというもので、独立したコントロールポイントを必要としないことが特徴だ。



〔写真5〕M16C ボードを使用した METROLINK 社のデモ



〔写真6〕UPnP の Windows CE における対応

今回のフォーラムでは、各社が提供している UPnP の開発環境の説明も行われた(写真6)。米国インテルからは、インテル UPnP コア SDK や UPnP 対応の技術ツール、米国マイクロソフトからは Windows CE .NET SDK などがデモを交えて紹介された。Windows CE 上ではデバイスをホストとする API、コントロールポイント API そしてブリッジ機能がサポートされるため、PlatformBuilder を使用してアプリケーションからデバイスまでの開発が可能であるという。

また、日本国内での一般フォーラムとしては異例の長さの質疑応答が行われた(写真7)。何点かの回答を紹介すると、UPnP V2 の策定終了は2004年以降となるので、これから開発するメーカーは V1 仕様で製品化すべきであるということ。V2 では IPv6 のサポートが要求されるが、IPv4 の利用を可能とする自動トンネリングがサポートされるという。



〔写真7〕質疑応答のようす

バージョンアップ機能をもった μITRON仕様OSの開発を開始

■日時：2002年11月20日(水)
■場所：パシフィコ横浜(神奈川県横浜市)

Embedded Technology 2002でのプレス発表において、(株)エーアイコーポレーションとTOPPERS/IDLプロジェクトチームにより、バージョンアップ機能をもったμITRON仕様OSの開発が開始されることが発表された。

従来のμITRON仕様では、モジュールを静的にリンクしておく必要があり、ソフトウェアのバージョンアップなどを行うためには工場などで全体更新を行うか、2倍のメモリを用意して通信で入れ替えるなどの方法が必要だった。

今回発表されたIDL(μITRON with Dynamic Loading)は、動的リンクを行う際にサーバの存在を前提とし、サーバ上でリロケート作業を行い、

作成したモジュールを機器にダウンロードするというものである。

質疑応答では、機器のメモリマップなどの情報をサーバへ送信することに対する不安の声も上がったが、送信データ暗号化などの機能は機器の別のレイヤで実現しているため、IDLそのものには盛り込まなかったとのことだった。

エーアイコーポレーション
の加藤博之氏

プレス発表会



Phil Pompa氏に AMD Alchemyソリューションを聞く

■日時：2002年11月20日(水)
■場所：パシフィコ横浜(神奈川県横浜市)

Embedded Technology 2002の会場で、AMDのVice President of MarketingであるPhil Pompa氏に、同社の組み込み向けソリューションについてインタビューを行った。

編 今回発表されたAlchemyソリューションについて教えてください。

Phil Pompa AlchemyはMIPS32をコアとし、SDRAMコントローラ/PCI/USB/Ethernet/IrDA/AC97/UART/LCDコントローラなどを1チップにまとめたソリューションだ。内蔵周辺機能の種類により、Au1000/Au1100/Au1500の3種類のラインナップがあり、どれも最高500MHzで動作する。

編 組み込みCPUとしてはかなり豊富な機能を搭載しているが、消費電力や価格の不安はないのか？

P 各周辺機能ブロックは、それぞれ独立にクロックの供給を止めることができる。また、周辺機能製品の有無によりラインナップを増やすことはせず、3種類のみにしたことにより、チップのコストダウンにつながって

いる。

編 同時発表のワイヤレスLANソリューションについても教えてください。

P Am1772は、2チップ構成の802.11b対応ワイヤレスLANチップセットだ。ホストI/FがDMAに対応しているほか、チップ構成を見直し、A-D/D-Aを前段に移すことにより、アナログ信号を長距離引き回すことがなくなった。そのため、デザインの自由度が増している。

編 今後のロードマップを教えてください。

P AlchemyとAm1772を1チップに統合したソリューションを提供する予定だ。

Phil Pompa氏



RadiSys, Ron Dilbeck氏への インタビュー

■日時：2002年11月8日(金)

インテル系の組み込み用途向けボードコンピュータなどを開発・販売しているラディシス・コーポレーション(RadiSysCorp. <http://www.radisys.com/>)のChief Operating Officer(COO)であるRon Dilbeck氏にインタビューを行った。ラディシスはリアルタイムOS「OS-9」の開発ベンダーであるマイクロウェア・システムズを2001年に買収した。

編 御社について簡単に紹介してほしい。

Dilbeck もともと創業者がインテルx86シリーズのチーフエンジニア出身ということもあり、インテル系のハードに強く、長期供給保証/高信頼性のボードコンピュータを提供している会社だ。

編 マイクロウェア買収の経緯と、その成果などは？

D 買収以前に、マイクロウェアのOS-9がXP1200ネットワークプロセッサをサポートするとき、一緒に作業した。同社が買収先を探していると

聞いて手を上げ、互いに条件が折り合った。買収による効果としては、顧客の幅が広がったことがあげられる。ボードビジネスでは新規ながら、すでにOS-9の顧客だった会社からハードの新規受注を受けるなど、良い効果が出てきた。日本のメーカーは性能や信頼性などに対する要求が厳しいが、医療分野などでの組み込み機器市場の成長が見込めると期待している。

Ron Dilbeck氏





フジワラヒロタツの現場検証 (67)

周期

寒い日が続いていますが、風邪などお召しになっていませんか。凍てついた季節、まどろみの布団から抜け出して出社するのは本当に辛いものです。しかも仕事による慢性的な睡眠不足に加え、ストレス発散のために時折飲みに出ちゃったりするものですから、なおさら自分の首を絞めています(夜になると目が冴えるものですから、ついつい朝の事情を忘れてしまうというわけで....)。

季節も、日本経済も、ついでに自分の懐も冬の時代。せめて仕事だけは順調に....と思うのですが、やはりそうはいきません。うまく動かないプログラムを前に、思わず嘆息してしまいます。筆者は近頃でこそ物事を前向きに考えるようになってきましたが、SF好きでマンガ描きであり、コンピュータもハードじゃなくてソフトを選んだことからもおわかりになるように(!)、悪いほうに物事を考えるほうが得意です。

冬、寒さに身をさらして鉄道のレールを凝視しつつ通勤電車を待っていたりすると、思わずそういった「本性」がむくむくと身をもたげてきます。

こんなにデバッグが進まないのはやはり才能がないからなのだ、やはりこの仕事は向いていないのだと、何もかも嫌になって、転職する自分を空想していきます。ハンバーガーショップでひたすらハンバーガーをつくる自分、古本屋で働く自分、年金暮らしをする自分(さすがに年金をもらえるのはまだまだ先の話)。なんてすばらしい自分でしょう! もうそこにはバグ表も、単体テストも、なぜかいつも線表から二日遅れになる進捗報告

すらないのです!!

こういった「へこむ」時期は、筆者にとって周期的に訪れるようで、そのたびに自らの才能のなさや適応できない職業生活を通して絶望的な気持ちになります。青雲の志に燃えて購入したソフトウェア工学の冊子群は「序」と「日本語版に向けての序」を読んだだけで日経**の下に埋もれていますし、目の前のデバッグに追われつつの食べ物は、カップラーメンとカップうどん、牛丼とカツ丼、カレーライスとライスカレーばかりです。

ソフトウェアのテスト工程の打ち切り方の一つに、テストで出たバグの個数をプロットしていき、その個数がある程度落ち着いてきたならば品質が安定したと見てテストを終えるという考え方があります。はて、筆者の品質は安定しているのでしょうか? いつも慣れたあたりでほかの分野に手を出して、初期不良が多いテスト初期のバグ件数をキープしたまま、安定期にはほど遠い職業生活を繰り返すのではありますまいか。

しかし最近、良いストレス解消法を見つけました。夜中にこっそり、自宅の皿洗いをします。皿洗いはやればやっただけ、確実に成果が上がります。決してデバッグのように後戻りしないのです。これは素晴らしいことで、デバッグではとうてい得られない達成感を獲得することが、才能のないプログラマ風情にも存分に味わえるのです! さらに、コビトさんがきたコビトさんがきたと家人が喜んでくれるという、これまたプログラマには減多にない、感謝まで味わえることも確実なのです。

藤原弘達 (株)JFP デバイスドライバエンジニア、漫画家

無線による高速データ伝送が身近になってきた！

特集

ワイヤレス ネットワーク技術入門

最近、各種無線 LAN や Bluetooth などのワイヤレスネットワークが、手軽にネットワークを構築/拡張する手段として注目を集めている。そこでまず、現在もっとも普及している IEEE802.11 方式の無線 LAN の技術や標準化動向などを中心に、無線 LAN の基礎から標準化動向までを解説する。

次に、Linux 上で動作する Bluetooth プロトコルスタックとその評価ボードに関して、技術的詳細と使用例を解説し、実際に Bluetooth 対応製品を開発したときの問題点も考察する。

そして、無線 LAN の標準規格 IEEE802.11a で変調方式として使われる OFDM について基礎原理を説明し、OFDM データモデムの設計事例を紹介しながら、開発のポイントをくわしく解説する。

また、100Mbps 以上のデータ伝送を実現する、60GHz 帯の電波を使った無線伝送技術の基礎と、課題となる周波数安定性の問題を解決するための「ミリ波自己ヘテロダイン伝送方式」について説明する。最後に、前述した 60GHz 帯の電波を使うのとは違うアプローチ、つまり搬送波を用いずに 1ns 以下の非常に時間幅の短いパルスを用いて通信を行い、100Mbps 以上の伝送速度を実現する通信方式「UWB」に関して、技術的課題と法制度化を含む今後の発展性について基礎から解説する。

1 IEEE802.11 方式を中心とした ワイヤレスネットワーク技術の現況

阪田 徹

2 Linux 上で動作する無線通信システムを構築する Bluetooth プロトコルスタックの 開発と検証

中野敬仁

3 無線 LAN の基本技術を実装する OFDM 無線モデムの基礎技術と 設計事例

西村芳一

4 広い帯域を利用し、100Mbps 以上の伝送を実現する 60GHz 帯を使った高速無線伝送技術

荘司洋三/辻 宏之

5 数 GHz の広帯域を使い、低消費電力で 100Mbps 以上の伝送速度を実現する 超広帯域 (UWB) ワイヤレス通信の 基礎と動向

河野隆二

ワイヤレスネットワーク 技術の現況

● 阪田 徹

オフィスはもとより、家庭内においても情報化が進み、パソコンは一家に一台から、一人一台の時代となってきている。インターネットの急速な普及とパソコンや周辺機器の増加により、ネットワーク構築の要望は当然高まってきている。近年、各種無線 LAN や Bluetooth などのワイヤレスネットワークが、手軽にネットワークを構築・拡張する手段として注目を集めている。なかでも、2.4GHz 帯の電波を用いた無線 LAN 機器は、コンシューマ向け製品の低価格化にともない爆発的な普及が進んでいる。本章では、現在もっとも普及している IEEE802.11 方式の無線 LAN の技術や標準化動向などを中心に、無線 LAN について解説する。

(筆者)

● 無線 LAN の特徴

無線 LAN は、ネットワークを構築する際にネックとなるケーブル敷設の問題を解決する有力な手段として普及してきた。さらに、ノートパソコンや PDA といった携帯型情報端末の普及により、端末を移動して使いたいといった要望に応えるものとして期待されている。

このように無線 LAN の特徴は、

- ケーブル敷設の煩雑さから開放されるため、既設住宅などへの LAN 構築の自由度、拡張性を提供できる
- 通信媒体が無線であることから、端末の可搬性、ユーザーの移動性を損なわないで、通信エリア内のいたるところからネットワークへのアクセスを可能とする利便性を提供できる

という点にある。

前者は無線 LAN の原点ともいえるもので、「配線」の呪縛から解放されたいといった要望であるが、後者は、無線という特徴と携帯型端末の組み合わせにより、新たなサービスへの発展を望むものと考えられる(図1)。

● 無線 LAN の発展と普及

オフィスや家庭内に増加する情報機器を結ぶワイヤレスネッ

トワークも、ブロードバンド化の波を受けて発展してきている。ISDN おもなアクセスラインであり、伝送速度が kbps レベルだった時代は、PHS や 2.4GHz 帯無線 LAN (IEEE802.11, ~2Mbps) を適用したワイヤレス TA などがネットワークのワイヤレス化に利用されてきた。しかし、近年の爆発的な ADSL、CATV などの普及によるブロードバンド化にともない、ワイヤレスネットワークにも広帯域化が望まれていた。そこで、アクセスラインに対応した伝送速度をもつ 2.4GHz 帯無線 LAN (IEEE802.11b, ~11Mbps) が、1999 年のアップルコンピュータ社の AirPort の発売をきっかけとした機器の低価格化もあいまって、広く普及してきている。

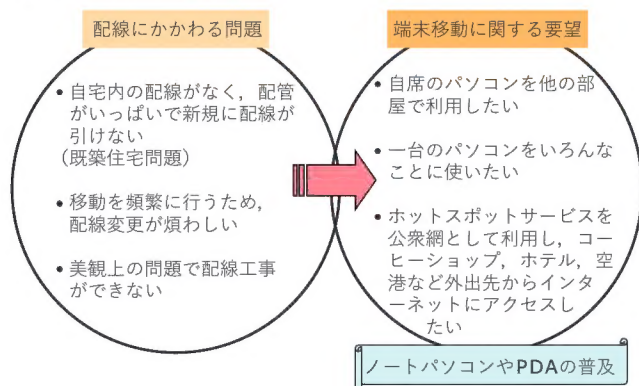
さらに 2001 年後半からは、より広帯域かつ他のシステムとの干渉のない 5GHz 帯を用いた無線 LAN (IEEE802.11a, ~54Mbps) が製品化され、ブロードバンド時代のワイヤレスネットワーク媒体として無線 LAN が市民権を得るにいたった(図2)。現在、今後来たるべき光ブロードバンドの時代に向けた広帯域伝送化(100Mbps 級)を実現する超高速無線 LAN の検討が進められている。

● 公衆無線 LAN サービスへの展開

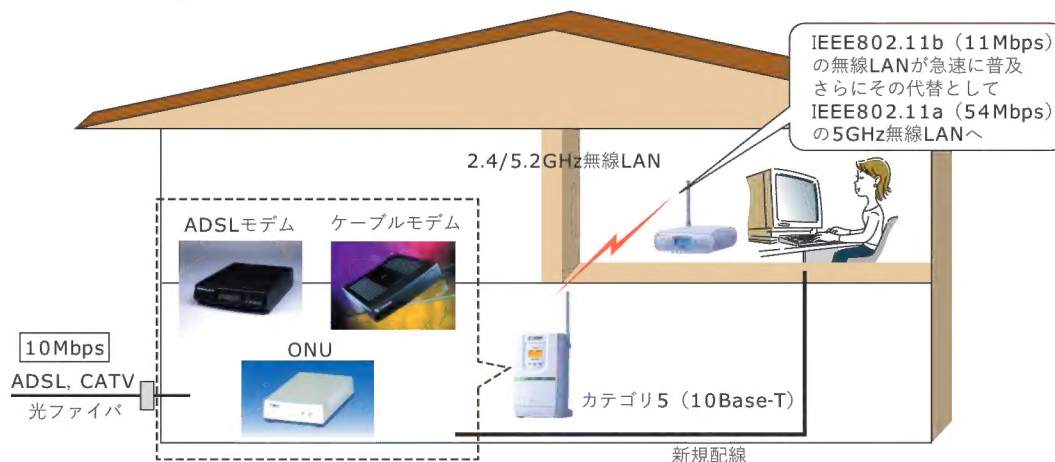
ノートパソコンの普及とともに、外出先でもブロードバンド環境を享受したいという要望が高まっている。家庭、オフィス、外出先などでシームレスなブロードバンド環境を実現するノマディックワイヤレスアクセス(NWA, 図3)の一つの形として、家庭やオフィスで利用している無線 LAN 端末を適用した公衆無線 LAN サービスが、多くの事業者によってサービスが開始または検討されている。

NTT コミュニケーションズでは、2002 年 5 月より、ホテルのロビーやファーストフード店、コーヒーショップなどの公衆スポットでの無線 LAN サービス「ホットスポット」の商用サービスを開始した(図4)。2002 年度内には、約 1000 箇所のアクセスポイントを設置する予定である。本サービスでは、もっとも一般的な IEEE802.11b に加え、より快適なブロードバンド環境を提供する

〔図1〕無線 LAN 導入のトリガ



〔図2〕 高速アクセスライン (10Mbps) 時代のホームネットワーク



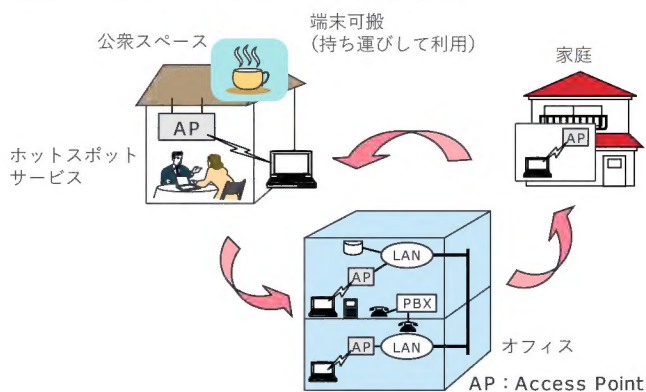
ため IEEE802.11a とのデュアルバンド・アクセスポイントを導入し、世界初のデュアルバンド対応公衆無線 LAN サービスを展開している。無線 LAN は、こうした「ユビキタスサービス」を支えるアクセスネットワークの媒体の一つとして、期待されている。

1 無線LAN の標準化を担う IEEE802.11ワーキンググループ

無線 LAN の標準化を行う代表的な機関は、米国の IEEE (Institute of Electrical and Electronics Engineers) の 802 委員会配下にあるワーキンググループ (WG) 11 である。この IEEE 802.11 ワーキンググループは、1990 年に設立されて以来、7 年の年月を経て最初の標準規格「IEEE802.11」を完成させた。

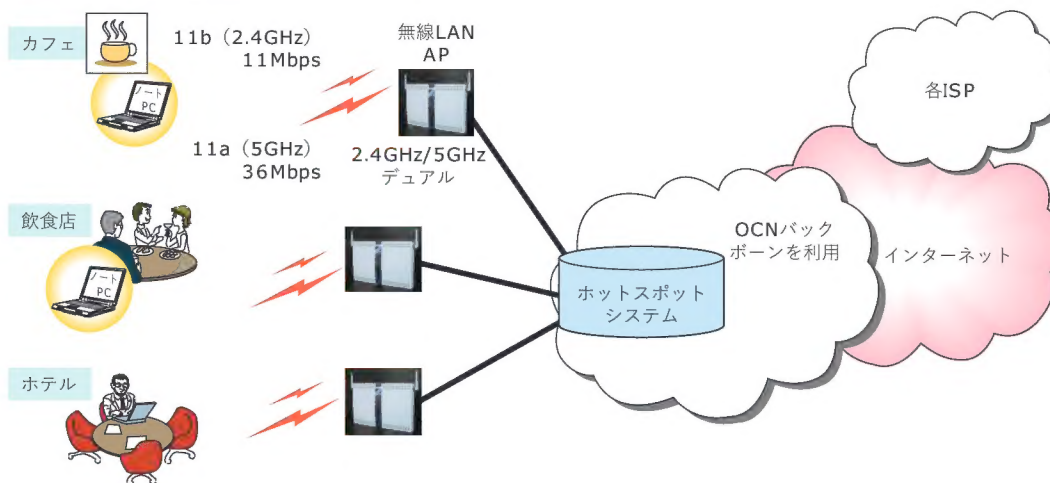
この規格の対象となるのは、データリンク層の分散制御や集中制御などのプロトコルに関する MAC (Media Access Control, 媒体アクセス制御) レイヤと、データ伝送速度や無線周波数帯域などに関する物理レイヤである。また各層のマネジメント機能も規定されている (図 5)。

〔図3〕 ノマディックワイヤレスアクセス (NWA)

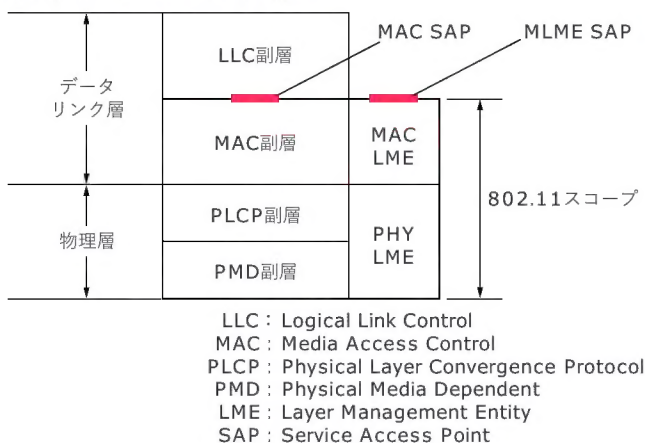


MAC レイヤの技術としては、Ethernet で用いられる自律分散制御方法を踏襲した CSMA/CA (Carrier Sense Multiple Access with Collision Avoidance, 衝突回避機能付きキャリア感知多元接続) と、オプション規定としてポーリング方式が採用されている。また、物理レイヤには、

〔図4〕 「ホットスポット」サービスの構成



〔図5〕IEEE802.11のレイヤ構造



〔表1〕IEEE802.11のおもな検討グループ構成(2002/10月現在)

Task Group	検討内容	状況
TGa	5GHz WLAN (OFDM)	作業終了
TGb	2.4GHz WLAN (CCK)	作業終了
TGc	MAC Supplement to IEEE802.1d	作業終了
TGd	Update of Regulatory Domains → R-REG	進行中
TGe	MAC Enhancement (QoS Support)	進行中
TGf	IAPP (Inter-Access Point Protocol)	進行中
TGg	High Rate Extensions to 802.11b (over 20M bit/s)	進行中
TGh	Spectrum Management for 802.11a (TPC&DFS)	進行中
TGi	Enhanced Security	進行中
HT SG	High Throughput Study Group	進行中
WNG SC	Wireless Next Generation Standing Committee	進行中

- ① 2.4GHz帯を用いた直接拡散方式 (DS-SS)
- ② 2.4GHz帯を用いた周波数ホッピング方式 (FH-SS)
- ③ 赤外線通信方式

の3種類が規定されている。2.4GHz帯での方式は、ISM(Industrial, Scientific and Medical applications)バンドと呼ばれる周波数帯のため、耐干渉性に優れたスペクトル拡散方式が採用された。伝送速度は1Mbps、2Mbpsである。

現在、IEEE802.11 ワーキンググループでは、表1に示すようなタスクグループ(TG)に分かれて審議がなされている。各タスクグループは、設立された順に小文字のアルファベットが付与される。すでに標準化作業を終了したものもあるが、無線LANの高速化や高品質化を目的とした審議が続けられている。

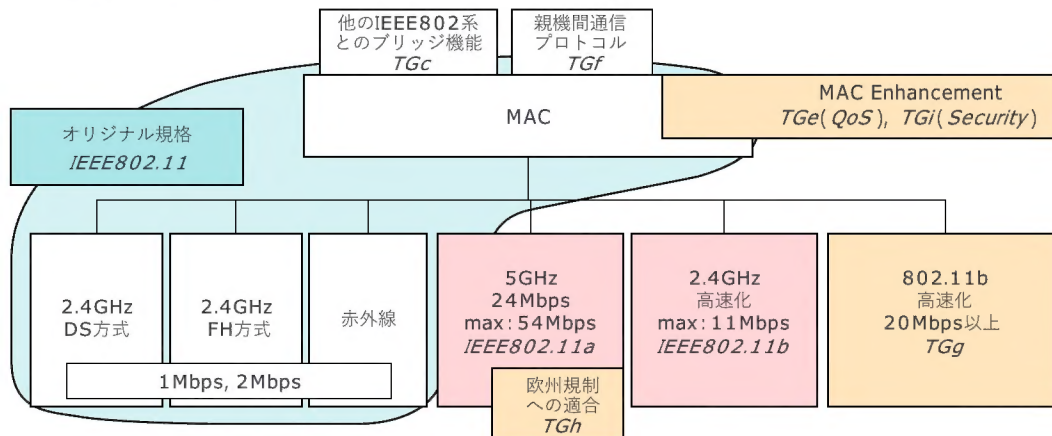
各タスクグループの活動を、レイヤ構造に対応して整理したものを図6に示す。IEEE802.11 ワーキンググループでは、「一つのMACレイヤに複数の物理レイヤ」を基本的なコンセプトとしている。これは、上位のIPレイヤから見てどの無線LANでも同一に扱えることができるようにするためである。現在、普及しているIEEE802.11bやIEEE802.11aといった規格は、伝送速度の高速化を目的とした物理レイヤの規定である。

2 IEEE802.11方式無線LANのMACレイヤ技術

IEEE802.11 標準規格においてもっとも基本となるインフラモードのシステム構成は、無線LANアクセスポイント(AP: Access Point)とその電波到達範囲内に存在する無線LAN端末(STA: Station)からなり、これを基本サービスセット(BSS: Basic Service Set)と呼ぶ。構成例を図7に示す。また、IEEE 802.11ではアクセスポイントが必要のない無線LAN端末同士で通信を行うアドホックモード(図8)もサポートしている。以下では、インフラモードを基本に解説する。

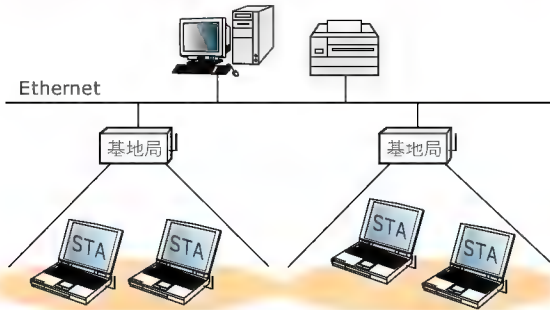
インフラモードでは、各端末とアクセスポイントの間に「帰属」関係が結ばれ、論理的なリンク(回線)が確立される。端末は、唯一帰属先のアクセスポイントを介して、バックボーンネットワークにアクセスし、アクセスポイントは有線-無線間のブリッジ機能を有し、配下の複数の端末を収容する。端末は、特定のアクセスポイントとの無線接続でLAN端末となるが、ユーザーやアプリケーションに対しては、有線でのEthernet接続と同様の環境を提供するため、無線でのアクセスを意識せずに使用できる。また、端末の移動に対しても、各端末が自律的に移

〔図6〕IEEE802.11の検討グループ構成



〔図7〕 インフラモードの構成例

- 個々のPC(Station)と基地局による無線LAN



動を検出し、異なる BSS のアクセスポイントへ帰属関係を更新する「ハンドオフ」機能を備えており、端末が移動中でも通信を途切れなくすることで、無線環境特有の端末モビリティ（移動性）を確保することができる。

2.1 分散制御による無線チャネルアクセス制御

IEEE802.11 方式の基本アクセス手順は DCF (Distributed Coordination Function) と呼ばれており、媒体アクセス方式に前述の自律分散的なアクセス制御ができる CSMA/CA 方式が用いられ、アクセスポイント (AP) も端末 (STA) も同じ手順でデータ転送を行う。CSMA/CA 方式の基本動作は、信号送信を試みようとする無線局がほかの無線局が送信している信号に衝突させないように、事前に無線チャネルの使用状況を確認（キャリアセンス）し、「未使用（アイドル）」であればただちに信号を送信し、「使用中（ビジー）」であればアイドルになるまで送信を延期することである。

チャネルがアイドル状態かどうかを判定するのに、IEEE 802.11 では IFS (Inter Frame Space, フレーム間隔) を規定し、規定された時間以上にわたりチャネルに信号が検出されない場合にアイドルであると判定する。IFS は固定長で規定されているが、長さを複数定義することで、送信局間の優先権を制御している（図9）。一方、ビジー状態であった場合には、チャネルが

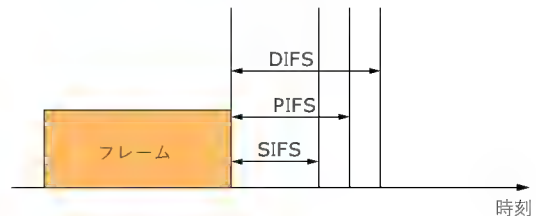
〔図8〕 アドホックモード

- 端末のみで構成するアドホックネットワーク



〔図9〕 IFS による優先制御

- フレーム間隔 (IFS: Inter Frame Space) とキャリアセンスで、送信フレームに優先度を与える
- 3種類のフレーム間隔を定義 (PIFS はオプション)
 - SIFS: 応答などに使用、最高優先
 - PIFS: 集中制御に使用
 - DIFS: 分散制御に使用、最低優先



アイドルになるまで待ち、その後に衝突回避のためのバックオフアルゴリズムを実行する。

バックオフアルゴリズムとは、複数の無線局が同時に送信を開始してパケットの衝突が起こるのを回避するためのアルゴリズムである。パケット衝突の確率がもっとも高くなるタイミン

コラム 1

無線 LAN 技術関係の参考文献について

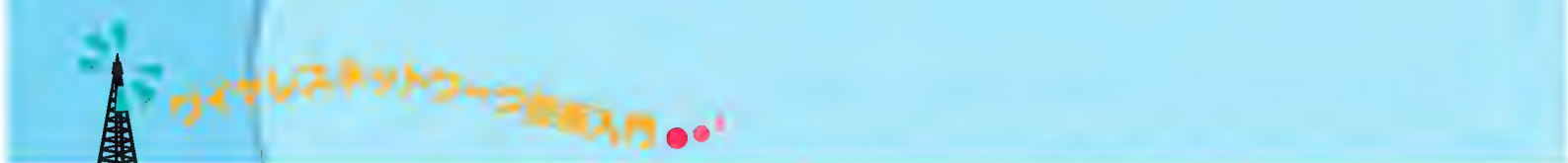
無線 LAN の技術や標準化動向などを解説する書籍は、意外なほど少ない。本章を執筆するにあたり、参考にしたものは、『ワイヤレス・ブロードバンド教科書』（服部 武・藤岡 雅宣編著、IDG ジャパン）の第7章、および『最新モバイル・インターネット徹底解剖』（日経コミュニケーション・日経ニューメディア共編、日経 BP）の第5章である。いずれも、筆者と同じ NTT アクセスサービスシステム研究所の開発者が執筆している。

ほかに多く見られる無線 LAN 関連の書籍は、現在広く市販されている IEEE802.11b の無線 LAN 機器の設定法を紹介するハウツーものが多く、技術においても OFDM 方式の変復調技術について紹

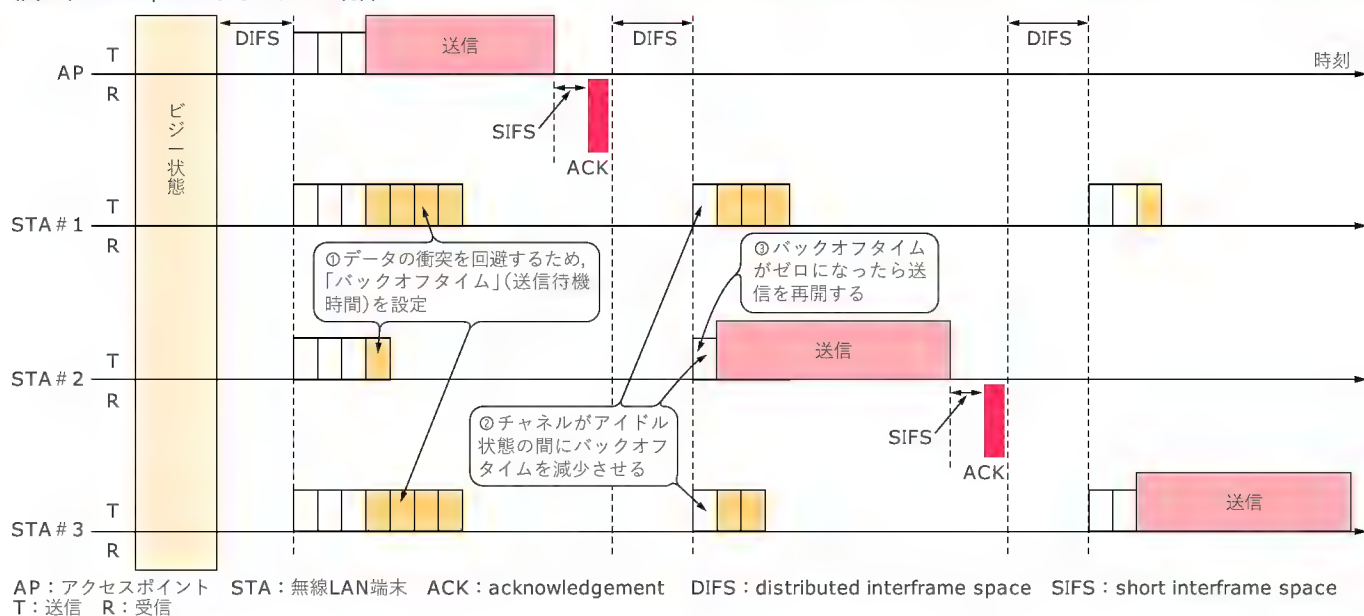
介するものはあるが、MAC レイヤに関して解説するものはほとんどないようである。

この状況は、じつは日本に限ったことではない。洋書でも、IEEE802.11 について詳しく解説されているものは、IEEE802.11 Handbook: A Designer's Companion (Bob O'Hara, Al Patrick 著, IEEE Press) と 802.11 Wireless Networks: The Definitive Guide, (Matthew S. Gast 著, O'Reilly) 程度しか見あたらない。

このようなことから、無線 LAN は「活きのいい」技術といえるのかもしれない。もっとも、2002 年末～2003 年春にかけて、無線 LAN 関係の書籍が複数出版されるようなので、それらに期待したい。



〔図 10〕 CSMA/CA によるアクセス制御



グは、ある無線局の送信が完了し、チャンネルがビジー状態からアイドル状態に変わった直後である。これは、周囲の無線局が送信延期状態であり、アイドル状態になったことを認識した各無線局が一斉に信号の送信を開始することが予想されるからである。

図 10 を使って、バックオフアルゴリズムを適用した CSMA/CA のアクセス制御法を説明する。AP および STA は、常時キャリアセンスを実行し、チャンネルの使用状況を監視している。この場合の IFS には、DIFS (Distributed IFS) が用いられる。チャンネルがビジー状態であった場合には、ゼロから CW (Contention Window: バックオフアルゴリズムにおいてゼロから一様分布の乱数を発生させる範囲) の範囲内で乱数を発生させて、その値

からバックオフタイムを決定する。その後、チャンネルがアイドル状態の間にバックオフタイムを減少させ、残りがゼロになった時点で送信を開始する。残り時間がゼロになる前にほかの無線局が送信を開始した場合には、再び送信待機状態となり、チャンネルがアイドル状態になった時点から残りのバックオフタイムを再び減少させる。

IEEE802.11 のバックオフアルゴリズムは、「2 進指数バックオフアルゴリズム」と呼ばれ、発生させる乱数の範囲 CW が、最小値 CWmin、最大値 CWmax というパラメータで与えられ、初回の乱数発生時には CW の値は CWmin に設定され、再送回数が増えるにつれて 2 倍に増加し、CWmax に達した後は一定値となる。トラフィックが多くなり、混みあうにつれてバックオフタイムを増やし、データの衝突を防ぐしくみになっている。

データを正常に受信した AP または STA は、受信完了後に SIFS (Short IFS) 間隔後に送信元へ ACK (Acknowledgement) 信号を返す。SIFS は IFS の中でもっとも短く、ACK 信号は最優先で送信されていることになる。送信元は、データの送信完了後、規定時間内に ACK 信号が返ってこない場合には、送信に失敗したと判断し、データを再送する。

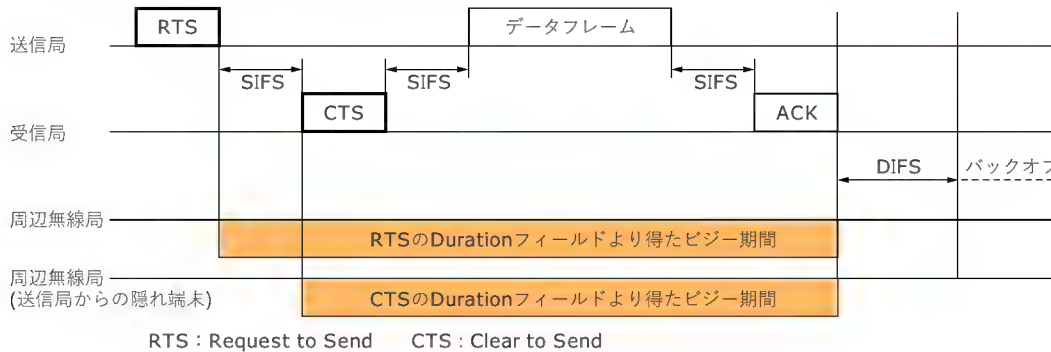
CSMA ベースのアクセス制御方式には、本質的に避けられない問題として「隠れ端末問題」が存在する。これは、CSMA が互いに無線信号を検知できることを前提とした制御方式であることが要因となっている。たとえば、図 11 のように A、B、C の無線局があり、A と B の間に障害物がある（または、距離が離れている）場合を考える。このとき、A と C、B と C は、通信できるが、A と B とは電波が到達せず、通信できない状態にある。この場合、A から C へのデータ送信中に、A の存在を検知できない B が通信に割り込んでくる（パケットを衝突させてしまう）という問題が生じる。

〔図 11〕 隠れ端末問題



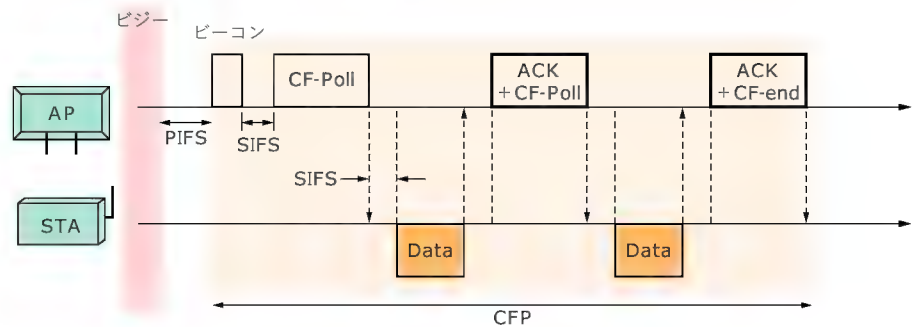
〔図 12〕 RTS/CTS による隠れ端末問題対策

- 対策：RTS/CTSによる仮想キャリアセンス



〔図 13〕 集中制御による無線アクセス制御方法

- 集中制御によるAPの順次ポーリング
- SIFSによる応答信号の優先送信



IEEE802.11 では、この問題を避けるために「RTS (Request To Send)/CTS (Clear To Send) 手順」を用意している (図 12)。これは、データ送信側が事前に RTS 信号を送信し、これを受けた受信側が CTS 信号を送信することで、周囲の AP および STA にチャンネルの使用を予告し (仮想キャリアセンス)、パケットの衝突を回避するものである。

2.2 集中制御

IEEE802.11 のアクセス制御方式には、前述の DCF のほかに、PCF (Point Coordination Function) 方式がオプションとして規定されている。PCF は、AP が STA の送信を制御するため、通信品質の制御が必要な場合に適している。

PCF では、AP が各局の送信権を集中的に制御する。AP は定期的に CFP (Contention Free Period) と呼ばれる非競合アクセス期間を設定し、この期間における自律分散的なチャンネルアクセスを規制する。AP は CFP 期間中に、事前に登録した STA に対してポーリングを行うことで STA へ送信を許可する (図 13)。AP からのポーリングフレームに続く STA のデータ送信は、SIFS 間隔で行われる。ポーリングフレームを AP が特定の STA に送ることによって、その STA は他の STA よりも優先度の高い送信権を得ることができ、ほかのデータフレームと競合することなく、安定したデータ送信が可能となる。

近年、無線 LAN を利用した動画などのストリーミング伝送などへの要求が高まり、後述するタスクグループ e (TGe) では、

このポーリングモードを改良した MAC レイヤプロトコルが検討されている。

2.3 マネジメント

IEEE802.11 の MAC レイヤでは、前述のアクセス方式に加え、マネジメント機能が規定されている。基本的には、STA が特定の AP を介して LAN に収容されるまでの一連の動作に関する管理手順となっている。各 BSS の AP は、自局の所属する BSS の運用情報を「ビーコン信号 (無線標識信号)」と呼ばれる制御用パケット信号によって、周期的に報知する。STA は、すべての無線チャンネル上に送出されているビーコン信号を受信し、無線通信の品質が安定していることと、収容されるべき LAN に接続されていることを確認したうえで最適な AP を選択する。続いて STA は、選択した AP に対して、認証を要求し、AP は自局を介してネットワークへ接続を希望する STA として正当であるかどうかを確認する。最後に、AP-STA 間の帰属関係を結ぶため、互いに管理用信号をやり取りし、AP がその STA を管理テーブルに登録することで、LAN 端末として正式に扱われる。

2.4 セキュリティ

セキュリティ機能には、MAC レイヤでの認証機能と暗号化ならびに改ざん防止機能が規定されている。

認証方式には、オープンシステム方式と事前共有鍵方式が規定されている。オープンシステム方式では、認証フレームを相互にやり取りするのみであるが、事前共有鍵方式ではチャレン



ジレスポンス(チャレンジコードと呼ばれる1回かぎりの数字をもとにパスワードを暗号化してやり取りする)による認証を行い、セキュリティを高めている。

一方、暗号化方式として、WEP(Wired Equivalent Privacy)が規定されている。WEPは、米国RSAセキュリティが開発した共通鍵暗号のRC4を使用した方式である。たがいに共通の鍵を使って相手を認証するとともに、データを暗号化する。

具体的には、24ビットの初期ベクトルと40ビットの秘密鍵から暗号化のための鍵を生成し、RC4のアルゴリズムにしたがい暗号化する。また、暗号化したフレームには改ざん防止用のフィールドを設定する。元のデータからCRC-32により算出したICV(Integrity Check Value)を設定し、受信側でチェックすることで、途中でデータが改ざんされたかどうかを判断できる(図14)。

近年、WEPはその脆弱性が指摘され、より強いセキュリティを望む声が高い。後述するタスクグループi(TGi)では、この脆弱性の改善に関して検討が進められている。

2.5 スループット特性

一般に無線LAN機器の伝送速度は、物理レイヤの伝送速度のことを呼ぶ場合が多い。たとえば、後述のIEEE802.11bでは、最高11Mbpsと、カタログなどには表示されている。しかし、実

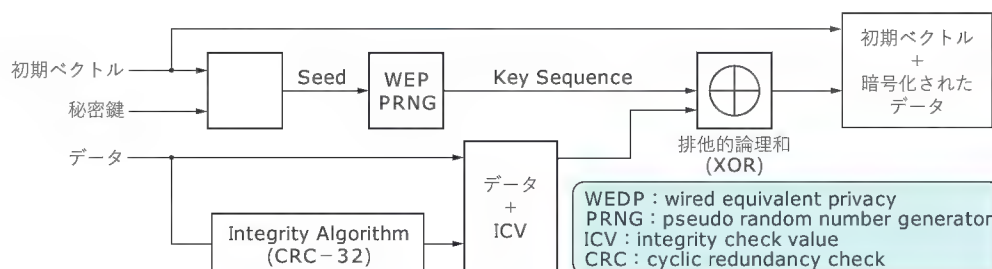
際にデータを伝送するにあたって、図15に示すような各パケットに付加されるプリアンプルやヘッダ、CSMA/CA制御のためのIFSやバックオフタイム、信号到達確認のためのACK信号など、データ伝送のためのオーバーヘッドとなっている部分があり、IPレベル・TCPレベルでのスループットは物理レイヤの伝送速度より低い値となる。

IEEE802.11aとIEEE802.11bについて、スループットの理論的な値を算出したものを表2に示す。このように、IEEE802.11bの11MbpsモードとIEEE802.11aの6Mbpsモードは、スループットという観点からはあまり差がない。また、IEEE802.11aの24Mbpsモードや36Mbpsモードと比較すると、3～4倍の差となっている。これは、IEEE802.11bのプリアンプル部およびヘッダ部が、IEEE802.11aのそれに比べ長いということに起因する。

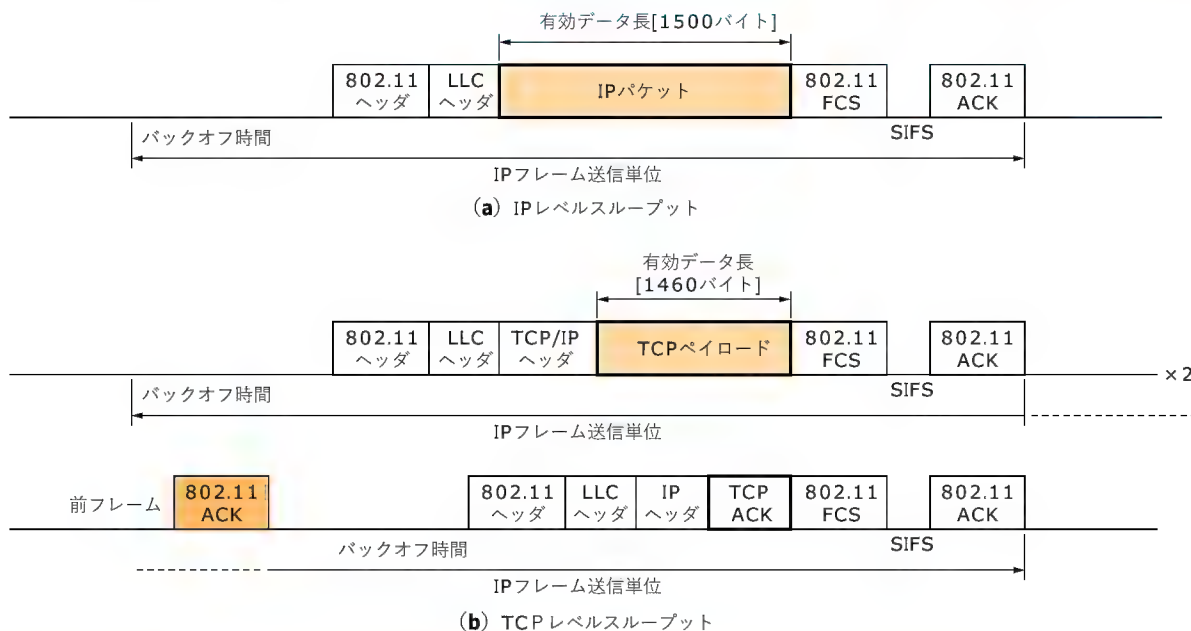
3 IEEE802.11 方式無線LANの物理レイヤ技術

IEEE802.11の物理レイヤは、PMD(Physical Medium Dependent)副層とPLCP(Physical Layer Convergence Protocol)副層に分かれている。PMD副層では、変復調方式関連を規定しており、前述の①DS-SS方式、②FH-SS方式、③赤外線方式が

〔図14〕 WEPによるデータの暗号化



〔図15〕 上位レイヤでのスループット計算

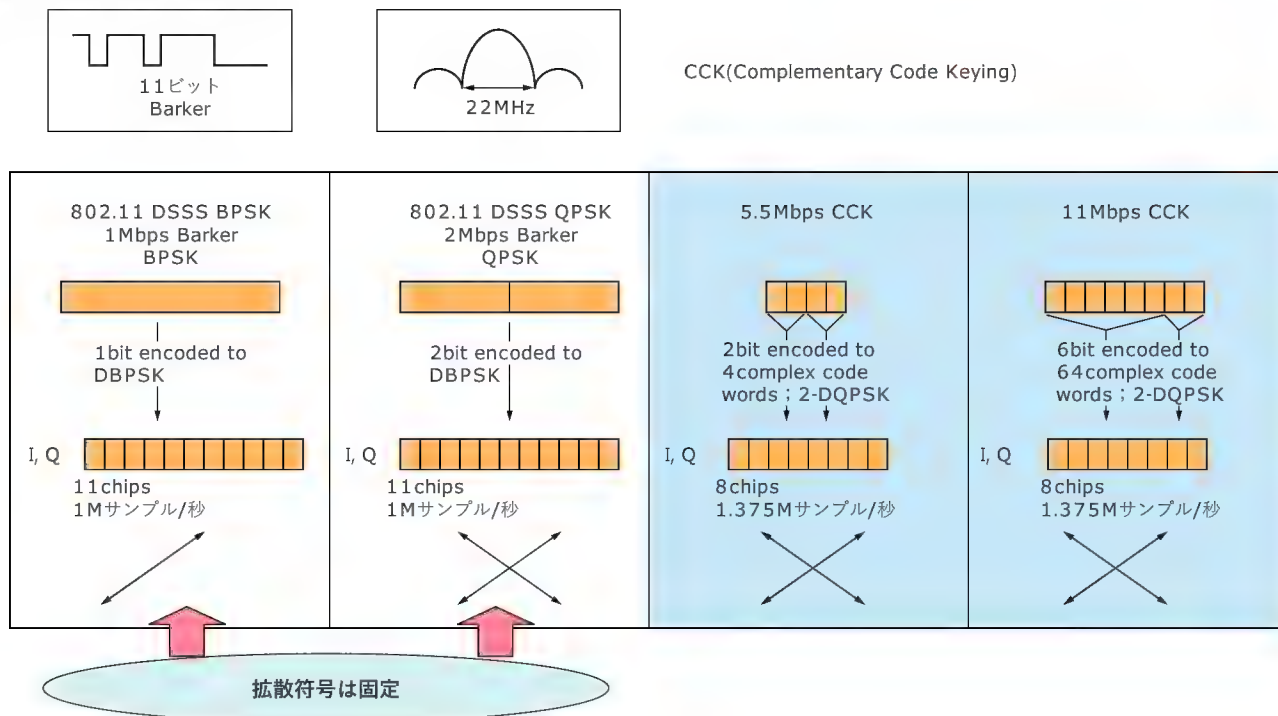


〔表 2〕 最大スループット

Data Rate [Mbps]	IEEE802.11a								IEEE802.11b Long PLCP format			
	6	9	12	18	24	36	48	54	1	2	5.5	11
IP フレーム	5.37	7.78	10.0	14.1	17.6	23.7	28.5	30.8	0.91	1.73	3.99	6.37
転送速度効率	0.90	0.86	0.84	0.78	0.73	0.66	0.59	0.57	0.91	0.86	0.72	0.58
TCP フレーム	4.94	7.05	8.97	12.3	15.1	19.7	23.0	24.5	0.85	1.56	3.40	5.11
転送速度効率	0.82	0.78	0.75	0.69	0.63	0.55	0.48	0.45	0.85	0.78	0.62	0.46

約 3～4 倍

〔図 16〕 DS-SS 方式と CCK 方式



規定されている。PLCP 副層は PMD 副層と MAC レイヤの間に位置し、PMD 副層で規定されている 3 種類の変復調方式の違いを吸収することで、MAC レイヤと物理レイヤ間のインターフェースを統一する役目を果たす。

3.1 IEEE802.11b

1997 年にオリジナル規格 IEEE802.11 が完成した後、IEEE802.11 ワーキンググループにおいて物理レイヤの高速化に関する検討が始まった。このとき、2.4GHz 帯の周波数を使用して物理レイヤの高速化を検討したのが、タスクグループ b (TGB) であり、1999 年にインターシル (Intersil) 社とルーセント・テクノロジー (Lucent Technologies) 社の共同提案による CCK (Complementary Code Keying, 相補符号変調) 方式を採用し、最高 11Mbps の伝送速度を実現する IEEE802.11b 規格が完成した。現在もっとも普及している無線 LAN 機器の規格であり、現在オフィスや家庭で使用されているもののほとんどが、この IEEE802.11b 規格に準拠したものである。

IEEE802.11b 規格は、従来の IEEE802.11 規格における DS-SS

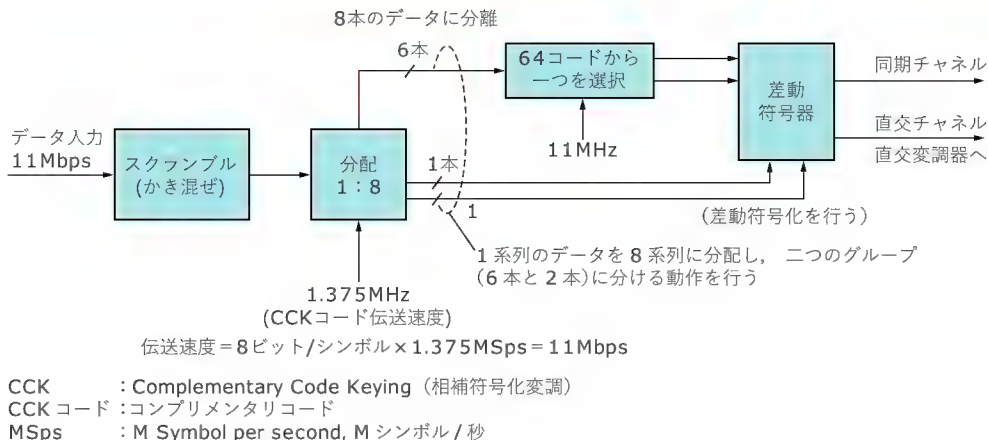
方式を拡張した位置付けであり、後方互換性を保ち、伝送速度は DS-SS 方式の 1Mbps と 2Mbps に加えて、5.5Mbps と 11Mbps が規定されている。DS-SS 方式は、スペクトル拡散変調に 11 ビットのバーカー (Barker) 符号を用いているが、IEEE 802.11b 規格では、コンプリメンタリコードを使った CCK 方式を追加し、高速化を実現している (図 16)。

CCK 変調器は、図 17 のような構成となっている。11Mbps のデータ入力、スクランブルされた後、1375MHz のクロック信号にしたがって 8 本の信号に分配される。そのうち 6 本の信号は、64 種類の CCK コードから特定の 1 つのコードを選択することで 6 ビットの情報を伝送する。また、同時に分配部での残り 2 本の信号は差動符号器に入力され、コード全体に位相回転を与えることになる。これにより 2 ビットの情報を伝送する。

したがって、1375MHz で 6 + 2 = 8 ビットの情報をもつ 1 シンボルを伝送することから、情報伝送速度が 11Mbps で無線区間に送出されることになる。5.5Mbps モードでは、分配部で 4 分配し、2 本の信号から 4 種類の CCK コードを選択することとす



〔図 17〕 CCK 方式の変調器構成



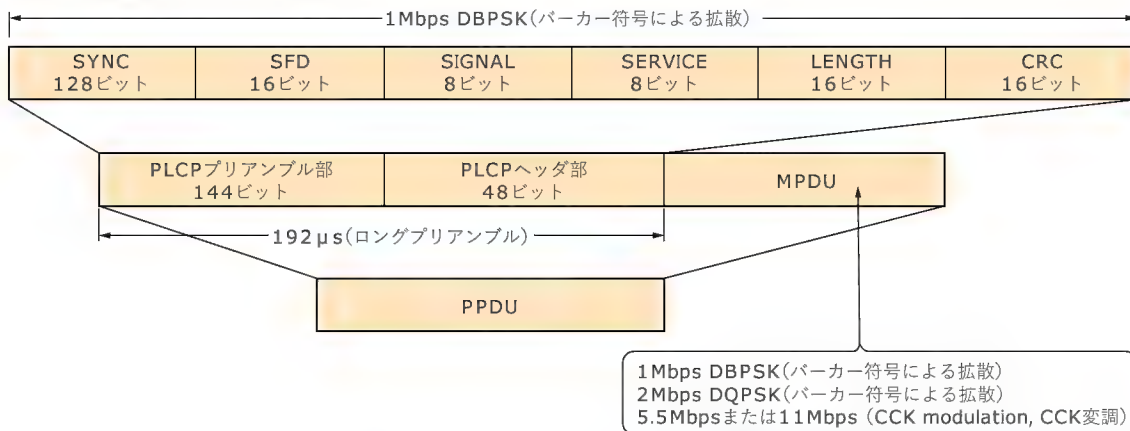
る。そのため、1.375MHz で $2 + 2 = 4$ ビットの情報を伝送することから、5.5Mbps の伝送速度となる。

IEEE802.11b では、前述のように 4 種類の伝送速度が規定されているが、どの伝送速度モードを使用するかは送受信局間の伝送路の状況に応じて動的に決まる。この機能が、レートアダプテーションである。詳細は標準規格の規定対象外とされているが、一般に過去の送信結果の履歴から伝送路の品質を判断し、伝送速度を決定する方法が用いられている。

レートアダプテーション機能により、送受信局間の伝送路の品質が良い場合には、高速伝送が可能となる。逆に伝送路状態が悪い場合には、外乱に強い低い伝送速度を使用し送受信局間のコネクティビティを確保する。

レートアダプテーション機能を用いる場合、伝送速度がパケットごとに異なる可能性がある。このため、受信局側で復調する際に、送信側で用いられた伝送速度(変調方式)の情報が必要となる。IEEE802.11b では、プリアンブル部、ヘッダ部の伝送

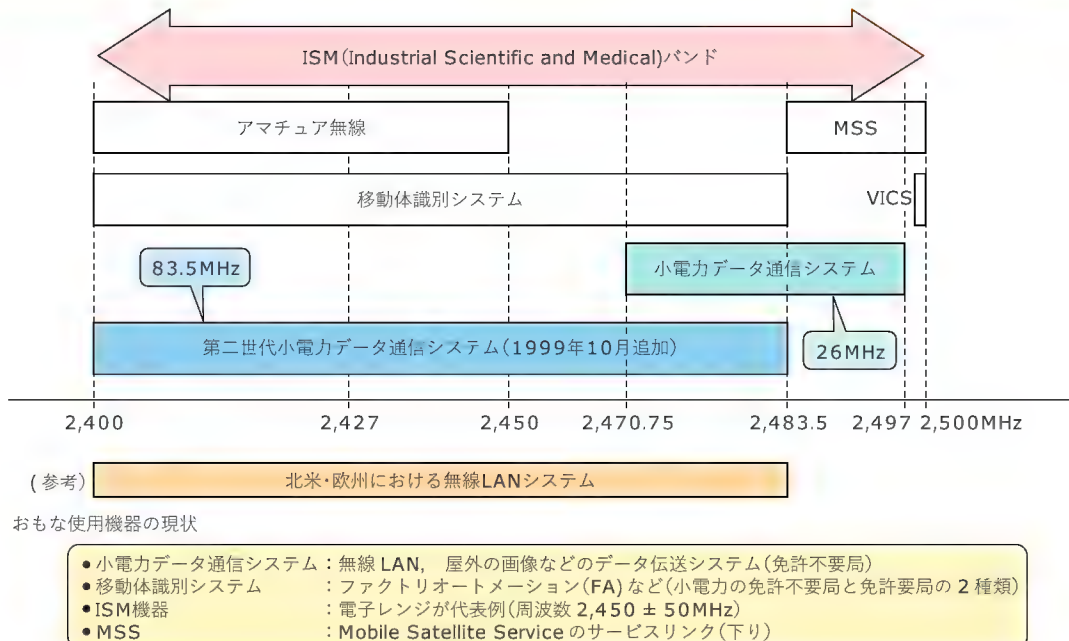
〔図 18〕 IEEE802.11b 無線 LAN のパケット構成



※Barker code：バーカー符号。自己相関特性が優れた11ビットの符号長からなる拡散符号

略 語	フルスペル	説 明
SYNC	Synchronization	同期処理信号
SFD	Start Frame Delimiter	フレーム開始。物理層に依存した有効フレームの先頭を示す
SIGNAL	—	データ部の伝送速度を示すフィールド
SERVICE	—	高速変調方式を識別するフィールド (CCK, PBCC)
LENGTH	—	データ部を送信するための時間 (ms単位)
CRC	Cyclic Redundancy Check	巡回冗長検査、誤り訂正方式の一つ
PLCP	Physical Layer Convergence Protocol	物理層コンバージェンスプロトコル
MPDU	MAC Protocol Data Unit	MACプロトコルデータ単位
PPDU	PLCP Protocol Data Unit	PLCPプロトコルデータ単位
DBPSK	Differential Binary Phase Shift Keying	差動2相位相偏移変調
DQPSK	Differential Quadrature Phase Shift Keying	差動4相位相偏移変調
CCK	Complementary Code Keying	相補符号変調

〔図 19〕
日本の 2.4GHz 帯周波数
割り当ての状況



速度を 1Mbps に固定し、ヘッダ領域内にデータ部分で使用する伝送速度の情報を設定することで、受信側でデータを正しく復調できるようにしている(図 18)。また、旧来の DS-SS 方式のみサポートしている無線局に対する後方互換性もこれにより確保されている。

● 2.4GHz 帯周波数割り当ての状況

日本における周波数割り当ての状況を図 19 に示す。2.4GHz 帯は前述のように ISM バンドと呼ばれており、名前のとおり産業用電子加熱装置、電子レンジ、温熱治療器などが通信以外の目的で用いられている。また、通信の分野でも、アマチュア無線、移動体識別システム(電子タグ)、Bluetooth などが同じ周波数帯を共用している。

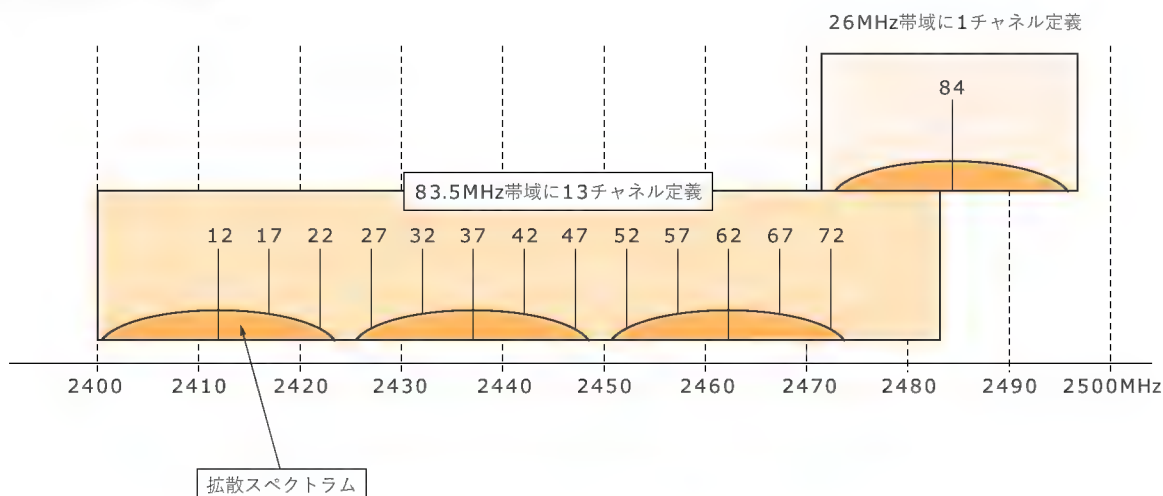
日本では、当初 26MHz の帯域が無線 LAN 用として開放され、

その後 1999 年 10 月に省令改正がなされ、日米欧共通バンドである 83.5MHz の帯域が無線 LAN で利用可能となった。この帯域拡大と IEEE802.11b の標準化のタイミングが一致し、急速に市場を拡大していった。

さらに、後述する IEEE802.11g 規格を日本でも利用可能とするため、2002 年 2 月にこの 83.5MHz の帯域について、OFDM 変調方式の適用を認める省令改正がなされた。

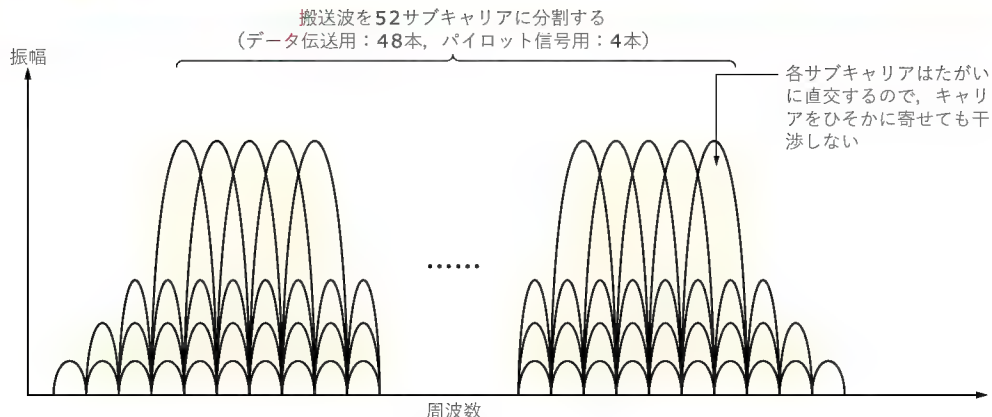
図 20 に DS-SS 方式の場合のチャネル配置例を示す。IEEE 802.11 規格では、5MHz 間隔でのチャネルが規定されているが、ISM バンドでの電波干渉を避ける目的で中心周波数をずらすようにしたものである。したがって、他システムからの干渉がない場合には、このように 83.5MHz の中に 3 波配置するのが標準的である。

〔図 20〕 DS-SS 方式のチャネル配置





〔図 21〕 OFDM の周波数スペクトル



3.2 IEEE802.11a

1997年に米国 FCC (Federal Communications Commission, アメリカ連邦通信委員会) が、U-NII (Unlicensed National Information Infrastructure) 帯と称する 5.15 ~ 5.35GHz, 5.725 ~ 5.825GHz の合計 300MHz の帯域を免許不要な無線 LAN・無線アクセス用に開放したことを受けて、TGB における 2.4GHz 帯の高速化と並行する形で 5GHz 帯を用いた 20Mbps 以上の伝送速度を実現する物理レイヤの検討が始められた。この検討を行ったのが、タスクグループ a (TGA) であり、1999 年に IEEE 802.11a 規格を完成した。

IEEE802.11a も IEEE802.11b と同様に物理レイヤの規格であり、MAC レイヤは、従来の IEEE802.11 を使用する。近年、多数のメーカーが、IEEE802.11a 準拠製品の出荷を始めており、次世代を担う方式として注目を集めている。

IEEE802.11a では、変調方式として NTT とルーセント・テクノロジーの共同提案による OFDM (Orthogonal Frequency Division Multiplexing, 直交周波数分割多重) 方式を採用している。OFDM 方式は、欧州で DAB (Digital Audio Broadcasting, デジタル

オーディオ放送) 規格や DVB (Digital Video Broadcasting, デジタル映像放送) 規格として標準化されているが、IEEE802.11a では、パケットモードに適用した点に特徴がある。

OFDM 方式はマルチキャリア伝送方式の一種であり、複数のサブキャリアを周波数軸上に直交条件を満たすように密に配置する (図 21)。このサブキャリアを配置・合波するアルゴリズムには、IFFT (Inverse Fast Fourier Transform, 逆高速フーリエ変換) が用いられる。

OFDM 方式の特徴として、サブキャリアを密に配置できるため、高い周波数利用効率を得られることがあげられる。また、高速信号の伝送時に問題となるマルチパス伝搬による周波数選択性フェージングが原因となる波形の歪みに対して強い耐性をもつ点も、大きなメリットとなる。従来一般に用いられるシングルキャリア伝送方式では、波形の歪みを補正するために等化器 (イコライザ) を使用する必要があり、回路が複雑かつ大規模になるという問題がある。一方、マルチキャリア伝送方式である OFDM では、波形の歪みを部分的なサブキャリアのレベル低下という形にみなせる。レベル低下、すなわち S/N 比の劣化は、

〔図 22〕 マルチパス環境に強い OFDM 方式

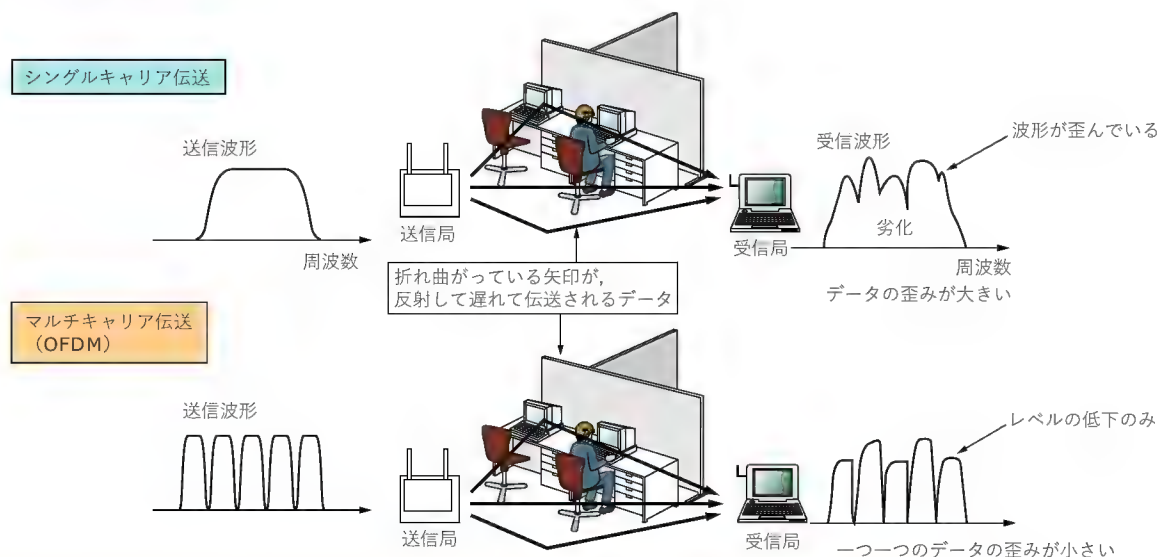


Figure 1 illustrates the concept of the guard interval in OFDM. The top part shows the frequency domain components, including the subcarrier f_1 (which contains a copy of the data signal) and higher-order subcarriers f_2, f_3, f_4 . The bottom part shows the time-domain signal structure. The direct wave (left) consists of a guard interval, data, and another guard interval. The multiplexed wave (right) shows the effect of multipath interference, with a blue shaded region indicating the optimal FFT position. The legend on the right explains the FFT positions: ① front FFT position (before the guard interval) and ② front FFT position (after the guard interval).

無線LANの送信側で送られた信号は、受信側無線LANに直接波として届くものと、多重反射して遅延波として届くものの2種類が合成された形になる。とくに遅延波は1か所に反射するだけでなく、多くの壁や天井に反射して届くため、多くの遅延波で構成されている。受信側で最適受信するためには、この直接波と遅延波が混在する環境下で、いかにタイミングよく高速フーリエ変換(FFT)の回路を動作させるかが重要である。そこで、もっともタイミングの良いFFT位置とされるのが、最適FFT位置である。

5GHz帯における周波数割り当ての状況を図25に示す。日本では、2000年3月に省令改正が行われ、5.15～5.25GHzの100MHzを屋内限定という条件で、無線LAN、無線アクセスなどに開放した。「屋内限定」の理由は、同じ周波数帯を移動体衛星



〔表3〕IEEE802.11aのシステムパラメータ

変調方式	OFDM方式 各サブキャリアの変調方式 BPSK, QPSK, 16QAM, 64QAM
サブキャリア数	52サブキャリア(4パイロット信号を含む) 64ポイントFFT
誤り訂正方式	抱束長 $K=7$, 符号化率 $R=1/2, 2/3, 3/4$ の 畳み込み符号化・ビタビ復号方式 シンボル内インタリーブ
伝送レート	6Mbps (BPSK, $R=1/2$) 必須 9Mbps (BPSK, $R=3/4$) オプション 12Mbps (QPSK, $R=1/2$) 必須 18Mbps (QPSK, $R=3/4$) オプション 24Mbps (16QAM, $R=1/2$) 必須 36Mbps (16QAM, $R=3/4$) オプション 48Mbps (64QAM, $R=2/3$) オプション 54Mbps (64QAM, $R=3/4$) オプション
チャンネル配置	4 (100MHz), 8+4 (200+100MHz : 米国) 20MHz チャンネル間隔

通信システムと共用しているため、国際的に電波干渉を避ける審議がなされ、国際勧告化されたことによる。

日本および米国における5GHz帯無線LANのチャンネル配置を
図26、図27に示す。米国の場合、5.15～5.35GHzの200MHz

帯が連続しており、5.25GHzから上の100MHzでは屋外でも条件付きで使用可能となっている。この200MHz帯域に対して、帯域外の不要輻射の制限から、日米のチャンネル配置には10MHzのずれが生じている。

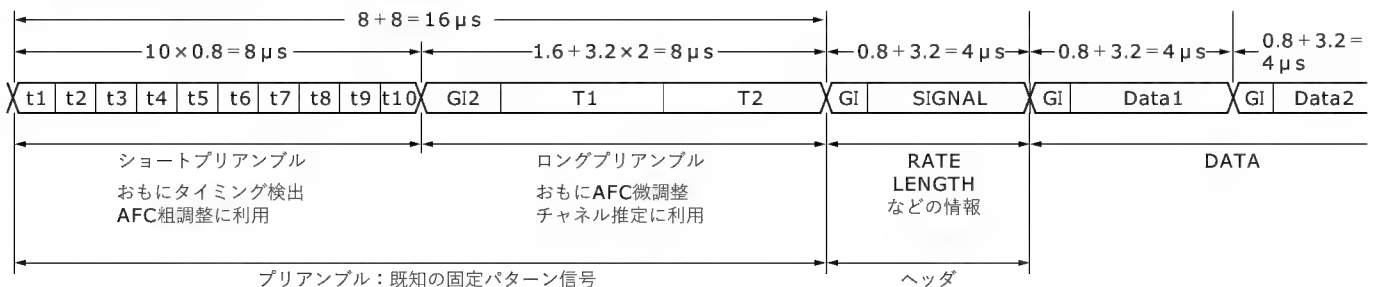
欧米では屋外で使用可能な帯域があることもあり、日本においても屋外で使用可能な周波数を望む声が高まっていた。情報通信審議会では、2001年10月の諮問より5GHz近傍の周波数利用の審議がなされてきた。その結果、2002年9月に省令改正され、屋外でも利用可能な固定無線アクセスシステムおよび無線LANに代表される移動無線アクセスシステムを対象として4.9～5.0GHz、5.03～5.091GHzの二つの周波数帯が開放された。

しかし、新たに開放された周波数帯では、通信事業者によるライセンスバンド（電波免許が必要な帯域）となり、公衆無線LANサービスや固定無線アクセスとして利用するものとなっている。

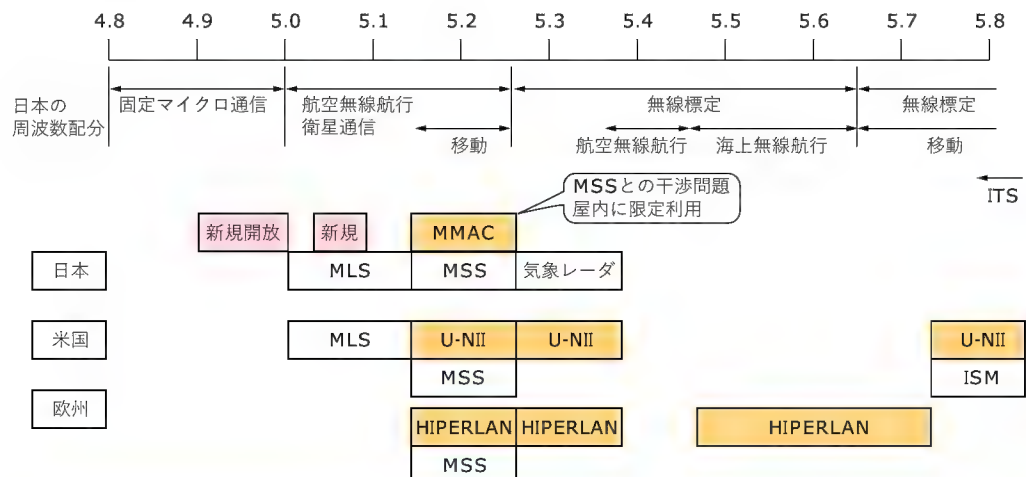
IEEE802.11の標準化動向

IEEE802.11a/bの高速無線LAN標準規格が承認された後も、

〔図24〕IEEE802.11aのパケットフレーム構成



〔図25〕5GHz帯周波数割り当ての状況



- MLS : Microwave Landing System, マイクロ波を用いた航空機の進入・着陸の誘導システム
- MMAC : Multimedia Mobile Access Communication, マルチメディア移動アクセス推進協議会
- U-NII : Unlicensed National Information Infrastructure, 全米情報基盤構想に基づいて割り当てられた免許不要の周波数
- HIPERLAN : 欧州で標準化されている高速無線LAN規格

IEEE802.11 ワーキンググループでは、物理レイヤのさらなる高速化と MAC レイヤの高機能・高効率化に向けた検討が進められている。

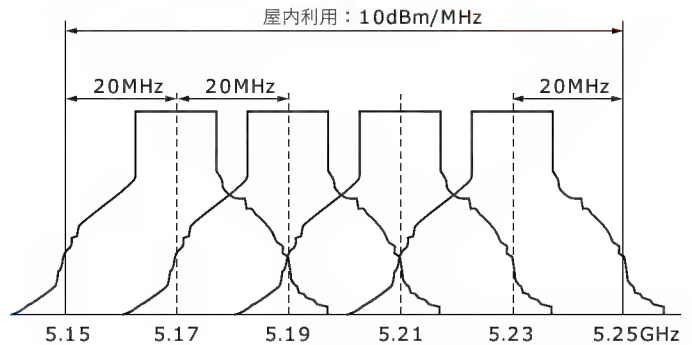
ここでは、2002 年 10 月末時点での状況をまとめた。最新の情報については IEEE802.11 ワーキンググループの Web ページ (<http://grouper.ieee.org/groups/802/11/index.html>) を参照してほしい。

4.1 タスクグループ g (TGg) : IEEE802.11b の高速化

TGg は、IEEE802.11b 規格との後方互換性を保ちつつ、20Mbps 以上の伝送速度を提供する物理レイヤの実現を目的として検討が進められてきた。ここまで、米国インターシル社の提案する CCK-OFDM 方式と、米国テキサス・インスツルメンツ (Texas Instruments) 社の提案する PBCC (Packet Binary Convolutional Coding) 方式との間で激しい議論がなされていたが、既存方式との互換性などを考慮した結果、IEEE802.11a で採用された OFDM 方式と、IEEE802.11b で採用された CCK 方式の両方を必須方式とし、前述の CCK-OFDM 方式と PBCC 方式はオプションとすることでまとまっている。

しかしながら、異なる変調方式を使用する局間でキャリアセンスが正常に機能しない可能性があるため、パケット衝突によるスループットの低下をまねく恐れがある。そこで防止策として、MAC レイヤで規定されている RTS/CTS 手順などを用いた衝突回避手段を盛り込むこととしている。現在、TGg にて作成されたドラフトが、ワーキンググループにて承認された状態で

〔図 26〕 IEEE802.11a のチャンネル配置 (日本)

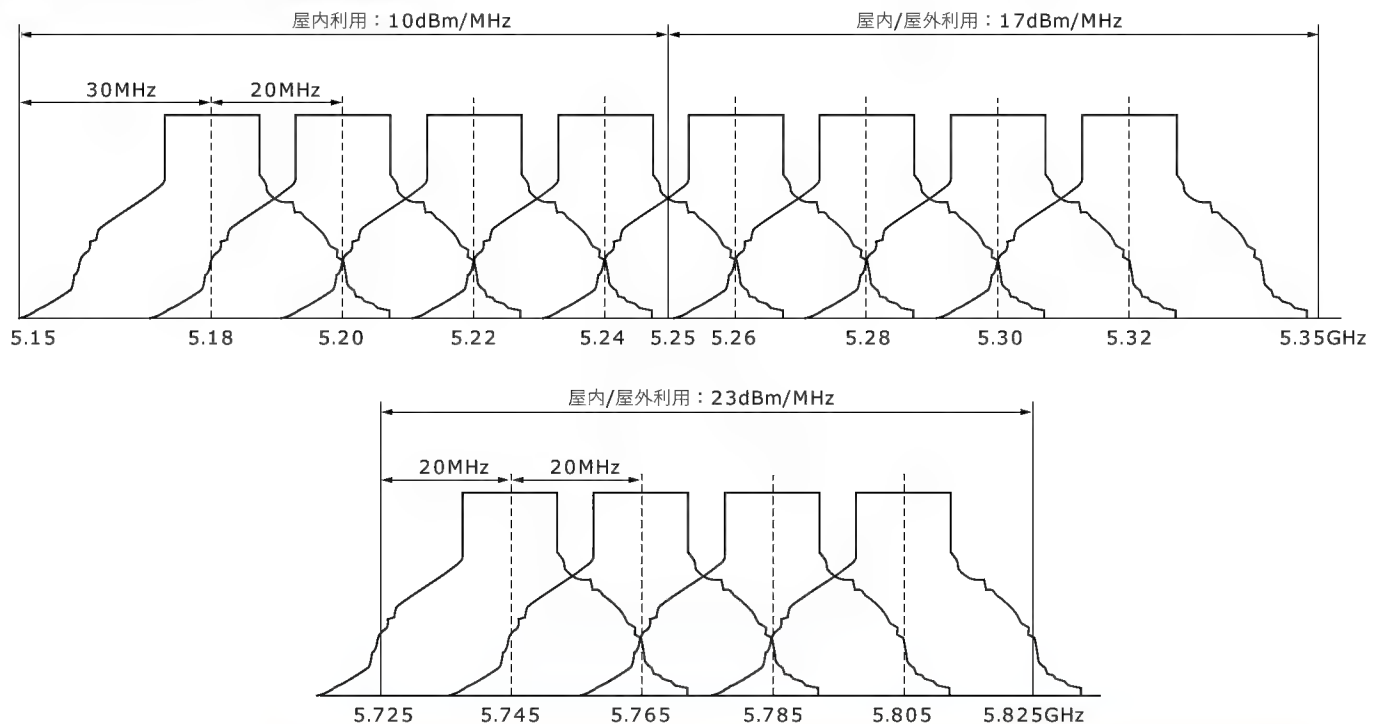


あり、今後、標準規格として承認されるべき手続きをとるため、上部組織に送られる予定である。

ここで CCK-OFDM 方式とは、IEEE802.11b 規格標準の CCK 方式に加えて、IEEE802.11a 規格標準の OFDM 方式を加える形で拡張した方式である。IEEE802.11b との互換性を保つため、ヘッダ部までを CCK 方式とし、データ部を高速かつ安定な伝送品質を実現する OFDM 方式としたもので、まさに両者の融合方式となっている。

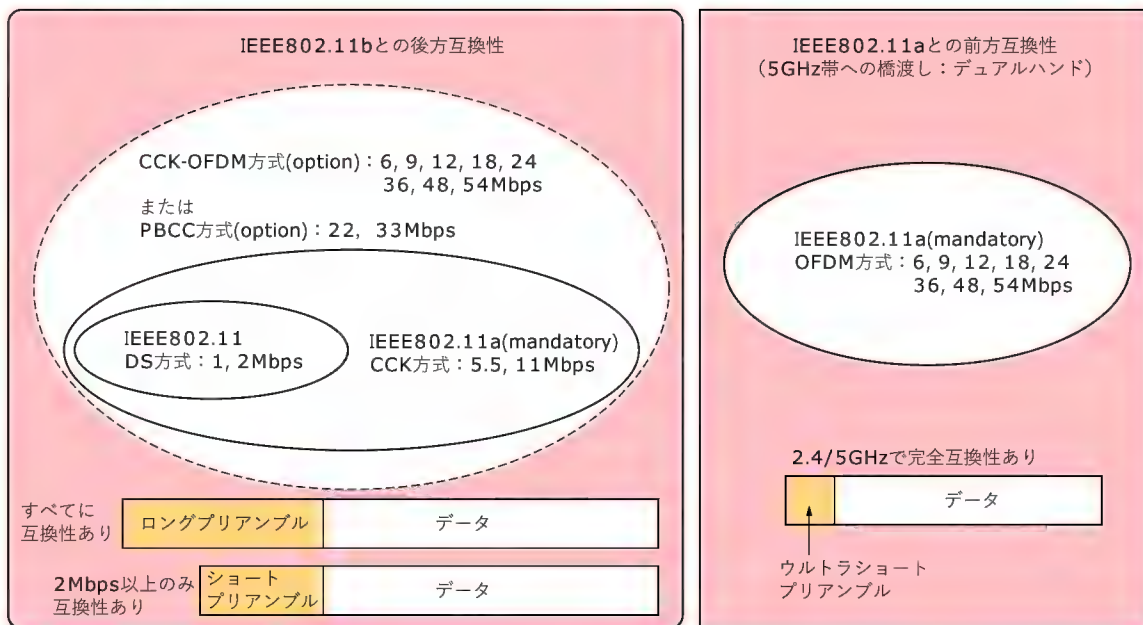
一方、PBCC 方式は、IEEE802.11b 規格においてオプション規定されている方式で、CCK 方式同様 11Mbps が定められているが、ここでは、22Mbps、33Mbps に拡張されている。PBCC 方式は、基本的には畳み込み符号器とスクランブラを組み合わせたシングルキャリア方式で、等化器使用を前提とした方式で

〔図 27〕 IEEE802.11a のチャンネル配置 (米国)

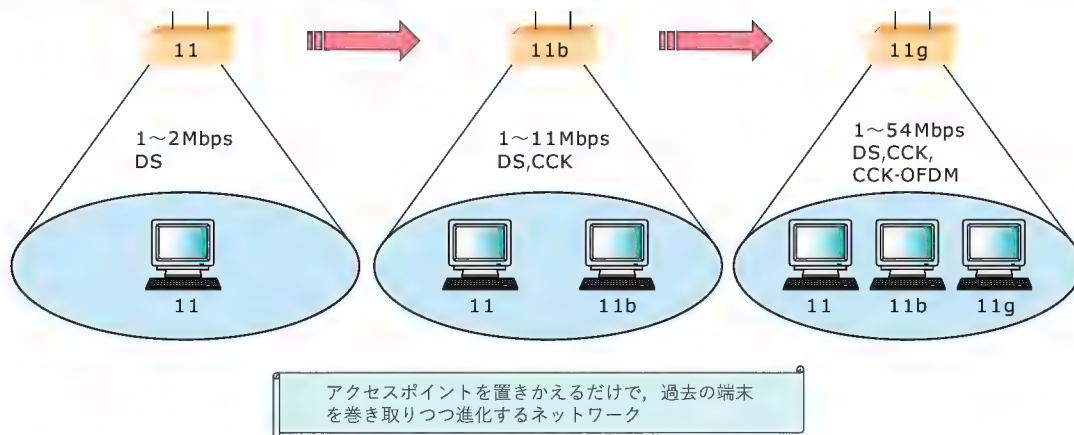




〔図 28〕 IEEE802.11g の役割



〔図 29〕 2.4GHz 帯 IEEE802.11b/g のネットワーク進化



1542 講演や展示会での Q&A から

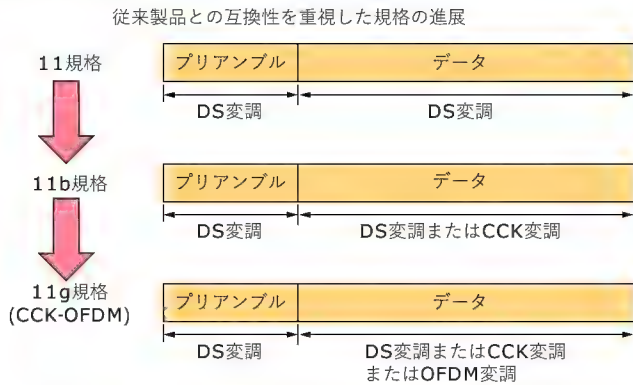
セミナーなどの講演や展示会などの説明の際に受ける質問でもっとも FAQ といえるものは、「どれくらい電波(信号)は届くのか?」であろう。この質問に正確に答えるのは困難である。それは、無線 LAN 機器の設置環境や機器の仕様(アンテナや送信出力)などによって答が大きく変わってしまうからである。あたりさわりのない答として「環境によって異なりますが、オフィスのような環境で 50m 前後、木造の戸建てなら一台のアクセスポイントで一軒がカバーできると思います」ということになる。しかし、本当のところは設置してみないとよくわからないのである。

また、「隣の部屋で同じチャンネルを使うと混信(干渉)しないのか?」という質問も多い。これは、本文中で説明した CSMA/CA のしくみをご理解いただければ、たがいに無線チャンネルのリソー

スを分け合うことで「影響」はあるものの、システムとして使用することはできるということがわかんと思う。しかし、産業用機器や医療用機器などからの干渉を受けて、スループットの低下や最悪時には通信途絶といった事態が起こることがあるのも事実である。

「無線 LAN の電波は身体に影響あるか?」といった質問も、時折受ける。これは、電車などで携帯電話や PHS の使用自粛や医療機器などへの影響を心配してのことと思われる。無線 LAN 機器は、一般的な製品で送信出力が 10mW ~ 50mW 程度であり、PHS の 80mW、携帯電話の数 100mW と比べて非常に低い電力輻射であることから、まず常識的には問題ないと考えられる。また、人体(とくに頭部)に近接して使用しないという状況からも、影響が少ないといえるであろう。

〔図 30〕 IEEE802.11b/g の進化



ある。

IEEE802.11g には、図 28 に示すように二つの役割がある。

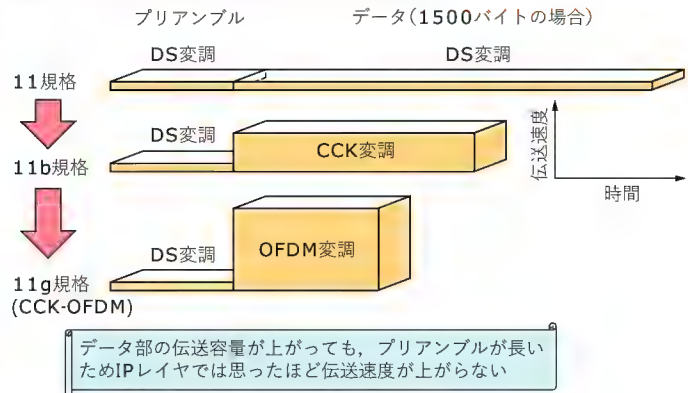
- ① 2.4GHz 帯における従来システムである IEEE802.11 および IEEE802.11b 方式との後方互換性をもちながら、さらなる高速化をはかる
- ② 5GHz 帯システムである IEEE802.11a 方式との将来の互換性 (前方互換性) をはかる

従来製品との互換性という観点からは、図 29 に示すように AP を置き換えることで、従来の IEEE802.11、IEEE802.11b の両規格の製品を収容することができるようになっている。これは、図 30 に示すようにプリアンブル部およびヘッダ部は共通の DS-SS 方式を用い、データ部分に高能率変調方式を適用することで実現する。しかし、従来方式との互換性を重視するあまり、上位レイヤ (IP レイヤ) におけるスループットは物理レイヤの高速化ほど伸びない。これはプリアンブル部およびヘッダ部の占める時間が相対的に長くなるためである (図 31)。IEEE802.11g について、3.5 節と同様に IP レイヤでのスループットを求めたものを図 32 に示す。このように CCK-OFDM 方式では、物理レイヤの高速化の効果が十分に得られていない。

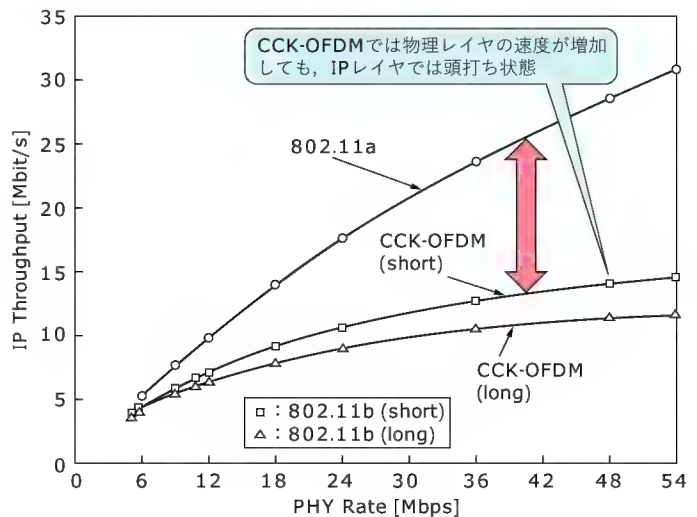
そこで、従来方式との後方互換性と決別して、将来システムとして有望と考えられる 5GHz 帯 IEEE802.11a 規格との互換性を考慮して規定されたものが、IEEE802.11g における OFDM 方式である (図 33)。これにより、IP レイヤでの高スループットが期待できる。

このような IEEE802.11g に準拠した製品が登場するとワイヤレスネットワーク環境はどのように変化していくかを図 34、図 35 に示す。2.4GHz 帯では、IEEE802.11g により後方互換性を維持したネットワークと高スループットを迫及したネットワークが構成可能となるが、2.4GHz 帯と 5GHz 帯の間には、同じ OFDM 方式を使っている物理的に周波数帯が異なるため相互に通信はできない状態が起こる。しかし、現在さかんに開発されている 2.4GHz/5GHz 帯のデュアルバンド対応のデバイス (コンボチップ) が普及すれば、図 36 のように 2.4GHz 帯 IEEE802.11b/g と 5GHz 帯 IEEE802.11a のシステム間をシームレスに接続可能

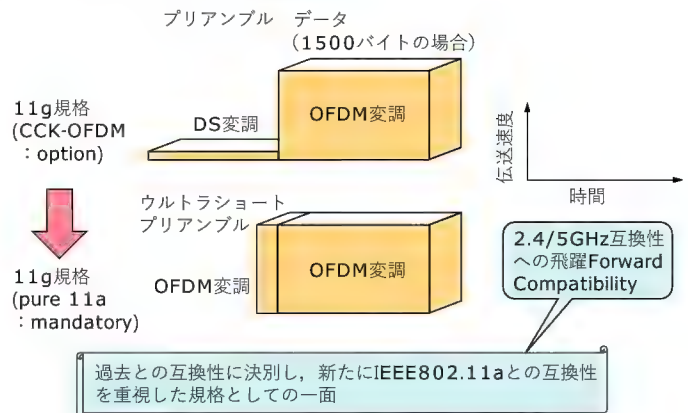
〔図 31〕 IEEE802.11b/g の進化における課題



〔図 32〕 IEEE802.11g のスループット (理論限界値)



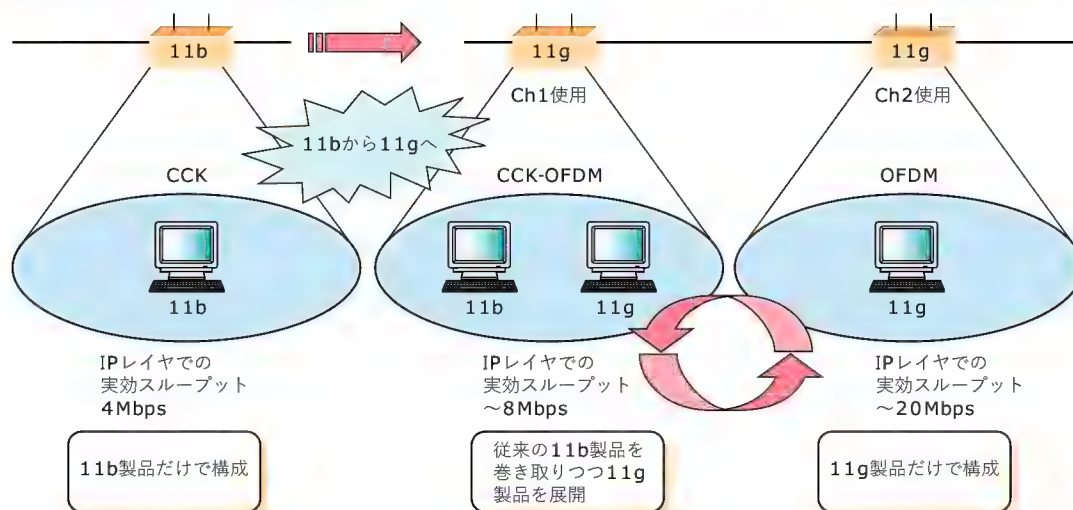
〔図 33〕 IEEE802.11g の前方互換性



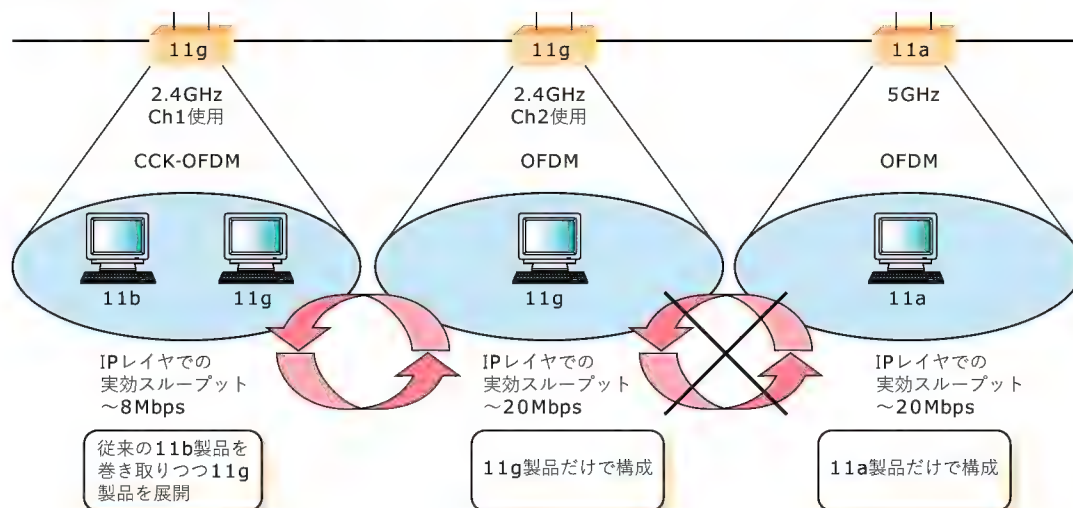
になる。

このように、IEEE802.11g の登場により、2.4GHz 帯無線 LAN と 5GHz 帯無線 LAN はどちらが良いのかという「競合状態」から、物理的に周波数帯は離れているものの「統合状態」へと移り、

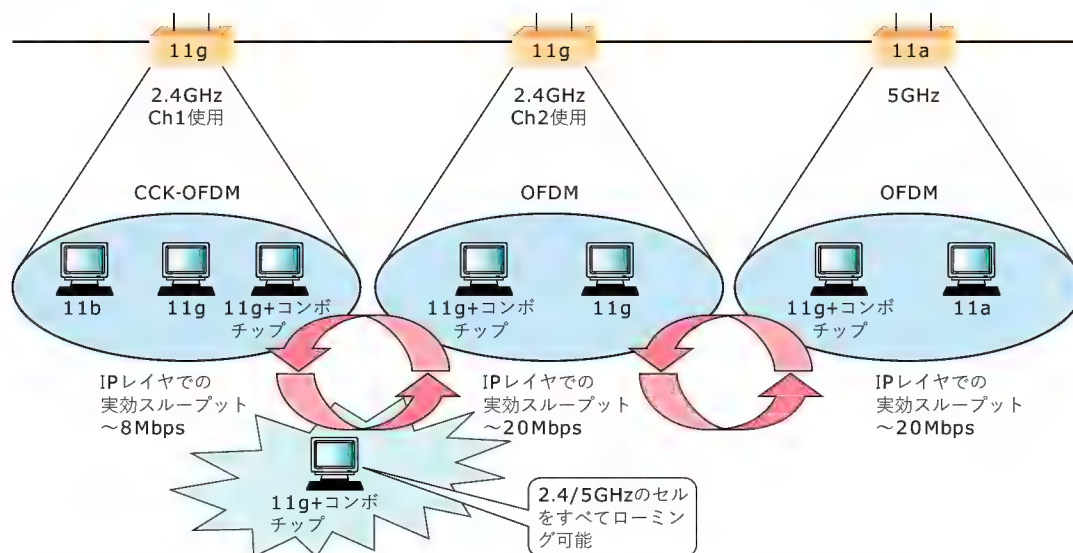
〔図 34〕 2.4GHz 帯 IEEE802.11b/g のネットワーク進化



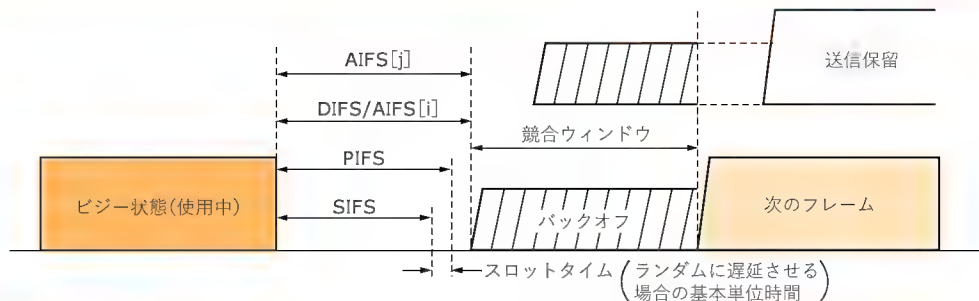
〔図 35〕 2.4/5GHz 帯 IEEE802.11a/b/g 混在ネットワーク



〔図 36〕 2.4/5GHz 帯コンボチップによるローミング



〔図 37〕 AIFS を用いた優先制御



AIFS	Arbitration Inter Frame Space, フレーム送信間隔
DIFS	Distributed Inter Frame Space, 分散制御用フレーム間隔
PIFS	Point Inter Frame Space, ポーリング用フレーム間隔
SIFS	Short Inter Frame Space, 短フレーム間隔
競合ウィンドウ	各パケットの衝突を避けるために設けられたランダムな遅延時間のエリア
バックオフ	各パケットでは、ビジー状態から送信に移る際にランダムな遅延時間を生成する。この時間のこと

相互に使用できるチャンネルが増加したワイヤレスネットワーク環境が実現される。

4.2 タスクグループ e (TGe): QoS サポート

TGe では、既存の MAC レイヤを拡張し、QoS (Quality of Service) をサポートするための手段として、従来の DCF と PCF の機能を統合した HCF (Hybrid Coordination Function) の機能について検討が進んでいる。HCF には QoS サポートのため、提供する QoS の性質に応じて 2 種類のアクセス制御方法の規定が盛り込まれる見通しである。

1) HCF 競合チャネルアクセス

(HCF contention-based channel access)

CSMA/CA 方式を拡張したアクセス制御方式で、データ送信時に優先制御を行うプライオリティベースの QoS である。帯域や遅延時間などの具体的な品質を保証するものではない、サポートする AP および STA は優先度に対応するキューをもち、アクセス制御時のパラメータであるキャリアセンス時間の長さとパ

ックオフアルゴリズムの乱数発生範囲を優先度に応じて変化させる (図 37)。これによって、優先度の高いデータに対してより多くの送信機会を与えることで、統計的な優先制御を実現する。

2) HCF ポールド・アクセス (HCF polled channel access)

従来のポーリング手順を拡張し、指定された帯域幅や遅延時間などのパラメータを保証するためのアクセス制御方法である (図 38)。この方法を用いるために、サポートする STA が通信品質を要求する手順も別途規定している。

4.3 タスクグループ i (TGi): セキュリティ機能拡張

TGi では、セキュリティ機能の拡張について、上位レイヤ認証機能と暗号化アルゴリズムの強化が検討されている。TGi は、従来の IEEE802.11 になかったセキュリティ機能を提供するネットワークとして RSN (Robust Security Network) を規定しており、その定義は「認証と鍵配送に IEEE802.1x 規格を使用したネットワーク」とされている。

RSN 内には認証サーバが存在し、TGi 規格に準拠した AP お

TECH I Vol.15 (Interface 1月号増刊)

好評発売中

リアルタイム/マルチタスクシステムの徹底研究

組み込みシステムの基本とタスクスケジューリング技術の基礎

B5 判 264 ページ 藤倉 俊幸 著 定価 2,200 円 (税込)

携帯電話、デジカメ、冷蔵庫、洗濯機、湯沸かしポット、PDA、ガスメータ、... これらはマイコンが組み込まれ、さまざまな制御を行う組み込み機器です。

本書では、これら組み込み機器を開発するときのキーワードとなる、マルチタスク、リアルタイム、テスト、状態マシン、プライオリティインヘリタンスなどを一つ一つとりあげ、ていねいに解説しています。また、組み込みシステムの基礎技術の大きな柱であるタスクスケジューリングについて、詳細に解説しました。最後に資料編として、仕様書をどのように書いたら/読んだらよいかをまとめています。



CQ出版社 〒170-8461 東京都豊島区巣鴨 1-14-2

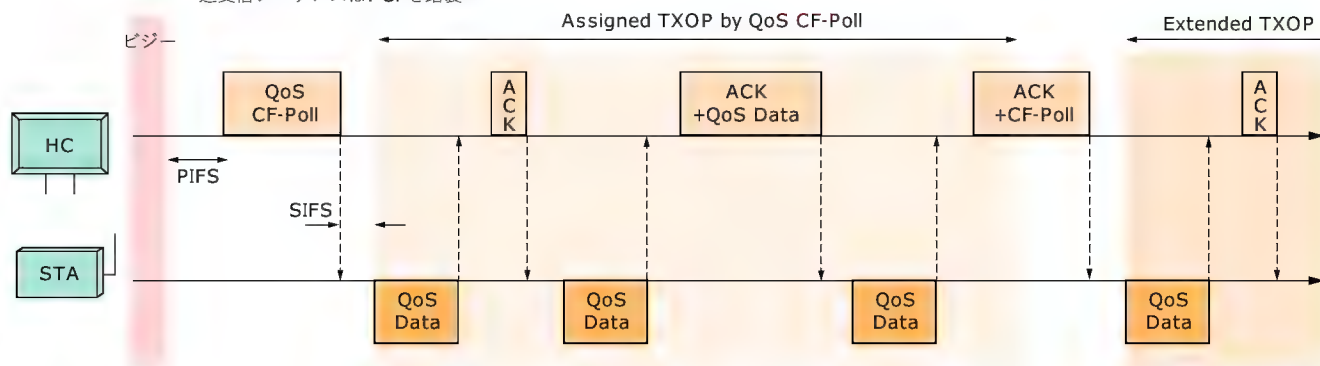
販売部 TEL.03-5395-2141

振替 00100-7-10665



〔図 38〕 HCF におけるポールド・アクセス制御

- チャネルアクセス：HC (Hybrid Coordinator) による集中制御
- ポーリングを使用した集中型アクセス制御手順
- QoS CF-Poll による送信権の割り当て
・ STA：割り当てられた TXOP 内でフレームを送信
・ 送受信シーケンスは PCF を踏襲



よび STA は IEEE802.11 プロトコル上に IEEE802.1x を実装する。これにより、IEEE802.1x を使った認証や AP-STA 対ごとに固有な暗号化鍵の使用や動的な更新などの機能が利用できる。

1) 上位レイヤ認証機能

TGf で検討中の規格では、従来の IEEE802.11 における MAC レイヤ認証処理は行わず、代わりに上位レイヤ認証を採用している。認証方式に特定な方式を指定してはいないが、認証に使用するしくみとして、IEEE802.1x に規定の EAPOL (Extensible Authentication Protocol over LAN) を想定している。認証方式としては、Windows XP 標準サポートの IEEE802.1x を利用した EAP-TLS (Extensible Authentication Protocol-Transport Layer Security) が主流になると見られる (図 39)。

2) 暗号化機能

WEP に代わる暗号化方式として、2 種類の方式を規定しようとしている。一つは、TKIP (Temporal Key Integrity Protocol) と呼ばれ、既存のハードウェア (RC4 暗号) を使用しつつ安全性を高めることを目的としたものである。TKIP では、パケットごとの暗号鍵の導出や改ざん防止機能の強化などが考慮されている。TKIP は、すでに出荷済みの製品に対する暗号化の強化策という位置付けであり、将来的には次に紹介する AES (Advanced Encryption Standard) に移行するものと考えられている。

AES は、現時点で解読されていない非常に強力な暗号化方式であり、AES を使用した方法は、RSN におけるデフォルトの暗号化方式となっている。AES の動作モードとしては、CCM (Counter mode with CBC MAC) 方式が提案されており、必須方式になる予定である。

4.3 その他の動き

IEEE802.11 ワーキンググループでは、その他にも、タスクグループ f (TGf)、タスクグループ h (TGh)、HT SG (High Throughput Study Group)、WNG SC (Wireless Next Generation Standing Committee) などが活動している。

TGf は、AP 間通信プロトコル IAPP (Inter-Access Point Protocol) に関する標準化を行った。IAPP は、同一ネットワークに存在する AP 間で STA のモビリティをサポートするプロトコルである。TGf は 2002 年 5 月にドラフトを完成し、ワーキンググループの承認を得ている。

TGh は、5GHz 帯無線 LAN に対する欧州の周波数規則への対応を目的としている。具体的には、IEEE802.11a 規格に送信電力制御機能 (TPC : Transmission Power Control) と、動的周波数選択機能 (DFS : Dynamic Frequency Selection) を追加することが検討され、2002 年 10 月ドラフトがワーキンググループに承認されている。

HT SG は、WNG SC から分離独立したスタディグループで、現在、次期高速無線 LAN の規格検討に向けて準備中である。基本的に既存の IEEE802.11 系の拡張による高スループット化を目的としている。

WNG SC では、将来の無線 LAN システムについて、世界統一規格の検討を目的の一つとしており、その要求条件の抽出やシステム・コンセプトなどの基礎的な議論が行われている。

おわりに

ワイヤレスネットワーク技術の現況と題して、現在もっとも普及している IEEE802.11 系無線 LAN システムの技術、標準化の動きを中心に解説した。

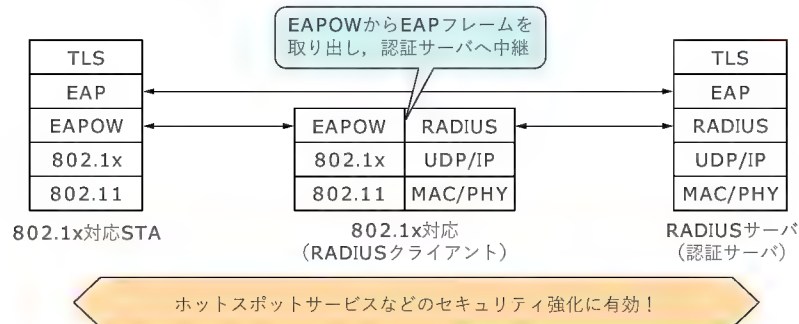
ワイヤレスネットワークに望まれる将来的な方向としては、以下の 2 点がとくに重要であると考えられる。

- 1) さらに広がるブロードバンド化：単なる「瞬間最大風速」としてではなく、実用的なエリアでの高速化が重要となる。無線の周波数といった限られた資源を有効に使っていく技術が必須である
- 2) セキュリティの高機能化：無線である性格上、セキュリティ面での課題を常に有しているといえる。ビジネスシーンやイ

〔図 39〕 上位レイヤ認証機能

• IEEE 802.1x

- ポートベースのアクセス制御を行うための標準方式
- Microsoftが Windows XP に搭載
 - EAP (Extensible Authentication Protocol)
 - RADIUS など、汎用性の高い認証方式が採用可能



インフラ系のサービスにはもちろん、家庭においても発熱機器や防犯システムなどへの適用を考慮すると、セキュリティ確保は重要な課題である

*

*

無線 LAN は、PC の普及、機器の低価格化、ブロードバンド化の波とともにビジネスシーンから家庭の中へと一気に普及してきた。今後、家電製品や AV 機器を含めた家庭内ネットワークの媒体としておおいに期待される場所である。

また一方では、公衆無線 LAN サービスなどのネットワークサービスへの適用が進んできている。LAN の技術が、ネットワークインフラへ展開されてきたのは、有線系ネットワークと同様

の流れであるとともに、無線の有する「移動性」を活かした「ユビキタスネットワーク」の媒体として期待されている。

参考文献

- 1) 服部 武、岡 雅宣編著、『ワイヤレス・ブロードバンド教科書』、IDG ジャパン
- 2) 日経コミュニケーション・日経ニューメディア共編、『最新モバイル・インターネット徹底解剖』、日経 BP

さかた・てつ NTT アクセスサービスシステム研究所

Design Wave Books シリーズ

好評発売中

無線によるデータ変復調技術

ASK から CDMA までデジタル変調方式と無線モデム

B5 変型判 176 ページ

西村 芳一 著

定価 2,520 円(税込)

ISBN4-7898-3349-6

21 世紀を迎えた頃から無線通信回線でもその不安定さを克服できる技術が実用化され安定で高速なデータを伝送できるようになりました。無線によるデータ伝送はネットワークの構築でも無視し得ない伝送技術になっています。無線通信回線では混信、雑音、マルチパスなど通信を阻害する要素が多く、有線回線で使われるデジタル化の技術をそのまま使えない面が多く、無線通信回線を考慮した設計が求められます。その変調技術にもノウハウが必要です。

本書はデジタル化が進む無線通信機の設計経験が豊富な筆者による、具体的な変調技術の解説書です。

第 1 章 前準備

第 2 章 基礎技術

第 3 章 無線変調方式

第 4 章 ASK

第 5 章 SSB によるデータ伝送
(振幅変調)

第 6 章 FSK

第 7 章 PSK

第 8 章 PN 符号によるフレーミング

第 9 章 CDM

第 10 章 OFDM



CQ出版社 〒170-8461 東京都豊島区巣鴨 1-14-2

販売部 TEL.03-5395-2141

振替 00100-7-10665



Chapter 2

Linux 上で動作する無線通信システムを構築する

Bluetoothプロトコルスタックの開発と検証

● 中野敬仁

近距離無線通信規格 Bluetooth が話題になっている。本章では、Linux 上で動作する Bluetooth プロトコルスタック「At-BT」および、ARM7 CPU ボード「Armadillo」上で「At-BT」を評価するキット「At-BT-EVA」について、その詳細と使用例を解説する〔いずれも開発は(株)アットマークテクノ〕。また、実際に Bluetooth 対応製品を開発したうえでの問題点も考察する。

(編集部)

はじめに

本章では、Linux 対応 Bluetooth プロトコルスタック「At-BT」、そしてその評価キットである「At-BT-EVA」についての解説と、実際にサンプルアプリケーションを作成した例を示しながら解説します。

● Bluetooth とは

Bluetooth は、エリクソン、IBM、インテル、ノキア、東芝の 5 社が中心となって策定した近距離無線の通信規格です。特徴として、次のような点があげられます。

- データ転送レートは 1Mbps
- 接続距離は 10m ～ 100m 程度
- データ (非同期データ)、および音声 (同期データ) が標準で利用可能
- 低消費電力
- 1 台 ～ 7 台での接続が可能
- 仕様が公開されている
- ISM 帯 (2.402GHz ～ 2.480GHz) を利用しており、免許が不要
- 電波を使用するため無指向
- セキュリティに関する機能が標準で利用可能

「あらゆるモバイル端末同士をワイヤレスで接続する」という、Bluetooth の位置付けを元に、上記のような各パラメータが最適化されています。

とくにモバイル端末を利用する上では重要な「消費電力」について、仕様が明言されている点は特徴的です。

また、接続の形態として単に 1 対 1 の機器同士だけでなく、1 台の機器 (マスタ: master) に対して複数台数の機器 (スレーブ: slave) が接続可能である点は、Bluetooth が柔軟なネットワーク形成のためのインターフェースとして利用できることを示しています。

● プロトコルスタック概要

Bluetooth は、「Core」と「Profile」という 2 種類の技術仕様書

によって規格が定義されています。

「Core」では、ベースバンドレイヤにおける通信方式や、送受信される際のデータフレームの定義など、各プロトコルレイヤの機能動作についての規定が記述されています。「Profile」では必要な機能動作がアプリケーション (FAX, LAN など) ごとに定義されています。

Core および Profile の詳細については、ここでは触れません。詳細については、Bluetooth SIG の公式サイトで公開されている仕様書をご覧ください。

Linux に対応した Bluetooth プロトコルスタックの評価キット「At-BT-EVA」とは

At-BT-EVA の概要図を図 1 に示します。At-BT-EVA は、次のような構成になっています。

● Armadillo

ARM7 系の CPU を搭載、Linux を標準 OS とする組み込み向け小型 CPU ボードです。

● BT 基板

Bluetooth ベースバンドモジュール、および Armadillo と接続するためのインターフェースを含む接続基板です。

モジュールには NBTC-1 シリーズ [NBTC-119A : 長野日本無線(株)] を使用しています。BT 基板の接続には、Armadillo の COM2 [ttyAM1] を使用します (写真 1)。

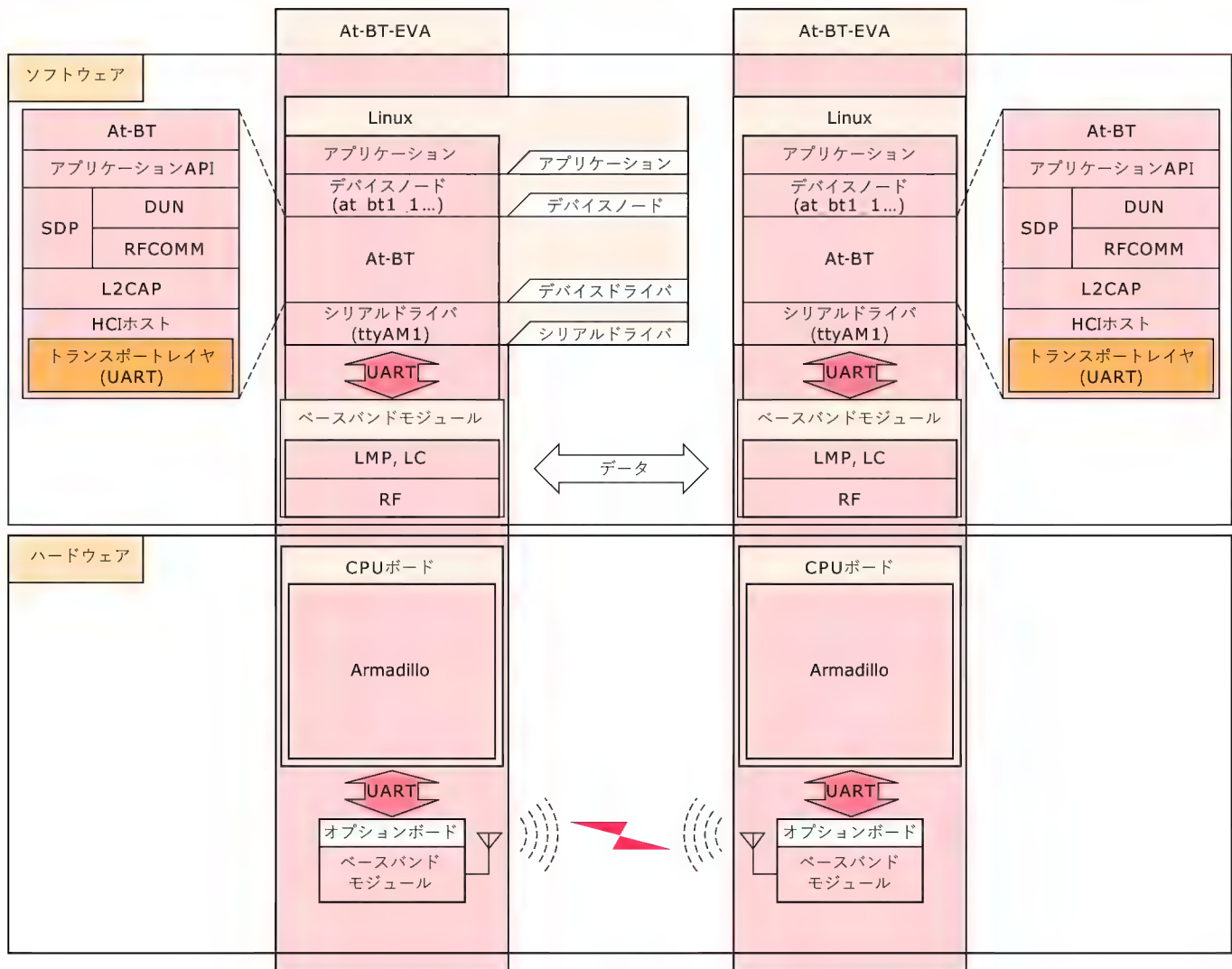
● At-BT

Linux 対応の Bluetooth プロトコルスタックです。Armadillo 専用のオブジェクトファイルとして提供されます。

「At-BT-EVA」を使用することで、Bluetooth を使った無線通信が手軽に行えます。また、API を使用した At-BT を制御するプログラムを作成することで、Bluetooth に対応したアプリケーションの開発が可能です。

At-BT-EVA の特徴を次に示します。

〔図1〕 At-BT-EVA 概要図



- Linux 対応 Bluetooth プロトコルスタック「At-BT」が動作
- Version1.1 のロゴ認証取得済み (At-BT, At-BT-EVA)
- HCI トランスポートレイヤに UART を使用
- 既存の Linux シリアルアプリケーションが使用可能
- ピコネット対応
- プロトコルスタック自体を tty デバイスドライバとして実装

1.1 プロトコルスタック「At-BT」とは？

プロトコルスタック「At-BT」について説明します。

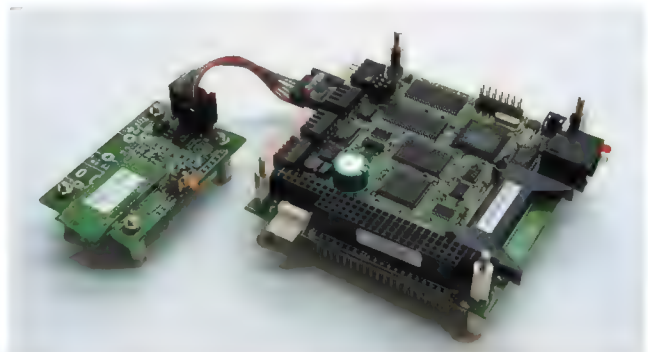
● 対応プロトコルとプロファイル

現在対応しているプロトコルとプロファイルは、表1、表2のようになっています。表2のプロファイルのうち(*)マークに関しては、2001年12月に Bluetooth SIG よりロゴ認証を取得しました。

● スタックレイヤ構成

At-BT は、次のようなレイヤ構成になっています(図2)。At-BT はデバイスドライバとして実装されています。

〔写真1〕 Armadillo と BT 基板を接続したようす



▶ Bluetooth プロトコルスタックレイヤ

Bluetooth Specification Version 1.1 Core, および Profile の仕様にしたが、次のレイヤが実装されています。

● HCI-UART (トランスポートレイヤ)

ホスト (プロトコルスタック) とホストコントローラ (ベースバ

コラム BNEP

Bluetooth 標準の TCP/IP 機能を実現するプロトコルとして、BNEP (Bluetooth Network Encapsulation Protocol) があります。BNEP を使用することで、RFCOMM と DUNP (Dial-up Networking Profile) を使用した場合に比べ、通信の際のオーバーヘッドが軽減されるという利点もあります。

BNEP 自体の Version が 0.9xx ということでまだまだ策定中の段階なのですが、近年、PAN (Personal Area Network) に対する要求は高まってきているため、現在の RFCOMM + DUNP の構成は、PAN のプロファイルにて必須とされる BNEP にいずれ置き換わることでしょう。

ンドモジュール)間において、データの送受信をどのように行うかについて取り決めを行っているプロトコルです。

「UART・PCMCIA・USB」のインターフェースが定義されています。At-BT-EVA では、UART を使用しています。転送レートは 115.2kbps で、RTS/CTS によるフロー制御は行っていない。

● HCI

ホスト-ホストコントローラ間での制御方法が定義されているプロトコルです。ホストが送信する「コマンド」と、要求に対するホストコントローラからの「イベント」が規定されています。

At-BT では、複数コネクションによるデータ送受信に対応しています。また、送信コマンドと受信イベントの関連付け用管

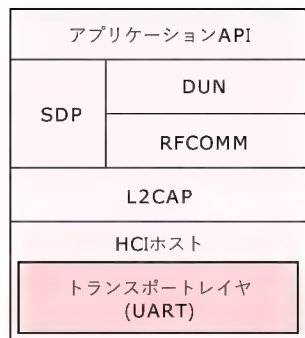
〔表 1〕対応プロトコル一覧

L2CAP (Logic Link Control and Adaptation Protocol)
RFCOMM
SDP (Service Discovery Protocol)
HCI-UART

〔表 2〕対応プロファイル

GAP (Generic Access Profile) [*]
SDAP (Service Discovery Application Profile) [*]
SPP (Serial Port Profile) [*]
DUNP (Dial-Up Networking Profile)

〔図 2〕At-BT スタックレイヤ構成図



理テーブルをスタック内部に設けて同期処理を行っています(図 3)。これにより、一つの機器に複数のモジュールをつないで利用される状況において、送信コマンドと受信イベントの同期(関連付け)処理が可能になります。

● L2CAP

「論理リンクチャネルの制御」、「データの分割・再構成」などの処理を行うためのプロトコルです。複数の論理リンクチャネルでの動作に対応しています。L2CAP の上位のスタックは SDP や RFCOMM、BNEP、AVCTP (Audio Video Control Transport Protocol) などというように、各種の適合プロトコルが当初から規定されています。

At-BT では、L2CAP とその上位のプロトコル間のインターフェースについて、上位に位置する各種のプロトコルの変更(取りかえられて使用されること)を前提とした構造としました。これは、図 4 に示すように「上位のプロトコルの情報を L2CAP レイヤに伝える(レジストする)」という処理を行うことで実現しています。

● SDP

Bluetooth 機器として利用可能なサービスの検索・応答機能を実現するためのプロトコルです。対応プロファイルとして登録しているサービスは、次のようになっています。

● Serial Port Profile

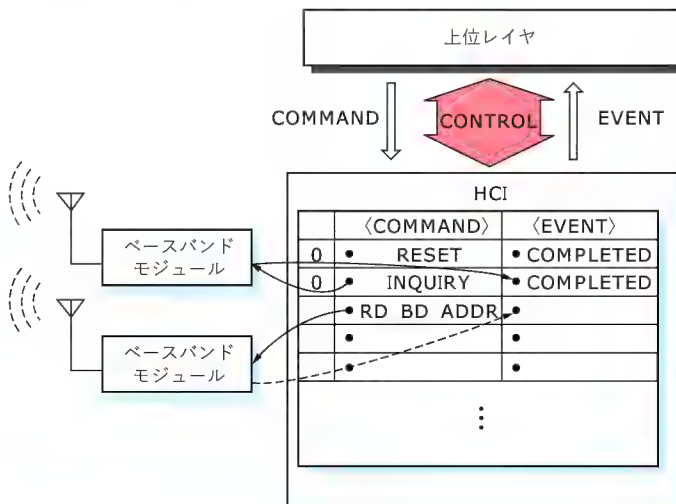
● Service Discovery Application Profile

At-BT ではクライアント(サービス問い合わせを行う)側、およびサーバ(サービス問い合わせに対しての応答)側の両機能に対応しています。

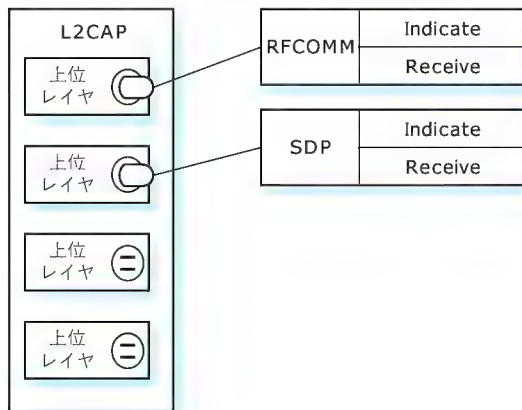
今回、At-BT で対応しているプロトコルのうちでも、SDP は次のような点において特殊であるといえます。

- ビッグエンディアン形式でデータを扱う(他のレイヤはリトルエンディアン)
- データベース(検索・応答)処理

〔図 3〕HCI 送信コマンド、受信イベントの同期処理



〔図4〕 L2CAP レイヤへ上位レイヤ関数を登録



一般的な通信プロトコルの基本動作である「上位レイヤからのデータにヘッダ情報を付加して下位レイヤに渡す」という処理に加えて、図5に示すような「受信データに対する検索・対応データの送信」という処理が加わります。

このような理由により、SDP レイヤはほかのレイヤより構造が複雑です。

● RFCOMM

シリアルポート (RS-232-C 準拠) の機能をソフトウェアエミュレートするための各種設定が定義されているプロトコルです。Core Version 1.0b, および 1.1 に対応しています。

● DUNP

At-BT では各種制御が行えるように、次の機能を実現する独自の AT コマンドを実装しています。

- 接続制御用
- HCI コマンド発行用

minicom のような AT コマンドの発行が可能な、一般的なシリアルアプリケーションを使用して At-BT を制御することで、Bluetooth による通信が手軽に実現できます (図6)。

▶ OS アブストラクションレイヤ

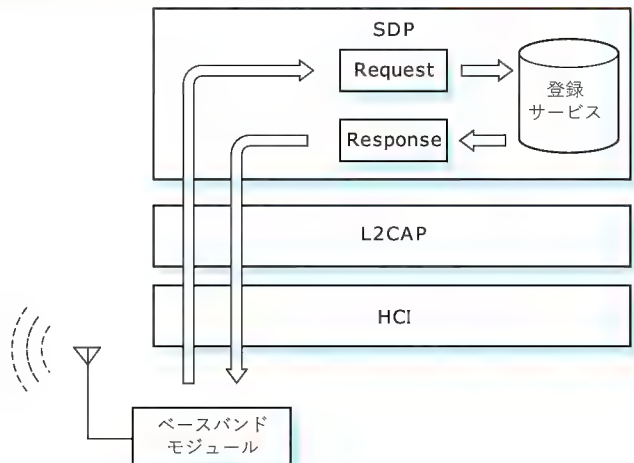
At-BT は Linux を標準の対応 OS としていますが、Linux 以外の他の OS への移植が容易に行えるように、使用している OS のシステムコールをカプセル化する構造をとりました。また、プロトコルスタックの各レイヤがよく利用する関数 (文字列の比較など) をこのレイヤに独自に登録しておくことで、OS への依存度を低減させています。

とくに近年は Linux の開発進捗が速く、カーネルのバージョンによってシステムコールのインターフェースが異なることもたびたびあります。このレイヤの機能を利用することで、At-BT が複数バージョンの Linux カーネルで動作することを可能にしています。

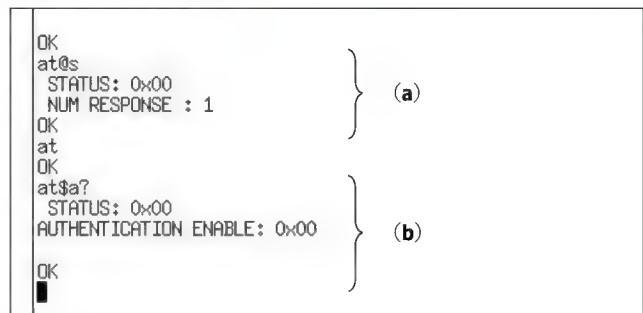
▶ Linux ドライバレイヤ

At-BT を制御・操作するための Linux キャラクタ型デバイスドライバ用のシステムコールが、このレイヤに含まれています。

〔図5〕 SDP データベース (検索・応答) 処理



〔図6〕 AT コマンド発行例



At-BT とデバイスドライバ構造については次節で説明します。

● 実装上のポイント

▶ At-BT の全レイヤをデバイスドライバとして実装

At-BT では対応しているすべてのプロトコルレイヤをアプリケーションではなく、デバイスドライバとして実装し、カーネルモードで動作する構造になっています (図7)。

アプリケーション (ユーザーモード) としてプロトコルを動作させた場合、プロトコル処理の最中にタスクスイッチが実行されます。

その結果、プロトコル処理が中断され、パフォーマンスの低下につながります。この問題を解決するため、アプリケーションではなく、デバイスドライバとして実装するにいたしました。

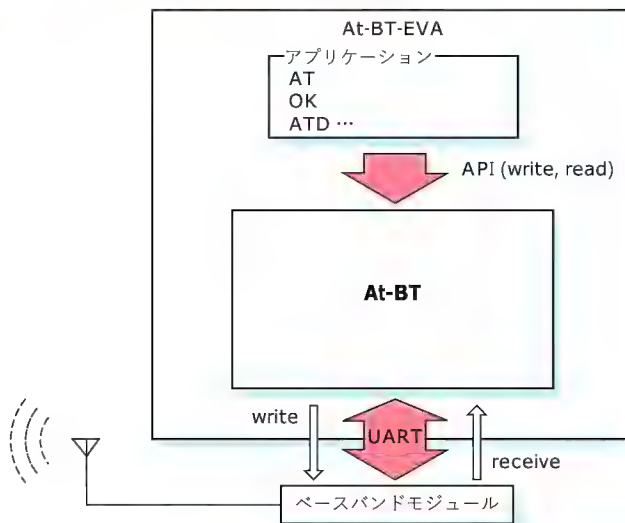
▶ キャラクタデバイス (tty デバイス) として登録

At-BT は、Linux のキャラクタ型のデバイスドライバ (tty デバイス) として動作します。tty デバイスとして実装することで、次のようなメリットが得られます。

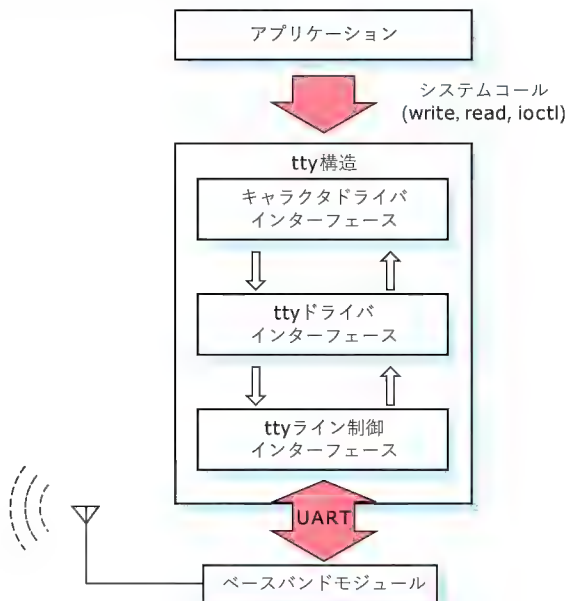
- Linux シリアルアプリケーションの資産が利用可能 (後述する minicom や PPxP など)
- tty のデバイスドライバの設計思想、および資産をそのまま流用することで開発工数を軽減させる
- ファイル操作のシステムコールを使ったプログラミングが



〔図7〕アプリケーション・At-BT・UART 関連図



〔図8〕Linux tty ドライバ構造



〔表3〕ファイル解説

ファイル	詳細
n tty.c	tty ライン制御 (UART に依存する制御) に関する処理
serial_clps711x.c	At-BT-EVA で使用している CPU (clps 711x 系) に搭載されている UART に依存する処理
serial_core.c	キャラクタ型デバイス用システムコールがコールされた際に実行される処理
tty_io.c	コンソール, UART などの tty デバイスの内, 使用するデバイスに依存しない共通処理
tty_ioctl.c	tty ドライバ, および tty ライン制御のうち「ioctl」に関する処理

簡単に行える

ここで, tty の構造について説明します。

●tty 構造

Linux の tty 型のデバイスドライバは, 三つのレイヤに分かれています (図8, 表3)。

At-BT は, この tty の上位2レイヤを置き換える形で実装されています。3レイヤに分けられた tty のドライバは, 各レイヤの置き換えが可能であり, 独自の tty ドライバを作成できる思想をうたっています。しかし実際には, 明確にレイヤ分けがされていないことや, レイヤを置き換えるために必要なシステムコールが整備されていないなど, まだ発展途上であるという感はいなめません。

そのため tty の構造に相当熟知していなければ, 内部の構造に手を加える作業にかなりの工数が必要となります。

実装された At-BT は表4, およびリスト1のように確認することができます。

動作させるにあたっていちばんの懸念は「既存の tty レイヤを Bluetooth のレイヤに置き換えることによるオーバーヘッドの増加」でした。実際に行ったテストの結果から, オーバーヘッドの増加による影響はなく, ftp を使用したファイル転送を行った場合でも, UART 設定の限界値に近い転送レートが確認できています (詳細は, 次項で解説する)。

●ioctl 関数を利用することで HCI の全コマンドが送信可能

キャラクタ型のデバイスドライバとして実装し, ファイル操作システムコールが使えるようになることの大きなメリットとして「ioctl 関数が利用可能である」点があげられます。ioctl 関数はデバイスドライバからハードウェア制御を行うために, デバイス依存の制御コマンドを発行するためのシステムコールです。Linux では一般的なシステムコールで, 多種多様なデバイスドライバで実装されています。

At-BT ではこの「ioctl」を使用することで, すべての HCI コマンドが送信可能です。これによりアプリケーションからベースバンドモジュールの制御が行えます。さらに, ioctl 関数はデバイスドライバの開発者によって自由に拡張してよいので, At-BT に対して独自のプロトコルを実装・拡張し, ioctl を使用して動作させることも可能です。

〔表4〕デバイスノード概要

ファイル名	at_bt1_1 (~ at_bt1_4)
デバイス名	at_bt
メジャー番号	241
マイナ番号	17

〔リスト1〕At-BT デバイスノード設定

# ls -la at bt*	
crw-rw-rw- 1 root tty 241, 17 Jan 8 13:00 at bt1 1	
crw-rw-rw- 1 root tty 241, 17 Jan 8 13:00 at bt1 2	
crw-rw-rw- 1 root tty 241, 17 Jan 8 13:00 at bt1 3	
crw-rw-rw- 1 root tty 241, 17 Jan 8 13:00 at bt1 4	

〔リスト2〕 minicom 設定ファイル(minirc.dfl) 例

```
pr port          /dev/at_btl 1
pu minit         ~^M~ATZ^M~
pu mreset        ~^M~ATZ^M~
```

2 At-BT-EVA の使用例

本項では次のような例を示して、At-BT-EVA についての説明を行います。

- シリアルアプリケーション(minicom)での使用例
- シリアルデータ送受信プログラムの作成
- チャットアプリケーションの作成
- PPP(TCP/IP)機能を利用

At-BT-EVA 上で動作するプログラムの作成には、ARM オブジェクトを生成するためのクロスコンパイル環境が必要になります。環境の構築については Armadillo 公式サイト(<http://armadillo.atmark-techno.com/>)をご覧ください。

2.1 シリアルアプリケーションでの使用例

At-BT-EVA の特徴である「AT コマンドを使用して簡単に接続が可能である」点について、シリアルアプリケーションである minicom を使って接続する例を取り上げます。minicom は、多くの Linux ディストリビューションに同梱されているシリアルデバイスを制御するための通信プログラムです。

はじめに、minicom で At-BT を操作するために設定ファイルを調整します。minicom で使用する際の設定は非常に簡単で、minicom の設定ファイル内に使用するデバイスノードを指定するだけです(リスト2)。

```
pr port          /dev/at_bt1_1
```

設定完了後、次の手順で操作を行います。

a) minicom 起動

まず、minicom を接続要求側(以降、リクエスト側)、被接続側(以降、レスポンス側)の2台、それぞれ起動させます(図9)。

(シェルコマンド)

```
$ minicom
```

b) 周囲の Bluetooth 対応機器の検出(図10(a))

リクエスト側にて検出動作を行うコマンド(at@s)を入力し、周囲に存在する Bluetooth 対応機器の検出を開始します。

(AT コマンド)

```
at@s
```

Bluetooth 機器の検出が失敗した場合は、検出件数(NUM RESPONSE)が「0」で表示されます。その際は再度検出動作を行ってください。

c) 検出結果の表示(図10(b))

検出動作後、検出が完了した機器のアドレス(「Bluetooth Device Address」、以降「BD_ADDR」)を表示させます。

(AT コマンド)

```
at@l
```

〔図9〕 minicom の起動

```
Welcome to minicom 1.83.1

OPTIONS: History Buffer, F-key Macros, Search History Buffer, I18n
Compiled on Jan 22 2002, 14:46:14.

Press CTRL-A Z for help on special keys

OK
ATZ
OK
□
```

〔図10〕 minicom (リクエスト側)

```
Welcome to minicom 1.83.1

OPTIONS: History Buffer, F-key Macros, Search History Buffer, I18n
Compiled on Jan 22 2002, 14:46:14.

Press CTRL-A Z for help on special keys

OK
ATZ
OK
at@s
STATUS: 0x00
NUM RESPONSE : 1
OK
at@l
responded devices
SO = 00:22:44:66:88:AA

OK
atds=0
CONNECT

hello!!
I'm At-BT-EVA.

ath
OK
```

(a) (b) (c) (d) (e)

CTRL-A Z for help | 115200 8N1 | NCR | Minicom 1.83.1 | VT102 | Offline

d) 接続開始・接続完了

c)の結果より接続先を指定し、接続動作を開始します。

(AT コマンド)

```
atds=0
```

接続が完了した場合「CONNECT」と表示されます(図10(c))。

また、レスポンス側にも接続が完了したことを通知する文字「CONNECTED」が表示されます(図11(a))。レスポンス側は、デフォルトで「対向からの接続をすべて受け付ける設定」になっています(この設定については自由に変更が可能)。

e) データの送受信が行える

キーボードから入力を行います。入力はすべて相手側の画面に表示されます(図10(d))。

f) 切断処理

切断処理は、エスケープシーケンス(+++)を入力し、データモードからコマンドモードに移行します(接続完了後は自動的にデータモードになっており、コマンドの入力は行えない状態になっている)。その後、回線切断のATコマンド(ath)を入力します。

(AT コマンド)

```
ath
```

回線切断処理が完了した場合「OK」が表示されます(図10(e))。

対向側により切断処理が行われ、その処理が完了した場合

〔図 11〕 minicom (レスポンス側)

```

Welcome to minicom 1.83.1
OPTIONS: History Buffer, F-key Macros, Search History Buffer, I18n
Compiled on Jan 22 2002, 14:46:14.
Press CTRL-A Z for help on special keys

OK
ATZ
OK
CONNECTED      } (a)
Hi I'm At-BT
How are you?

DISCONNECTED   } (b)

```

「DISCONNECTED」と表示されて切断処理が完了します〔図 11 (b)〕。

2.2 シリアルデータ送受信プログラムの作成

At-BT の API の利用して、実際にサンプルアプリケーションを作成します。2 台の At-BT-EVA を Bluetooth で接続し、双方の画面にて入力されたデータが対向の画面に出力されるサンプルアプリケーションを作成します。アプリケーションの作成にあたっては、次のようなポイントがあげられます。

a) 接続先の BD_ADDR の指定

〔リスト 3〕 sample.c (抜粋)

```

/* ## リクエスト側処理 ## */
static int RequestProc( unsigned char *target )
{
    const unsigned char AT_CONNECT_A[] = "atd00:22:44:66:88:AA\r" ;
    const unsigned char AT_CONNECT_B[] = "atd11:33:55:77:99:BB\r" ;

    /* チャネル確立動作は n 回までリトライする */
    unsigned char connect_challenge_count = 1 ;
    unsigned char count = 0 ;

    unsigned char *dst = NULL ;

    if( strcmp( target, "ADDR A" ) == 0 ) {
        /* ADDR A へ接続 */
        dst = (unsigned char *)AT_CONNECT_A ;
    } else if( strcmp( target, "ADDR B" ) == 0 ) {
        /* ADDR B へ接続 */
        dst = (unsigned char *)AT_CONNECT_B ;
    } else {
        /* 引数省略時には、ADDR A へ接続 */
        dst = (unsigned char *)AT_CONNECT_A ;
    }

    /* 対向機とのコネクション確立開始(at コマンド送信) */
    for( count = 0 ; count < connect_challenge_count
        && !connect_flag ; count++ ) {
        write( fds, dst, strlen( dst ) ) ;
    }

    /* リトライ回数分送信したが、チャネル確立ならず */
    if( !connect_flag ) {
        return FAILED ;
    }

    return COMPLETED ;
} /* RequestProc */

```

b) 接続・切断処理に AT コマンドを使用

c) Linux のキャラクタ型デバイスドライバ用のシステムコールを使用

事前に接続対象の BD_ADDR を設定しておきます。

```
const unsigned char AT_CONNECT_A[] =
    "atd00:22:44:66:88:AA\r" ;
```

サンプルプログラム中では、接続する BD_ADDR をあらかじめ指定して接続を行っていますが、初めに機器の検出 (inquiry を発行する API を利用) をしておき、検出された機器に対して接続を開始することも可能です。

また、接続・切断などの制御も AT コマンドで行うので、プログラム内で設定しておきます。

「open, select, write」といった、キャラクタ型デバイスドライバのシステムコールを使用してデバイスの制御を行います。

```
/* ADDR_A へ接続 */
dst = (unsigned char *)AT_CONNECT_A ;

...
略
...

write( fds, dst, strlen( dst ) ) ;
```

実際に作成したシリアルデータ送受信プログラムのソースコード (sample.c) の一部をリスト 3 に示します。

2.3 チャットアプリケーションの作成

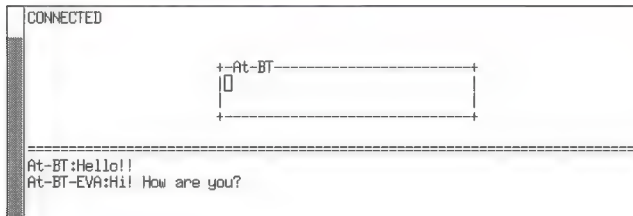
前節のシリアルデータ送受信プログラムをベースに、1 対 1 で行うチャットアプリケーションを作成します。At-BT-EVA を使う場合、シリアルコンソール (もしくは Ethernet 経由) からログインし、シェルよりコマンドを打ち込んで行う「キャラクタベースでの操作」になります。そのため、本節で作成するチャットアプリケーションもキャラクタベースになります。今回のアプリケーションを作る上で「curses」という画面制御用のライブラリを使用します。

ここで、curses について簡単に説明します。curses はキャラクタベースの対話型アプリケーションを作成するためのライブラリで、Linux をはじめとする UNIX ベースシステムでは標準的なライブラリです。Linux を標準 OS とする Armadillo においても、問題なく利用することができます。今回作成したチャットの画面イメージを図 12 に示します。

チャット中は発言がどちら (誰) からのものであるか判別するために、事前にお互いの名前を入力しておく必要があります。チャットの開始時に自分の名前を伝えて (もしくは相手の名前を確認して) おきます。

この処理を行うために、Bluetooth (HCI) の機能である Change_Local_Name / Remote_Name_Request コマンドを使用します。Change_Local_Name コマンドは、Bluetooth ベースバンドモジュールに対して 248 バイトのデータ (Name) を登録しておくことができる機能です。Remote_Name_Request コマンドは、コネクション確立後に相手の Name を取得できるという機

〔図 12〕 チャット画面動作イメージ



〔表 5〕 アプリケーション作成に必要なファイル

ファイル名	chat_sample.c
	my_chat.c
	sample.h
	my_chat.h

能です(チャットにはうってつけの機能だといえる)。

アプリケーションより HCI の Remote_Name_Request コマンドを発行するためには、リスト 4 のようにします。

今回作成するチャットアプリケーションは、次のファイルから構成されます(表 5)。以上のファイルを元にコンパイルを行い、アプリケーションを作成します。

(シェルコマンド)

```
$ arm-linux-gcc -Wall -o smpl_chat -I./
include -I/usr/arm-linux/include -I/usr/
arm-linux/include/ncurses/ chat_sample.
c my_chat.c -lncurses -mstructure-size
boundary=8
```

上記のコンパイルオプションについて、ポイントが 2 点あります。

● 構造体のサイズ調整方式の指定

-mstructure-size-boundary=8

構造体、および共用体のサイズ調整(丸め)が発生する際、その動作方法を指定します。At-BT を利用する際には必ず「8」を指定してください。

● curses ライブラリ利用の指定

-lncurses

-I/usr/arm-linux/include/ncurses/

curses ライブラリを使用する際のオプション指定です。-I オプションに関しては、個々の環境にあわせて指定を行ってください(筆者の環境では「/usr/arm-linux/include/ncurses/」に curses ライブラリ用のヘッダファイルが存在する)。

上記のコマンドにて作成されたファイル「smpl_chat」を At-BT-EVA 上で実行します。

a) レスポンス側を起動

はじめにレスポンス側の At-BT-EVA にて作成したプログラムを起動させます。引き数を指定する必要はありません。

(シェルコマンド)

```
$ smpl_chat
```

〔リスト 4〕 chat_sample.c(抜粋)

```
/* ## 対向側の Name 取得 ## */
static int GetAndSetOppoNm( struct cmn_bd_addr *bd_addr )
{
    int result = 0 ;
    struct remote_nm_req_prm prms_nm ;

    /* 指定の BD_ADDR の機器名取得 (Remote Local Name コマンド発行) */
    prms_nm.set_bd_addr = bd_addr ;
    prms_nm.page_scan_repetition_mode =
        HCI_PAGE_SCAN_REPETITION_MODE_R1 ;
    prms_nm.page_scan_mode = HCI_PAGE_SCAN_MODE_MANDATORY ;
    if( (result = ioctl( fds, BTCTL_HCI_REMOTE_NM_REQ,
        &prms_nm )) < 0 ) {
        return FAILED ;
    }

    /* ローカルに保存 */
    SetOppoNm( prms_nm.remote_nm ) ;
    return COMPLETED ;
} /* GetAndSetOppoNm */
```

b) リクエスト側を起動

続いて、リクエスト側にて起動させます。

(シェルコマンド)

```
$ smpl_chat ADDR_A
```

第 1 引き数は、リクエスト側機器が接続動作を行う際の、相手側の BD_ADDR を指定するための引き数です。今回の場合は、上記 a) で起動させた接続先(レスポンス側)の BD_ADDR が「00 : 22 : 44 : 66 : 88 : AA」であるため「ADDR_A」を指定します。

c) 名前の入力

リクエスト側・レスポンス側ともに名前を入力します(図 13)。

d) 接続動作の開始

リクエスト側が接続動作を開始します。

e) 接続完了・チャットの開始

接続が完了するまで数秒かかります。接続が完了した場合、画面左上の表示が「WAITING」から「CONNECTED」になり、チャットが開始されます(図 12)。

接続動作が失敗した場合は、プログラムが終了します。

f) チャットの終了

チャットを終了させる場合は、「Ctrl + C キー」を押してアプリケーションを終了させます。

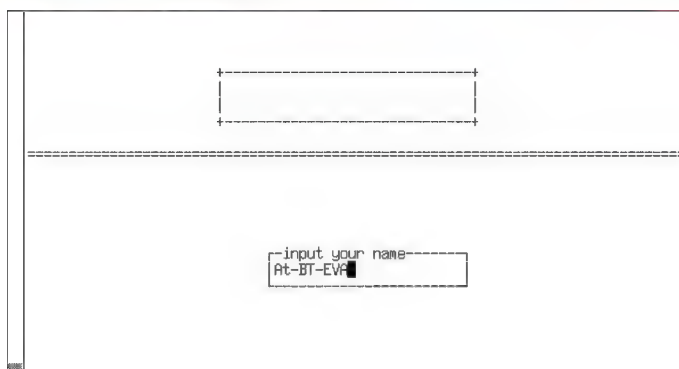
また、接続先がチャットを終了した場合は、自画面左上の表示が「CONNECTED」から「WAITING」に戻り、Bluetooth の接続が切断されたことがわかります。

2.4 PPP(TCP/IP)機能を利用

At-BT では「HCI, L2CAP, SDP, RFCOMM」のレイヤがサポートされています。他の上位プロトコルに関しては、ユーザーが拡張・実装することで利用可能です。

本節で解説する TCP/IP 機能を利用するためには、DUNP の仕様にしたい PPP の機能が必要となります。幸い Linux には PPP フレームを生成・解釈するアプリケーションがいくつか存

〔図 13〕 チャット画面名前入力



在します。本節では、そのうちの一つである「PPxP」というアプリケーションを利用して実例を示します。

● PPxP について

ここで、PPxP について解説します。PPxP は真鍋敬士氏作の PPP ドライバです。このアプリケーションを利用することにより、Bluetooth で接続された At-BT-EVA 間で TCP/IP での通信が可能になります。PPxP は本来、シリアルポートにモデムが接

〔リスト 5〕 設定スクリプト (myconfig) 設定例 (リクエスト側)

```
source qdial
set MODE active
set AUTH.PASSWD my auth pass
set LOG.FILE myconfig.log
set LINE /dev/at btl 1
set SERIAL.MODEM /myconnect
set DIAL.LIST 0000000000
set AUTH.PROTO PAP CHAP/MD5 CHAP/MS
set IP.LOCAL 192.168.100.250/24
set IP.SLOCAL yes
set IP.VJ no
set IP.RESOLV no
```

〔リスト 6〕 モデムスクリプト (myconnect) 例

```
include standard

Name "For At-BT with Hayes AT compatible "
MaxDTESpeed 115200
Initialize "at\r\5d"
Dial "ATD00:22:44:66:88:AA"

Ok "OK"
Connect "CONNECT"
Ring "RING"
Error "ERROR"
Busy "BUSY"
NoCarrier "NO CARRIER"
```

〔リスト 7〕 設定スクリプト (myconfig) 設定例 (レスポンス側)

```
source qdial
set MODE active
set AUTH.PASSWD my auth pass
set LOG.FILE myconfig.log
set LINE /dev/at btl 1
set SERIAL.MODEM /myconnect
set DIAL.LIST 0000000000
set AUTH.PROTO PAP CHAP/MD5 CHAP/MS
set IP.LOCAL 192.168.100.200/24
set IP.SLOCAL yes
set IP.VJ no
set IP.RESOLV no
```

続されている機器構成が標準的なので、tty デバイスとして利用可能な At-BT は問題なく動作が可能です。PPxP の詳細な利用方法についてはここではふれませんが、PPxP の公式サイトで公開されている「PPxP ガイド」をご覧ください。

PPxP を使用して PPP のコネクションを確立するために、次の二つの設定が必要です。

I) PPxP が制御するデバイスに At-BT を指定

設定スクリプト「/home/guest/.ppxp/conf/myconfig」ファイル中の使用するデバイスの項目に「At-BT」を指定します (リスト 5)。

```
set LINE /dev/at_btl_1
```

II) 接続先の BD_ADDR を指定

モデムスクリプト「/usr/local/etc/ppxp/modem/myconnect」ファイル中の接続 (Dial) コマンドに、接続先の BD_ADDR を設定します。接続先の BD_ADDR が「00 : 22 : 44 : 66 : 88 : AA」の場合は、dial の AT コマンドである「ATD」に続けて、

```
Dial "ATD00:22:44:66:88:AA"
```

と設定します (リスト 6)。

リクエスト側の IP アドレスを次のように設定しておきます (リスト 5)。また、レスポンス側の IP アドレスはリクエスト側のアドレスと異なる値を設定してください (リスト 7)。

(設定例)

[リクエスト側]

```
set IP.LOCAL 192.168.100.250/24
```

[レスポンス側]

```
set IP.LOCAL 192.168.100.200/24
```

PPxP を起動させ、接続を開始します。接続が完了 (ppxp コンソールの文字表示が「PPXP」に変化) するまでは、数秒かかります。接続が完了したのち、TCP/IP の接続が確立したかどうかをチェックするために、ifconfig コマンドを発行します (図 14、図 15)。

(シェルコマンド)

```
$ ifconfig
```

[リクエスト側]

```
tunl Link encap:Point-Point Protocol
inet addr:192.168.100.250
P-t-P:192.168.100.200
Mask:255.255.255.0
```

[レスポンス側]

```
tunl Link encap:Point-Point Protocol
inet addr:192.168.100.200
P-t-P:192.168.100.250
Mask:255.255.255.0
```

1 対 1 の接続が完了して、リクエスト側・レスポンス側で IP アドレスが決定したことが確認できます。

さらに、リクエスト側より ping コマンドを発行します (図

〔図 14〕 ifconfig コマンド発行結果
(リクエスト側)

```
PPXP> ifconfig

tunl      Link encap:Point-Point Protocol
          inet addr:192.168.100.250  P-t-P:192.168.100.200  Mask:255.255.255.0
          UP POINTOPOINT RUNNING NOARP MULTICAST  MTU:1500  Metric:1
          RX packets:0 errors:0 dropped:0 overruns:0 frame:0
          TX packets:0 errors:0 dropped:0 overruns:0 carrier:0
          collisions:0 txqueuelen:10
          RX bytes:0 (0.0 b)  TX bytes:0 (0.0 b)
```

〔図 15〕 ifconfig コマンド発行結果
(レスポンス側)

```
PPXP> ifconfig

tunl      Link encap:Point-Point Protocol
          inet addr:192.168.100.200  P-t-P:192.168.100.250  Mask:255.255.255.0
          UP POINTOPOINT RUNNING NOARP MULTICAST  MTU:1500  Metric:1
          RX packets:0 errors:0 dropped:0 overruns:0 frame:0
          TX packets:0 errors:0 dropped:0 overruns:0 carrier:0
          collisions:0 txqueuelen:10
          RX bytes:0 (0.0 b)  TX bytes:0 (0.0 b)
```

〔図 16〕 ping コマンド発行結果

```
PPXP> ping 192.168.100.250
PING 192.168.100.250 (192.168.100.250): 56 data bytes
64 bytes from 192.168.100.250: icmp_seq=0 ttl=255 time=1.6 ms
64 bytes from 192.168.100.250: icmp_seq=1 ttl=255 time=1.4 ms
64 bytes from 192.168.100.250: icmp_seq=2 ttl=255 time=1.4 ms
64 bytes from 192.168.100.250: icmp_seq=3 ttl=255 time=1.4 ms
64 bytes from 192.168.100.250: icmp_seq=4 ttl=255 time=1.4 ms
64 bytes from 192.168.100.250: icmp_seq=5 ttl=255 time=1.4 ms

--- 192.168.100.250 ping statistics ---
6 packets transmitted, 6 packets received, 0% packet loss
round-trip min/avg/max = 1.4/1.4/1.6 ms
```

〔図 17〕 ftp (ファイル受信) 結果

```
ftp> mget rcv_sample.data
mget rcv_sample.data? y
200 PORT command successful.
150 Opening BINARY mode data connection for
'rcv_sample.data' (2068083 bytes).
226 Transfer complete.
2068083 bytes received in 199.85 secs (10.1 kB/s)
ftp>
```

〔図 18〕 ftp (ファイル送信) 結果

```
ftp> mput snd_sample.data
mput snd_sample.data? y
200 PORT command successful.
150 FILE: snd_sample.data
226 Transfer complete.
2743170 bytes sent in 254.21 secs (10.5 kB/s)
ftp>
```

16).

(シェルコマンド)

\$ ping 192.168.100.200

● 実用例

PPP 接続が完了し、TCP/IP の機能を使用する各種アプリケーション(ftp, telnet など)が利用可能になりました。ここでは、データの転送レートの検証をかねて「ftp」でファイルの送受信を行ってみます。

送信、受信ともに 10K バイト/s 程度の転送レートが出ていることが確認できました。UART の転送レートは 115.2kbps なので、ほぼ限界値に近い速度でファイルの転送が行えています(図 17, 図 18)。

3

Bluetooth 対応の製品開発について

Bluetooth 対応の製品開発を行った経緯から、開発にあたってのポイントをいくつか取り上げます。

At-BT, および At-BT-EVA の開発にあたっては「仕様の解釈」、「バージョン互換」、「ベースバンドモジュール入手」など、いろいろな問題がありました。

Bluetooth の仕様は「Core」、「Profile」という 2 種類、あわせて 1700 ページにもおよぶ仕様書にはじまり、テスト仕様書、ERRATA, および現在も策定中の新規のプロトコル・プロファイルと多岐にわたっています。その結果、ベースバンドモジュールをはじめとするハードウェア部品、インターフェース部に Bluetooth を使用する製品(プリンタ、ワイヤレスモデム)、または、At-BT のような実際に製品に組み込むためのソフトウェア(プロトコルスタック)といったように、多種多様な製品が存在します。そのため、前述の内容のほかにもさまざまな問題点があります。

その中の一つで、Bluetooth 対応の製品開発を行ううえで共通の課題である「ロゴ認証システム」について解説します。

● ロゴ認証システム

Bluetooth 搭載の機器を、正式に「Bluetooth 対応機器」として市場に販売するためには、Bluetooth SIG が定める認証基準の審査をクリアし、Bluetooth の仕様に準拠した機器の証明である

「ロゴ認証」を取得しなければなりません。

審査の際の製品開発元の作業手順は、次のようになります。

- Bluetooth SIG より公開されているテスト仕様書 (ICS) より、申請を行うテスト項目を抽出する
- 抽出したテスト項目についての動作を証明するテスト結果を作成し、BQTF に報告する

このテストおよび結果の抽出には、多くの労力とコストを要します。At-BT のようなプロトコルスタックでは、ロゴ認証の取得完了までの期間として約 3 か月かかるといわれています。

At-BT、At-BT-EVA の認証作業を経た上で、次のようなポイントがあげられます。

- Core、Profile 全般にわたっての理解が必要

とくに Profile (SDAP、DUNP など) についての認証取得の際には、Core にて規定されている各レイヤ (LMP、Baseband、L2CAP など) 全般にわたってテスト項目が準備されています。よって、当然のことながら Core、Profile に関しての幅広い理解が必要になります。

- テスト結果 (レポート) の作成

TEST Specification の記述に忠実にしたがったテスト結果ログの作成を求められます。

At-BT の場合はプロトコルスタックなので、対応レイヤごとにログ出力用のプログラムを作成する作業が発生しました。これだけでかなりの期間を必要としました。「テスト」という名前の示すとおり、あとは合格点が取れるまでひたすらレポートを作成して報告する形になります。

また、このテスト項目の抽出は内容により必須項目 (必ずテストを要する) と、任意項目 (機能の実装は必須ではない) とに分かれており、任意のテスト項目について申請するかどうかは開発元の判断にまかされているのが現状です。このため一口にロゴ認証取得製品といっても、実装された機能にバラツキが生じてしまいます。

この問題を回避する方法の一つとして「既存の Bluetooth 対応機器との接続を行い、テスト結果を作成する」というテスト項目が用意されている点があげられます。

また、UnPlug Festa (相互接続性のチェックを行うセミナー) が開催され、実際にはほかの Bluetooth 対応機器との接続を行うことで、相互接続性を高めようとしています。

以上のような状況は、Bluetooth 対応機器の信頼性を高める反面、ダイレクトに製品コストに反映されてしまうという問題点でもあります。

おわりに

ここ数年の無線 LAN の盛り上がりを見ると、802.11b をはじめとする無線技術の普及・進歩が大幅に進んだことは明らかです。残念ながら、その仲間の一つに Bluetooth が入っているとは現段階ではいえません。

しかし、Bluetooth をはじめとする WPAN (Wireless Personal Area Network) の必要性和普及の可能性は、まだまだ未知数です。

そのうえで Bluetooth 開発に携わった一開発者として、Bluetooth のさらなる普及、そして At-BT、At-BT-EVA がその推進の一翼を担えることを願っています^{注1}。

参考文献/URL

- 1) Bluetooth SIG 公式サイト <http://www.bluetooth.org/>
- 2) IEEE 802.15 Working Group for WPAN
<http://grouper.ieee.org/groups/802/15/index.html>
- 3) PPxP 公式サイト <http://www.linnet.gr.jp/~manabe/PPxP/>
- 4) Armadillo 公式サイト <http://armadillo.atmark-techno.com/>
- 5) 杉浦彰彦、『Bluetooth 技術解説』、ソフト・リサーチ・センター
- 6) 特集「近距離通信技術 Bluetooth のすべて」、『Interface』、2001 年 8 月号
- 7) 特集関連「Armadillo の概要と使用方法」、『Interface』、2002 年 7 月号

なかの・ゆきひと (株)アットマークテクノ

注 1: 本章で解説したサンプルプログラムのソースコードは、本号付属 CD-ROM「InterGiga No.29」に収録している。

TECH I Vol.14 (Interface10 月号増刊)

好評発売中

PC カード/メモリカードの徹底研究

規格の概要からカード/ホストコントローラ/ドライバの設計/製作

B5 判 280 ページ CD-ROM 付き 定価 2,200 円 (税込)

PC カードやコンパクトフラッシュは、メモリカードだけでなく、LAN やシリアルなどの I/O デバイスの拡張ポートとしても使える。さらに最近では、デジタルスチルカメラなどの記録媒体として、スマートメディア、メモリースティック、マルチメディア (MMC) カード、SD カードといった小型のフラッシュメモリカードが普及してきている。

本書では、これらのさまざまなメモリカードの規格やしくみを詳しく解説する。またユーザー独自の仕様の PC カードを設計し、それに対応した Windows ドライバソフトウェアを作成する。さらに組み込み機器向けにホストインターフェースを設計して、それに対応したカードドライバソフトウェアを作成する。



CQ出版社

〒170-8461 東京都豊島区巣鴨 1-14-2

販売部 TEL.03-5395-2141

振替 00100-7-10665

OFDM無線モデムの 基礎技術と設計事例

・ 西村芳一

無線 LAN の国際標準規格 IEEE802.11a では、変調方式として、移動体通信に向くと
いわれる OFDM を採用している。また、地上波デジタルテレビ放送でも OFDM が採
用される。本章では、この OFDM の技術的基礎をまず説明する。そして、OFDM デー
タモデムの設計事例を紹介しながら、開発のポイントをくわしく解説する。

(編集部)

はじめに

近年、無線 LAN やデジタル地上波テレビ放送関連で、OFDM (Orthogonal Frequency Division Multiplexing) と呼ばれる変調方式をたびたび耳にします。本誌でも何度か、その技術的解説がなされてきました。読者の皆さんも関心が強い技術の一つだと思います。しかし、原理的なことは理解できても、実際にその技術を使い商品設計に生かせる具体的な記事は少ないような気がします。ここでは、経験豊富とはいえないかもしれませんが、実際に OFDM 無線モデムを商品化設計したとき(写真 1)の事柄を中心に、OFDM の解説を試みます。

筆者も便利に使わせてもらっていますが、MATLAB (写真 2) は、このような通信分野での事前のシステム評価には欠かせないものとなっています。以前は、それぞれのシステムにあわせて図 1^{注1}のようなシミュレーションソフトを自前で作らなければ

注 1 : SL-SSB (Square-LanSSB)。自乗検波で、復調が可能な変調方式。くわしくは参考文献 7) を参照。

〔写真 1〕 OFDM 無線モデム



ならず、時間と手間がかかったものです。しかし、そうして苦
労して得られる結果は、商品化設計になくてはならないもので
す。実際にハードウェアを作り上げる前にある程度、さまざま
な条件でテストが可能で、苦労してハードを作ったあと、使い
ものにならないといったような無駄な状況を回避できるよう
なっています。

MATLAB が出力する結果を使い、手軽に細かな評価もでき
るようになった反面、それですべてを理解したような気分にな
ります。しかし、それから商品化設計が始まるのです。実際、そ
こには、理論をいかに具体化するかの難しい問題と、シミュレ
ーションでカバーできなかった実動作の厳しい評価が待ち受け
ているのです。

1 無線による OFDM の基礎

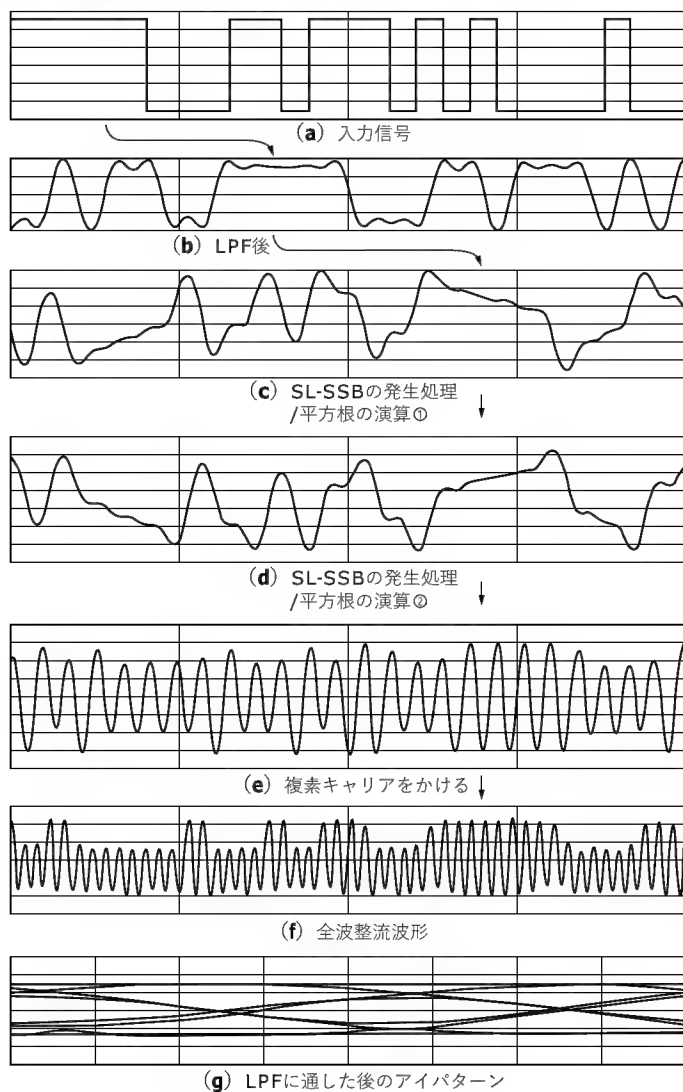
1.1 なぜ今 OFDM か

無線特有の問題として、マルチパスやドップラ効果などがあ
り、これらを避けることはできません。マルチパスでいえば、と

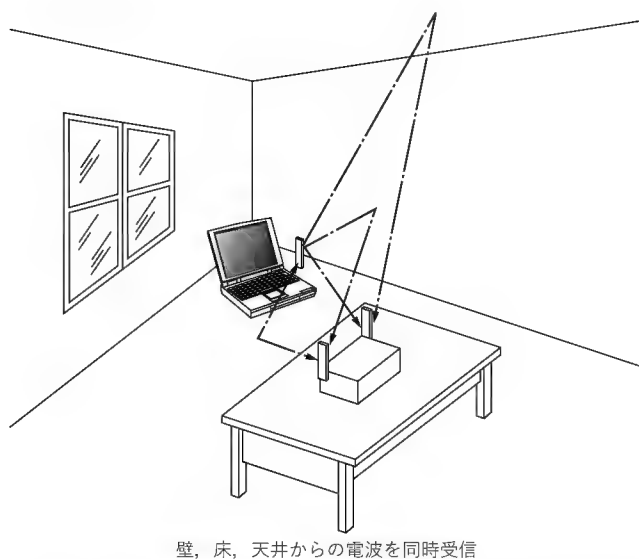
〔写真 2〕 MATLAB



〔図1〕 SL-SSB シミュレーションの例



〔図2〕 マルチパス



くにLANなどの場合は状況が深刻です。室内で使われることが多いと思いますが、図2のように壁、床、天井などからさまざまな反射波を同時に受信することを覚悟しなければなりません。これは、重大なフェージングの問題を引き起こします。

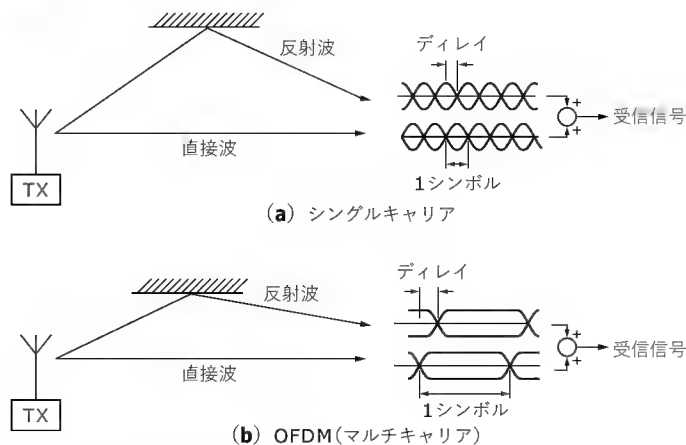
また、最近のデータ伝送はどんどん高速化の方向に向かっており、データ伝送における1シンボルの時間間隔はどんどん短くなる一方で、これにより、図3のようにちょっとした遅延のあるマルチパスの信号でも重大な影響を与えることは簡単に予想できます。従来のシングルキャリアの高速モデムでは、部屋の中の受信場所をちょっと変えるだけで、受信不可能な状態に陥ることが考えられるのです。

そこで、マルチパスに強い、OFDMに注目が集まるようになりました。図4のようにキャリアの数を増やせば増やすほど、シンボルレートを遅くすることが可能です。すなわちシンボル同士の時間間隔を広く取れ、シンボル間の干渉の影響を受けにくい、マルチパスに強いシステムが構築できます。さらに後で説明するガードインターバルを挿入することにより、より組織的にマルチパスからの影響を軽減することが可能となっています。

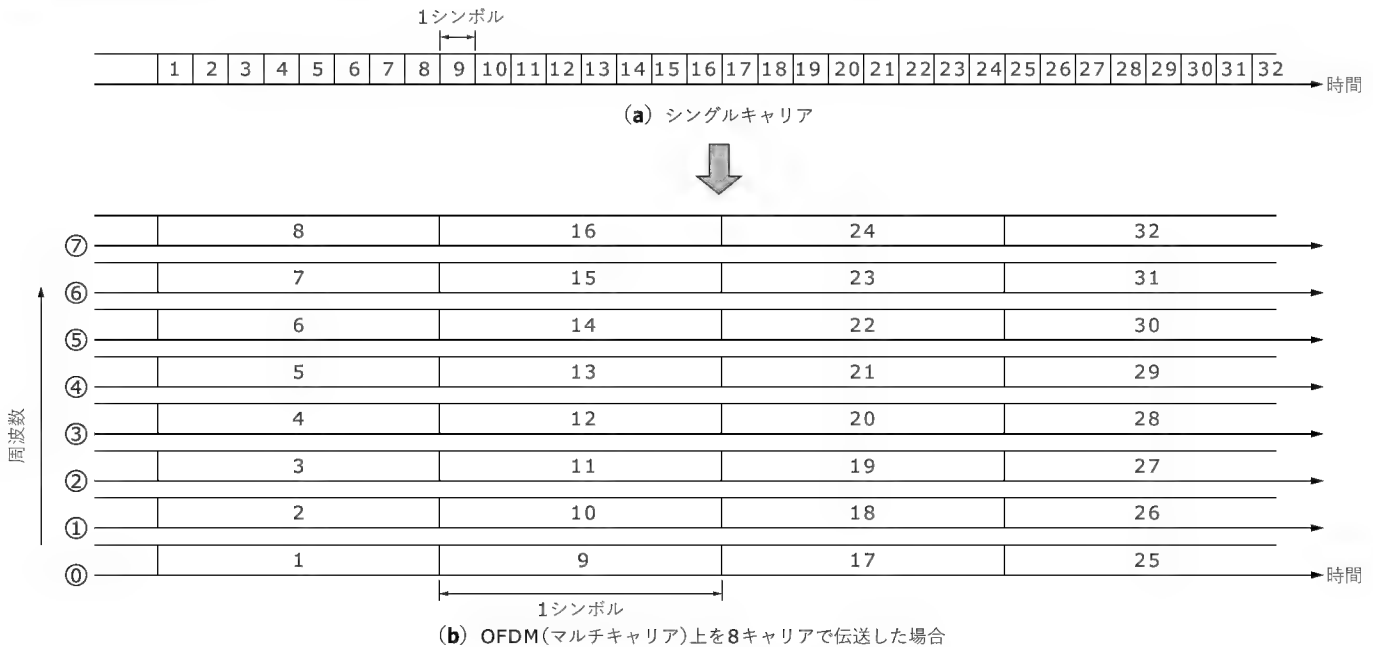
固定局同士の無線通信の場合は、ある程度指向性の強いアンテナを使うことによりマルチパスの影響を少なくできます。しかし、無線LANのように部屋のどこで使うかわからない移動体無線の場合は、アンテナに指向性をもたせることはできません。そのため、マルチパスによるフェージングを避けることは難しく、OFDMに注目が集まっているのです。

OFDMが優れた変調方法の一つであることは皆さんすぐに理解できるでしょう。一方で、それぞれのキャリアにPSKなど複雑な変調をかけなければならない、とても複雑で難しい技術のような印象を与えているのも事実です。しかし、OFDMとフーリエ変換を結びつけることで、誰でも手の届く技術となっているのです。フーリエ変換については、皆さんはすでによく知っていると思います。信号処理の基本となるもので、図5に示すように時間軸の信号を周波数軸に変換して信号を解析利用するものです。“F特”といえふだん仕事で必ず出てくる言葉で

〔図3〕 マルチパスの影響



〔図4〕低速シンボルレート



す。ふだん何気なく、いろいろな性能の評価に周波数軸での解析を行っています。この図を見れば、何となくOFDMのようすが予想できるのではないのでしょうか。

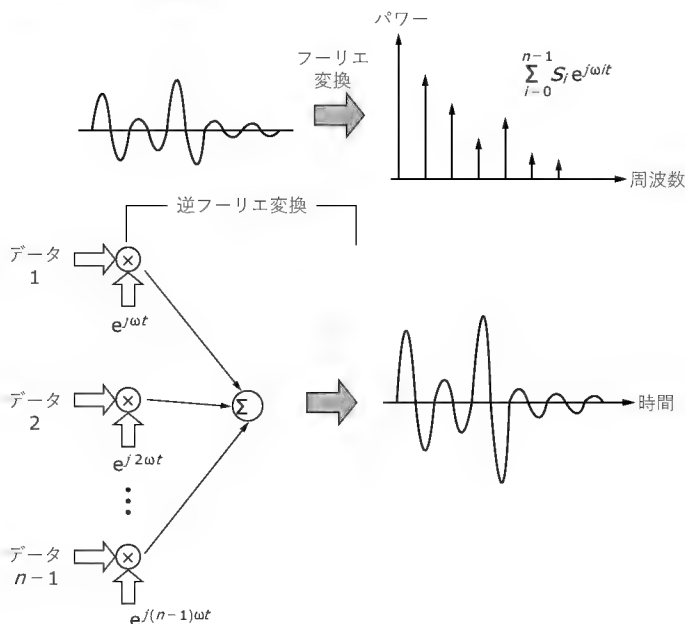
1.2 歴史

OFDMの基本的な考え方自体は、けっこう古いものです。直交性という条件をはずせば、基本的には図6のように周波数で信号を多重し、効率よく伝送する考え方です。無線、もっと身近に言えばラジオでわかるように、ある放送を聞くためにはチューニングをして目的の放送局の周波数にあわせませす。もし手元

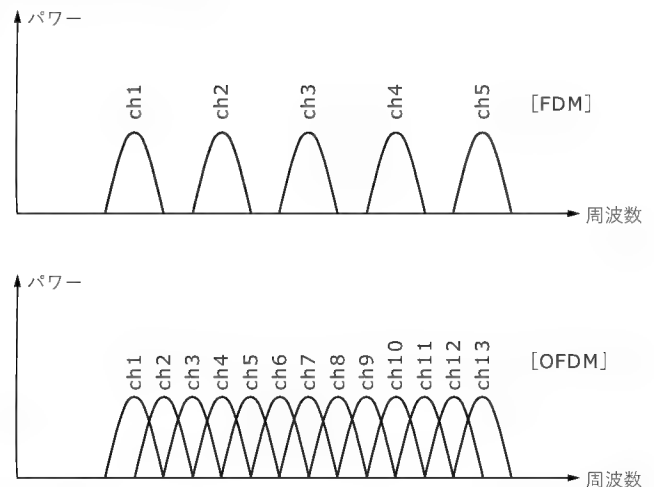
に複数のラジオがあり、それぞれ別々の局のチューニングをすれば、同時にいろいろな番組が聞けます。実際の問題は、聖徳太子でもないかぎり同時に多くの情報を聞くことはできないので、ただうるさいだけでまったく意味がないことです。しかし伝わる情報量がチャネルの数に比例することはおわかりでしょう。

従来の周波数多重(FDM: Frequency Division Multiplexing)では図7のように複数の低速で変調されたキャリアを、それぞれ別々のBPF(バンドパスフィルタ)で信号を分離するしかありません。BPFが図8のような理想的なものがあれば(ブリックウォールフィルタと呼ばれる)、隙間なくチャネルをつめることができます。実際には不可能なので、チャネル間には信号の伝送に直接関係のない(周波数的に無駄な)ガードバンドが必要になります。

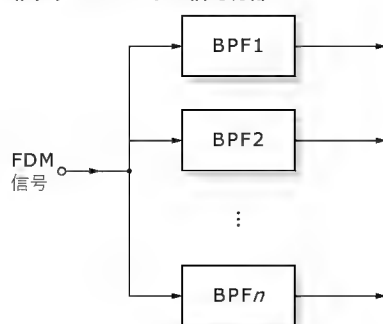
〔図5〕フーリエ変換



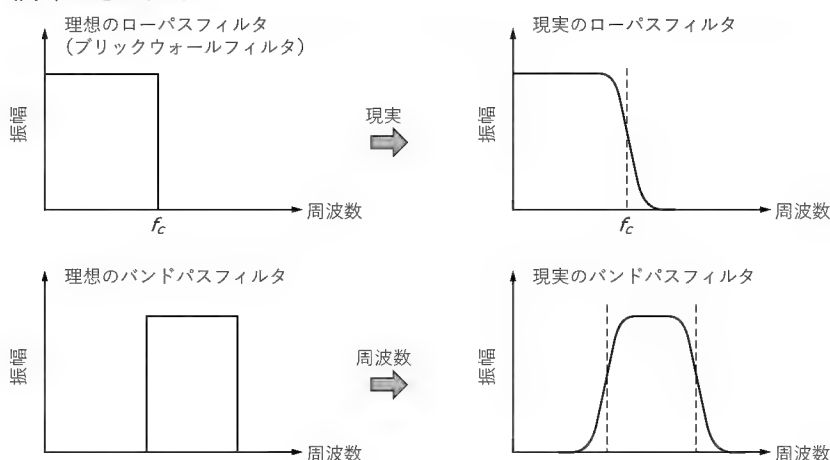
〔図6〕FDMとOFDM



〔図7〕 FDMからの信号分離



〔図8〕 理想フィルタ



まず1950年頃、このガード周波数バンド付きのマルチキャリアを使ってパラレルデータ伝送する方式がアメリカで特許化されています。しかし、先ほど述べたようにガード周波数バンドの分、周波数利用効率が悪いものでした。

そこで1960年代の中ごろになると、キャリアの周波数間隔と変調帯域が同じような効率的な方法が提案されました。見かけはOFDMにほぼ近いものの、キャリア同士は直交していません。そのため、キャリアのサイドローブ同士が重なり、それを取り除くために高速な等価器が考えられました。ただし、等価器だけを使って、それぞれの信号の干渉を完全に取り除くことはとても難しい技術でした。

ここでOFDMが登場します。マルチキャリア同士の相互相関をゼロ、すなわち図6のような直交キャリアを使い、サイドローブが重なっても、それぞれの信号干渉をなくすように考えられました。変調される信号がアナログの場合では、キャリアの両

側に帯域が広がって直交条件を満足するのは難しいことです。サンプリングされたデジタル信号を変調に使うことにより可能となったものです。理論上はとてもスマートな変調方式ですが、実際のリアルタイム信号処理としての応用には高い壁がありました。

そのような状況の中でブレイクスルーをもたらしたのは、1971年にWeinsteinとEbertによって提案された、図5のような離散フーリエ変換をOFDMの変調復調に使う方法です。これまでハードウェアのリアルタイム処理では不可能と考えられていた処理が、がんばれば実現できそうところまで降りてきたのです。もともとフーリエ変換は直交した複素正弦波を使うもので、それぞれのキャリアのQPSKなどの複素変調と、とても相性がよいものです。

初めてのOFDMの無線への応用は、1960年代軍用に作られたHFトランシーバです。キャリア間隔が82Hzで、34のマルチキャリアを使うものです。その後1980年代に入り、移動体無線に向けて高速データ通信が研究されました。それからデータ伝送速度を速くするため、変調もより複雑になり、それぞれのキャリアはQAMで変調されトレリスコーディングが用いられるようになりました。

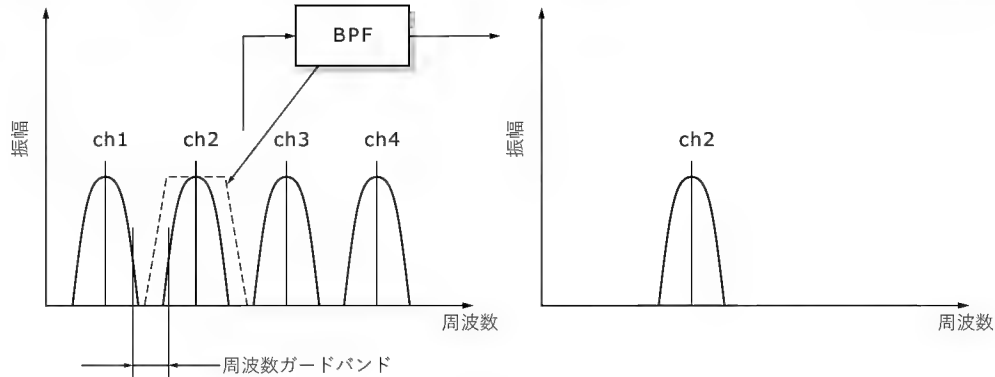
最近では地上波テレビジョンのデジタル化など、放送におけるOFDMの採用が進んでいます(実際には符号化にコンプリメンタリコーディングを用いているのでCOFDMと記述されている)。その裏には半導体技術の高集積化・高性能化が見逃せません。OFDMの受信機を将来の量産時に安く作る見込みがなければ、OFDMは採用されなかったでしょう。その基本は、専用LSIの開発いかんにかかっています。

さらに図9のように、いよいよ日本を含め世界中の放送局などがメンバに入った組織DRM(Digital Radio Mondiale)により推進される中波、短波のデジタル化が現実のものとなろうとしています。電波伝搬は電離層反射によるものもとても過酷なフェーディングの中を伝送する必要があります。これも当然のことながらOFDMを使っています。高品位のFM放送や衛星放送があるの

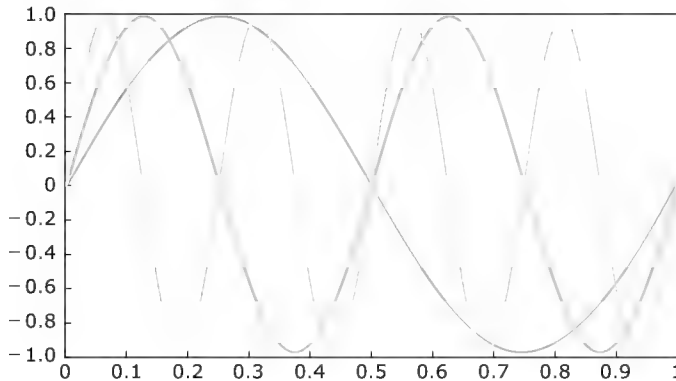
〔図9〕 DRM



〔図10〕 FDM の分離



〔図11〕 フーリエ変換の sin 基底



に、いまさら中波のデジタル化かと思われる方も多いでしょう。筆者も詳しいところはわかりませんが、ドイツの関係者に話を聞くと、国内のFM放送のカバー率が低いため依然中波の高品位放送の要求があるそうです。2003年から、本格的な実験放送が世界的に始まる予定です。それに向けたラジオ用のLSIの開発が各社いっせいに進められています。FM放送なみの高品位ステレオ放送をめざしています。

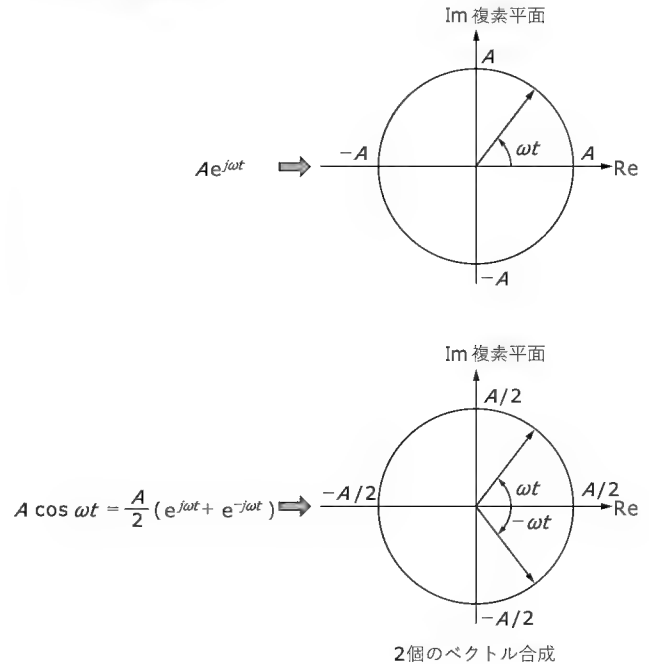
マルチパスによる影響が大きい無線LANでは、たとえばBluetoothがホットな話題です。Bluetoothでは、これを周波数ホッピングを使うことにより対処しています。周波数拡散による方法も有力な手段ですが、とくに最近5GHz帯のIEEE802.11を代表とする無線ブロードバンド通信の分野では、多くがOFDMで標準化されてきています。有線系でも、ADSLや電力線を利用したブロードバンド通信においてもOFDMの変調が使われています。

1.3 直交キャリア

周波数多重した信号は、受信側で元に戻す必要があります。従来のフィルタによる方法だと、図10のようにフィルタのスカート部分をカバーするようなガードバンドがどうしても必要です。OFDMでは図6のように極限までキャリアを詰め込んでいます。これを分離するためには、信号の直交性を利用しなければなりません。

関数同士が直交関係にあるとき、相互相関はゼロにならな

〔図12〕 複素正弦波

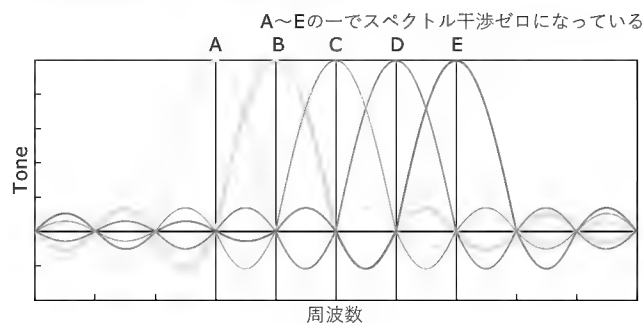


ればなりません。すなわちコンボリューションがゼロになります。そのような関数群はいろいろな種類がありますが、OFDMで使うのは、フーリエ変換で使う直交関数である、複素正弦波になります。図11に、フーリエ変換で使う三角関数の基底の一部を実時間波形で示します。OFDMでの応用では、すなわちそれぞれの複素正弦波を複素変調してPSKやQAMを作り出します。

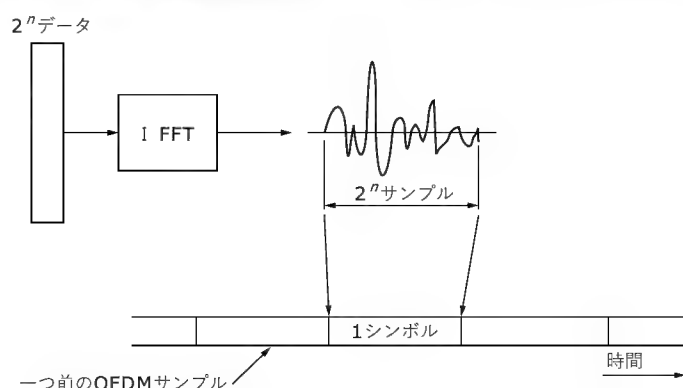
複素正弦波といってもなかなかピンとこないかもしれません。図12のように複素平面上の円周上を一定速度で回転するベクトルをイメージすれば理解しやすいと思います。しかし複素数は仮想的信号なので、図12のようにこのベクトルと反対方向に回転する共役ベクトルとの和を考えると、現実の実数のみの信号が得られます。その信号が実際観測できる信号波形であると考ええるものです。

直交キャリアのイメージをわかりやすくするため、各キャリアのスペクトルを重ね合わせたものを図13に示します。キャリア間のスペクトル的な干渉は、各キャリア周波数のところで干

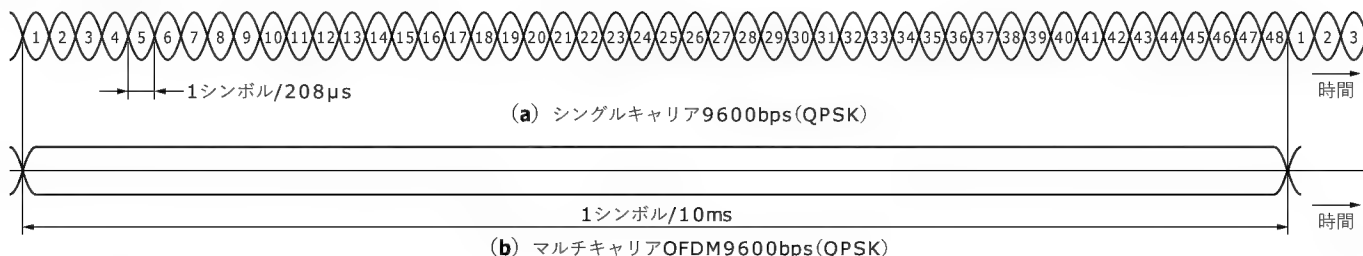
〔図 13〕 直交キャリアのスペクトル



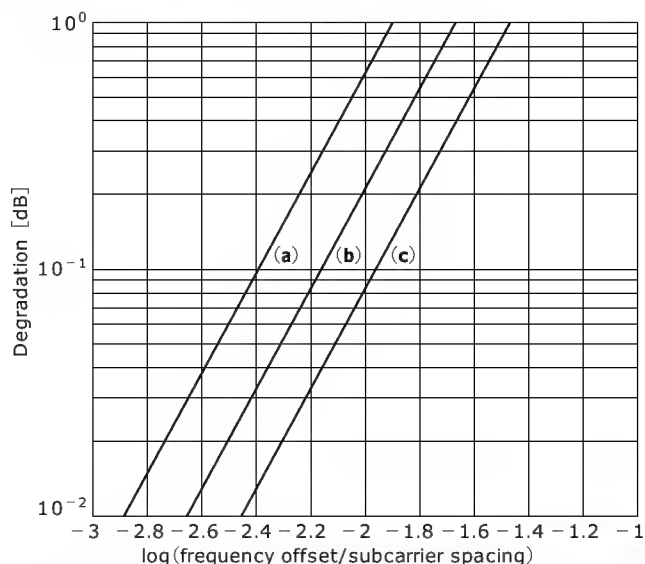
〔図 14〕 OFDM の繰り返し構造



〔図 15〕 9600bps シングルキャリア vs OFDM



〔図 16〕 周波数オフセットと特性劣化



- (a) 64-QAM ($E_s/N_0 = 19\text{dB}$)
- (b) 64-QAM ($E_s/N_0 = 14.5\text{dB}$)
- (c) QPSK ($E_s/N_0 = 10.5\text{dB}$)

Richard Van Nee,
Ramjee Prasad,
*OFDM FOR Wireless Multimedia
Communications*,
Artech House, 2000

渉がちょうどゼロになっていることがよくわかります。

したがって、信号の分離は受信した信号と各複素正弦波とのコンボリューションをとることになります。すなわちフーリエ変換すればいいことになります。

ここで注意したいのは、このような基底を使っても各キャリアを従来のようにアナログ変調したのでは直交関係は崩れると

いう点です。図 13 のように干渉がないのは各キャリア周波数 1 点のみです。アナログ変調では連続関数なため、変調した後の信号帯域が広がって干渉が発生してしまいます。OFDM では、フーリエ変換の区間は変化しない一定のサンプルされたデータを使うので、キャリア帯域は広がらず直交関係を保てるのです。

1.4 信号の変調

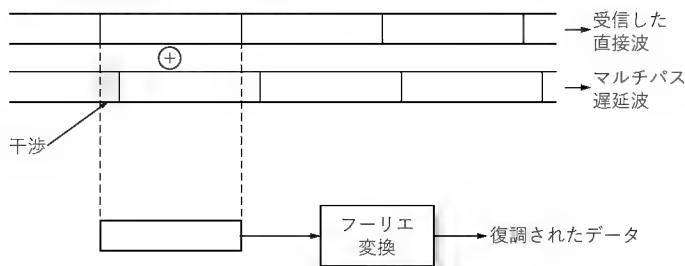
離散的フーリエ変換を計算するとき、実際には有限区間の高速フーリエ変換 (以下 FFT) を使います。そのため、FFT の基本周波数の区間で計算を行います。すなわち図 14 のような繰り返しの信号構造になります。この繰り返しの 1 区間を OFDM の 1 データシンボルとしています。

各キャリアを QPSK で変調したとすると、1 データシンボルで 1 キャリアあたり 2 ビットを伝送することが可能です。すなわち全体ではキャリアの数を N とし、1 シンボル区間を T (秒) とすると、 $2N/T$ (bps) のデータ伝送速度を得ることができます。

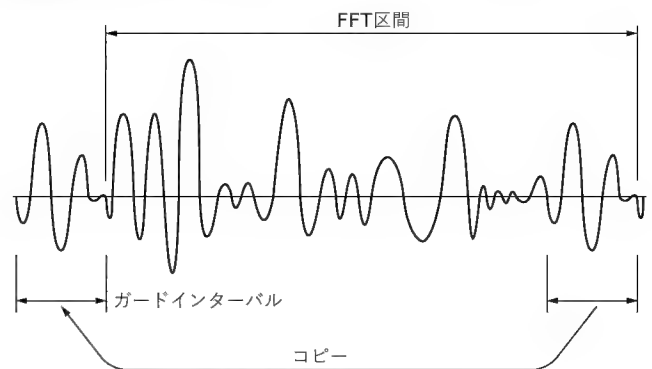
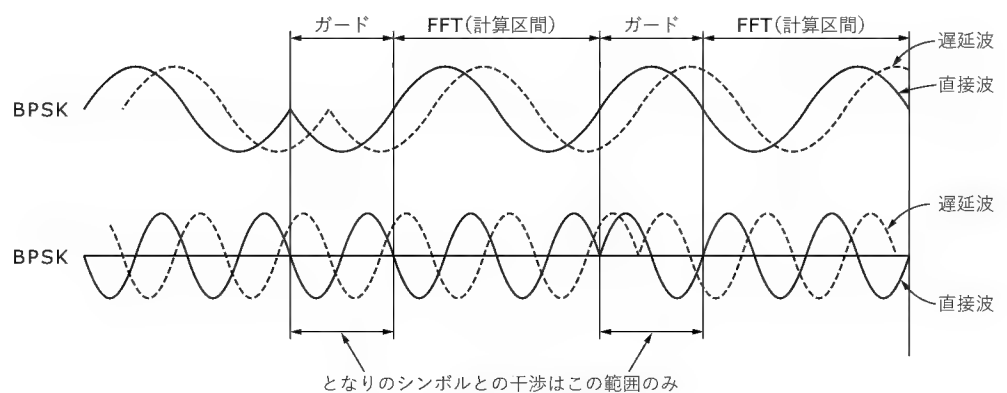
ここで具体的な例として 9,600bps のデータ変調を考えてみます。従来のシングルキャリアの QPSK 変調を考えると、図 15 のように 1 シンボルは約 208 μs となります。ところが 48 本のキャリアを使ってそれぞれ QPSK 変調を行った OFDM では、1 シンボルが 10ms となります。OFDM では、シンボル間隔を長く取ることが可能で、マルチパスに強いことが容易にわかると思います。

もちろん良いことばかりではありません。OFDM では時間軸のひずみについては強いのですが、その反面、周波数軸のひずみについては弱点があります。マルチキャリアにすることによ

〔図 17〕 受信側ブロック処理



〔図 18〕 ガードインターバル

〔図 19〕 各キャリア BPSK のときの
ガードインターバル

り、各キャリアの周波数配置間隔がとて狭くなります。すなわち、ドップラーシフトや同調ずれなどで周波数のオフセットが発生した場合にはキャリアの直交関係が崩れ、相互干渉が発生してしまいます。図 16 にその影響をまとめてあります。キャリア周波数間隔の半分以上の周波数オフセットが発生すると、ほとんど使いものになりません。

1.5 ガードインターバル

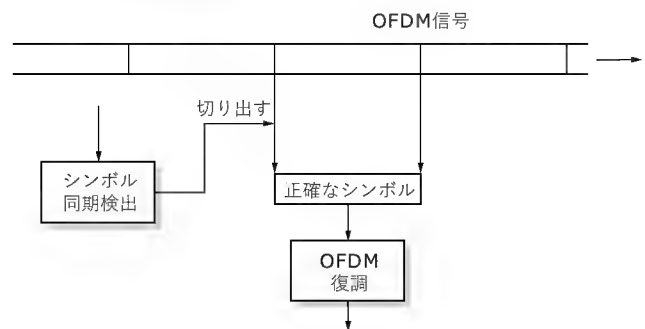
先ほど、1 シンボルの時間が長くなるのでマルチパスに強いと書きましたが、図 17 のように受信側ではシンボルごとにブロック処理がなされるので、実際にはマルチパスが発生すると、隣のシンボルと干渉を起こします。

そこで、図 18 のようにマルチパスの最大時間を見越した分だけシンボルの前にダミー信号を入れます。具体的にはシンボル波形の後半部をそのままコピーして貼り付けます。ただし実際の復調に際しては、ダミー部分は含めないで行われます。すなわち図 19 のように、マルチパスにより遅延してきた前のシンボルの後半部との境目は、そのダミー信号の領域に収まります。つまり、このダミー信号区間の信号を復調の計算には使わないようにすることにより、シンボル間の干渉を防ぐことができます。

このダミー信号はシンボル干渉をガードするという意味で、ガードインターバルと呼ばれています。ガードインターバルは、信号伝送には直接関係ないので、データ効率を考えると無駄です。しかし、OFDM の変調においてはなくてはならないものです。

さらにこのガードインターバルには、もう一つ大きな役割があ

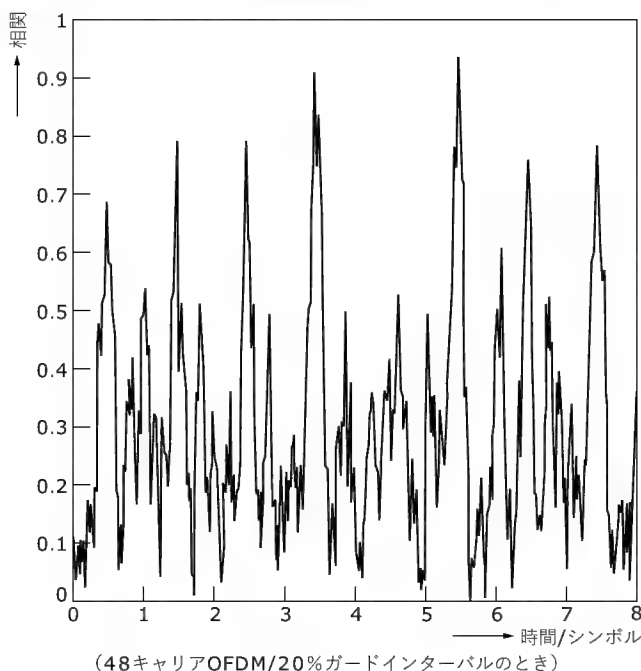
〔図 20〕 シンボル同期



ります。OFDM では、1 シンボルごとに復調が行われます。となり同上のシンボルはガードインターバルを挟んだだけでつながっています。受信側で復調の際にシンボル干渉が発生しないのは、あらかじめシンボルの区切りがわかっている条件のときのみです。そこで図 20 のように、受信側においてシンボルの区切りがわかるようなシンボル区間の検出と同期の機能が必要です。

しかし、シンボル同期を検出するような特別の信号は、OFDM の信号の中に含まれないのが一般的です。そこで、このガードインターバルの信号の性質を利用します。図 19 のようにガードインターバルとシンボルの後半の波形はまったく同じ波形をしています。その間の相関を計算すると図 21 のように鋭いピークをもつ値を検出することが可能です。これを検出することによりシンボル同期をかけることができるのです。しかしまた、この

〔図 21〕 ガードインターバルとの相関



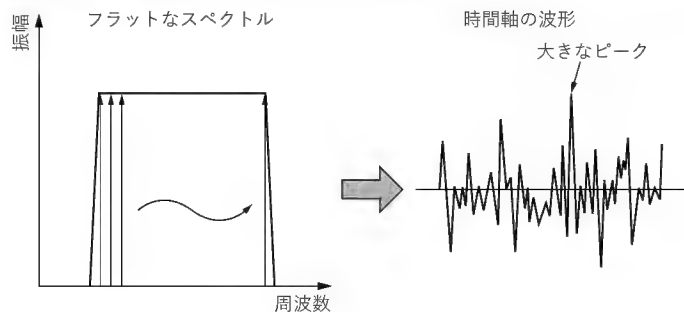
図はピークを見つけることの難しさも示しています。絶対値でスライスしてそれを越えたものをピークとするようなことはできません。また、何らかの同期処理が必要となります。

ガードインターバルを超えるようなマルチパスが発生した場合は、干渉を起こします。それがどの程度なのかを図 22 に示します。3%のオーバーラップでも、かなりコンスタレーションが乱れています。ここでは16QAMで変調しているの、かなりクリティカルなのがわかります。

1.6 ダイナミックレンジの問題

従来のシングルキャリア変調に比べて利点が多いOFDMですが、前に述べた周波数オフセットに対して問題を起こしやすいのに加え、もう一つ大きな問題があります。携帯電話をはじめ

〔図 23〕 OFDM のスペクトル



とする移動体無線機はバッテリーで運用されます。その場合、1回の充電でどれくらい使えるかの電池寿命は、設計のなかで重要な要素です。中でも電力を多く消費する送信側の終段アンプは、とくに気を使って設計する必要があります。

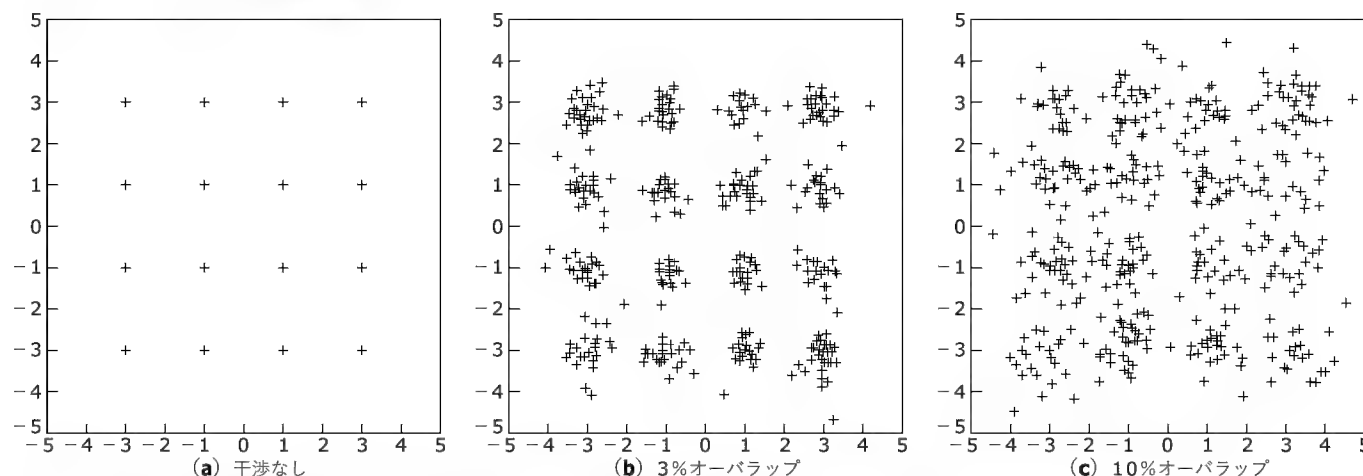
FM変調系などの非線形変調は、変調された信号の振幅が一定です。そのため、出力アンプとして電力効率の良いC級アンプが使えます。一方QPSKやQAMなどの線形変調では、出力アンプも線形アンプを使って歪みを極力避ける必要があります。効率の悪いA級もしくはAB級アンプを使う必要があります。

そのため、多くのデジタル無線機では、現在でも変調として非線形変調のGMSKが使われています。たとえば、欧州や中国など世界の多くの国で使われているGSM携帯電話は、GMSKが使われています。

線形変調の仲間のOFDMは、QPSKなどよりさらに深刻な問題があります。図 23 のスペクトルからわかるように、変調信号は広い周波数範囲にまたがってフラットな周波数特性を示します。言い換えれば、ホワイトノイズと同じようなランダムな波形をしています。そのため、図のように信号のピークと平均値の比がとて大きくなります。

そのような大きなピーク波形を歪ませないようなアンプを設計すると、必要以上に大きな出力増幅器をつくらなければなり

〔図 22〕 マルチパスによる干渉の影響



Richard Van Nee, Ramjee Prasad, *OFDM FOR Wireless Multimedia Communications* Artech House, 2000

〔図 24〕 同期ヘッダ(プリアンブル)



ません。当然 A、AB 級の場合、それだけ無駄なアイドリング電流を流さなければならず、とても効率の悪いものになってしまいます。かといって小さいアンプを使ってピークを歪ませないように出力を絞ると、伝送上必要な平均値のパワーがとても小さくなって使いものになりません。

これを対策するためには、いくつかの方法があります。一つは符号化の部分でピーク・平均値の比を考慮に入れた設計をする方法、もう一つは何らかの方法でピーク波形を制限する方法です。くわしくは、後ほど説明します。

1.7 シンボル同期

先ほどガードインターバルのところでも記したように、受信側でシンボル間の干渉もなく正しく復調するためには、シンボル同期が必要です。シンボル同期を取るためには時間軸の同期と、周波数軸の同期の二つを考える必要があります。またもっと広い範囲で考えれば、伝送で発生した特性の劣化、歪みを自動補償することも含まれます。

1) 連続送信とパケット送信

同期や、さまざまな特性の自動補償を考えると、OFDM のデータの種類の考える必要があります。一つは地上波デジタルテレビなど送信信号が常に出力されっぱなしで、受信側はいつ受信状態に入るかわからないデータ伝送の状況です。この場合は、いつも送られているデータ構造の中から同期に関わる情報が常に得られる状況でなければなりません。

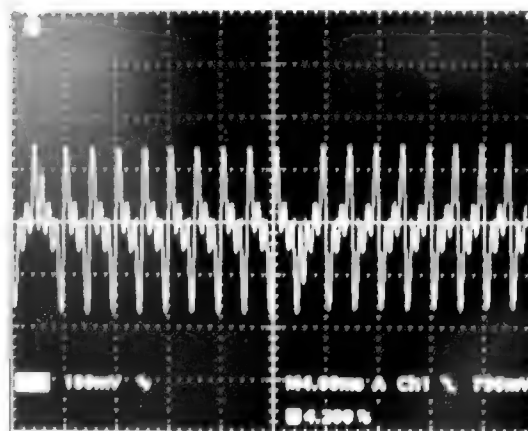
もう一つは、無線 LAN のようにデータに始まりと終わりがあり、データを一つの集まりのパケットとして送る場合です。その場合は、図 24 のようにパケット構造の中で部分的かつ集中的に同期や補償のためのデータを送ることができます。また特性の自動補償や同期維持に関していえば、パケットデータは短時間で送られます。パケット伝送の最中に伝送回線の特性が急に変化することは考えにくく、放送の場合とは違って、普通のデータの中に参照信号を入れる必要性は少なくなります。

2) プリアンブルを使った時間軸の同期

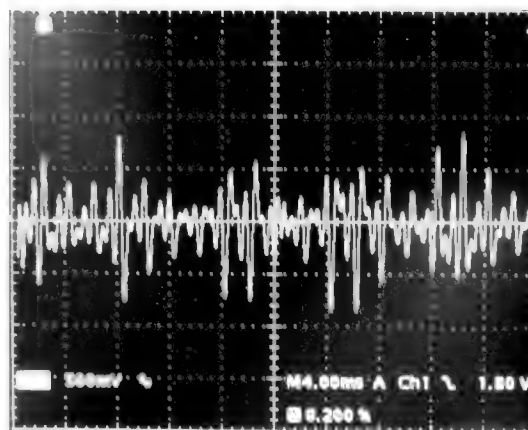
まずは、時間軸の同期です。それを実現するために、大きく分けて二つの方法があります。

まずその一つに、データを1塊のパケットとして送る場合、先頭に同期を確実に取るような図 24 に示す特殊なヘッダ信号(プリアンブル)をつける場合があります。ランダムなデータではなく決まりきった同期や補償のために特化した最適なパターンの信号を送ることができるので、高速に同期をかけることが可能です。また無線特有の受信機の AGC などの安定化時間確保のた

〔写真 3〕 BPSK を使った場合



〔写真 4〕 周波数オフセットが大きい場合



めにも重要な役割を果たします。

一つの例として、3 トーンのキャリアだけを使い、1 シンボルごとに位相反転する BPSK を使った場合を示します(写真 3)。ここでの例は 36 トーンの OFDM の場合のヘッダ信号ですが、ヘッダのトーン数を制限することにより、一つのトーンのパワーを大きくすることが可能です。つまりフーリエ変換をかけた後の各スペクトルのパワーが大きくとれ、同期がかけやすくなります。

写真 3 のように、1 シンボルごとに位相が 180 ° 反転するだけなので、シンボルの区切りがとても見つけやすいです。この検出には二つの方法があります。一つ目は、先ほどのガードインターバルで説明したとおり、ガードインターバルの波形と信号後半部の波形の相関を計算し、そのピークを探し出して同期がかかったものとする方法です。ランダムな信号と異なり、毎シンボルごとに同じ波形なので、信号の違いによる影響を受けにくくなります。

3) シンボルのつなぎ目の性質を使った同期

さらにもう一つの方法として、大きな周波数オフセットをともなう信号の場合は、これより効果的な方法があります。前の相関を検出する方法の場合、写真 4 のように周波数オフセット

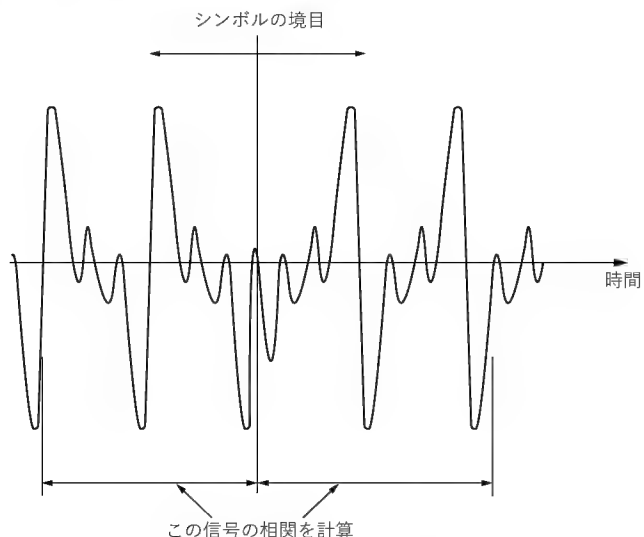
が大きいと位相回転により、ガードインターバルの信号と後半の信号の波形が違った形になってしまいます。写真4は、写真3の波形を約100Hzのオフセットをつけて実際に受信した波形です。まったく異なる波形となっています。

そこでもっと時間差の小さい信号を使います。図25のようにガードインターバルとその前のシンボルの後半部の信号との相関を計算する方法が使えます。BPSKで位相が反転していますが同じ波形になるはずですが、この方法は先ほどの方法とは異なり、同じパターンの信号を送るプリアンプルにしか通用しません。ランダムなデータを送る通常のシンボルの場合、前のシンボルとの間に相関はほとんどないからです。

4) ガードインターバルの相関を利用した同期

いったん同期がかかった後のパケットデータの同期維持や、デジタル放送などの連続データの同期に関しては、図18のようにガードインターバルの性質を利用した方法で行います。ガードインターバルの信号は、はじめに説明したようにシンボルの後半部をそのままコピーしています。したがってそれらの間に

〔図25〕シンボル結合部の相関



は強い相関があります。その相関を計算した例を図21に示しました。

同期が検出できたときには、はっきりとしたピークが現れ、それを検出することにより同期をかけることができます。しかし、信号処理においてピークを正確に検出するのはけっこう難しい技術です。信号の絶対値が絡んでくるからです。

つまり、ピークの大きさは、信号のS/N比などに左右されるので、それを考慮した検出が必要です。つまり、受信した信号のS/N比やその他信号の品位などを検出し、その状況に合わせたアダプティブな信号処理が要求されます。

5) 小さい周波数オフセットの同期

ドップラーシフトやSSBの通信など、送信側との周波数ずれが発生する場合があります。そのズレはキャリア間の直交性を崩し、深刻な干渉をもたらします。周波数オフセットがキャリア周波数間隔の半分以下であれば、次の方法が取れます。特別な信号は使いません。ガードインターバルを使います。

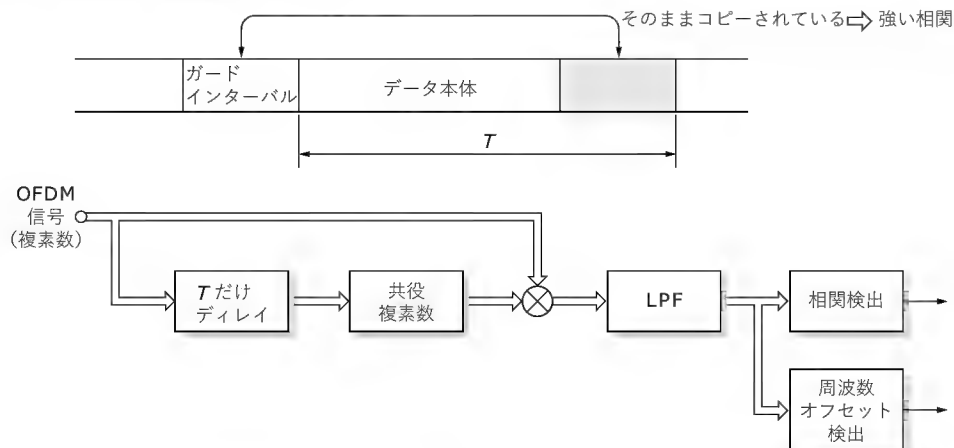
図26に処理ブロックを示します。先ほどの時間軸の相関計算を複素数に拡張します。まず入力信号は、ヒルベルト変換などで複素数に変換されます。または、はじめからIF(中間周波数)から直交復調してI/Qすなわち複素数を得ることもできます。シンボルの後半部の信号の複素共役をとります。次式に示すように、その複素共役信号とガードインターバルとの畳み込み積分を計算します。計算した結果もまた複素数になります。

もし周波数オフセットがゼロの場合は、計算結果の虚数成分がゼロになります。周波数オフセットがある場合は虚数成分が残ります。これがゼロになるように補正をかけて、自動的に周波数オフセットの補正が可能です。周波数オフセットのプラスマイナスで、虚数成分の極性も変化します。具体的な周波数補正のやりかたは後で説明します。

6) 大きい周波数オフセットの同期

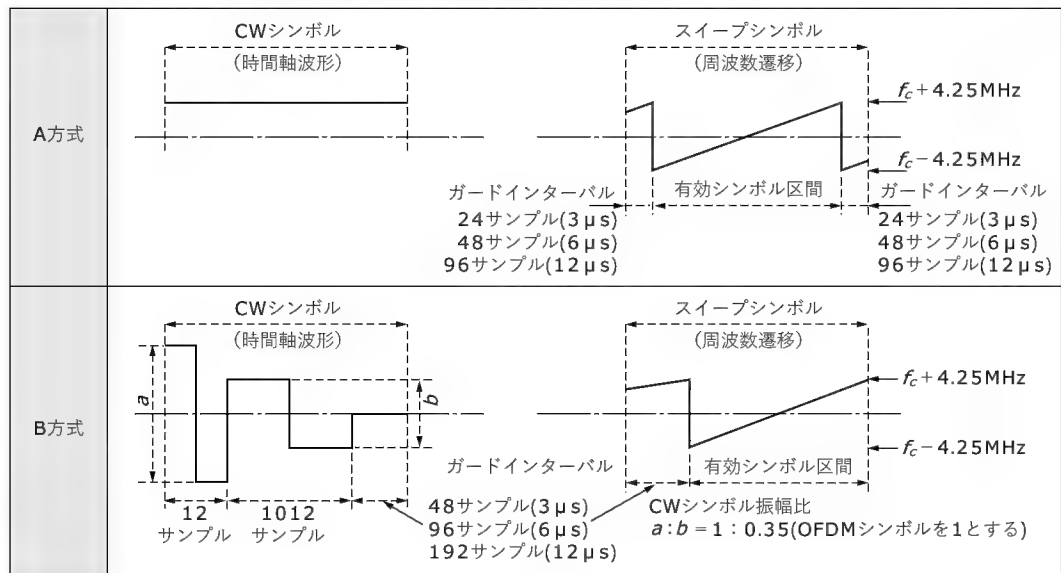
周波数オフセットが大きい場合は、ガードインターバルによる補正はうまく機能しません。その場合は、特別な補償に使う信号を付加します。時間軸の同期のところでも説明しましたが、

〔図26〕ガードインターバルを利用した周波数オフセット検出

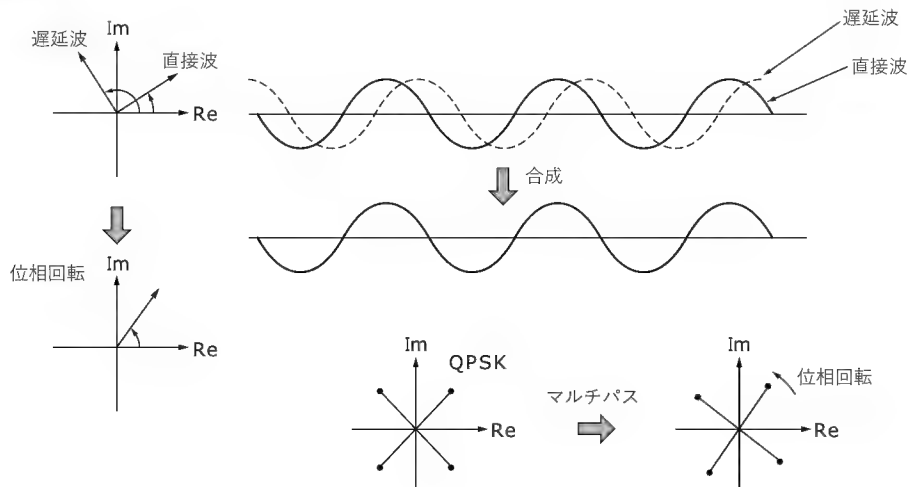


〔図 27〕 CW/スweepシンボル
信号波形

ただし、メーカー間の互換性を必要とする場合はA方式を用いることとする



〔図 28〕 マルチパスによる位相歪み



データがパケット構造のときパケットの先頭にヘッダ信号がつけます。

たとえば、写真3のような3トーンヘッダを使い、周波数の補正を行います。写真のような3トーンヘッダ信号をフーリエ変換を計算すると、周波数オフセットがない場合は正確に1kHz, 1.5kHz, 2kHzのスペクトルが計算できるはずですが、ところが周波数オフセットがあるとそれに比例して、周波数スペクトルのピークがずれるはずですが、そのずれ量がゼロになるように自動的に補正をかけます。

3トーンのヘッダは一つの例にすぎません。その他さまざまな形式が考えられています。たとえば、800MHz帯のテレビ中継用のOFDM規格 ARIB STD-B13では、図27のようなヘッダ信号を使っています。3トーンの変わりに“CW”としてシングルトーンが使われています。またその後には周波数スweep信号が挿入されています。変調としてはDQPSKを使っています

し、その他の基本的な部分は今回のモデムと大きな違いはありません。

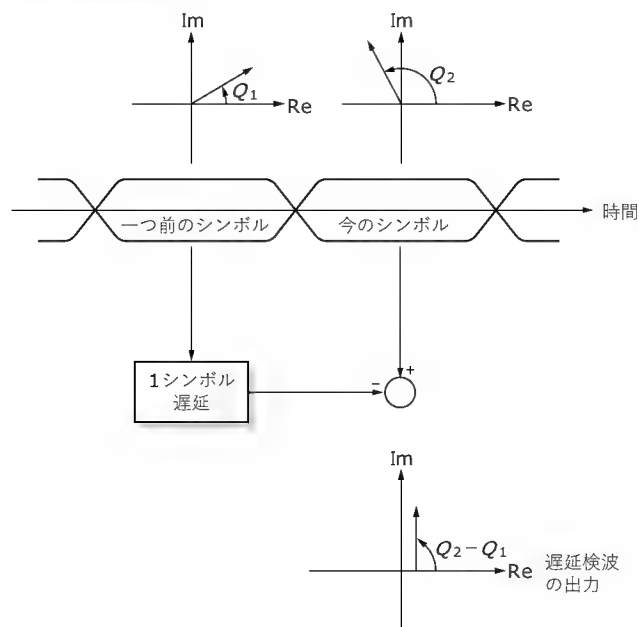
1.8 マルチパスの影響

ガードインターバルがあればマルチパスの影響はないと説明しましたが、これは正確ではありません。図19のようにたしかに、隣同士のシンボルの干渉は防ぐことができます。しかし、同シンボル内でマルチパスのため遅延し、位相が異なった信号と直接波との合成した信号による歪みが発生します。

その結果、PSKの場合は、図28のように元の位相からマルチパスの信号が加算された分だけ位相回転した信号が得られます。すなわち位相歪みが発生し、位相変調を行うモデムにとっては大きな問題です。PSKの復調の際には、キャリア基準位相再生のときに、この分を自動的に補償しなければなりません。そのために、信号の中にどれくらい位相回転が発生しているのかを調べるためのパイロット信号を埋め込む必要があります。

または、位相の絶対値を使わないで、 S/N 比が多少悪くなりますが遅延検波(DPSK)を使い、位相の回転をキャンセルする方法があります。図29に遅延検波の処理例を示します。送られる情報は、一つ前のシンボルの位相と現在のシンボルの位相との差のみ意味をもたせます。位相の絶対値は、大きな意味はありません。受信の際には遅延検波によって位相の差分を取り出して復調します。その際に、マルチパスによる位相回転はキャンセルされます。筆者の場合は、処理が簡単なDPSKを変調方式として選ぶ場合がほとんどです。位相の微分が周波数なので、

〔図29〕 遅延検波



この変調は位相変調というよりも周波数変調といえるかもしれません。

またマルチパスの影響は、周波数選択性のフェージングを発生させます。図30のように、マルチパスによってあるキャリア周波数の遅延した信号との位相関係がちょうど180°すなわち位相反転するとき、その周波数成分はキャンセルされて出力されなくなります。シングルキャリアの変調だと、その影響は全体に大きな影響を与えますが、OFDMの場合はそのキャリアにとりまう一部の情報が欠落するだけです。OFDMの変調の際には、エラー訂正コードをともった変調を行うのが一般的です。欠落した情報は、エラー訂正コードによって復元され、その影響を取り除くことが可能です。

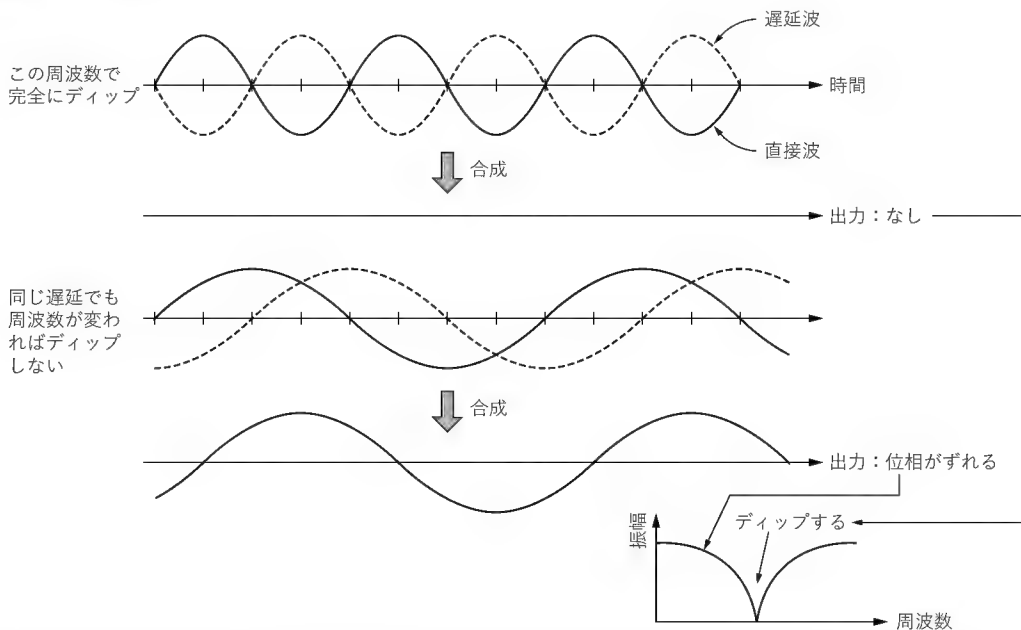
はじめに述べましたが、とくに無線LANの環境では、この問題は深刻です。そのため、変調はOFDMもしくはBluetoothのように周波数ホッピングによる周波数拡散方式などが好んで用いられます。このような状況のため低速の無線モデムを除いて、シングルキャリアによる変調が用いられることはあまり聞いたことがありません。

1.9 周波数特性劣化の影響

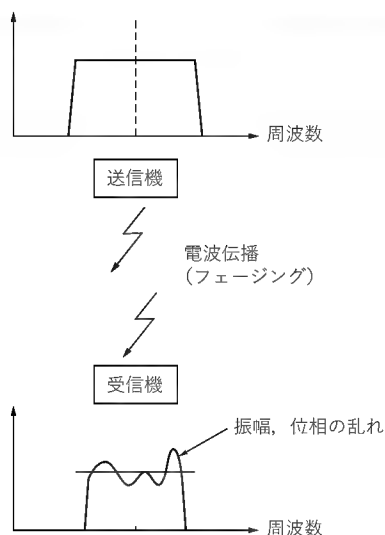
OFDMの長所として、各キャリアバンドは狭いため、周波数特性の劣化の影響を受けにくいと述べました。しかし、受信側の信号処理的には注意することがあります。送り側では、フラットなスペクトルでも、電波として空間を伝播してフェージングの影響を受けたり、無線機内の回路による特性の劣化で、図31のように受信側では、特性がフラットになることはまずあり得ません。

これは、受信側の処理で二つの悪影響を与えます。一つは、周波数特性の振幅特性や位相特性が劣化すると、せっかく送り

〔図30〕 周波数選択性フェージング



〔図 31〕 周波数特性劣化



側で PAR (Peak Average Ratio, 2.3 参照) を抑えても、それ以上の比率の PAR の波形で受信される可能性があります。したがって、送り側の PAR に合わせて受信側の A-D のダイナミックレンジを設計すると、問題を起こす可能性があります。信号の平均値で AGC (Automatic Gain Control) をかける場合も同じです。それらを考慮した、入力信号のダイナミックレンジの設計が必要です。

もう一つは、信号処理の問題です。OFDM を復調するときに FFT によって計算されます。FFT を固定小数点の処理系で設計する場合、送り側のフラットな周波数特性で各計算のダイナミックレンジを想定して最適化すると、問題を起こす可能性があります。図 32 のように、入力信号は全体で AGC がかかっています。そのため、周波数特性が劣化した信号を FFT にかけると、あるスペクトルの信号が特別大きなパワーをもち、予定した FFT のダイナミックレンジを越えることも予想されます。これは、直接的に重大なビットエラーを発生させます。そのことを予想した、FFT のダイナミックレンジの余裕ある設計が要求されます。

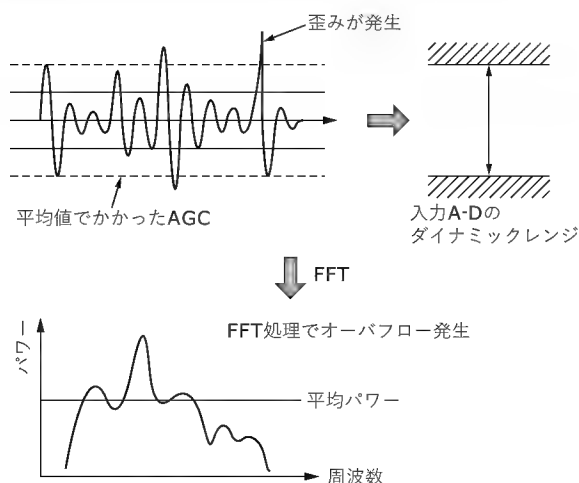
2 無線 OFDM の設計例

2.1 劣悪な無線伝送路

ここで紹介するのは、短波帯の無線機に接続する OFDM データモデムです。無線伝送において長距離伝播し、不安定な電離層状態に伝播による短波帯の無線伝送は、データ伝送にとってもっとも厳しく劣悪な伝送の一つです。無線 LAN でも状況は厳しいですが、頻繁に移動しなければ、特性は悪いながら安定しています。

しかし短波帯の伝送は、太陽活動にともない刻々とその影響を受けます。電離層から反射される電波はマルチパスあり偏波面の回転ありで、かなり深刻なフェージングを発生させます。レ

〔図 32〕 FFT と A-D のダイナミックレンジ



ベル全体が時間とともに変動する成分や周波数選択性の変動もあります。短波帯のフェージングのモデルとしてよく知られている Watterson のモデルを図 33 に示します。このモデルでも実際をかなり簡略化したものと思いますが、それでもとても複雑な歪みを覚悟しなければならないことは明かです。

このような状況では、LAN と同じように複雑なマルチパスを考えた変調方式を使う必要があります。そこで OFDM による変調を使うことにしました。UHF/VHF ではこれまでシングルキャリアを使い、1,200bps 程度の低速データ伝送がさかんに使われています。しかし、同じ手法は短波帯では使えません。

現在、世界的に短波放送や中波放送のデジタル化が DRM によって進められようとしています。2003 年からは本格的な実験放送が始まりますが、もちろん変調方式は OFDM が採用されました。現在は写真 5 のように普通の受信機を一部改造して、その復調出力をパソコンのサウンドカードで取り込みソフトで音声に復元する、実験的な DRM 受信機しかありません。写真ではパソコンは映っていませんが、台の下に隠してあり、LCD のディスプレイ部分だけ表示してある格好です。

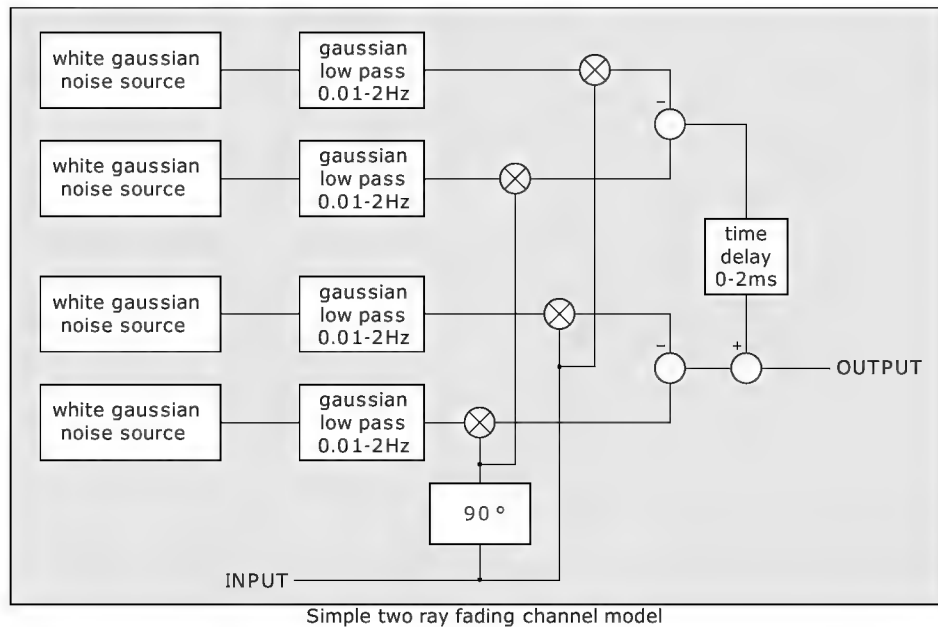
しかし将来は大量に作られる LSI によって、現在のラジオを置き換える商品が現れてくるでしょう。ただし 100 円ショップでも売られているアナログラジオに対抗するのは、けっこうたいへんかもしれません。

2.2 設計した OFDM の仕様

設計した OFDM のモデムは、図 34 のように従来のアナログ受信機のスピーカ出力、送信機のマイク入力を使ってデジタル音声伝送を実現するように設計しています。そのため、無線機とのインターフェースは音声領域のオーディオ信号となります。先ほどの DRM の実験受信機と同じです。

アナログ無線機の音声帯域はせいぜい 300Hz ~ 3kHz 位程度しか確保できません。そこで、OFDM モデムの変調信号帯域を 300Hz から 2600Hz ぐらいに選びました。

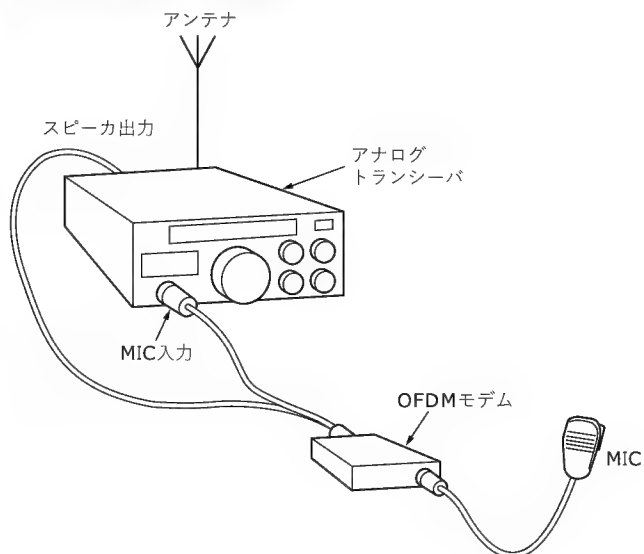
〔図 33〕 WattersonHF フェージングモデル



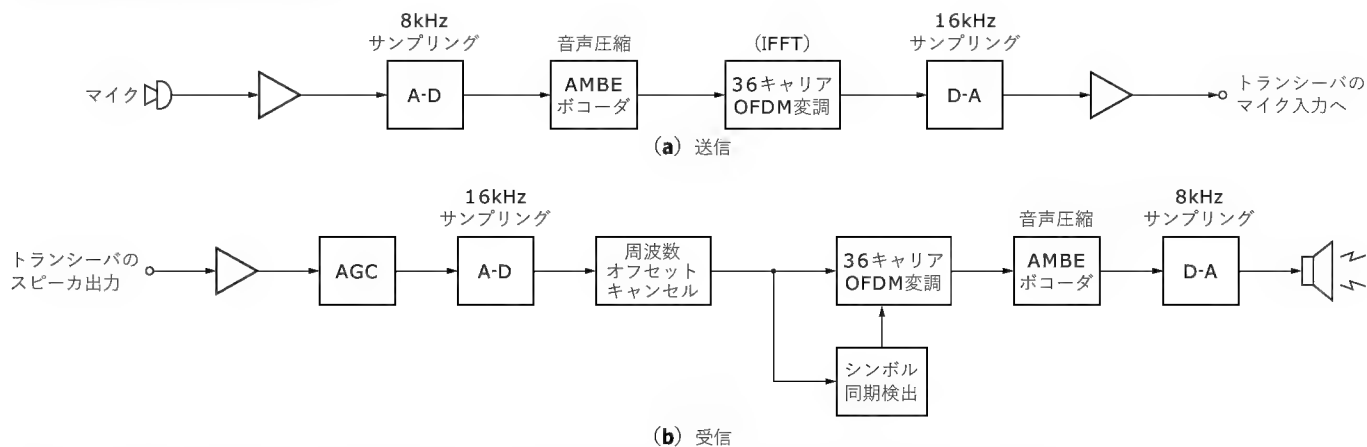
〔写真 5〕 DRM 受信機



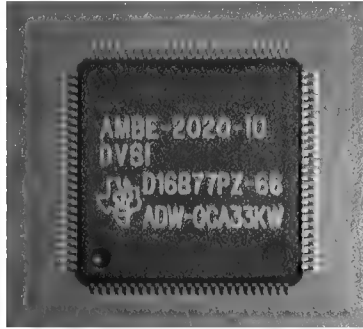
〔図 34〕 無線モデムとの接続



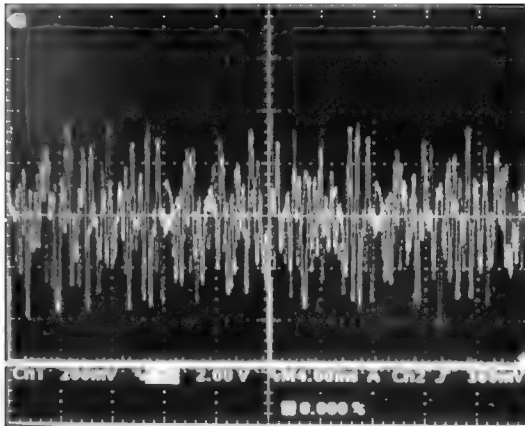
〔図 35〕 OFDM モデムのブロック図



〔写真6〕 AMBE2020



〔写真7〕 OFDM の波形



全体のブロック図 35 を示しますが、一般的な 8kHz でサンプリングされた音声信号をデジタルで伝送します。それに合わせて 1 シンボルを 20ms としています。サンプリングされた音声は AMBE と呼ばれる優れた音声圧縮技術により 2,400bps という低速に圧縮されます。これにエラー訂正コードの 1,200bps 分を追加し 3,600bps を伝送しなければなりません。

それに合わせて 36 本のキャリアをそれぞれ DQPSK で変調して、3,600bps のスピードを得ています。音声デジタル化のアルゴリズム AMBE はアメリカの DVSI 社の AMBE2020 チップを使っています。写真 6 のように、チップは TI 社の DSP そのものです。

表 1 に全体の仕様をまとめてみました。短波帯ではもっとも厳しいマルチパスは 2ms くらいなので、4ms のガードインターバルをとってあります。音声の場合はディレイが大きな問題となりますので、インタリーブは使っていません。そのため、基本的な OFDM のモデム部分を作ればよいことになります。

1) ヘッダ

ヘッダ部は、初めの同期を取るためとても重要です。ここでは写真 3 のような 1000, 1500, 2000Hz の 3 トーンヘッダを使っています。それを 1 シンボルごとに位相反転 (BPSK) し、同期を見つけやすくしています。

SSB の無線機も使うことを想定しているので、周波数オフセットの自動補償は $\pm 125\text{Hz}$ とかなり大きくとりました。それを可能にしたのがこのヘッダ部分です。短いヘッダの中で、周波

〔表 1〕 OFDM モデムの仕様

項目	機能	
変調方式	OFDM 変調	帯域 300Hz ~ 2.5kHz (HF トランシーバ) 36 キャリア
	シンボルレート	20ms (50Baud)
	ガードインターバル	4ms
	トーン間隔	62.5Hz
	個別トーン変調方式 AFC	42 キャリアの場合 8DPSK (6.3k) 4DPSK (4.2k) $\pm 125\text{Hz}$ (とくに SSB 通信向け)
エラー訂正	Voice : Golay+Hamming Video/Data : Reed-Solomon	
インタリーブ	Voice : なし Video/Data : 時間軸 1 秒, 周波数軸 併用	
ヘッダ	1 秒 3 トーン + BPSK トレーニングパターンによる同期用	
ARQ	CRC による復号内エラーチェック エラー検出フレーム再送 (データパケットモード)	
音声デジタル	AMBE コーダ/デコーダ	
音声切替	デジタル自動検出, 自動切り替え	
映像圧縮	独自アダプティブ JPEG 準拠方式	
ビデオ	NTSC/または PAL 入出力	
電源	DC 10 ~ 16V 約 170mA (DC6V ジャンパによる切り替え)	
COM	RS-232-C レベル準拠 9600bps 非同期	
外形寸法	D : 158 × W : 100 × H : 32mm	
コネクタ	RADIO	MIC 出力 (調整 VR 付き) SP 入力 (200mV ~ 5Vp-p) PTT
	VIDEO IN/OUT	NTSC または PAL 1Vp-p 75 Ω
	MIC	MIC 入力, SP 出力 (切り替え) PTT 入力
その他	アナログ/デジタル音声送信切り替えスイッチ 映像取り込み送信スイッチ	

数ずれを検出し自動補償します。

2) DQPSK

前に説明したようにマルチパスによって、図 28 のような受信したコンスタレーションの位相回転は避けることはできません。そこで、差分 4 位相変調を使ってその影響を取っています。一つ前のシンボルとの位相差のみが、データとして意味をもちます。

差分をとりますから、どちらかといえば周波数変調といえなくもありません。通常の同期検波に比べて S/N 比は下がりますが、特性劣化時の特性自動補償やキャリア再生の PLL の実装の難しさを考えて、トータルの考えて選びました。

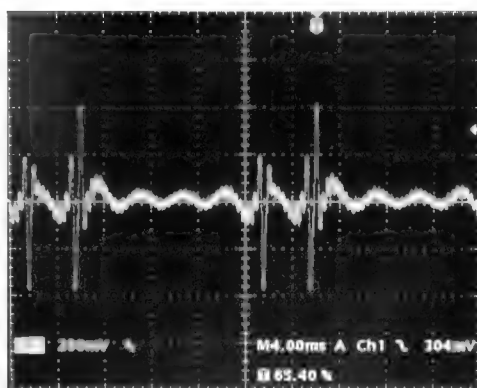
3) スタートマーカ

OFDM の信号はランダムな白色ノイズのような特性をしています。その時本物の白色ノイズと見分けがつかないことが発生することが予想されるため、パケットデータ信号の始まりと終わりを示すマーカ信号を挿入しています。これを検出することにより、正規のパケットデータが受信されていると判断し、デコードすることが可能となっています。

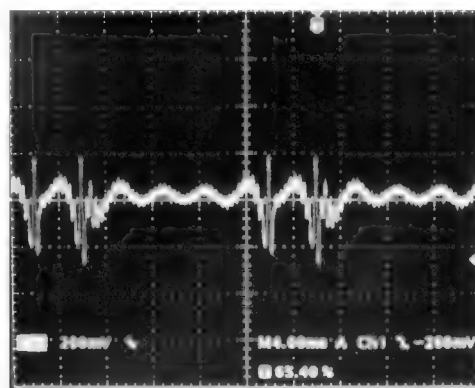
2.3 送信機リニアパワーアンプの問題

OFDM のスペクトルはキャリアが隙間なく詰め込まれているので、図 23 のようにフラットな特性をしています。すなわち写真 7 のように白色ノイズと同じような波形をしています。いい

〔写真8〕36キャリアのOFDM



(a)



(b)

換えれば、信号のピークと平均値の比がとて大きくなります。この比を PAR と呼び、OFDM では大きな問題となります。

1例として36キャリアのOFDMで、それぞれのキャリアの初期位相をすべて同じ位相にした場合で、初期位相の値をパラメータにいろいろと変えたときの逆フーリエ変換した波形を計算してみました。写真8の(a)と(b)に代表的な波形を示します。 PAR がいろいろな初期位相で大きく変わることがよくわかります。

無線においてその飛びを決めるものは、平均値の送信電力です。たとえば5ワットの送信機でも、ピークの瞬時的電力が20ワットになったとすれば、波形をひずませないために20ワットの出力を出せるリニアアンプが必要になります。これは携帯無線機器においてはとて大きな問題です。写真8の(a)と(b)の平均値はほぼ同じです。この場合、ピークをひずみなく通すが、とてたいへんであることがよくわかると思います。

OFDM の変復調をアナログ処理だけで実現することはできません。そこで途中に必ずアナログ-デジタル変換(ADC)やデジタル-アナログ変換(DAC)が含まれます。そこでダイナミックレンジを決めるのは平均値ではありません。ピークがカットされずに通過することが求められます。せっかく大きなビット数の高分解能のADCをつかっても、 PAR の大きな信号をADCに通すと、その恩恵にあずかるのはピークのみです。多くの平均値は、MSB 側がまったく意味をもたない、 S/N 比が悪いものに

なってしまいます。これはDACでも同じことがいえます。

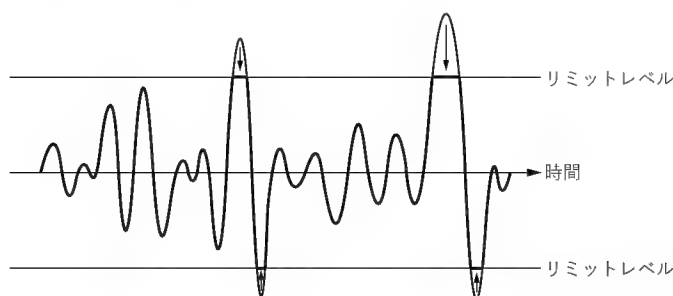
このため、OFDM では PAR を下げるために、何らかの処理をするのが一般的です。もっともスマートな方法は、変調するデータコーディングを工夫して、大きなピークを発生させないようにすることです。これは、デジタル地上波や無線LANに採用されている方式です。 PAR を6dB以内に抑えることが可能ですが、コーディングにより冗長なデータが増えるので、チャンネルに余裕がある場合には有効です。詳しくは参考文献1)を見てください。

ここでは、もっとも簡単な図36(a)のようなピーククリッピングを使いました。クリッピングにもいくつかの種類があります。純粹にある一定レベルを超える信号を一定値に置き換える方法は、簡単ですがせっかく帯域内に抑えた信号をひずませるので、帯域外に不要輻射を発生させます。帯域を広げない方法として、図36(b)のように一般的なFFTを実施する前に行うような、窓関数を使って滑らかにクリップする方法が選べます。

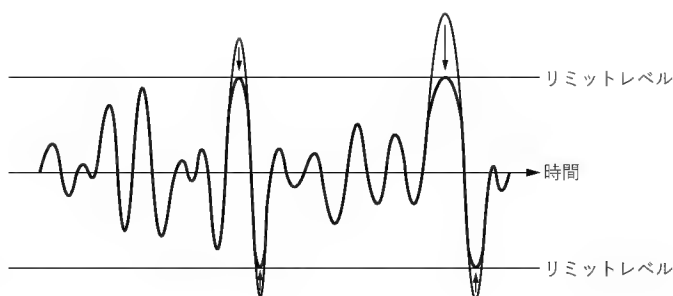
いずれにしても信号をひずませますから、受信のときのビットエラーにどれくらい影響するかが気になります。図37に、ホワイトノイズを加えたときのビットエラー率を示します。予想に反して、窓関数を使うクリッピングよりも、単なるリミッタのほうがエラーレートは小さいことがわかります。

しかし、今度はクリップ後のスペクトルの広がりを考えてみ

〔図36〕クリッピング

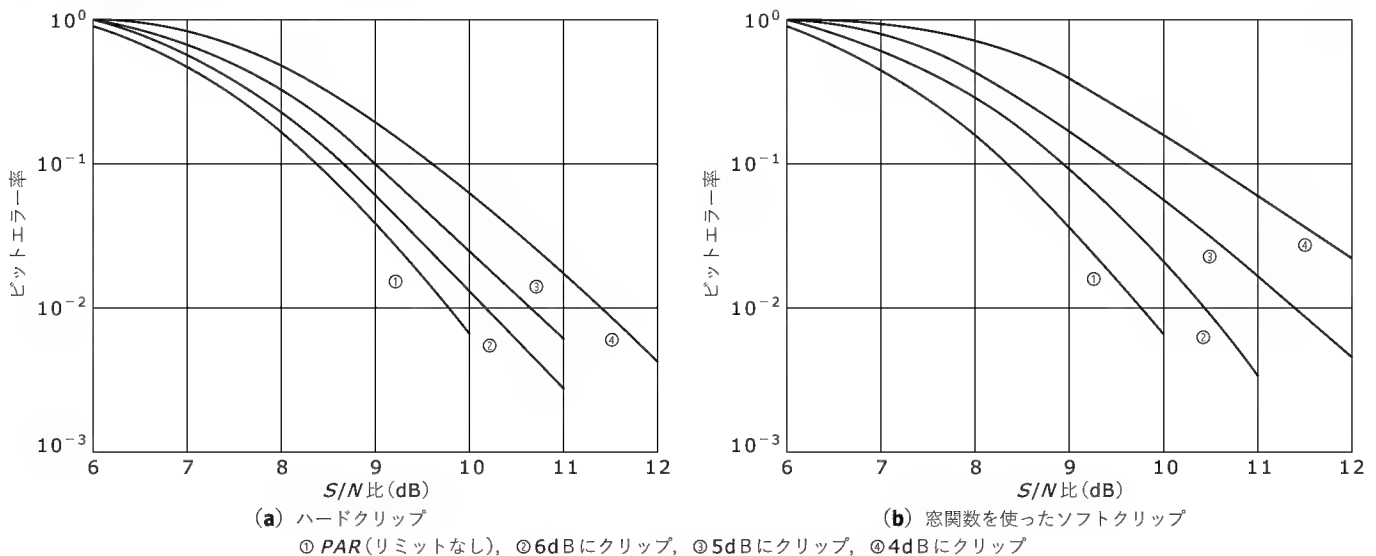


(a) クリッパ



(b) 窓関数を使ったリミッタ

〔図37〕 クリッピングとビットエラー



ます。単にクリップしただけでは、窓関数によるクリッピングに比べて、かなりスプリアスを発生することが予想されます。単なるクリッピングでは、信号のサイドローブは -40dB を越えてしまいます。このように、二つの方法の間には一長一短があり、目的に合わせて選ぶ必要があります。

この応用では、すでにある無線機のマイク入力につながることが前提です。したがって、当然送信機のマイク入力は途中で何らかの帯域制限を受けます。なぜならば、マイクロフォンの出力は帯域制限された信号ではありません。マイクによっては 10kHz ぐらいの成分も含まれます。帯域制限がついていなければ、アナログ通信でも変調帯域が広がることになります。そこで、総合的に考えて純粋にクリッピングだけの処理にしました。

その他にも、ひずみを与えないでピークをキャンセルする方法があります。線形演算でキャンセルするので、帯域は広がりません。ただし、信号処理はとても複雑です。詳しくは参考文献7)を見てください。

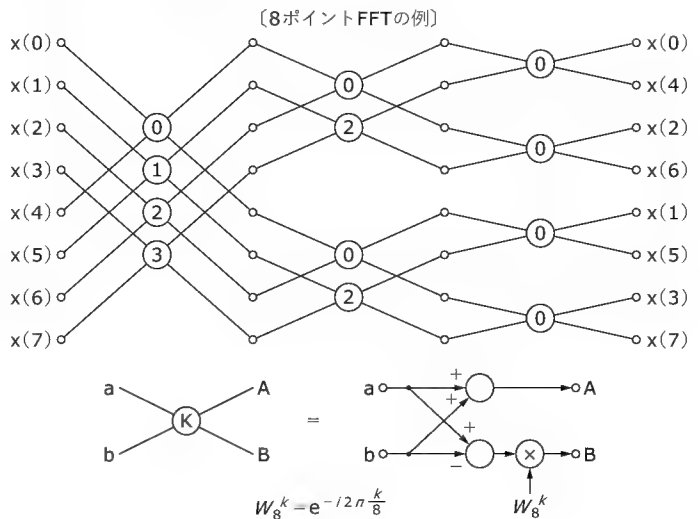
2.4 逆FFTによる変調

OFDMの変調では離散的逆フーリエ変換を使って変調すると前に話しました。実際には高速フーリエ逆変換(IFFT)を使うことになります。図38のようなバタフライ演算を繰り返すFFTについては、これまで何度となくこの誌面にも登場していますし、デジタル信号処理の代表格みたいなものです。

ご存知のように、FFTでは変換する区間のサンプル数は2のべき乗にかざられています。ここの設計では、 8kHz サンプリング 128 ポイントのFFTを使うことにしました。したがって、いちばん低い周波数の基本波は 62.5Hz になります。

それぞれのキャリアはQPSKなどの直交変調をするので、当然入力は複素数となります。すなわち 128 個の複素数から、実数のOFDM変調波形を作り出すことになります。この設計で

〔図38〕 FFTのバタフライ演算

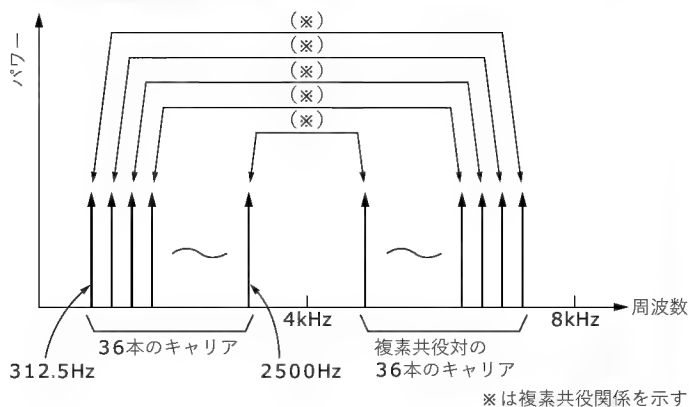


は、OFDM後の2次変調は直交変調ではありません。すなわちIFFTした出力が実数とならなければなりません。そのため図39のように、後半のキャリアは前半のキャリアと対の関係で共役複素数となります。つまり36本のキャリアを使うことは、それと対になった共役な36本のキャリアも必要になります。そこで128本のキャリアのうち、図39のように72本のキャリアの入力を設定することになります。しかし実際は、半分は共役複素数入力ですから、36本を計算すればいいことになります。

1) SH-2によるFFTの計算

はじめに、このモデムの中で処理されているデジタル信号処理(DSP)の流れを図40に示します。これらの処理は、必ずしもソフトだけで処理されているわけではありません。半分くらいは、FPGAのハードウェアDSPで実現しています。プロセッサの信号処理にもう少しパワーがあれば、すべてソフトDSPで

〔図 39〕 複素共役対のキャリア設定



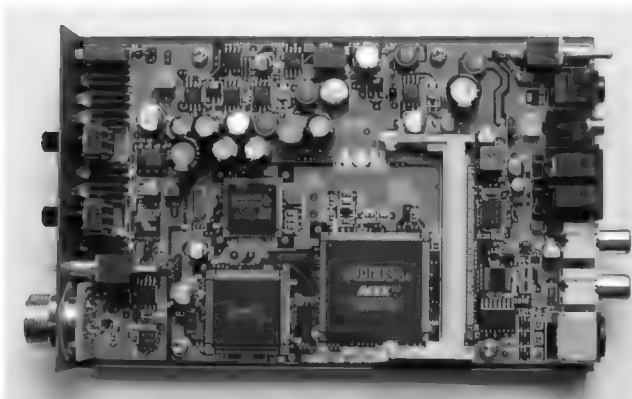
できたかもしれません。ただ、デバッグのやりやすさからいえば、FPGA の処理のほうが使いやすいと感じました。写真 9 にこのモデムの内部基板を示します。写真で示すように、Altera の FPGA による DSP と SH-2 によるソフト DSP との協調設計となっています。

IFFT の実装は、DSP ではなく SH-2 のソフトで行いました。SH-2 は内部のタイマで $62.5 \mu\text{s}$ (16kHz) の割り込みがかかっています。その割り込みに同期して、OFDM の入出力は 16kHz でサンプリングされています。

一方音声の CODEC は 8kHz なので、図 35 のように入力は 16kHz でサンプリングされた信号は、半分の 8kHz にサブサンプリングされます。また出力は逆に、IFFT が出力する 8kHz の信号を 2 倍にオーバーサンプリングしています。それぞれ図 40 のようなサブサンプリング FIR フィルタとオーバーサンプリング FIR フィルタを SH-2 で実現しています。このように倍のサンプリング周波数を使うのは、ADC の前や DAC の出力につくアナログフィルタの構成を簡単にしたかったからです。

IFFT を計算するときも、図 41 のようにこの $62.5 \mu\text{s}$ 単位に仕

〔写真 9〕 内部基板

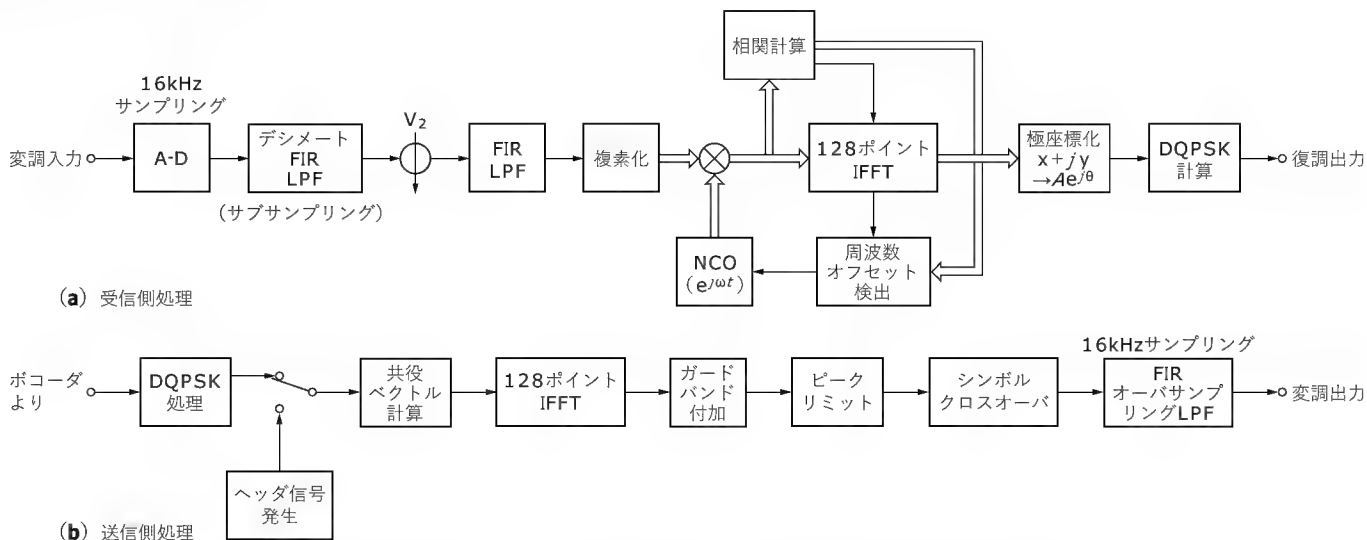


事を分割しています。それぞれのモジュールは必ず $62.5 \mu\text{s}$ 以内で処理が終わるように計算されています。リアルタイム OS のようにジョブが並列に走る場合は、OS のほうで各ジョブに対してレジスタの連続性を保障しなければなりません。すなわちジョブの切り替えに対して、かなりのオーバヘッドが必要なため、このように $62.5 \mu\text{s}$ という短いサイクル時間単位で、多くのリアルタイムデジタル信号処理を行うには適さないと判断しました。

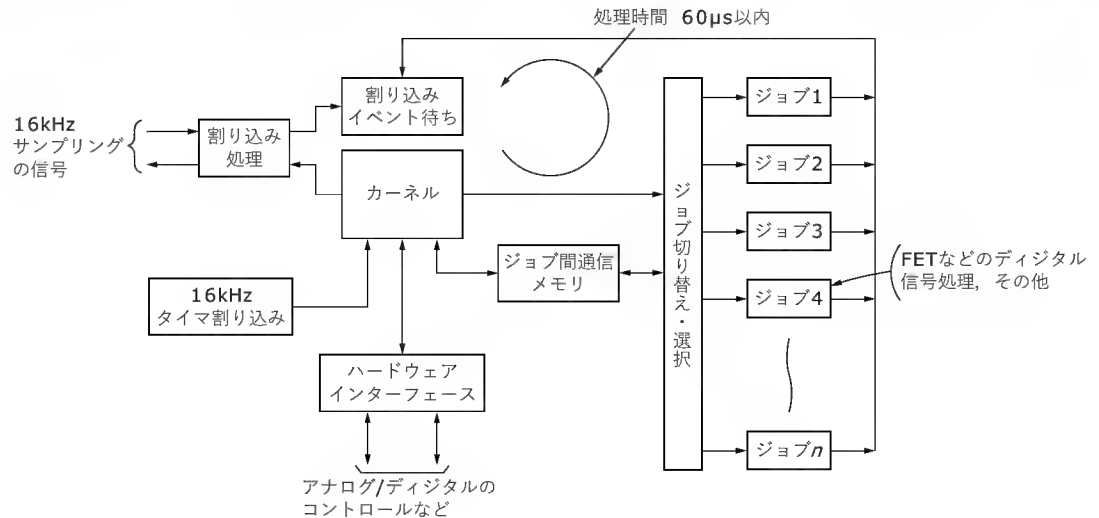
実際には、図 41 のような簡単なカーネルによって処理をコントロールしています。各ジョブがカーネルに処理の終了を知らせるときは、必ずそのジョブが起動してから $62.5 \mu\text{s}$ 以内ということ暗黙の了解にしました。そこでレジスタの保護はまったく行っていない。つまり $62.5 \mu\text{s}$ 以上かかる処理は複数の短いジョブに分割します。しかもすべての割り込み源は、カーネルの部分でしか許可されないの、各ジョブの作業中に割り込みがかかることはないように設計しました。また図 41 のように、ジョブ間の通信はすべてメモリを介して行われます。

図 38 に IFFT の有名なバタフライ演算を示しましたが、概略 1 段のバタフライ演算を二つのジョブすなわち $125 \mu\text{s}$ で計算し

〔図 40〕 DSP のブロック図



〔図41〕 プログラム構造

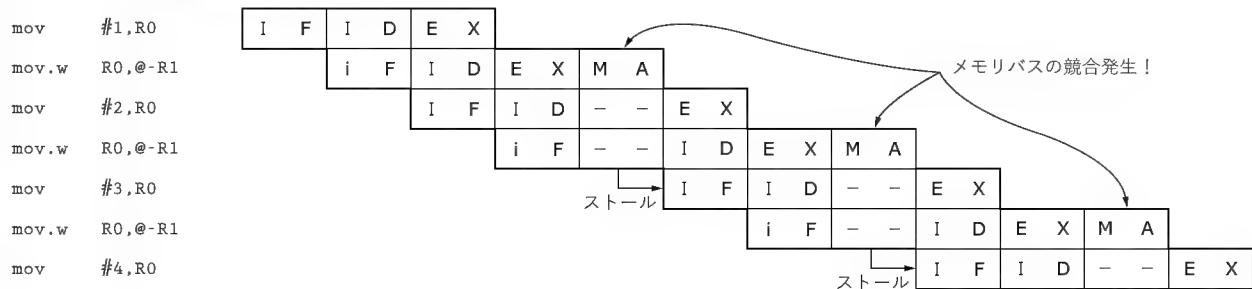


ています。筆者の本の中にも書きましたが、SH-2を使い高速にデジタル信号処理を行うためには、SH-2のパイプライン処理の流れを理解しておく必要があります。SH-2はハーバードアーキテクチャではないため、図42のようにバスの競合が発生し、片方のデータ処理は待たされることになります。具体的に言えば、パイプライン処理の構造のため命令のフェッチとデータメモリの入出力で衝突が発生します。命令実行のためのメモリフェッチは必ず必要ですが、16ビットのRISC命令を32ビットバスで一度に二命令をフェッチします。そのため、バス上で命令をフェッチしないサイクルが交互に発生します。このとき

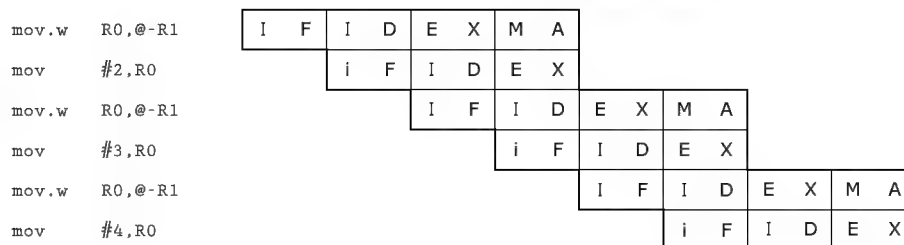
にできるだけデータの入出力の実行ユニットがパイプライン上に来るように命令を並べればよいことになります。

具体的なFFT処理の例は説明が長くなるので、ここでは省略しますが、筆者の著書⁶⁾に具体的に記したので、それを参考にしてください。FFTの演算はもちろん固定小数点の演算ですが、その桁取りがもっとも難しいノウハウです。FFTの場合はフーリエ変換を高速化するために、各128データが同じ数の掛け算を通過しません。これが固定小数点でのFFTの計算を困難にしています。加減算の場合は、比較的桁どりはたやすいのですが、掛け算を使うととたんに複雑になります。

〔図42〕 メモリアクセスの偶数配置



(a) 奇数配置の場合



(b) 偶数配置の場合

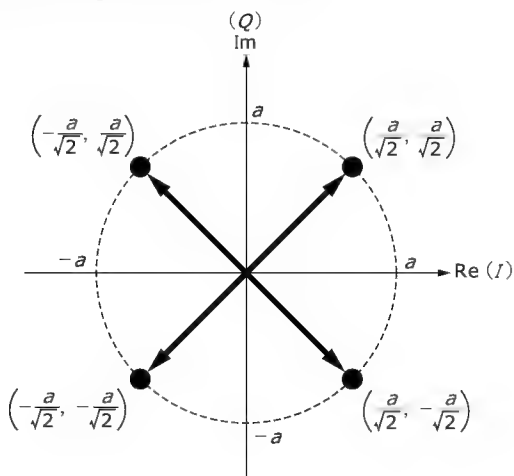
I F: 実際にメモリフェッチをとまなうインストラクションフェッチ
i F: メモリフェッチをとまなわないインストラクションフェッチ
I D: インストラクションデコード
E X: 命令実行ユニット
M A: データメモリアクセスユニット

2) 変調データの生成

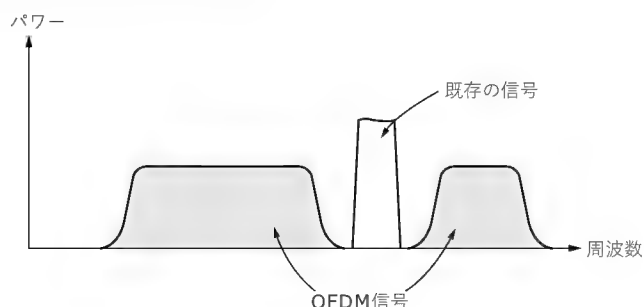
OFDMの変調データを作ることはいったって簡単です。OFDMの入力は36組の複素数を設定することです。図43のように虚数部をQ軸、実数部をI軸としたQPSKを考えればいいことになります。それぞれのキャリアを直交変調することはすなわち、それぞれのキャリアに対する複素数を設定することになります。QPSKだと(I, Q)とすると、(a, 0), (0, a), (-a, 0), (0, -a)のいずれかの値をとります。または、それぞれを任意の角度で複素平面上回転させた値でもかまいません。ちなみに $\pi/4$ だけ回転させた場合は、図43のように $(a/\sqrt{2}, a/\sqrt{2})$, $(-a/\sqrt{2}, a/\sqrt{2})$, $(-a/\sqrt{2}, -a/\sqrt{2})$, $(a/\sqrt{2}, -a/\sqrt{2})$ となります。

aは任意の振幅です。しかし、aの振幅の値を決めることはけっこう難しい作業です。IFFTを使って実時間の信号波形に変換したときに、波形のピークが固定小数点演算のダイナミックレンジのオーバーフローを起こさないような値を選ばなければなりません。どのキャリアに対しても同じ値を使うのが普通ですが、キ

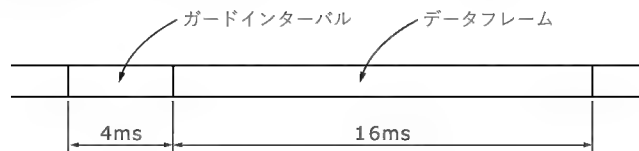
〔図43〕 QPSKのコンスタレーション



〔図44〕 スペクトルの自由度



〔図46〕 OFDM1 シンボル



ャリアによって振幅を変えることも可能です。たとえば、とくに重要なデータを送るキャリアのパワーを大きくすることも可能です。また、伝送路の周波数特性の劣化をあらかじめ補償するために自由にプリエンファシスをかけることも可能です。あるいは、図44のようにすでに存在する信号を避けるために、前から存在する信号との干渉の恐れのある周波数のところだけ空白にすることもできます。

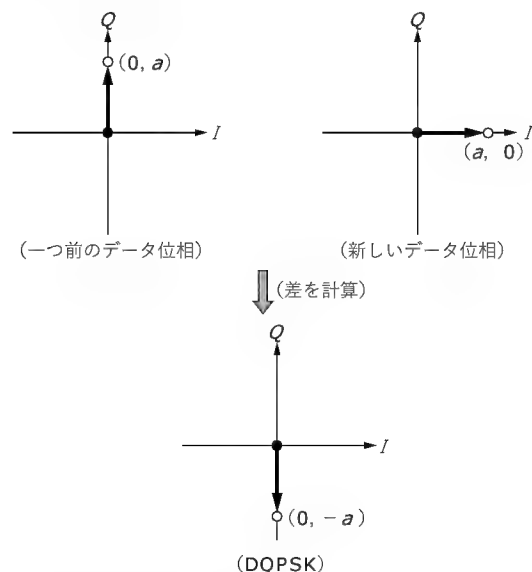
ボコーダ AMBE 出力は、圧縮された音声データとエラー訂正コードで、1シンボルあたり72ビットです。それをまず2ビットずつ区切ります。36個の2ビットペアができます。DQPSKなので、図45のように一つ前のそれぞれのキャリアの位相、すなわち複素数値からのそれぞれのキャリアに対応するデータ2ビットで位相回転し作ります。DQPSKの場合、いちばんはじめのシンボルは値が不定になります。前の位相がわからないからです。1番目は参照となる基準位相を決めるだけの働きしかしないので、データと分ける意味で、リファレンスペクトルと呼ばれています。

残り36個のキャリアのデータは、計算した36個のデータの共役複素数を計算するだけです。簡単にいえば、虚数部の極性を逆にするだけです。128個の入力データの内残りの使わないものはゼロをいれて、出力しないようにします。こうして作った128個のデータを先ほどのIFFTにかければ、OFDMの信号が得られます。

2.5 ガードインターバルの挿入

128点のIFFTをすると $125\mu s \times 128 = 16ms$ の信号が得られます。これに4msのガードインターバルを付加します。図46のように全体のシンボル時間は、設計値の $16 + 4 = 20ms$ となります。ガードインターバルの信号を付加する処理は、とても簡単です。図18のようにIFFTで計算した信号の後ろの4msをカット＆ペーストすればよいだけです。

〔図45〕 DQPSK



IFFT は同じ信号が繰り返すことを前提に、無限積分のフーリエ変換を有限区間に限定して計算しています。このガードインターバルを追加する処理は、この理屈にかなっており、つなぎ目の不連続性はありません。すなわち、これによって有害なスプリアスは発生しません。

むしろ問題なのは、シンボル間の結合です。シンボル間の信号の相関はまったくないので、つなぎ目が不連続になってしまいます。これにより有害なスプリアスを発生しています。この対策としては、つないだ後にフィルタに通して不要な信号を落とすことがまず考えられます。しかし、広帯域の OFDM の信号だけ通過させるようなフィルタは、けっこうたいへんな処理になることが予想されます。

もっと簡単な処理で、不要な信号を発生させない方法があります。隣り合う相関のないシンボル同士を突然切り替えるのではなく、図 47 のように徐々にフェード IN、フェード OUT してクロスオーバーするやり方です。具体的には、それぞれの信号を足したときの振幅が一定でなければなりません。そのため、ハニング窓のように、中心を境に上下対象の波形を掛け合わせたあとに足し算をして処理します。

この効果は絶大です。1 シンボル 160 サンプルに対し、何も処理しないで接続すると信号帯域の 4 倍のサイドバンドのレベルでも -40dB 以下になることはありません。一方わずか 4 サンプルの窓関数処理でも、2 倍のサイドバンドでもレベルが -50dB まで低下します。何もしない特性に比べて劇的な効果があることがわかります。ここの設計では実際に 4 サンプルの窓関数処理を行っています。そのため、受信側で FFT 処理して復調する際には、この 4 サンプル分を避ける必要があります。ガードインターバル 32 サンプルのうち 4 サンプルをサンプルの後半に設けることによって、これに対応しています。図 47 のようにプリおよびポストガードインターバルを設けています。

2.6 周波数ずれの補正

ここで使っている OFDM では、キャリア間隔は 62.5Hz です。とても狭い間隔でぎっしりとキャリアが詰まっています。前にも話しましたが、受信した信号約 30Hz 以上の周波数オフセット

があると、キャリアの直交性はまったく崩れ、シンボル間の干渉のため、ほとんど復調できなくなります。

ところが SSB などの信号で通信する場合は、30Hz 位のずれは普通に発生します。そのような伝送路が使われることを考えて、前に説明した特別の 3 トーンヘッダ信号を使って、周波数ずれを検出し自動補正をかけます。また時間軸のシンボル同期も、前に説明したようにヘッダの特徴を生かしてかけます。

3 トーンヘッダによって同期が高速に確立したあとは、図 26 のようなガードインターバルの相関性を使った同期保持が働きます。具体的なしくみは前に説明しました。時間軸の同期は使い慣れた、またよく耳にする PLL を使えばいいことになります。周波数の補正は、図 48 のような処理により周波数変換し行われます。

この処理は複素周波数ヘテロダインといわれます。まずは計算式で、どのような処理が行われているかを示します。まず入力した信号を FIR ヒルベルトフィルタに通し、その信号遅延分のディレイラインを通過した 2 種類の信号に変換します。この信号はそれ以降、複素数として処理されるので、この処理のことを信号の複素化と呼んでいます⁶⁾。

$$\text{複素数正弦波} \quad Y = Ae^{j\omega t} = A\cos\omega t + jA\sin\omega t$$

複素ヘテロダイン

$$\text{信号} \quad S = re^{j\varphi t} = Sr + jSi$$

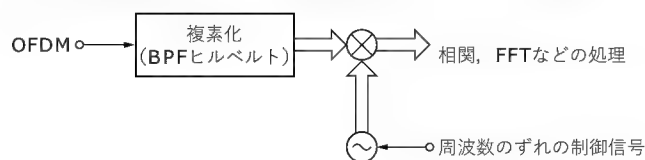
ヒルベルト変換出力

$$\text{キャリア} \quad -C = e^{j\omega t} = \cos\omega t + j\sin\omega t$$

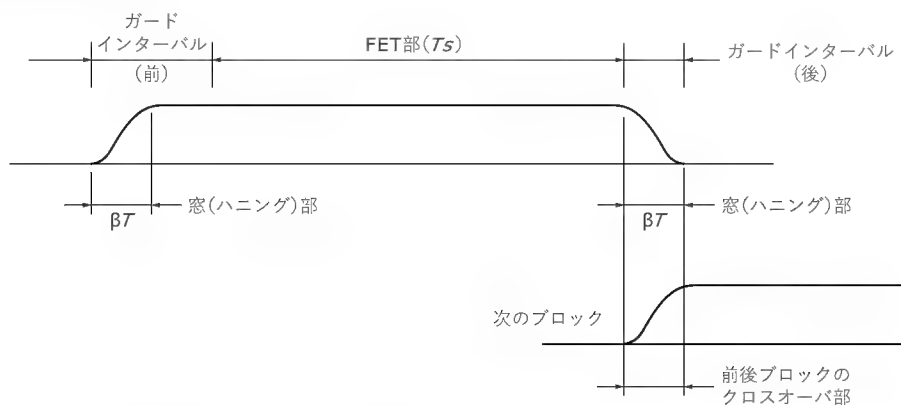
$$\text{ヘテロダイン出力} \quad Y = S \cdot C \\ = re^{j(\omega+\varphi)t}$$

複素可変周波数発振器が必要になります。アナログの VCO の

〔図 48〕複素ヘテロダインによる周波数オフセットキャンセル



〔図 47〕窓関数によるスプリアス対策



デジタル信号処理版で、入力される数値によって出力の周波数が変わるものです。複素数ですから、直交する二つの正弦波を発生させなければなりません。sin と cos の関係です。それを式に沿って極座標形式で書くと、もっとはつきりします。複素平面を反時計方向に回転するのが正の周波数で、周波数変換後は元の周波数よりも高い周波数に変換されます。時計方向に回転するのが負の周波数で、変換後は元の周波数より低い周波数に変換されます。

複素化された入力信号と、周波数ずれに対応して発生させた複素正弦波との複素掛け算をすれば複素ヘテロダインが計算できます。式で書けばとても簡単ですが、実際に計算する場合は信号の複素化がもっともたいへんな処理となります。とくに複素化には欠かせないヒルベルトフィルタを実装するのがけっこう重い処理です。なおヒルベルトフィルタの設計に関しては、設計ツールをもっていない場合は、筆者が書いた著書⁶⁾の設計の要点を参考にして、付属 CD-ROM にある設計ソフトで設計して

試してみてください。

それ以降の OFDM に必要なのは実数部だけですが、図 26 に示すようにガードインターバルの相関計算の際に共役複素数を計算する必要がある、複素ヘテロダインの複素計算出力がそのままその計算に使われます。

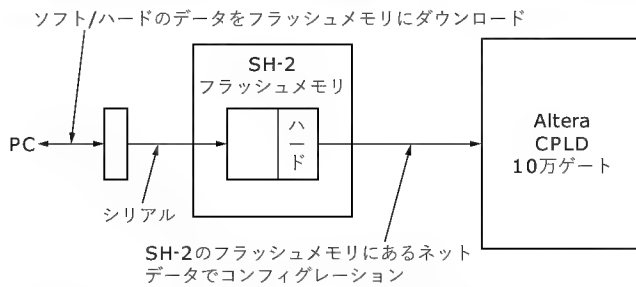
複素ヘテロダインの処理は、SH-2 ではなく Altera ACEX によるハードウェアで実現しています。処理はリスト 1 のような VHDL ですべて記述しています。もちろんソフト処理でも実装可能ですが、DSP と違って SH-2 の処理能力はあまり余裕がないため、できるだけ負荷をかけないようにハードウェアで実装しました。

この設計した商品のハードウェアは、図 49 のようにソフト・ハードの境目をなくし、都合に合わせて各機能・処理系はどちらでも実装できるようにしています。Altera の FPGA は 10 万ゲート相当を使っていますが、その配置配線データはすべて SH-2 のほうからダウンロードするようなくみにしてあります。SH-2

[リスト 1] VHDL サンプル

<pre>-- pai/2 rad SIN table ----- -- (C)2002 copyright Y Nishimura -- LIBRARY ieee; use ieee.std_logic_1164.all; use ieee.std_logic_unsigned.all; LIBRARY lpm; use lpm.lpm_components.all; entity Sintab is port (Mclk : in std_logic; -- Master clock Reset : in std_logic; -- Master Reset wrst : in std_logic; -- Reset table address wden : in std_logic; -- Write enable radd : in std_logic_vector(9 downto 0); RamIn : in std_logic_vector(15 downto 0); Sindata : out std_logic_vector(15 downto 0)); end Sintab; ARCHITECTURE one OF Sintab IS signal Mdata : std_logic_vector(15 downto 0); signal wadd,Rradd : std_logic_vector(7 downto 0); signal wsta : std_logic_vector(1 downto 0); signal Te,wen : std_logic; BEGIN -- Memory Access Sequence ----- -- process(Mclk,Reset) begin if Reset = '0' then wsta <= "00"; elsif rising_edge(Mclk) then case wsta is when "00" => if wden = '1' then wsta <= "01"; else wsta <= "00"; end if; when "01" => wsta <= "11"; when "10" => wsta <= "00"; when "11" => if wden = '0' then wsta <= "10"; else wsta <= "11"; end if; when others => wsta <= "00"; end case; end if; end process; wen <= (not wsta(1)) and wsta(0);</pre>	<pre>-- Memory write pointer -- process(Mclk,Reset) begin if Reset = '0' then wadd <= "00000000"; elsif rising_edge(Mclk) then if wrst = '1' then wadd <= "00000000"; else if wsta = "10" then wadd <= wadd + 1; else wadd <= wadd; end if; end if; end if; end process; -- Read address generator -- process(Mclk,Reset) begin if Reset = '0' then Rradd <= "00000000"; elsif rising_edge(Mclk) then if Rradd(8) = '0' then Rradd <= Rradd(7 downto 0); else Rradd <= not Rradd(7 downto 0); end if; end if; end process; -- Dual port ram -- 256 words ----- Te <= '1'; U1: lpm_ram_dp GENERIC map (LPM_WIDTH => 16, LPM_WIDTHAD => 8) port map (rdaddress => Rradd, wraddress => wadd, rdclock => Mclk, wrclock => Mclk, wren => Wen, wrclken => wen, rdclken => Te, rden => Te, data => Ramin, q => Mdata); -- Output data control -- process(Mclk,Reset) begin if Reset = '0' then Sindata <= "0000000000000000"; elsif rising_edge(Mclk) then if Rradd(9) = '0' then Sindata <= Mdata; else Sindata <= (not Mdata) + 1; end if; end if; end process; END one;</pre>
---	---

〔図 49〕 ソフトウェアとハードウェアの融合



- ・基板上のハードウェアは、その定義にデータをダウンロードしなければ、何も動作しない
- ・ソフト設計とハード設計を同時にインタラクティブにできる

のROMはフラッシュメモリになっており、ソフト/ハードを含めた設計コードは外部のシリアルインターフェースを通して、自由に書き換えるように柔軟性をもたせてあります。

このような構成にしてから、これは筆者の好み問題かもしれませんが、ハードで実現できるものは、ハードウェアで実装する傾向にあります。しかし、設計自体は回路図ではなくVHDLの記述で行うので、見た目はすべてソフト設計のように見えます。

2.7 NCO

ここで使う複素発振器の実現には、いろいろな方法があります。ここでは周波数ゼロ(DC)を含むプラスマイナスの広範囲な周波数を生成しなければなりません。そこで、安定性があり構成が簡単な図50のような位相アキュムレータとテーブル参照による方法で実現しています。ただし、出力の波形の精度はテーブルの細かさで決まります。

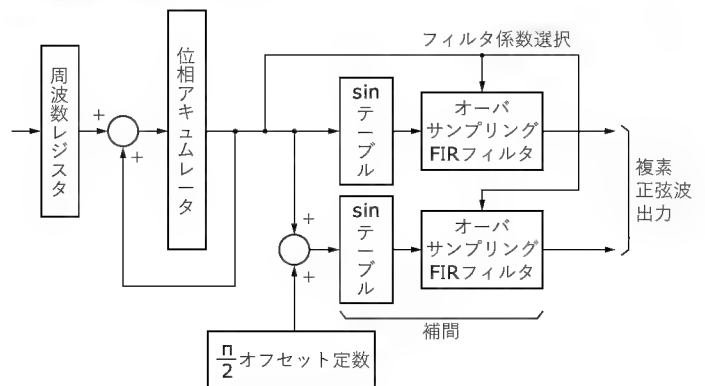
大きなテーブルを使えばいいのですが、その実装のために大きなメモリが必要で、現実的ではありません。そこで、図51のように荒いテーブルとオーバーサンプリングによる補間で精度を高めています。オーバーサンプリングフィルタはFIRの構成で、図52のようにとっても少ない計算量で実現できます。

ハードウェアによるFIRフィルタは、FPGAのクロックに比べてそんなに高速性は要求されません。そこで、図52のように掛け算器を1個と積算器を1個もつハードウェアで、係数1個ずつ計算するステートダイアグラムを組み実現しています。sinテーブルやFIRフィルタの係数は、AlteraのFPGAがもつ埋め込みRAMを使って格納しています。もちろん初期値はSH-2のほうからダウンロードします。

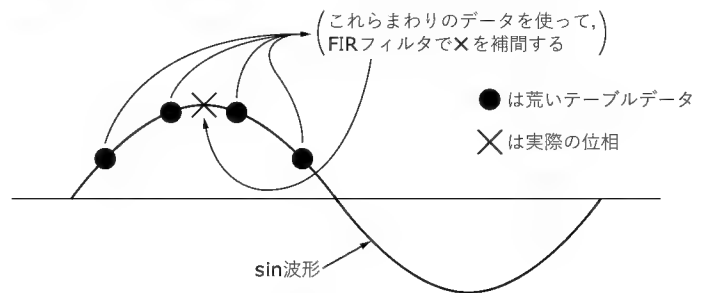
2.8 FFTによる復調

周波数オフセットも補正し、シンボル同期が確立したあとは、FFT処理をすることでデータの復調を行います。FFT処理は、変調のときに使ったIFFT処理とほとんど同じ処理で、共通に使える部分が多くあります。実際にサブキャリアの形で使っています。図53のように汚染されたガードインターバルを除いた純粋な128個のデータを取り出し、FFTにかけます。

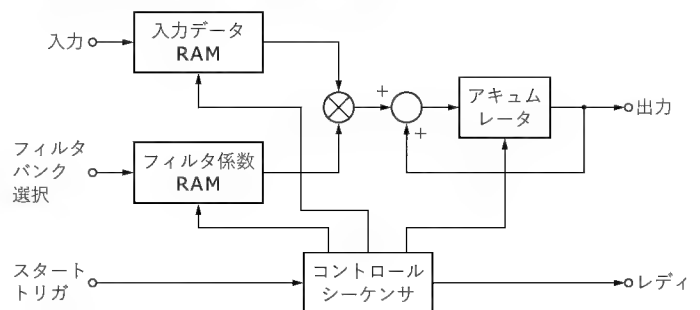
〔図 50〕 複素 NCO



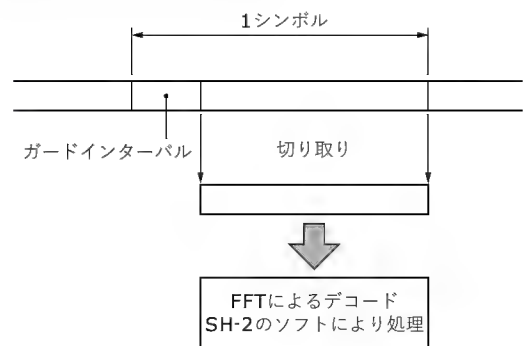
〔図 51〕 テーブルの補間



〔図 52〕 シーケンシャル FIR フィルタ



〔図 53〕 FFTによるデコード



通常のFFT処理の前に行う偽信号を取るための窓関数をかけることは、OFDMのFFTにおいては必要ありません。もともとOFDMは1シンボルという区間に区切られた、全体では連続性のない信号を送ることで伝送しています。区切りがシンボル

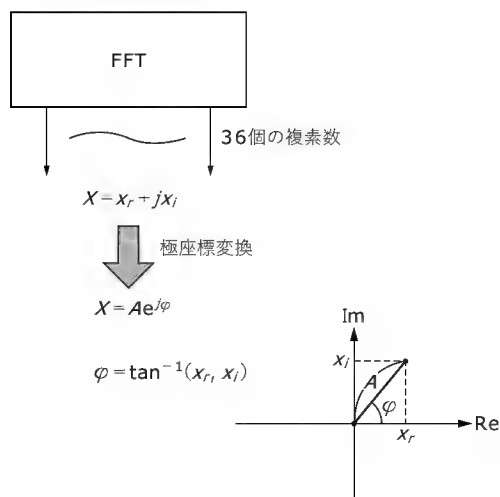
同期ではっきりしているため、そのまま切り出してFFTを掛ければ正確に復調できます。

この処理も、変調側と同じくSH-2のソフト処理で実装しています。62.5μsのタイマ割り込みを基準に62.5μsで処理が完結する細かなジョブに区切り、処理します。128点のFFTを計算しますが、必要なのは36個のデータだけです。計算結果は当然複素数になり、それぞれのキャリアの直交復調した結果が得られます。キャリア1個1個を直交復調しようと考え、とてもたいへんな処理に思えますが、FFTを使うと比較的に簡単に復調できるのに驚きます。

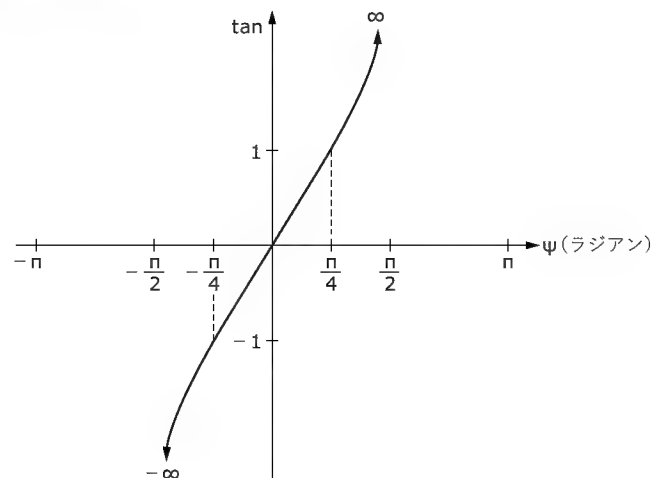
2.9 複素極座標変換とPSKの復調

このOFDMモデムではDQPSKを使っているため、位相角のみがデータ処理に使われ、信号の振幅成分には大きな意味がありません。逆にフェージングやAGCなどによって、振幅成分には多くのひずみ成分が含まれます。そこで、図54のようにまず受信した36組の複素数を直交座標から極座標に変換します。極

〔図54〕極座標変換



〔図55〕tan関数



座標変換することにより、振幅成分と位相角成分とにはっきり分けられます。

そのため極座標に変換する際に、振幅成分はその後の処理には使いません。そこで位相角のみの計算を行います。位相角は図54のように、arctanを計算すればいいことになります。tan(正接)の関数は図55のように $\pi/4$ ラジアンを越えたところから急速に発散してやがて無限大になります。ここでは、テーブル参照によるarctanを計算するので、精度を上げるためできるだけダイナミックレンジは抑えたいところです。

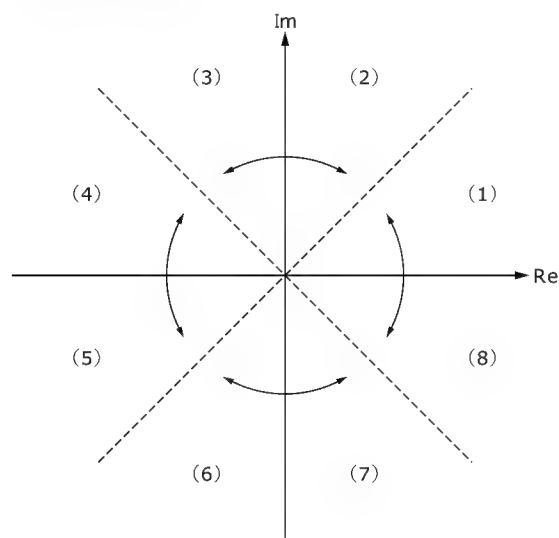
そこでまずは複素平面を $\pi/4$ ラジアンごとに8個の領域に区切り、どこの区分に入るかを調べます。次に図56で奇数領域の場合は普通に、 $Y = \text{虚数部}(X_i) / \text{実数部}(X_r)$ の絶対値を計算します。偶数領域にある場合は $Y = \text{実数部}(X_r) / \text{虚数部}(X_i)$ の絶対値を計算します。すなわちYは1以下になり、tanの関数の発散の影響を受けないで、ダイナミックレンジを小さく抑えることができます。

割り算のハードウェアはDSPでもないのが一般的です。しかし割り算のための命令は用意されています。ここではSH-2を使いますが、リスト2に割り算の処理を示します。一般的なソフトウェアの処理では、できるだけループを用いて簡明にかつ短く記述しようとしませんが、デジタル信号処理では見た目の美しさより、処理時間がもっとも重要です。そのためループを使わずに同じ命令をずらっと並べる処理形式をとっています。

計算した結果を使って、arctanのテーブルを引き角度に変換します。変換された角度は $0 \sim \pi/4$ ラジアンになるはずですが、まず初めに、複素平面状のどの領域に入るかを調べました。それによって最終的なarctanの結果 $0 \sim 2\pi$ ラジアンを得ることができます。

一つ前のシンボルのときも同じようにして計算した位相角のデータが保存してあります。その値と、計算した結果との差を

〔図56〕 \tan^{-1} の区分け



〔リスト2〕 割り算処理

```

;----- Divide routine -----
;
;      R0/R2
;-----
DIVIDE: mov     R2,R4          ; Save data
        cmp/pz  R4            ; Test sign
        bt     DIVIDE2        ; If plus data
        neg     R4,R4
DIVIDE2: xor     R0,R2          ; Set Sign data
        cmp/pz  R0            ; Test sign
        bt     DIVIDE1        ; If plus data
        neg     R0,R0
DIVIDE1: shll16  R0
        shll16  R4
        div0u
        .AREPEAT 15
        divl    R4,R0
        .AENDR
        rotcl   R0
        extu.w  R0,R0
        cmp/pz  R2            ; Test sign
        bt     DIVIDE3
        neg     R0,R0
DIVIDE3: rts
        nop

```

計算すれば、最終的な DQPSK の復調データとなります。位相角の計算はけっこう重い処理ですが、1 シンボルにつき 1 回計算すればいいので、時間的な余裕はあります。

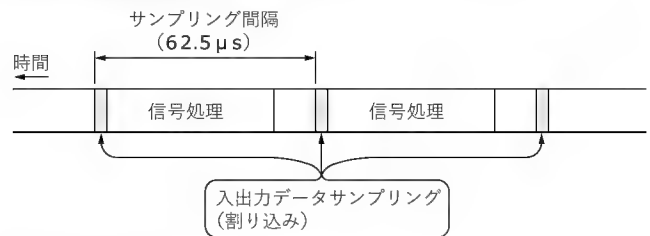
2.10 もっとも重要なシンボル同期維持

これで、ひととおりの OFDM モデムの処理を説明しました。これまでの説明で、OFDM の処理がけっこう簡単にできることがわかったと思います。もっとも複雑な処理は、FFT の計算です。これを自前で作る場合は、ちょっと気合を入れて作る必要があります。しかし、ある程度それぞれの DSP または CPU に対して、メーカーごとに標準ライブラリとしてすでに用意されていることも多いと思います。もしそれを使うことができれば、比較的短時間に作ることができるでしょう。

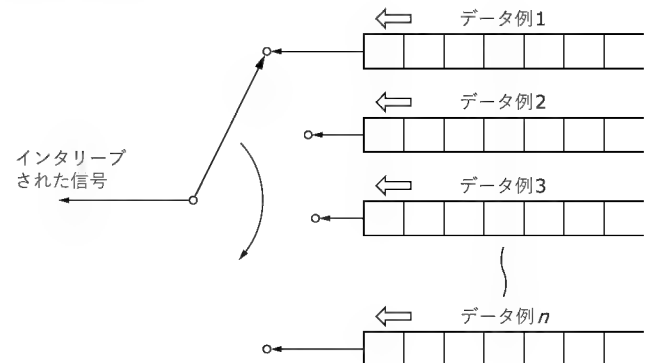
処理系を作る場合は、普通のソフトの設計と違い、リアルタイム性を重視したデジタル信号処理であることを常に頭に置いておく必要があります。リアルタイム OS を使う場合も多いと思いますが、図 57 のように μs 単位のけっこう短い間隔でサンプリング周期が発生するため、この処理を最優先にして時間的なゆらぎが発生しないようにしなければなりません。中でどのような優先順位で処理がなされ、どれくらいのオーバーヘッドの処理時間が必要なのかが把握できない OS を使った場合は、思わぬトラブルが発生するかもしれません。

筆者の経験上、もっとも難しく注意深く設計しなければならないのは、シンボル同期の部分です。受信される信号の S/N 比はさまざまで、しかも、いろいろなレベルのフェージングの影響を受けています。あらかじめ MATLAB のようなシミュレーションソフトを使って、事前に検討しておくことも必要になります。また、実際のさまざまな悪条件の中でテストを繰り返すことも必

〔図 57〕 信号処理のリアルタイム性



〔図 58〕 インタリーバ



要です。この部分は、教科書的な回答はありません。問題が発生するたびに解決しなければならないノウハウの部分です。

周波数選択性のフェージングに対応するためには、エラー訂正符号を使って対処しなければなりません。このモデムの場合も、ブロック符号によるエラー訂正符号が組み込まれています。さらに周期的なレベルフェージングに対応するためには図 58 のようなインタリーバを使ってバースト状の誤りを全体に拡散してエラー訂正コードで訂正できるようにしてやる必要があります。コーディングの部分は今回の記事の範疇外なので詳しい説明は省略します。しかし、実際の応用ではとても重要ですし、必ず埋め込まなければならない技術なので、しっかり理解しておく必要があります。

参考・引用文献

- 1) Richard Van Nee, Ramjee Prasad, *OFDM FOR WIRELESS MULTIMEDIA COMMUNICATION*, Artech House Publishing, 2000
- 2) John B. Anderson, *Digital Transmission Engineering*, IEEE Press, 1999
- 3) ARIB STD-B13:『800MHz 帯 OFDM 変調方式』, (社)電波産業会, 2000
- 4) 宮津和弘,『Bluetooth ガイドブック』, 日刊工業新聞社, 2000
- 5) 西村芳一,『SSB 変調方式と DSP 処理』,『HamJournal』, No68, CQ 出版(株), 1990
- 6) 西村芳一,『DSP 処理のノウハウ』, CQ 出版(株), 2000
- 7) 西村芳一,『無線によるデータ変復調技術』, CQ 出版(株), 2002

にしむら・よしかず (株) エーオーアール

60GHz帯を使った 高速無線伝送技術

・ 莊司洋三/辻 宏之

無線 LAN 規格の代表的なものの一つは 2.4GHz 帯の電波を使用する IEEE802.11b で、カタログなどでは最高伝送速度 11Mbps がうたわれている。また、5GHz 帯の電波を使う IEEE802.11a (～ 54Mbps) も対応製品が出はじめた。一方、100Mbps 以上のデータ伝送を実現する、60GHz 帯の電波を使った無線伝送も研究が進められている。本章では、この 60GHz 帯を使った無線伝送技術の基礎と、課題である周波数安定性の問題を解決するための「ミリ波自己ヘテロダイン伝送方式」について解説する。 (編集部)

はじめに

2.4GHz 帯を使用した無線 LAN は手軽に利用できることから、その利用範囲がますます広がっています。また、5GHz 帯の周波数の利用も認められるようになり、さらなる無線 LAN の発展が期待されています。現在もっとも利用者が多い 2.4GHz 帯の無線 LAN は、ISM (産業科学医療用) バンドと呼ばれる免許不要バンドを使用しており、5GHz 帯の無線 LAN もやはり免許不要バンドを使用しています。このように、免許不要のバンドは一般ユーザーへの無線システムには魅力的なバンドといえます。現在これら 2GHz 帯や 5GHz 帯では、それぞれでおおよそ 100MHz 幅程度の帯域の利用が可能となっています。

しかし、2.4GHz 帯の ISM バンドでは、本来の用途に加えて、無線 LAN や電子レンジなどを含むさまざまなシステムが利用されるようになってきています。このため、同じ周波数帯を使う異なるシステム間の干渉が深刻な問題になりつつあります。また、同一システムにおいても、利用可能な周波数帯域が制限されているため、伝送速度は現在では数十 Mbps が最高となっており、同時に、利用するユーザー数が増えるにつれて伝送速度が低下するなどの問題点があります。

一方、近年高品位な動画の無線伝送や光ファイバを用いたデータリンクの無線リンクへの置き換えなど、100Mbps 以上の伝送速度が必要とされる無線アプリケーションがあり、さらに高速な無線伝送システムが求められています。100Mbps 程度以上の伝送を実現する方法として、いくつかのシステムがこれまでに提案されています。

そのなかに、最近注目されている UWB (Ultra Wideband) 伝送方式があります。これは既存の無線伝送システムと周波数帯を共用しつつも、比帯域で 25% 以上という従来の無線伝送システムと比較してきわめて広い周波数帯域を使用することで、帯域あたりの空中線電力を十分に低くおさえ、既存システムに干渉を与えることなく高速無線伝送を実現する手段です。

このように使用する帯域を広げることは高速伝送を実現する方法の一つですが、マイクロ波帯で新たに広い帯域を確保することは一般に難しく、100Mbps 以上の伝送を実現するためには、他のシステムと周波数を共有しなくてはなりません。これに対し、今回ここで取り上げるミリ波帯 (30～300GHz、波長 1～10mm の電波) は他のシステムと干渉することなく、広い帯域が利用できるという理由で注目されています。とくに 60GHz ミリ波帯は後で述べるように、7GHz という広い帯域がすでに免許を必要とせず利用可能な状況にあります。

本章では、ミリ波帯の 60GHz 帯をとりあげ、その特徴や標準化などについて述べた後、ミリ波帯における高速伝送を低コストに実現する技術や、これを利用したシステム開発例を紹介します。

1 ミリ波帯とは？

1.1 ミリ波帯の特徴

ミリ波帯とは、周波数 30～300GHz (波長 10～1mm) の電波を一般にさします。これまで 60GHz 帯のような高い周波数帯は、取り扱いが難しいなどの理由から一般の通信にはあまり利用されませんでした。近年のマイクロ波帯での周波数不足と MMIC 技術 (コラム参照) など回路技術の発達によって、その利用が注目されるようになりました。一般にミリ波帯の電波を利用する無線伝送システムのおもな特徴としては、

- 広帯域伝送が可能
- 機器の小型化が可能
- 伝搬による減衰が大きい
- ミリ波の伝搬特性

などがあげられます。ここでは 60GHz 帯に注目して、その特徴や利用状況を説明します。

一般に、電波の有効受信電力 P_r は送信点と受信点間の距離を d 、波長を λ とした場合、

コラム 本章中に出てくる用語の説明

【ISM バンド】

ISM (Industrial, Scientific and Medical Band) (産業科学医療用) バンド。電子レンジや医療用加熱装置など、電波のエネルギーを直接利用する特別な装置のために割り当てられた無線周波数帯。通信に使う場合は無線免許なしで自由に使えるが、通信品質の保証はない。

【UWB (Ultra Wideband) 伝送方式】

無線通信の方式の一つで、データを 1GHz 程度のきわめて広い周波数帯に拡散して送受信を行うもの。それぞれの周波数帯に送信されるデータはノイズ程度の強さしかないので、同じ周波数帯を使う無線機器と混信することがなく、消費電力も少ない。UWB は位置測定、レーダ、無線通信の三つの機能を合わせもっており、きわめて独特な無線応用技術といえる。

【マイクロ波帯】

およそ 1GHz (波長 30cm) ~ 30GHz (波長 10mm) の電磁波。UHF 波との境界域 (1 ~ 3GHz) を準マイクロ波と呼び、ミリ波との境界域 (20 ~ 30GHz) を準ミリ波と呼ぶこともある。

【MMIC】

Monolithic Microwave Integrated Circuit の略称。高周波 (マイクロ波) 帯で動作するガリウム砒素、あるいはシリコン集積回路 (IC) を指す。携帯電話などで電波の送受信に多く使われている。

【加入者系無線アクセスシステム】

加入者系無線アクセスシステムは、WLL (Wireless Local Loop) や LMDS (Local Multipoint Distribution Service) など、さまざまな名称で呼ばれてきたが、ITU の 1997 年世界無線通信会議で、Fixed Wireless Access (FWA) を統一用語として採用することになった。

【多相位相変調方式】

多相 PSK (Phase Shift Keying) 変調方式。かぎられた周波数帯

域で比較的多くの情報を伝送することのできる変調方式の一つ。多値数としては 4 相、8 相のものが主として使用されている。とくに 4 相 PSK のことを QPSK (Quadrature Phase Shift Keying) 変調と呼ぶ。

【多値直交振幅変調変調方式】

多値 QAM (Quadrature Amplitude Modulation) 変調方式。かぎられた周波数帯域でもっとも多くの情報を伝送することのできる変調方式の一つ。多値数としては 16 値、64 値などがおもに使用されており、最近では 256QAM や 1024QAM など開発されている。しかし増幅器などによる非線形歪に弱いことから、64 値以上はあまり用いられていない。

【OFDM 方式】

Orthogonal Frequency Division Multiplexing (直交周波数分割多重) 方式。周波数多重方式の一つで、多重するキャリアを密に配置できるため伝送効率が高い。5GHz 帯を用いた無線 LAN で使用されているほか、デジタル地上波放送への適用が決まっている。

【100Base-TX】

IEEE802.3 が規定する非シールドより対線 (UTP) を使う 100Mbps イーサネットの物理層仕様の一つ。名称の最後の“X”は、使用するより対線の仕様が ANSI X3T9.5 分科会が規定した FDDI/CDDI を基にしていることを示す。使用するケーブルは、カテゴリ 5 の 2 対 (4 芯) UTP である。

【マルチパス】

一般に、電波が複数の経路をたどって受信点に到達することを使う。これによって直接届く波 (直接波) と遅延して届く波 (遅延波) が干渉してデータ誤りの原因となる。地上デジタル放送波に使用される予定の OFDM 変調方式は、このマルチパス妨害に強い方式として知られている。

$$P_r \propto \left(\frac{\lambda}{d}\right)^2$$

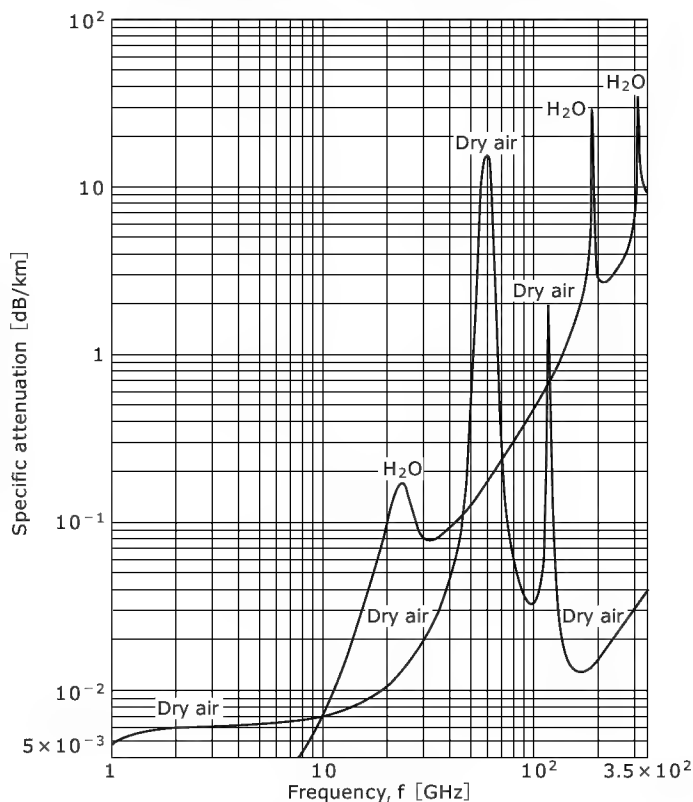
(\propto は比例の意)

の関係をもちます。この式より、60GHz 帯のように波長が短い電波ほど、伝搬するにともなって急激に受信電力が減衰することがわかります。さらにマイクロ波帯と比較して、ミリ波帯はとくに降雨や大気による減衰が大きいことが知られています。図 1 に、電波の大気による吸収特性を示します。この図からもわかるように、とくに 60GHz 帯は大気 (酸素) による電波の吸収減衰が大きい周波数帯であることがわかります (およそ 16dB/km)。このような伝搬環境のなかで、しかも後述するように免許不要となる小電力 (日本では 10mW 以下) の空中線で通信を行う必要性を考慮すると、おのずから 60GHz 帯の電波を用いる無線伝送システムは、あまり長距離伝送には向かないと考えられます。これは、無線伝送システムとしては欠点のように思われるかもしれませんが、ごく狭い閉じたエリア内のみに展開できる無線シ

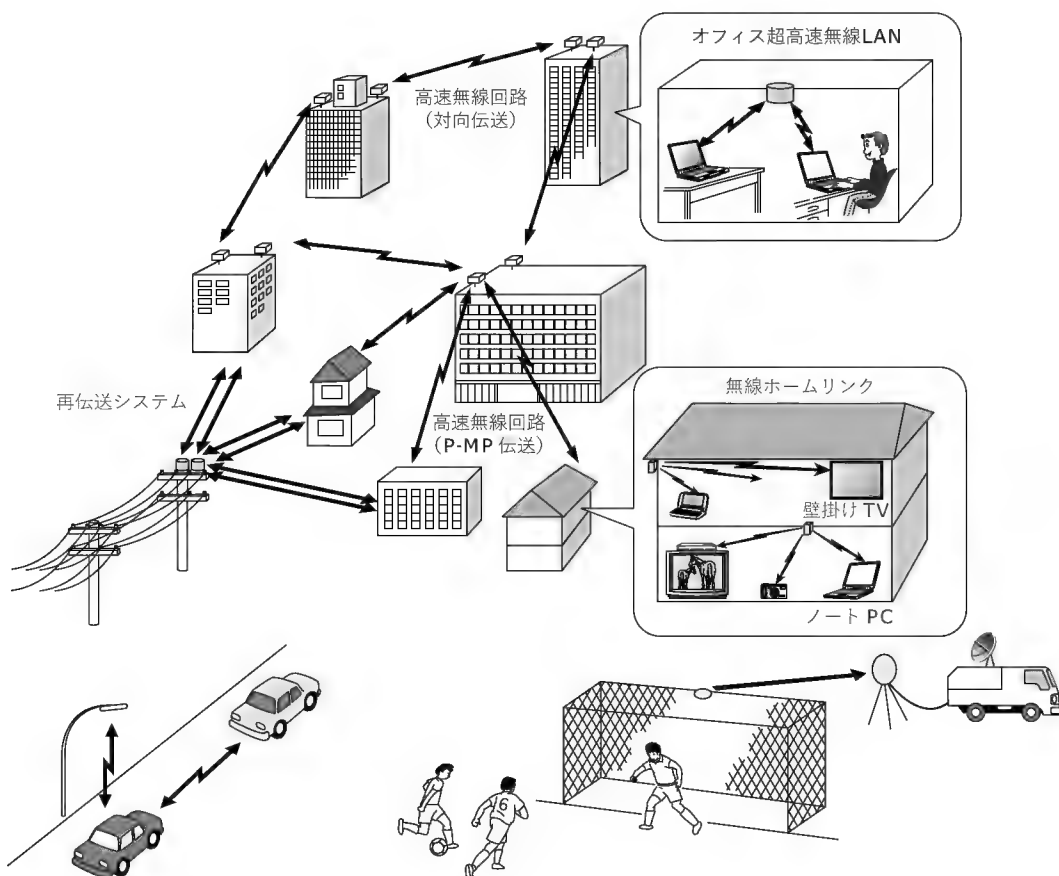
ステムを容易に構築できることから、周波数の空間的な繰り返し利用が可能になり、周波数を有効に利用できるという利点ととらえることもできます。

さらに、ミリ波帯は非常に周波数が高いことからマイクロ波帯以下の電波と赤外線など光波の中間的性質をもちます。つまり光波のように非常に直進性が強いことから、回折波や反射波などは利用せず直接波のみを受信するいわゆる“見通し内 (LOS : Line of sight) 通信”を行うことを前提にシステムが設計される一方で、ふすま・障子やガラス、屋内で使用される薄い内壁材などは透過します。このような特徴は、人物やコンクリート壁などで見通しを遮られると通信が不可能になるなどの問題を生じさせますが (後述)、通信者が意図しない場所で信号を傍受される可能性がきわめて低いため、高いリンクセキュリティが実現できるという利点があります。つまり、現在の無線 LAN で問題となっているようなセキュリティ対策をプロトコル上で強化する必要はあまりなく、ハードウェアに対する負担を軽減できる

〔図1〕 電波の大気による吸収特性
(ITU-R Recommendations, Vol.1997, Pseries, Part1 より)



〔図2〕 60GHz帯を使用する無線システムの利用例



〔表1〕 60GHz帯の免許を要しない無線設備のおもな技術的条件

通信方式	単行通信方式, 単信方式, 半複信方式, 複信方式および同報通信方式
変調方式	規定しない
空中線電力	10mW以下
周波数の許容偏差	$\pm 500 \times 10^{-6}$ 以下
占有周波数帯域	2.5GHz以下
送信機空中線利得	47dBi以下

と考えられます。

1.2. 国内外における60GHzミリ波帯の利用状況

● 日本

ミリ波帯の中では、これまでに30GHz帯で防災用通信や加入者系無線アクセスシステムでの利用が実用化されてきました。60GHz帯については、2000年に電波法が改正され、59GHzから66GHzまでの7GHzが免許不要バンドとして使用できるようになりました。表1にそのおもな技術的条件を示します。このように60GHz帯を用いる免許不要バンドは、マイクロ波帯における免許不要バンドと比較してきわめて広い周波数帯域が利用可能となっており、また表1からもわかるように、通信方式や変調方式、周波数の許容偏差などに対する規定がゆるいことがわかります。このように規定することで、システムの導入の促進

〔表 2〕 60GHz 帯において利用が想定される無線システム

システム名	利用形態	伝送内容
映像多重伝送システム	おもに屋内において、地上波、BS、CS 放送およびケーブル TV などの映像情報をアンテナ線不要で受信機に伝送する	地上テレビ放送、BS、CS、CA 放送の信号
超高速無線 LAN	無線化した LAN による高速伝送を行う。また、有線で接続されていた LAN の無線化	
無線ホームリンク	家庭や SOHO 内の電子機器の無線による接続	マルチメディア情報
移動体アクセスシステム	停車中または移動中の車両に対する大容量のマルチメディア情報の伝送を行う	マルチメディア情報（地図情報、交通情報、地域情報など）
衛星放送番組再伝送システム	立地条件により BS や CS を直接受信できない集合住宅などに対して再放送を行う	BS、CS 放送
画像伝送システム	スポーツ中継などにおいて、カメラマンが立ち入れない場所や移動体などからの映像を中継車まで伝送	HDTV 素材信号
車車間通信システム	急ブレーキなどの危険情報を車両間に伝送	危険情報など
電気通信業務用高速無線回線システム	将来のマルチメディア伝送に対応した大容量無線中継回線に使用。ビル間通信や加入者宅へのアクセス、または光ファイバの補完用として使用	加入者無線サービス信号
ケーブルテレビ無線伝送システム	河川・鉄道横断などの立地条件により、ケーブルを敷設することが困難な場合において、映像信号などを伝送するシステム	多チャンネル映像信号、データ、電話

をはかっています。その他の詳細については参考文献 1) を参照してください。

上述したような特徴と技術的条件から、免許不要バンドとしての 60GHz 帯は伝送距離においては短距離であり、非常に高速大容量の無線伝送に適した周波数帯といえます。図 2 に 60GHz 帯を使用する無線システムの利用例を示します。家庭、オフィスなどの屋内では、超高速無線 LAN や無線ホームリンクなどの利用、また屋外ではビル間的高速通信や車車間通信、車載衝突防止レーダなどがおもに検討されています。また、今後利用が想定されているシステムを表 2 に示します。

● 欧米

米国では、当初 1994 年に 59GHz から 64GHz の 5GHz が免許不要バンドとして割り当てられましたが、その後 57GHz ～ 59GHz 帯が追加され、現在では 57GHz から 64GHz までの 7GHz が使用できるようになりました。規定では全電力が 500mW 以下であり、3m 離れた地点で電力密度が $9\mu\text{W}/\text{cm}^2$ (平均)、 $18\mu\text{W}/\text{cm}^2$ (ピーク) 以下となっています^{2)～5)}。すでに商品化されたものもあります(表 3)。たとえば Gigalink は point-to-point 通信で、最大 622Mbps の通信が可能であり、光ファイバの代用としておもに利用されます(図 3)。

一方、ヨーロッパでは 54.25 ～ 66GHz 帯の使用が検討されていて、57 ～ 59GHz を免許不要バンド、59 ～ 62GHz を無線 LAN に使用する国が多いようです。

2 60GHz 帯無線伝送システム開発における基本的な課題

前述したように国内における電波法上では、他の免許不要バンドと比較して 60GHz 帯は非常に広帯域な周波数を利用できるという利点を持ちます。また、装置で使用されるデバイスやアンテナなどは一般に使用する波長によってそのサイズが決定付けられるため、60GHz 帯のように非常に短い波長を用いる無

〔表 3〕 欧米における 60GHz 帯の製品の例

製造会社	Terabeam ⁶⁾	Nokia ⁷⁾
製品名	Gigalink	Nokia MetroHopper Radio
用途	屋外ポイント-ポイント	携帯電話アクセス用
使用可能距離	～ 1.25km	—
伝送速度	100 ～ 622Mbps	2Mbps × 4
その他	インターフェース： Ethernet (100Mbps)、 OC-3/STM-1 (155Mbps) OC-12/STM-4 (622Mbps)	変調方式：MSK 出力：5dBm

〔図 3〕 Gigalink の外観

線伝送システムの場合、装置を非常に小型化することが容易になります。このような利点が存在する一方で、60GHz 帯の無線システムは、従来のマイクロ波帯の電波を使用するシステムと比較すると、その周波数の高さに起因したいくつか取り扱いにくい点や問題が存在します。以下では、そのような問題点について説明します。

2.1 デバイス開発面での課題

近年の MMIC 技術、およびその他の平面回路実装技術の発達にともなって、60GHz 帯のような非常に高い周波数帯においても、増幅器、ミキサ、発振器、周波数逓倍器などのアクティブデバイス、およびフィルタ、アンテナなどのパッシブデバイスを微小面積の平面回路上に実装して、RF セクションに必要な機能全体を非常に小さな RF モジュールへ収めることが技術的に可能になっています⁸⁾。開発例として、図 4 に MMIC 技術によって開発された 60GHz 帯無線伝送システム用送受信 RF モジュールを示します。このモジュールのサイズはおおよそ $50 \times 23 \times 6\text{mm}$ で、



無線装置のRFセクションとして必要な機能である、RFアンプ、RFバンドパスフィルタ(BPF)、局部発振器(ローカル発振器)、周波数通倍器、ミキサ、アンテナ(送信用のみ)のすべてが納められています。以下、デバイスの機能別に、システム設計に関する開発課題について簡単にふれておきます。

① RFアンプ

送信回路には送信信号に必要な空中線電力まで増幅するためのパワーアンプ(PA)が必要となります。したがってPAの開発においては第一に高出力化が重要となりますが、出力信号に歪みが生じるとデータ誤りの原因となるため、同時に十分な線形性(リニアリティ)も満足することが重要な開発課題となります。これは、一般にはPAの飽和レベルからバックオフさせたレベルで使用することで満足されます。このことから、日本では60GHz帯の免許不要バンドで使用できる空中線電力の上限は10mWですが、実際にはこれ以上の出力が可能なPAの開発が必要であることがわかります。

一方の受信回路には、受信信号を復調可能なレベルまで増幅するための低雑音アンプ(LNA)が必要となります。信号レベルは受信時には非常に微弱であるため、これを後の復調回路で扱うことが可能なレベルまで増幅しますが、このとき所望の信号が増幅時に発生する雑音で埋もれてしまうことのないように、非常に低雑音なものが求められます。一般には、受信回路の初段で使用するLNAの雑音性能(NF)で受信回路の受信感度が決定されます。

幸いなことに、60GHz帯のシステムにおいて上記のようなPAやLNAはすでにGaAs(ガリウム・ヒ素)材料をベースとしたMMICで実用レベルにいたっています。

② RFバンドパスフィルタ(BPF)

一般的な高周波帯の無線伝送システムや60GHz帯無線伝送システムの送信回路では、ローカル信号とミキサで中間周波数帯(IF)信号を60GHz帯へ周波数変換した後に生じるイメージ成分と、ローカル信号成分を、このBPFを使用して除去します。一般に作成可能なBPFの通過帯域幅(パスバンド)や実現可能な周

波数特性の急峻性の程度は、比帯域すなわち(通過帯域幅/中心周波数)で決まるため、同じ通過帯域幅でも60GHz帯のように高周波になるほどその作成は困難になります。そこで一般には、IF周波数を高くしてRF帯で分離する信号の周波数間隔を大きくし、BPFの負担を減少させるなどの工夫をしています。また、受信回路においても不要な帯域外の干渉信号などが入力されて、後の回路で所望の信号に悪影響を及ぼさないように、信号入力部にもBPFが挿入されます。開発課題としては、挿入損失の低減、急峻な周波数特性、およびパスバンド内での平坦な周波数特性の実現などがあります。

③ ミキサ

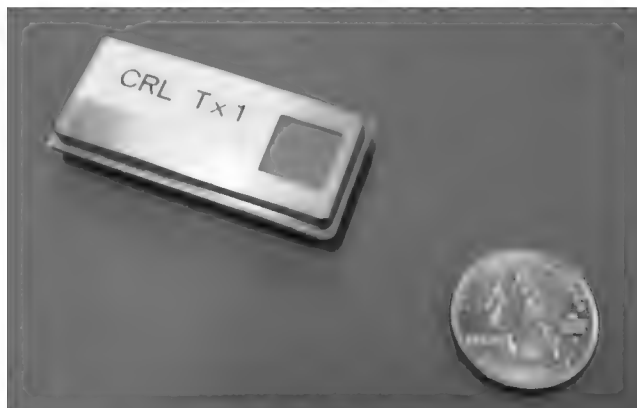
ミキサは、送信回路ではIF信号を60GHz帯へアップコンバートし、逆に受信回路では60GHz帯の受信信号をIF帯へダウンコンバートするデバイスで、ローカル発振器とともに使用されます。コンバージョンロス(挿入損失)の低減以外に、60GHz帯では比較的広帯域な信号をまとめて周波数変換するため、使用帯域内での周波数特性の平坦化はやはり重要です。60GHz帯では、アンプ回路同様GaAsをベースとしたMMICで実現可能となっています。

④ 局部発振器(ローカル発振器)と周波数通倍回路

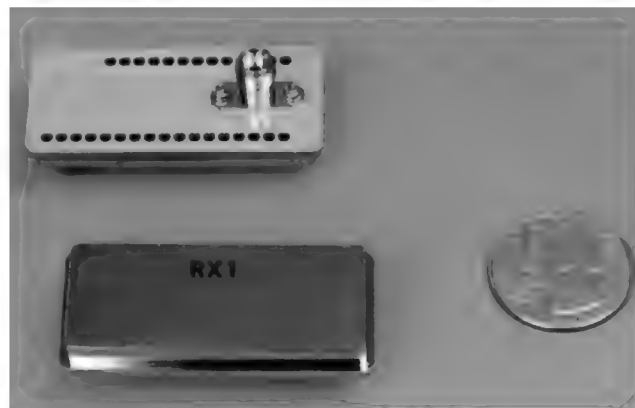
送受信回路での周波数変換において、ミキサとともに必要不可欠なデバイスがローカル発振器です。しかしながら、ミキサへ入力される60GHz帯のローカル信号を直接生成することは通常困難であるため、所望周波数の2分の1もしくは4分の1の発振周波数をもつ発振器出力を周波数通倍回路で2通倍もしくは4通倍する構成を用いることが多いようです。60GHz帯のような非常に高い周波数帯では、未だ周波数的に高安定な発振器の実現が技術的に困難な状況にあります。

上記で紹介したような小型RFモジュールへローカル発振器を内蔵する場合には、比較的低コストで小型化が可能な誘電体共振型発振器(DRO: Dielectric Resonated Oscillator)を用いる場合があります。しかしながら、このような小型な発振器は周波数安定性が良くないなどの問題もあり、システム性能に重大

【図4】MMIC技術を用いて開発したミリ波帯RFモジュールの例



(a) 送信モジュール



(b) 受信モジュール

な影響を与えます。この問題については、後でより詳細に取り上げることにします。他方の周波数通倍回路については、やはりアンプなどと同様に MMIC で実現可能となっています。

⑤ アンテナ

60GHz 帯のシステムで利用可能なアンテナの種類については、マイクロ波帯のシステムと同様のものがすべて利用可能ですが、前述したようにそのサイズは波長によって決まるため、小型化が可能です。とくに高いアンテナゲインを必要としない場合には、非常に小型(約 2.5mm 平方)のパッチアンテナを他の回路とあわせて、図 4 のような RF モジュールに内蔵することが可能になります。アンテナの種類についてはパッチアンテナのほか、スロットアンテナや、導波管アンテナ、ホーンアンテナなどが使われ、それぞれ一長一短の特徴があります。さらに高いアンテナゲインが必要な場合には、それらを複数配置するアレイ構成が用いられます。

3 発振器の安定性について

3.1 周波数ドリフト・位相雑音と評価方法

前述したデバイス開発における課題のうち、ここではとくに 60GHz 帯の無線伝送システムの性能と製造コストに大きく影響を与える、ミリ波帯ローカル発振器の安定性問題とその評価方法について取り上げます。

通常、発振器は誘電体などの材料を使用して、その材料とサイズによって固有となる共振周波数の原理によって発振周波数を生成しています。したがって、デバイスの温度上昇などによって材料が微少に膨張すると、それに応じて微少に発振周波数が変化してしまいます。このようなおもにデバイス温度などによって周波数が非常にゆっくりと漂動することを**周波数ドリフト**と呼び、その性能は (ppm/°C) の単位で評価されます。

一方、実際の発振器から得られる発振信号は、かりにその周波数が平均的には常に一定だとしても、理想的な三角関数波形である正弦波の信号と比較すると、その位相がランダムに進んだり遅れます。このような成分を雑音とみなして、位相雑音と呼びます。位相雑音を評価する場合には、一般に振幅一定の無変調キャリアを前提として、総キャリア電力に対するキャリアの中心周波数からオフセットしたある周波数点における 1Hz 帯域あたりの雑音電力の比 (dBc/Hz@オフセット周波数) が使用されます。

ところでミリ波帯のローカル信号を得るには、通常より低い発振器の信号を周波数通倍回路で通倍して得ることが多いことをすでに述べましたが、上述した周波数ドリフトや位相雑音は周波数通倍回路の使用によってさらに悪化することが知られています。これは、 Δf の周波数ドリフトが発生しているキャリアを 2 通倍した場合の周波数ドリフト量が $2\Delta f$ となることから容易に説明がつきます。また位相雑音電力については、2 通倍回路によって 6dB 劣化することが知られています。

3.2 周波数の不安定性と変調信号

上述した周波数ドリフトや位相雑音のような周波数の不安定性が無線伝送システムの性能に与える影響は、使用する変調方式によって異なります。たとえば、BS 放送のアナログチャネルやラジオ放送などで現在も使用されているアナログ FM 変調方式は、相対的なキャリア周波数の変動に信号が重畳されているため、多少の周波数ドリフトや位相雑音の影響はあまり受けません。しかしながら、近年このようなアナログ変調方式は使用されなくなる傾向にあります。

一方、雑音による信号品質劣化の改善や周波数利用効率の改善が容易なことから、**多相位相変調 (M-array PSK : Phase Shift Keying)** 方式や**多値直交振幅変調 (M-array QAM : Quadrature Amplitude Modulation)** 方式などのデジタル変調方式が多用される傾向にあります。このようなデジタル変調方式はいずれもキャリアの位相状態に情報を重畳するため、その伝送システムで使用する発振器には非常に優れた位相雑音特性が要求されます。なかでも 5GHz 帯を使用する無線 LAN (IEEE802.11a や HiperLAN2, HiSWAN など) でも標準となっている **OFDM (Orthogonal Frequency Division Multiplexing)** 方式は、周波数利用効率の向上とマルチパス伝搬環境による信号品質劣化の対策に有効であるため、最近注目されていますが、この信号を送信する場合には、さらに周波数安定性に対する要求値が厳しくなることが知られています。

4 スーパーヘテロダイン 伝送方式の原理と問題

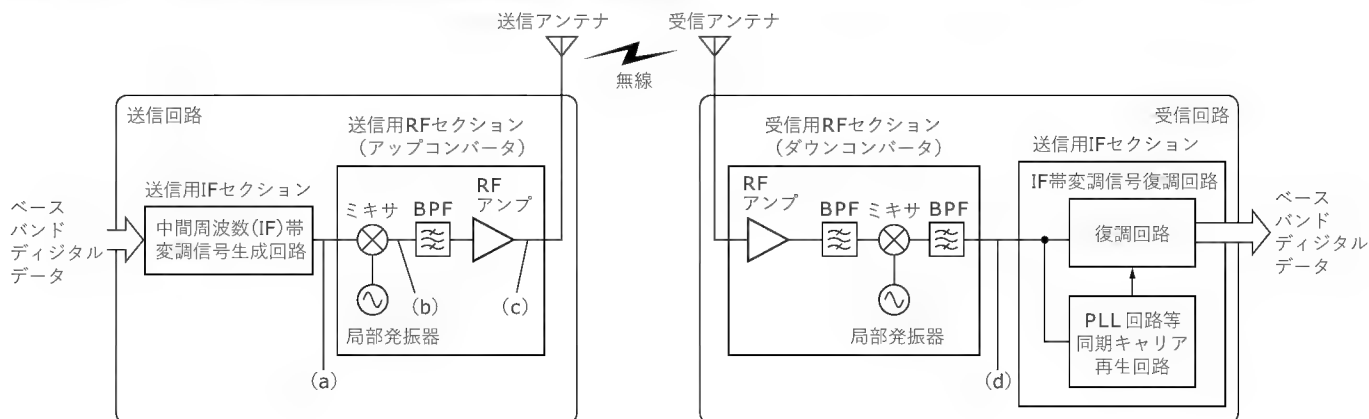
本節では、高周波を用いる無線伝送システムにおいて従来から一般的に使用されてきた、スーパーヘテロダイン伝送方式の原理とその問題点について解説します。

4.1 スーパーヘテロダイン伝送方式のシステム構成

図 5 に、スーパーヘテロダイン伝送方式を用いる無線伝送システムの構成を示します。この図からもわかるように、高周波を使用する無線伝送システムの送信回路では、まず比較的低い中間周波数 (IF) 帯で変調信号を生成した後、これを送信用 RF セクションにおいて無線周波数帯へ周波数変換 (アップコンバート) してアンテナより送信します。逆に受信回路では、アンテナより受信した信号をまず受信用 RF セクションで中間周波数帯へ周波数変換 (ダウンコンバート) した後、これを IF 帯復調回路において復調します。

また、IF 帯復調回路においては通常、同期検波のための PLL 回路やコスタスループ回路などが組み込まれていて、受信 IF 信号から信号の復調に必要な同期キャリアの生成を行います。ここで注目する点は、送信用および受信用の RF セクション両方において IF-RF 間の周波数変換を行うためにローカル発振器が必要となることです。ここで必要となる具体的な周波数の例をあげると、たとえば中心 RF 周波数 f_{RF} が 60GHz の無線伝送システムを設計する場合、1GHz の IF 中心周波数を用いると仮定すると、

〔図5〕スーパーヘテロダイン伝送方式を用いる無線伝送システムの構成



RFセクションで必要となるローカル発振器の発振周波数は送受信回路ともに59GHzとなります。

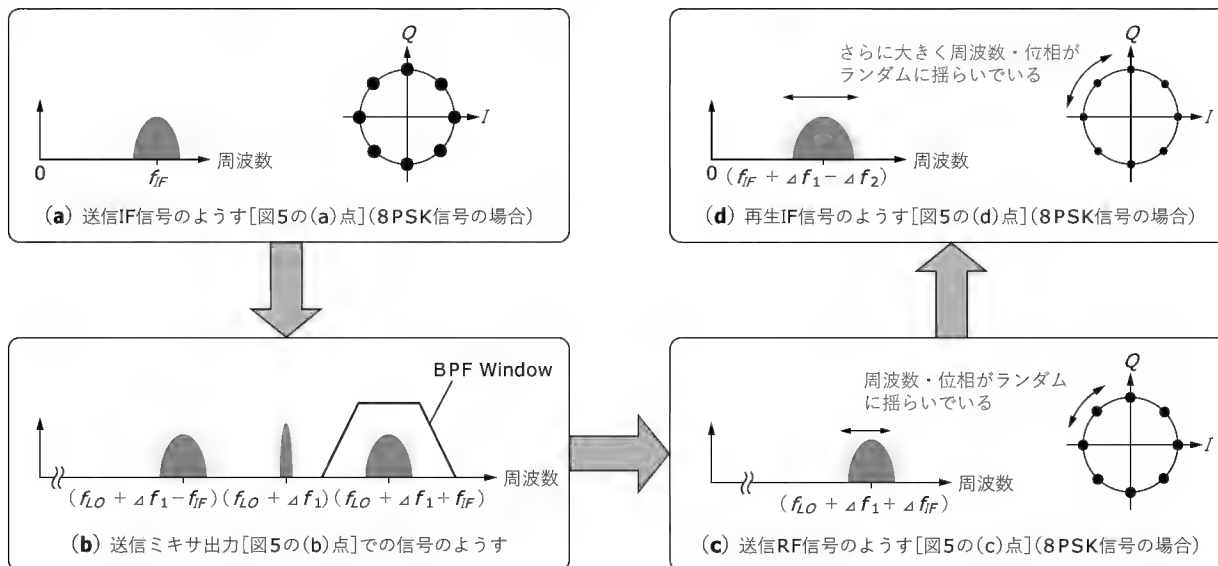
4.2 発振器の不安定性がシステムに与える影響

60GHz帯では発振器について十分な周波数安定性を得ることが未だ困難であることをすでに述べましたが、送信機で使用するローカル発振器が周波数的に不安定であった場合、その周波数不安定性は得られるRF信号に直接重畳されることになります。さらに受信機では、もう一度使用されるローカル発振器の周波数不安定性がダウンコンバージョン時に信号に重畳されます。

すなわち、最終的には送信RFセクションに入力されるIF信号に、送信機と受信機両方のRFセクションで使用したローカル発振器の周波数不安定性が重なって重畳されたIF信号が受信機のRFセクション出力として得られることになります。以降では、このようすをスーパーヘテロダイン伝送方式のシステム構成図(図5)と、同図における各ポイント(a)~(d)点での信号スペクトルのようすを示した図6を参照しながら詳細に解説します。

送信回路におけるIFセクションの出力[(a)点]はベースバンド情報でデジタル変調された中心周波数 f_{IF} の信号であり、その信号点配置はたとえば8相PSK変調であれば、図6(a)に示すような直交座標上の円周上を8で等分割した点のいずれかを離散的に取ります。このIF信号をRFセクションでは発振周波数 f_{LO} のローカル信号で60GHz帯にアップコンバートしますが、このローカル発振器として小型かつ低コストなものを使用した場合、上記発振周波数 f_{LO} に周波数ドリフト成分 Δf_1 が足しあわされて実際には周波数 $(f_{LO} + \Delta f_1)$ でアップコンバートされることになります。このようなアップコンバージョンによってミキサ出力[(b)点]に現れる信号はアップコンバージョンされた中心周波数 $(f_{LO} + \Delta f_1 + f_{IF})$ の信号、イメージ成分である中心周波数 $(f_{LO} + \Delta f_1 - f_{IF})$ の信号、そして中心周波数 f_{LO} のローカル信号成分からなります〔図6(b)〕。通常はイメージ成分とローカル信号成分は不要な信号成分(スプリアス)として取り扱われるため、その後のBPFで所望の信号成分のみが取り出されます。こ

〔図6〕スーパーヘテロダイン伝送方式システムにおける各点での信号スペクトルのようす



のようにして最終的には[(c)点]で中心周波数($f_{LO} + \Delta f_1 + f_{IF}$)のRF信号のみが抽出されて送信アンテナより送信されます。このように、この送信RF信号には送信用ローカル信号に起因した周波数ドリフト成分 Δf_1 が重畳されていることがわかります[図6(c)]。

一方、受信回路は受信した中心周波数($f_{LO} + \Delta f_1 + f_{IF}$)のRF信号成分を、再び発振周波数 f_{LO} のローカル信号を使用してIF帯にダウンコンバートしますが、やはりこの発振周波数 f_{LO} には周波数ドリフト成分 Δf_2 が発生しており、実際には周波数($f_{LO} + \Delta f_2$)でダウンコンバートすることになります。その結果、[(d)点]で得られるIF帯変調信号は中心周波数が($f_{LO} + \Delta f_1 + f_{IF}$) - ($f_{LO} + \Delta f_2$) = ($f_{IF} + \Delta f_1 - \Delta f_2$)の信号となって、送信側の周波数ドリフト成分と受信側の周波数ドリフト成分の両方が重畳された信号となってしまいます。送信側で発生する周波数ドリフト成分 Δf_1 と受信側で発生する周波数ドリフト成分 Δf_2 は互いに独立に発生するため、結果的に非常に大きな周波数ドリフトが発生したIF信号が受信回路におけるIFセクションに入力されることになります。

以上では周波数ドリフトを例に説明しましたが、位相雑音についても位相の時間微分成分が周波数であることを考慮すると比較的高速かつランダムにゆらぐ周波数ドリフトと捕らえることが可能なので、同様に考えて非常に大きな位相雑音が発生したIF信号が受信回路におけるIFセクションに入力されることになります。

4.3 従来の発振器の不安定性問題に対する解決策

マイクロ波帯を用いる一般的な無線伝送システムにおいても、やはり発振器の周波数安定性問題や伝搬環境などに起因して、受信する無線信号には周波数ドリフトと位相変動が生じています。したがって受信回路では、このような周波数不安定性をとまう受信変調信号を復調(同期検波)するために、これと同期した基準キャリアを生成する必要があります。これらは通常、復調回路にPLL(Phase lock loop)回路や、コスタスループ回路などを装備することで実現するしくみになっています。

そこで60GHz帯の無線伝送システムでも、IFセクションにおける復調回路において同様の同期キャリア再生回路を装備する解決方法が考えられます。しかしながら、先に述べたような低コストで小型なローカル発振器を使用した場合に復調回路に入力されるIF信号には、従来のマイクロ波帯のシステムでは想定されていないほど大きな周波数ドリフトや位相雑音が発生しており、現状の技術でこれに対して即時に応答することが可能な同期キャリア再生回路の実現は非常に困難な状態にあります。また、これら従来のマイクロ波帯のシステムで使用されている同期キャリア再生回路の適用が可能なレベルまでローカル発振器を安定化するためには、非常に高価で特殊な外部回路を備えた発振器構成が、各RFセクション内で必要となります。

これでは、装置の小型化が可能という60GHz帯無線伝送システムの大きな利点を損なう結果になるだけでなく、システムの

コスト高の大きな要因になり、後で述べるような60GHz帯無線伝送システムの一般家電やオフィスへの適用が難しくなってしまいます。

5 ミリ波自己ヘテロダイン伝送方式

本節では、先に解説したスーパーヘテロダイン伝送方式を用いて60GHz帯のようなミリ波帯の無線伝送システムを実現する場合の周波数安定性の問題を解決するために、筆者が平成12年度に独自に考案・開発した、ミリ波自己ヘテロダイン伝送方式について解説します。

5.1 ミリ波自己ヘテロダイン伝送方式のシステム構成

ミリ波自己ヘテロダイン伝送方式は、特別な周波数安定化技術を使用しない簡単かつ低コストな装置構成で、従来のスーパーヘテロダイン伝送方式ではミリ波伝送が困難であったM-array PSK変調信号やM-array QAM変調信号、さらにはこれらの変調方式を1次変調として使用したOFDM信号などの高効率デジタル変調信号をも高安定にミリ波伝送することが可能になる新しい無線伝送方式です^{9)~11)}。

ミリ波自己ヘテロダイン伝送方式を用いた無線伝送システムの構成を図7に示します。ここで図5に示したスーパーヘテロダイン伝送方式を用いたものと比較してみると、異なる点はIF-RF間の周波数変換機能を担う送受信回路でのRFセクションのみであることがわかります。加えて、送信用RFセクションについてはその構成要素自体はまったく変わらないこともわかります。

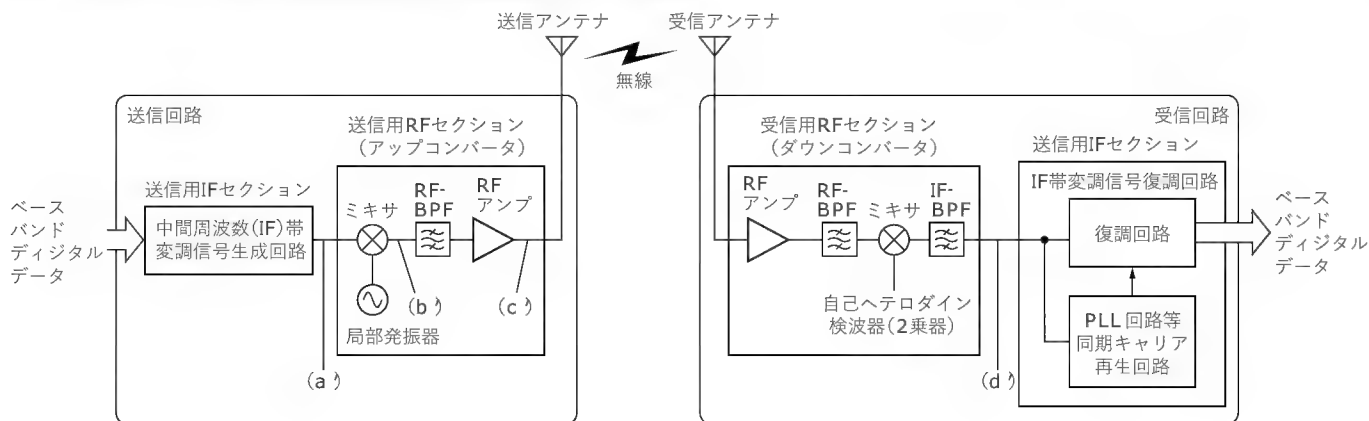
送信回路におけるRFセクションは、やはりIF帯で生成された変調信号をRF帯へアップコンバージョンする機能をもちますが、このとき従来の伝送方式ではスプリアスとして十分に抑圧されてきたRF出力におけるローカル信号成分を、周波数変換されたRF変調信号とあわせて充分に出力されるよう、送信RFセクション回路内のBPFが設計してあります。通常送信用RFセクションにおけるミキサ回路の出力は、スーパーヘテロダイン方式での解説でも述べたように、アップコンバージョンされた上側帯波信号成分、イメージと呼ばれる下側帯波信号成分およびローカル信号成分からなりますが、それら出力成分から下側帯波成分のみをBPFを用いることで除去するわけです。

一方、受信回路におけるRFセクションではこれらの信号を受信アンテナで受信して増幅した後、2乗器として動作するミキサ回路で2乗検波(自己ヘテロダイン検波)することで、もとのIF帯信号へダウンコンバージョンを実現しています。これによって、受信回路ではコスト高の要因となるローカル発振器そのものが不要になると同時に、送信回路のRFセクションで使ったローカル信号の周波数ドリフトと位相雑音が完全にキャンセルされます。

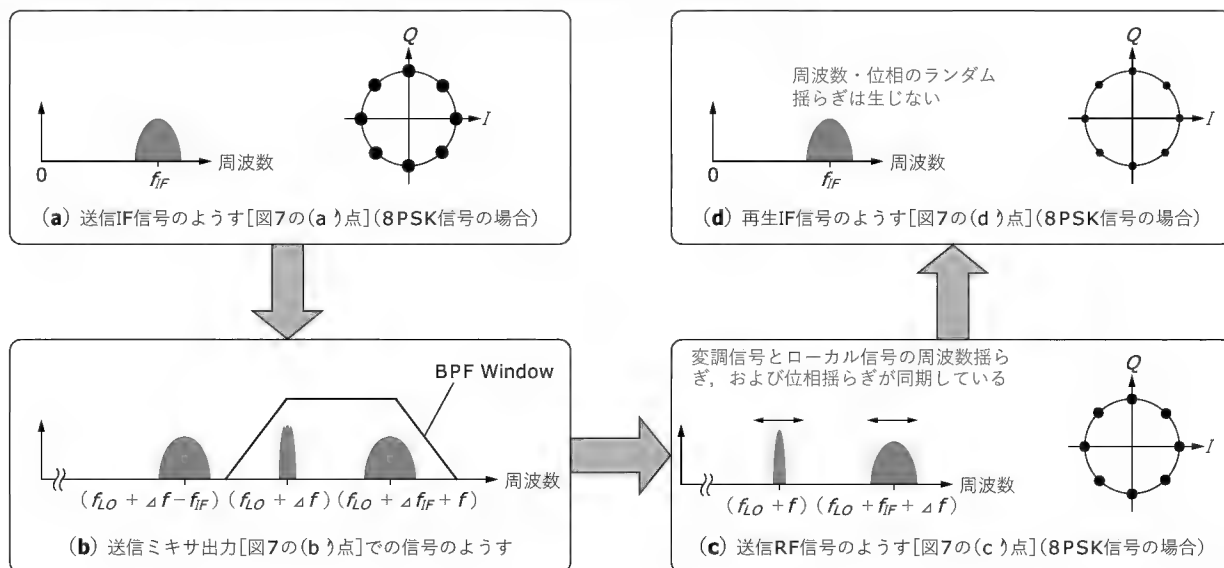
5.2 周波数ドリフトおよび位相雑音キャンセルの原理

以下では、スーパーヘテロダイン伝送方式について説明したときと同様に、システム構成図(図7)における各ポイント(a)~

〔図7〕ミリ波自己ヘテロダイン伝送方式を用いる無線伝送システムの構成



〔図8〕ミリ波自己ヘテロダイン伝送方式システムにおける各点での信号スペクトルのようす



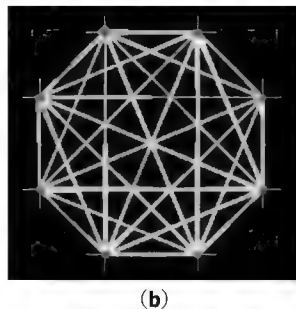
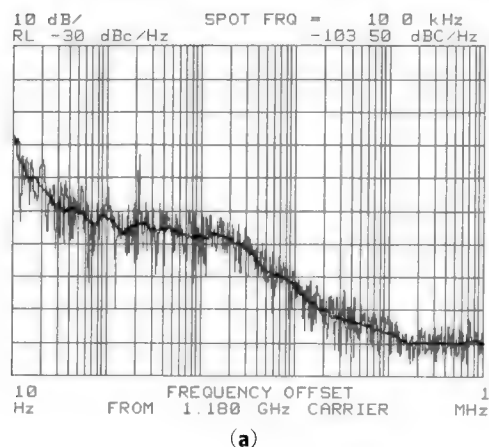
(d)点での信号スペクトルのようすを示した図8を参照しながら、周波数ドリフトおよび位相雑音が受信回路でキャンセルされる原理を解説していきます。

送信回路におけるIFセクションの出力は図8(a)のような伝送情報でデジタル変調された中心周波数 f_{IF} 、信号帯域Bの信号であり、その信号点配置は、たとえば8相PSK変調であれば、図8(a)に示すような信号の位相を示す円周上を8で等分割した点のいずれかを取ります。本信号がRFセクションでは発振周波数 f_{LO} のローカル信号で60GHz帯にアップコンバートされますが、すでに述べたように本ローカル発振器として小型かつ低コストなものを使用した場合、上記発振周波数 f_{LO} には周波数ドリフト成分 Δf が発生しており、これが足しあわされて実際には周波数 $(f_{LO} + \Delta f)$ でアップコンバートされることになります。このようなアップコンバージョンによって得られるRF信号は中心周波数 $(f_{IF} + f_{LO} + \Delta f)$ 、信号帯域Bの信号となり、局部発振信号と同等の周波数ドリフトが重畳されることになります。さら

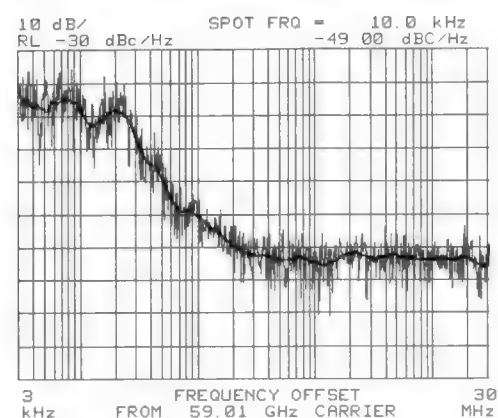
に、ミリ波自己ヘテロダイン伝送方式における送信回路はこのRF信号に中心周波数 $(f_{LO} + \Delta f)$ のローカル信号成分をあわせて送るため、最終的な(c)点での送信RF信号スペクトルは図8(c)のようになります。

一方、受信回路では中心周波数 $(f_{IF} + f_{LO} + \Delta f)$ のRF信号成分と中心周波数 $(f_{LO} + \Delta f)$ のローカル信号成分をまとめて受信、増幅した後、不要な信号成分がBPFで除去されて、2乗検波(自己ヘテロダイン検波)されます。これによって両成分の差周波数成分が発生することになり、これを所望の信号として取り出します。ここで注目することは、両成分に同期した周波数ドリフト成分 Δf が等しく含まれていることであり、検波時に本周波数成分も同時に差し引かれる点です。すなわち、 $(f_{IF} + f_{LO} + \Delta f) - (f_{LO} + \Delta f) = f_{IF}$ となり、周波数ドリフト成分と位相雑音成分がキャンセルされて、送信用ローカル発振器の周波数不安定性の影響をまったく受けない中心周波数 f_{IF} のIF帯変調信号を再度取り出すことが可能となります〔図8(d)〕。

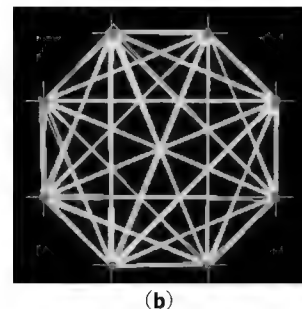
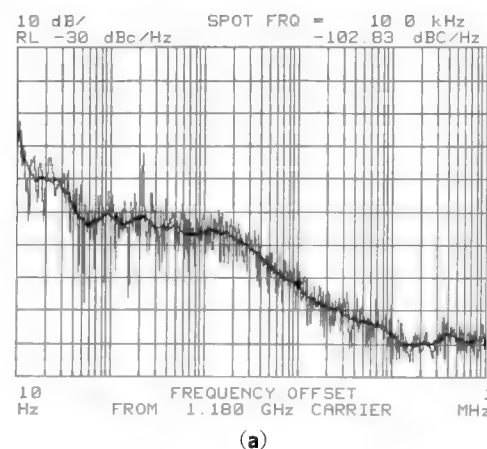
〔図9〕 送信用 IF セクション出力信号の位相雑音特性と復調信号点配置



〔図10〕 ミリ波帯局部発振信号の位相雑音特性



〔図11〕 受信用 IF セクション入力信号の位相雑音特性と復調信号点配置



5.3 実験例の紹介

次に、筆者が行った実験結果をもとに、実際に本ミリ波自己ヘテロダイン伝送方式で信号を伝送した場合の、位相雑音特性および復調信号品質のようすを紹介します。本実験に使用した RF セクションは、先に図4に示した数センチ角の RF モジュールで構成されており、送信用については本モジュール内にアンテナを含む RF セクションとして必要な機能がすべて、受信用についてはアンテナを除く機能がすべて収められています。

図9は、送信回路の IF セクション出力点における位相雑音特性と信号伝送実験に使用した 8 相 PSK 変調の IF 信号を復調した場合の信号点配置のようす(シグナルコンスタレーション)を示したものです。図9に示した測定結果のグラフの横軸は IF 中心周波数 1.18GHz からのオフセット周波数(Hz)であり、縦軸は同オフセット周波数におけるキャリア電力に対する位相雑音電力の比の値(dBc/Hz)です。ここでは、グラフの横軸が対数となっていることに注意してください。同図からもわかるように、一般的な発振器ではオフセット周波数が大きくなるほど位相雑音電力が減少します。また、示したグラフからは 10kHz オフセット周波数点で -103.50 (dBc/Hz) の値が読み取れますが、～数 GHz 程度のマイクロ波帯の発振器では、この程度の位相雑音特性を実現することが現状技術で充分可能です。

一方、図10はこのような IF 帯の信号を 60GHz 帯へアップコンバージョンするために、送信用 RF セクション(送信 RF モジュール)内で使用した中心周波数 59.01GHz の局部発振信号の位相雑音特性を示しています。オフセット周波数に対する位相雑音電力の値が、図9に示した IF 帯のものと比較してみると大幅に劣化していることがわかりますが、先に写真でも示した小型 RF モジュール内に実装可能な 60GHz 帯発振器の実力値としては、いまだこの程度にあります。この側定例では、10kHz オフ

セット周波数点ではおよそ -49 (dBc/Hz) の値が読み取れますが、同オフセット周波数点における IF 帯のものと比較すると、じつに 50dB 以上の開きがあります。なお、これらのグラフは位相雑音電力の特性を示したのですが、実際にはさらに温度などの影響によって中心周波数がゆっくりと、しかし MHz/分単位の大きさで変化する周波数ドリフトが観測されます。

さて、送信 RF セクションにこのようなローカル発振器を使用したミリ波自己ヘテロダイン伝送方式で、IF 信号を RF 伝送した後、受信回路内の RF セクションで検波した後得られた IF 信号の位相雑音特性と、得られた 8 相 PSK 変調信号を伝送して復調した場合の信号点配置のようすを図11に示しました。位相雑音特性については 10kHz オフセット周波数点で -102.83 (dBc/Hz) の値が読み取れますが、図9に示した送信 IF 信号における値からの劣化量は 1dB 未満であることがわかります。これはほとんど測定誤差の範囲内であり、オフセット周波数全体を見た場合でもまったくといってよいほど劣化していないことがわかります。また、8 相 PSK 変調信号を復調した場合の信号点配置についても当然のことながら、送信回路における IF 出力のものからほとんど劣化していないものが得られています。

6 屋内向けミリ波映像多重伝送システム

6.1 開発の背景

60GHz帯では空中線電力10mW以下という制約はあるものの、7GHzにわたる非常に広帯域な免許不要バンドの利用が可能であり、1無線局あたりの占有帯域幅は2.5GHzまでといった他のバンドには見られない広い帯域が使用できます。したがって、このような広帯域性を利用して1Gbpsを超える超高速な無線データ通信を実現することは原理的には可能です。しかしながら、現段階ではデバイスとシステム開発に要するコストが非常に高く、たとえ製品化したとしてもそれは非常に高価なものになってしまうため、実質的な普及を見込むことは困難に思えます。

そこで、60GHz帯の無線伝送システムが世の中に普及するきっかけとなるような、周波数の広帯域性を最大限活用すると同時に普及が見込める低コストで簡易な60GHz帯の無線伝送システムが提案されています。これが屋内向け「ミリ波映像多重伝送システム」であり、通信総合研究所と民間企業数社が「YRP ミリ波映像多重伝送システムに関する共同研究グループ」を設立して検討を行いました^{注1}。

近年の放送サービスでは、サービスの多様化が進み、従来からの地上波放送サービスに加えて、BS放送やCS放送といった複数の衛星放送サービス、さらにケーブルテレビ放送といったように、複数の放送サービスを各家庭で利用する状況にあります。一方、テレビ受像機に関しては、プラズマテレビや液晶テレビの開発と普及が着実に進んでおり、壁掛けテレビとしての利用形態や、テレビを移動させて好きな場所で見るといった利用形態への需要が高まっています。しかしながら、各放送サービスを享受するためには、サービスごとに受信アンテナからの

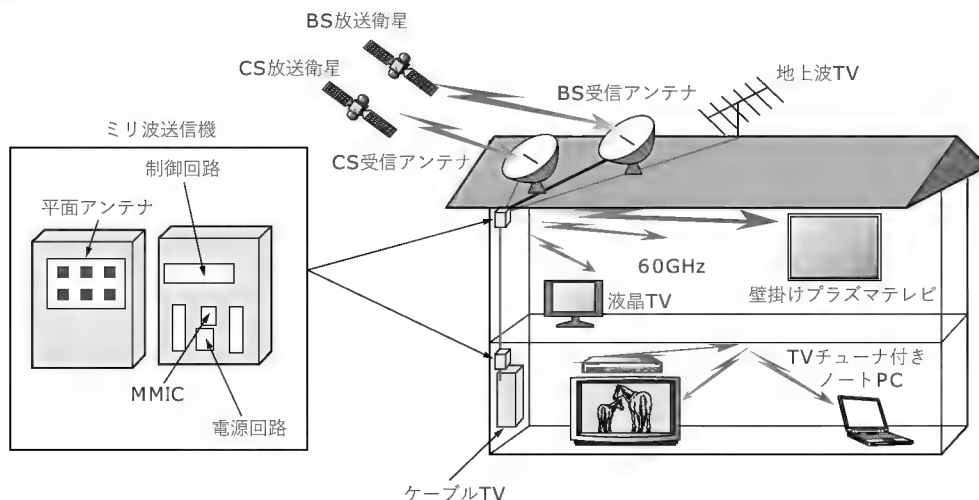
フィーダ線やケーブルをテレビチューナに接続する必要があり、このアンテナ線の存在が壁掛けテレビに関しては景観を損ない、またテレビを移動させる際にはその移動範囲を制約するといった問題があります。

そこで、このアンテナ線をまとめて60GHz帯の無線リンクで置き換えることを目的とするシステムがミリ波映像多重伝送システムです。なお、2.4GHz帯の免許不要バンドを使用してテレビ信号を無線伝送するシステムがいくつかすでに商品化されていますが、BS放送においてはデジタルハイビジョン放送サービスが始まると同時に、時代は“テレビは一家に一台の時代”から、“一人一台のパーソナルテレビの時代”へと遷移しつつあります。このような傾向のなかで、2.4GHz帯や5GHz帯を使用する無線伝送システムでは利用可能な周波数帯域の制約があるため、より広い周波数帯域を必要とするデジタルハイビジョン信号の伝送や、複数のユーザーに対して異なるチャンネルの信号を同時に配信することは限界があります。このようなアプリケーションに対しては十分な周波数帯域を利用できる60GHz帯を使って、屋内に対してテレビ信号をそのまま無線で再放送する形態が、もっとも単純で有効かと思われます。

6.2 ミリ波映像多重伝送システムの構成

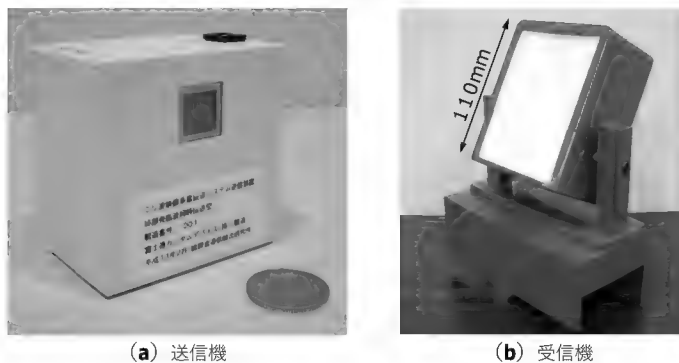
「ミリ波映像多重伝送システム」の概念を図12に示します。地上波やBS放送、CS放送などの放送信号が屋外の受信アンテナで受信された後、これらの信号がIF帯において周波数多重されて、小型のミリ波送信機に入力されています。ミリ波送信機は、先に述べたミリ波自己ヘテロダイン伝送方式にしたがって、同IF帯の多重信号を60GHz帯へ周波数変換してアンテナより室内へ送信します。一方、受信チューナ機能を内蔵した各テレビ受像機にはミリ波受信機が内蔵もしくは取り付けられており、送信機より送信された信号を受信して、やはり先に述べたミリ波

〔図12〕ミリ波映像多重伝送システムの概念



注1：独立行政法人通信総合研究所は民間企業8社（NTTアドバンステクノロジー、沖電気工業、シャープ、三洋電機、日本無線、日立国際電気、富士通カンタムデバイス、キャノン）と共同で横須賀リサーチパーク（YRP）研究開発協議会「ミリ波映像多重伝送システム」に関する共同研究グループを設立し、平成11年度～平成12年度の2年間にわたり、同システムの実用化をめざして、方式面、装置面、伝搬面の検討を行った。

〔図 13〕 開発したミリ波映像多重伝送システムの外観



(a) 送信機

(b) 受信機

自己ヘテロダイン伝送方式にしたがって、もとの IF 帯の映像多重信号へダウンコンバートされたのち、これがテレビチューナへと入力されています。

このようにすることで、屋内にむけてテレビ多重信号を再放送するような形式となるため、本システムでは異なる場所の複数のテレビ受像機で同時に異なるチャンネルを受信することが可能です。なお、繰り返しになりますが 60GHz 帯の電波は家屋内における一般的な内壁材程度であれば透過するので、テレビ受信に必要なアンテナ配線がされていない部屋で、隣の部屋に設置されているミリ波送信機からのテレビ信号を受信してテレビを楽しむといった使い方も可能になります。とりわけ、BS 放送や CS 放送については各部屋にそのためのアンテナ配線がされていることは少なく、これを解決する手段としても利用できます。

ところで、現在の BS 放送波を全チャンネル伝送するためには約 300MHz の帯域を要し、さらに近い将来にはチャンネル数が増加されて 500MHz 程度まで拡張されることが予定されています。また、CS 放送にいたっては垂直と水平の両偏波を使用して映像多重信号を放送しているため、じつに 1～2GHz 以上の帯域が伝送に必要となります。

これほどの広帯域信号を無線で伝送するには、現行の電波法では 60GHz 帯を用いるほかに選択肢はありません。また、開発費および製造コスト的な観点からは、本システムが無線 LAN などと異なり単行通信であること、送受信機回路において変復調器機能を装備する必要のないシステムであること、およびすでに述べたように、ミリ波帯のシステムにおいてもっともコスト高の要因となる高安定発振器実現の問題がミリ波自己ヘテロダイン伝送方式で解決可能であることなどから、最初に普及する 60GHz 帯を用いる無線伝送システムとしてもっとも有望なシステムであると思われます。

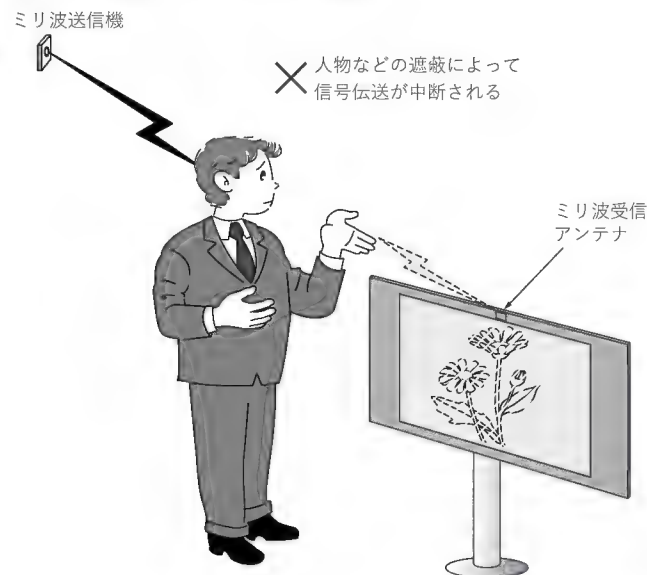
6.3 ミリ波映像多重伝送システムの開発例と残された課題

図 13 は「YRP ミリ波映像多重伝送システムに関する共同研究グループ」で平成 12 年度に開発したミリ波送信機およびミリ波受信機の外観写真です。また、同開発システムの仕様は表 4 に示しています。前述したようにミリ波帯の電波は非常に直進性

〔表 4〕 開発したミリ波映像多重伝送システムの仕様

空中線電力	10mW
送信局発振周波数	59.01GHz
RF 変調信号周波数	60.01～60.51GHz
送信空中線利得(送信アンテナゲイン)	5dBi
受信空中線利得(受信アンテナゲイン)	30dBi
入出力 IF 周波数レンジ	1.0～1.5GHz (BS-IF 対応)
伝送可能距離	見通し 20m 以上

〔図 14〕 人物によるミリ波リンクの遮断



が強く、見通し通信を前提とするため、このミリ波映像伝送システムにおいても、送信機と受信機間の見通しリンクが人物などの通過によって遮断されることは、映像伝送が一時的に中断されることを意味します。送信機が十分に部屋の高所に設置されていたとしても、受信機が設置されるテレビ受像機は通常見る人の目の高さ付近にあるため、比較的高い確率でこのような遮断は発生すると考えられます(図 14)。

これは、ビデオ録画などをするを想定するとやはり不都合な点でしょう。このような問題を残すことは、場合によっては一般ユーザーにミリ波帯の無線通信は使いものにならないといったイメージをもたせてしまう可能性があります。じつはこの問題は、前述のミリ波自己ヘテロダイン伝送方式とアンテナダイバーシティ受信方式を併用すれば、非常に簡易に解決されます。これについては後であらためて解説することにした。

なお、上記のとおり設立された「YRP ミリ波映像多重伝送システムに関する共同研究グループ」では、方式面、装置面、伝搬面の各方面からの検討を 2 年にわたって行いましたが、その結果を反映させて、電波産業界 (ARIB) 標準として標準化にいたっています¹³⁾。

6.4 ミリ波自己ヘテロダイン伝送方式とアンテナダイバーシティ受信

先にあげたミリ波映像多重伝送システムなどのシステムにお

いて、人物などの遮蔽によって信号伝送が中断もしくは瞬断する問題を解決するために筆者らは、提案しているミリ波自己ヘテロダイン伝送方式の採用によって可能となる、非常に簡易なアンテナダイバーシティ受信方式を提案・検討しています¹⁴⁾。これを適用することで、人物などの受信機遮蔽による信号伝送の中断と遮断がほとんど発生しないシステムを実現することが可能になります。

これを簡単に説明すると、2台のミリ波受信機をテレビ受像機に少し離して設置もしくは内蔵しておくことで、同時に二つの見通しリンクがさえぎられる確率を十分に小さくする原理によるものです(図15)。こういった方法は「アンテナ空間ダイバーシティ受信」と呼ばれ、その考え方自身は決して新しいものではありません。以降では、その方法とこれをミリ波帯無線伝送システムへ適用する場合の問題点などについて解説します。

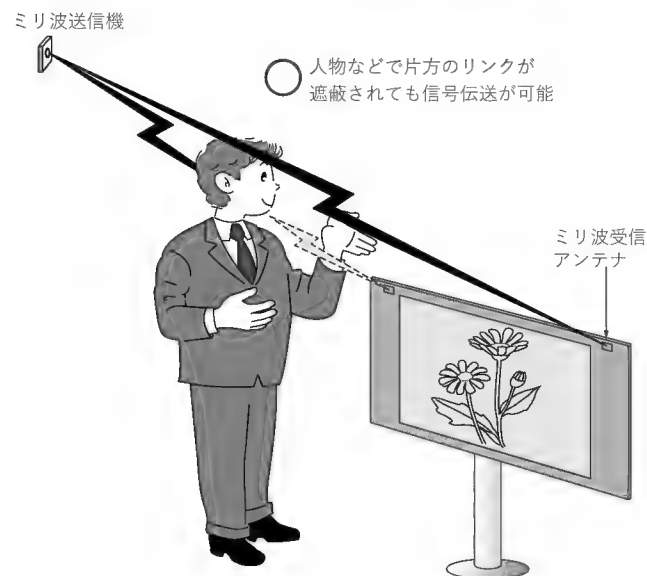
● アンテナダイバーシティ方式

アンテナダイバーシティ受信方式にはいくつかの方式がありますが、なかでも、切り替えアンテナダイバーシティ方式と合成アンテナダイバーシティ方式は、よく利用される方式です。両方式における簡単なシステム構成を図16および図17に示します。

切り替えアンテナダイバーシティ方式では、受信側は受信機2台と、1台のスイッチ回路、およびこれを制御する信号レベル比較回路によって構成されます。通常はどちらかの受信機のみを使用して信号伝送を行い、何らかの理由で使用中のリンクが切れた場合にはそれを検知して、使用する受信機を他方のものへスイッチで切り替えます。

これに対し、合成アンテナダイバーシティ方式では受信機2台と1台の合成回路、および位相制御回路によって構成されます。ここでは常に2台の受信機が使用されており、その各受信機出力を合成したものを受信信号として復調します。合成アンテナダイバーシティ方式においては、信号を合成する際に位相が逆

〔図15〕 アンテナダイバーシティによるミリ波リンク遮断の防止

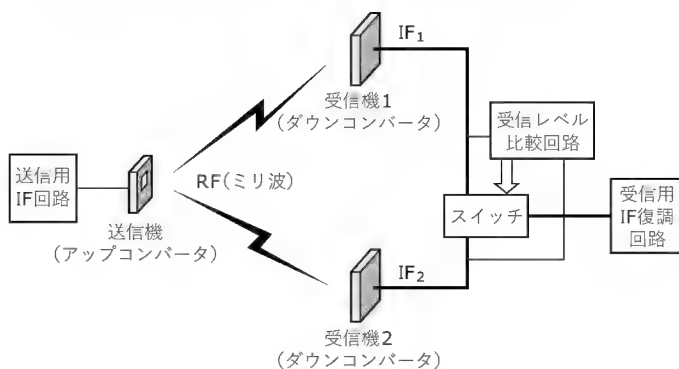


相で合成されると信号が打ち消しあってしまうため、同相合成を行うための位相制御が必要となります。この制御が比較的高度な技術となることから、合成アンテナダイバーシティ方式のほうが切り替えダイバーシティ方式より実現が難しく、コスト高になるとされています。しかしながら信号品質という観点からは、切り替えダイバーシティは切り替えによるスイッチングノイズや、非常にわずかな時間ながら信号伝送の瞬断が発生するため、合成アンテナダイバーシティ方式が望ましい方式といえます。

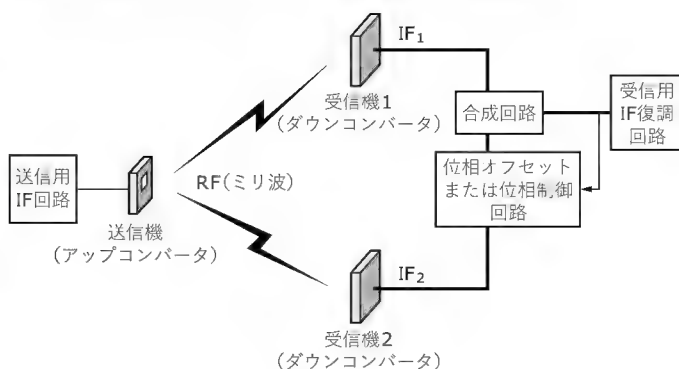
● ミリ波帯でのアンテナダイバーシティ実現の問題

アンテナダイバーシティ方式をミリ波無線伝送システムに採用する場合、ダイバーシティ効果を出すために、ある程度受信機間の距離を離す必要があります。このとき、ミリ波帯の高い周波数のままで受信信号を引きまわしたり、切り換えや合成などの操作を行うことは、伝搬ロスが大きくなることと回路に非常に微細な精度が必要とされることからあまり好ましくありません。したがって、一度ミリ帯の信号をIF帯に周波数変換した信号に対し、これらの処理を行うことが現実的です。しかしながら、先に解説したスーパーヘテロダイン伝送方式を用いた場合、各ミリ波受信機出力のIF信号には独立に大きな周波数ドリフトや位相雑音が発生しているため、これを同相合成することは非常に困難といえます。また、たとえスイッチングノイズや信号伝送の瞬断が発生することを妥協して切り替えダイバーシ

〔図16〕 切り替えアンテナダイバーシティ受信システムの構成



〔図17〕 合成アンテナダイバーシティ受信システムの構成



〔図 18〕ダイバーシティ受信を用いた実証実験のようす



ティ方式を採用したとしても、切り替えた後に非常に大きな周波数オフセットが生じている可能性が高く、これに対して瞬時に復調回路が応答できない可能性が高くなります。この結果、かなりの長時間映像が中断する結果となります。

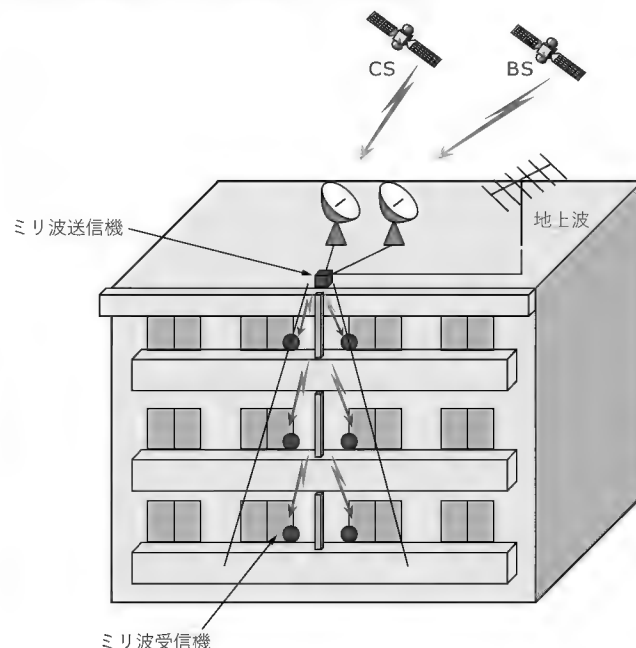
これらの問題は、ミリ波自己ヘテロダイン伝送方式を採用することで解決されます。この伝送方式では、複数の受信機を独立に設置した場合でも、各受信機から得られる IF 出力信号は単一の送信機へ入力された IF 信号のものとまったく周波数オフセットが生じていないものが得られるため、これらを同相合成することは容易になります。これを証明するため、テレビ受像機側で二つのミリ波受信機を 1m 程度離して設置し、各受信機より得られる IF 出力信号を長さの等しいケーブルで電力合成器に入力する、たいへんシンプルなシステムを構成しました。このような構成でも、たとえ人物などが受信機を横切ったとしても画像伝送が瞬断することのない、たいへんスムーズなダイバーシティ受信が可能であることが確認されました。このとき使用した受信側のようすを図 18 に示します。

なお、複数の受信機を用いることは当然ながらシステムコスト高の要因となり得ますが、ミリ波自己ヘテロダイン伝送方式では受信機においてローカル発振器を内蔵する必要がないため、とりわけ受信機の低コスト化が可能な方式です。この点においても、ミリ波自己ヘテロダイン伝送方式は有利であるといえます。

7 縦系テレビ信号配信システム

先に解説した屋内向けのミリ波映像多重伝送システムを屋外仕様に変更して、これをマンションなど共同住宅における共聴システムや広帯域信号配信のためのインフラ設備として利用す

〔図 19〕縦系テレビ信号配信システム概念



る検討が現在進んでいます。このようなシステムを「縦系テレビ信号配信システム」と呼び、現在、独立行政法人通信総合研究所が「集合住宅へのミリ波帯電波を利用した縦系配線システムに関する調査検討会」を発足させておもに検討を行っています^{注2}。

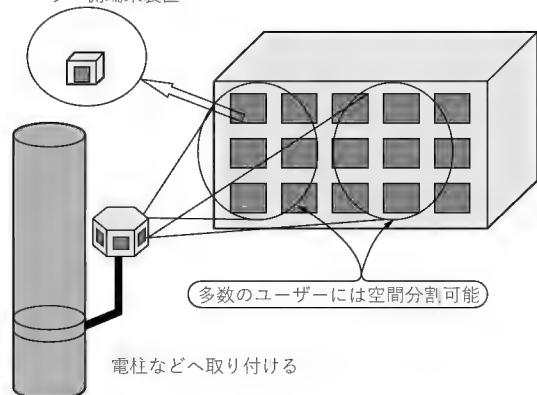
近年、一部の集合住宅では、共同受信設備が衛星放送に対応していない、南西に面したベランダがなく受信アンテナの設置が困難、衛星方向に電波をさえぎる建物が存在するなどの理由から、衛星放送サービスを楽しむことができないという問題があります。そこで本システムでは、屋上に共同視聴用の衛星放送受信アンテナとミリ波送信機を設置し、各世帯にはミリ波受信機をベランダなどに設置することで各世帯への放送信号配信を可能にすることを目的としています。

図 19 にそのシステム概念を示します。本システムが屋外仕様であることを除けば、システムの構成や原理については先に紹介したミリ波映像多重伝送システムとまったく同等のものを適用することが可能です。しかし、本システムで用いる送信アンテナについては放射パターンが比較的狭いものでも十分と思われるため、送信側についても高いアンテナゲインをもつアンテナが使用できます。このことから、10 階建て以上の高層マンションでも充分適用が可能と予想されます。なお、前述した調査検討会では本システムの実現に向けて、技術面、アプリケーション面、設置方法に関する課題の検討や意見交換を行い、およそ 1 年間の活動を計画しています。またその成果は規格化などへ反映し、製品実用化、市場への普及をめざすことになっています。

注 2：独立行政法人通信総合研究所は 11 機関（埼玉大学、日本放送協会、JSAT、富士通カンタムデバイス、NEC ラボラトリーズ、沖電気工業、村田製作所、日立国際電気、マズプロ電工、京浜急行電鉄、総務省）とともに、「集合住宅へのミリ波帯電波を利用した縦系配線システムに関する調査検討会」（座長：埼玉大学 小林禧夫教授）を発足させた（平成 14 年 7 月）。

〔図 20〕 マルチポイントアクセスシステムのイメージ

ユーザー側端末装置



の周波数が利用可能であることと、波長が短いため狭いアンテナビームを小型かつ容易に実現でき、マルチパスの影響を受けにくくできるという利点を生かし、単純なデジタル変調方式と 100Base-TX のプロトコルをそのまま利用した単純な構成で実現できました。

このシステムは図 2 中の一例にも示されているビル間通信のような P-P (ポイントツーポイント) 方式の無線通信リンクや、加入者系無線アクセスシステム (FWA : Fixed Wireless Access) などにおける無線 LAN 間のリンクとして利用できます。さらに、図 20 に示すように P-M (ポイントツーマルチポイント) としての発展も可能です。

8.1 システム構成

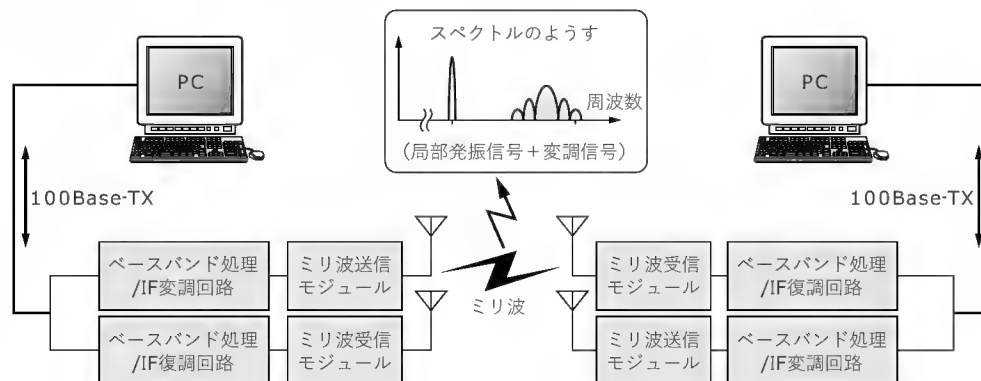
今回開発したシステムでは、LAN などの通信インターフェースとして現在標準的に使用されている 100Base-TX から受け渡されるイーサネット信号を 2 値位相変調 (BPSK) に変換し、これを自己ヘテロダイン伝送方式を採用した低コストミリ波送受信モジュールを搭載した無線端末間で伝送させることで通信を行っています。このような方法で、100Base-TX インターフェースに対応した 60GHz 帯ワイヤレスリンクを低コストに実現しています。開発した 100Base-TX 対応ワイヤレスリンクシステムの全体構成を図 21 に、本構成図におけるベースバンド処理/IF 変復調回路の構成を図 22 に示します。また、端末の外観を図 23 に示します。なお、ミリ波帯の RF 回路となるミリ波送受信モジ

8 100Base-TX 対応高速無線リンクの開発

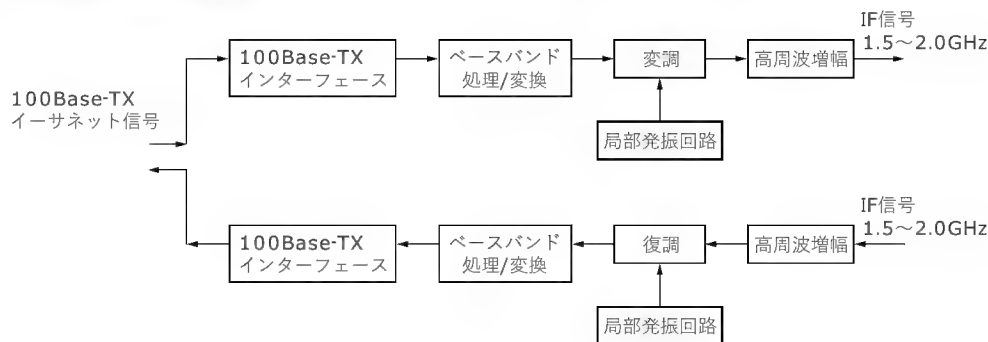
ミリ波自己ヘテロダイン伝送方式を利用して開発した、低コストな 100Base-TX に接続可能な無線リンクシステムを紹介します。

通常、100Mbps クラスの高速な伝送を実現するためには、高度な変復調技術や周波数の安定化技術が必要となることは前述のとおりです。しかし、開発したシステムはミリ波帯の広帯域

〔図 21〕 100Base-TX 対応ワイヤレスリンクシステムの構成



〔図 22〕 ベースバンド処理/IF 変復調回路の構成



〔表 5〕開発した無線リンクのおもな仕様

局発振周波数	59.01 [GHz]
IF 中心周波数	1.5 [GHz]
送信用アンテナ利得	5 [dBi]
受信用アンテナ利得	30 [dBi]
変調方式	BPSK
インターフェース	100Base-TX

ジュールは、先に示したミリ波自己ヘテロダイン伝送方式の実証実験で使用したものと同等のものを使用しています(図 4)。開発した装置のおもな仕様を表 5 に示します。図 23 に示したシステムでは、高利得受信アンテナとして導波管アレーアンテナを使用し、なおかつ防滴のための筐体を用意したために形状が少し大きくなってしまいましたが、アンテナの種類を変更することにより、さらなる小型化が可能と考えられます。

伝送性能の検証結果の一例として、端末間の距離を 15m とし、伝送パケットロスを測定した結果を表 6 に示します。これより、どのフレームサイズでもほぼパケットロスがないことが確認されました。

おわりに

本章では、最近注目されているミリ波帯の 60GHz をとりあげ、60GHz 帯の電波を使用する無線伝送技術について、電波法からの技術基準、標準化動向、デバイス製作とシステム開発における課題、課題を克服するためのミリ波自己ヘテロダイン伝送方式について解説し、同伝送方式を適用した無線アプリケーションとして検討されている、屋内向けミリ波映像多重伝送システム、縦系テレビ信号配信システム、100Base-TX 対応高速ワイヤレスリンクの開発状況について解説しました。

近年の急速な無線システムの需要にともなって、現在普及している 2.4GHz 帯や 5GHz 帯などの免許不要バンドを使用する無線システムでは、近い将来、深刻な周波数不足と干渉問題が生じられると思われます。そこで、次なる利用可能な免許不要バンドとして、60GHz 帯の電波を用いる無線伝送システムが今後急速に普及すると期待されます。

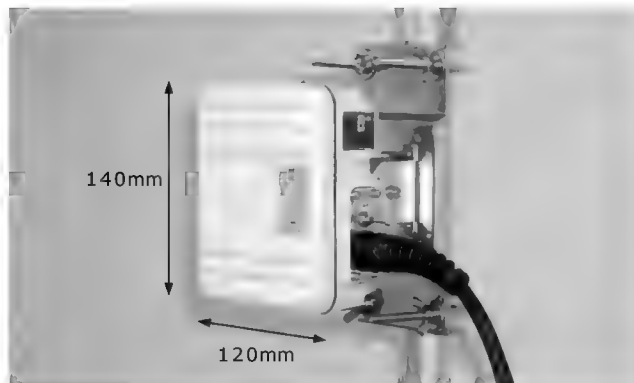
参考文献

- 電気通信技術審議会、『60GHz 帯の周波数の電波を使用する無線設備の技術的条件』(平成 12 年 2 月 28 日答申)
- Code of Federal Regulations, Title 47, Part 15, section 15.255, File: "47cfr15.pdf" at http://www.fcc.gov/Bureaus/Engineering_Technology/documents/cfr/1998/
- File: fcc99183.pdf at http://www.fcc.gov/Bureaus/Engineering_Technology/Notices/1999/
- File: fcc00442.doc at http://www.fcc.gov/Bureaus/Engineering_Technology/Orders/2000/
- File: 43116.pdf at http://www.fcc.gov/Bureaus/Engineering_Technology/Documents/fedreg/61/

〔表 6〕フレームサイズ対パケットロスの測定結果(伝送距離 15m)

フレームサイズ [バイト]	64	128	256	512	1024	1280	1518
パケットロス [%]	0.000	0.000	0.000	0.026	0.009	0.000	0.000

〔図 23〕100Base-TX 対応ワイヤレスリンクシステムの外観



- <http://www.terabeam.com/products/equip/mmw.shtml>
- http://www.nokia.com/pc_files/MetroHopper.pdf
- 平地ほか, "Status of millimeter-wave MMICs and their applications in Japan", *Proceeding of GAAS 2000 - Paris 2000*, pp.369-372, Oct. 2000
- 荏司ほか, "Millimeter-wave Remote Self-Heterodyne System for Extremely-Stable and Low-Cost Broad-Band Signal Transmission", *IEEE TRANSACTIONS ON MICROWAVE THEORY AND TECHNIQUES*, Vol.50, No.6, pp.1458-1468, (June 2002)
- 荏司ほか, "60GHz band 64QAM/OFDM Terrestrial Digital Broadcasting Signal Transmission by Using Millimeter-wave Self-Heterodyne System", *IEEE TRANSACTIONS ON BROADCASTING*, Vol.47, No.3, pp.218-227 (Sept. 2001)
- 荏司ほか, "送信電力配分問題を最適化したミリ波自己ヘテロダイン方式による 60GHz 帯屋内 BS デジタル放送伝送システム", 『映像情報メディア学会論文誌』, 2002 年 8 月号, Vol.56, No.8, pp.1334-1341 (Aug. 2002)
- 報道発表, "ミリ波自己ヘテロダイン通信システムの開発に成功—高効率デジタル変調信号の伝送が可能なミリ波通信システムの低コスト化に向けて—", <http://www2.crl.go.jp/pub/whatsnew/press/000912/000912-1.html> (Sept. 2000)
- 「特定小電力無線局ミリ波画像伝送用無線設備」ARIB STD-T69, 平成 12 年, (社)電波産業会
- 荏司ほか, "Millimeter-wave Self-heterodyne Transmission Technique and a Simple Millimeter-wave Diversity Reception System", 2002 IEEE Radio and Wireless Conference (RAWCON), pp.115-118 (Aug. 2002)
- 報道発表, "ミリ波電波を利用した集合住宅内配線システム実現に向け, 調査検討会が発足—衛星放送視聴困難なマンション住民に朗報—", <http://www2.crl.go.jp/pub/whatsnew/press/020723-2/020723-2.html> (July 2002)

超広帯域(UWB)ワイヤレス通信の基礎と動向

・河野隆二

ワイドバンド CDMA による第 3 世代移動通信システム IMT2000 や IEEE802.11a/b/g などのワイヤレス LAN の研究開発と普及を通して、ユビキタスでよりブロードバンドなワイヤレス通信への関心が高まっている。その渦中で、2002 年 2 月 14 日に米国 FCC (連邦通信委員会) が数 GHz の超広帯域、すなわち Ultra Wideband (UWB) のワイヤレス技術を用いた製品の販売と利用を許可することを報道した。これを契機に、Bluetooth などの近距離ワイヤレスシステムの市場で、はるかに高速 (100Mbps 以上) なシステムが実現できる UWB 技術に、急速に注目が集まるようになった。

とくに、IEEE802.15.3a として無線 PAN (Personal Area Network) の高速版 (WiMedia の Alternate) に UWB が採用され、IEEE802.15.x で規定される応用の中で最高速となり、その市場の広がりが期待されている。本章では UWB とは何かという基礎から、今後の技術的課題と法制度化を含む今後の発展性について解説する。 (筆者)

1 UWB とは何か？

UWB (Ultra Wideband) ワイヤレス通信とは、搬送波 (情報を変調するためのコサイン波) を用いず、1ns (10^{-9} 秒) 以下の非常に時間幅の短いパルスを用いて通信を行う方式であり、「Impulse Radio」とか「Time Domain」とか「Carrier Free」とも呼ばれる。そのため、帯域幅は数 GHz にわたる超広帯域なものとなり、マルチパス歪みに強く、距離も測れるなどのスペクトル拡散通信方式と同様で、より顕著な利点がある。

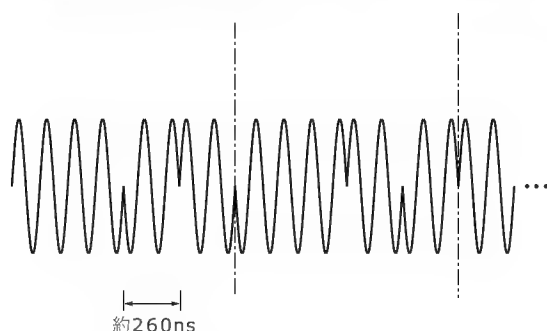
図 1 に、インパルス無線 (Impulse Radio) による UWB 信号波形を、通常の 2 相位相変調 (BPSK : Binary Phase Shift Keying) 信号波形と比較して示す。図に示すように、UWB 方式ではコサイン波のような搬送波による変調をせずに 1ns 以下のパルスを複数送信する。そのため、占有帯域幅は非常に広くなり、スペクトル電力密度は非常に小さくなるため、通常のスペクトル拡散通信方式と同様に秘話性・秘匿性に優れ、他の狭帯域通信に与

える影響は小さいなどの特徴をもつ通信方式である。超広帯域に拡散されるので、よりその特徴がさらに強調される。

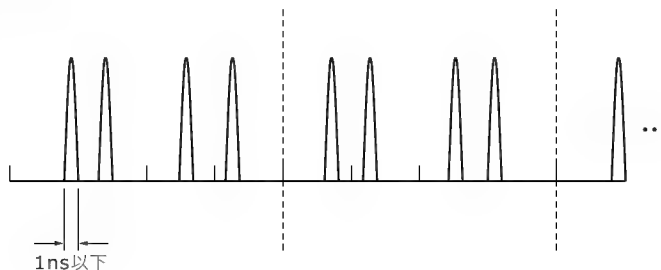
図 2 に示すように、UWB 信号は BPSK などの被変調信号はもとより、通常のスペクトル拡散信号 (2.4GHz 帯ワイヤレス LAN で数十 MHz の帯域幅) に比べても超広帯域 (数 GHz の帯域幅) であることから「UWB」と呼ばれ、電力スペクトル密度もスペクトル拡散信号 (2.4GHz 帯のワイヤレス LAN で 10mW/MHz 以下) に対し、UWB 信号 (1MHz あたり 10nW : 10nW/MHz 以下) ははるかに低く、他のシステムが共存しても干渉を与えにくいばかりでなく、他のシステムからの干渉にも耐えられ、スペクトル拡散信号の特徴を強調した利点があるといえる。

さらに、パルスの時間幅が非常に小さいため、マルチパスを細かく分解でき、RAKE 受信 (複数方向から届く電波を集めて受信すること) が可能となるので、マルチパスにも強い方式である。また、UWB では 1ns 以下のパルス (モノサイクル) からなるベースバンド信号を複数用意する。そのモノサイクルをユーザーごとに固有のタイムホッピング (TH) 系列分だけシフトさせて送信する。そのため、多元接続する際、他局のモノサイクルが

〔図 1〕 Impulse Radio による UWB 信号と搬送波を用いた位相変調信号の比較

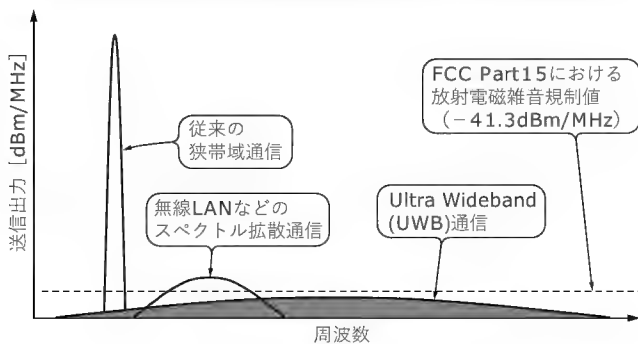


(a) 2 相位相変調 (BPSK) による時間信号波形



(b) Impulse Radio による UWB 時間信号波形

〔図2〕 UWB 信号と従来の変調信号の電力スペクトル分布の相違



衝突(ヒット)したときに誤りとなり、このヒットする確率が誤り率などのシステム性能を左右する要素となる。

2 UWB 通信方式の送信から受信までの処理

2.1 UWB の送信信号

k 番目のユーザーの送信信号のブロック図を図3に示す。 k 番目のユーザーの送信信号は、次のように表される。

$$s_r^{(k)}(t) = \sum_{j=-\infty}^{\infty} w_{tr} \left(t^{(k)} - jT_f - c_j^{(k)}T_c - d_j^{(k)} \right) \dots \dots \dots (1)$$

ただし、 $t^{(k)}$ は送信機のクロックタイム、 T_f はパルス反復時間、 T_c はTH (Time Hopping) のチップ長、 $c_j^{(k)}$ は k 番目のユーザーの j 番目のTH系列、 $d_j^{(k)}$ は k 番目のユーザーの j ホップ目の情報系列、 w_{tr} は送信機のモノサイクル波形である。

k 番目のユーザー送信機からはそれぞれ違う時間だけシフトされた複数のモノサイクルが送信される。たとえば、 j 番目のモノサイクルは $jT_f - c_j^{(k)}T_c + d_j^{(k)}$ の時間に送信されはじめる。各シフト時間の構成は、次のように述べられる。

1) 一定間隔のパルス列

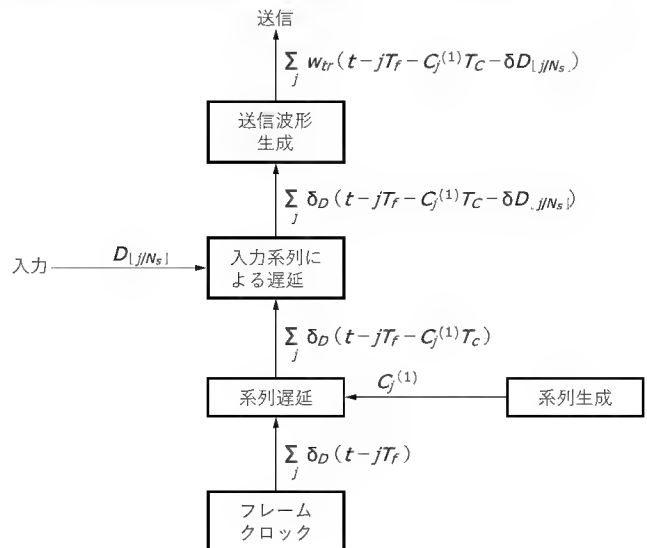
$$\sum_{j=-\infty}^{\infty} w_{tr} \left(t^{(k)} - jT_f \right)$$

で表されるパルス列は、 T_f 秒ずつ離れたモノサイクル列によって構成される。一定間隔のパルス列によって多元接続する場合、他局からの信号がすべてのパルスで衝突してしまうことが起こり得る。

2) ランダム/疑似ランダム TH

多元接続において、1)のようにすべてのパルスで衝突することがないように、ユーザーごとに異なるシフトパターンのTH系列 $\{c_j^{(k)}\}$ を用いる。このホッピング系列 $\{c_j^{(k)}\}$ は系列長 N_p の疑似ランダム系列で、各要素は $0 \leq c_j^{(k)} < N_h$ を満たすものとし、 $N_hT_c \leq T_f$ を満たすように N_h を定める。このTH系列はパルス列の各パルスを付加的に時間シフトさせる。つまり、 j 番目のパルスは1)に加えて $c_j^{(k)}T_c$ 秒シフトされる。このシフト時間は0から N_hT_c まで離散的な値をとる。疑似ランダムTH系列の系列長は N_p なので、

〔図3〕 UWB 送信側のシステム構成



$$\sum_{j=-\infty}^{\infty} w_{tr} \left(t^{(k)} - jT_f - c_j^{(k)}T_c \right)$$

で表される波形は、 $T_p = N_pT_f$ の周期をもつ。

$N_hT_c \leq T_f$ となるので、 N_hT_c/T_f はフレーム時間 T_f の中でTHが許される割合を表す。モノサイクル相関器の出力を読み取るためにわずかに時間間隔が必要なため、 N_hT_c/T_f は1より小さくなる。

N_hT_c/T_f が小さすぎると、大衝突が起きやすくなる。逆に、 N_hT_c/T_f が十分大きく、TH系列がきちんと設定されていると、多元接続による他局間干渉はガウス分布に近似される。

3) 情報系列

送信データを表す $d_j^{(k)}$ は、 $d_j^{(k)} = \delta D_{j/N_s}^{(k)}$ と表される(ここで $[x]$ は x の整数部分を表す)。ここで、 $\{D_i^{(k)}\}_{i=-\infty}^{\infty}$ で表される系列は0, 1のバイナリ情報系列であり、 δ はパルスの時間幅 T_m によって決まる値である。UWBは1シンボルで N_s 個のモノサイクルを送信するので、データ系列は N_s のホッピングごとに変化する。データシンボルが $j=0$ から始まるとすると、データシンボルの順番はホッピング回数 j を使って $[j/N_s]$ と表される。この変調方式では、データシンボルが0のときはモノサイクルにシフト時間を追加されず、データシンボルが1のときはモノサイクルに Δ のシフト時間が追加される。

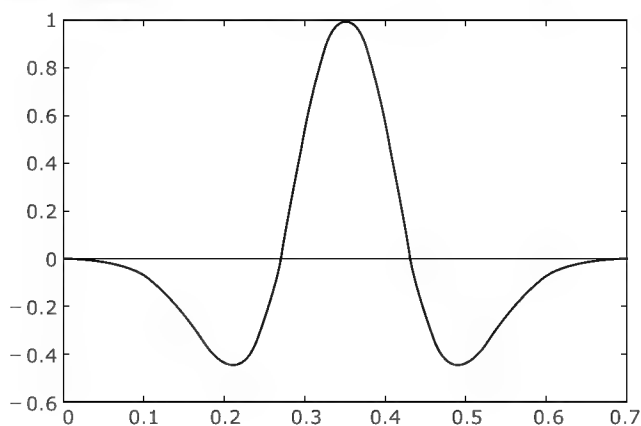
4) 多元接続するとき

多元接続する際、 N_u のユーザーが接続しているときの受信信号は、

$$r(t) = \sum_{k=1}^{N_u} A_k s_{rec}^{(k)}(t - \tau_k) + n(t) \dots \dots \dots (2)$$

と表される。ここで A_k は k 番目のユーザーからの受信信号 $s_{rec}^{(k)}(t - \tau_k)$ が伝搬路を通して減衰した値を示す。また、 τ_k は受信機のクロックと k 番目のユーザーのクロックの非同期の時間を表し、 $n(t)$ は他局間干渉以外の雑音を表す。

〔図4〕送信波形



理想的なチャネルとアンテナシステムでも、送信波形 W_{th} は受信器のアンテナの出力では W_{rec} に変化する。典型的な理想化されたモデルでは、受信波形 W_{rec} は図4のように表される。解析を容易にするために、受信波形 W_{rec} は既知のものとし、マッチドフィルタで受信することを考えた。

2.2 UWB の受信器

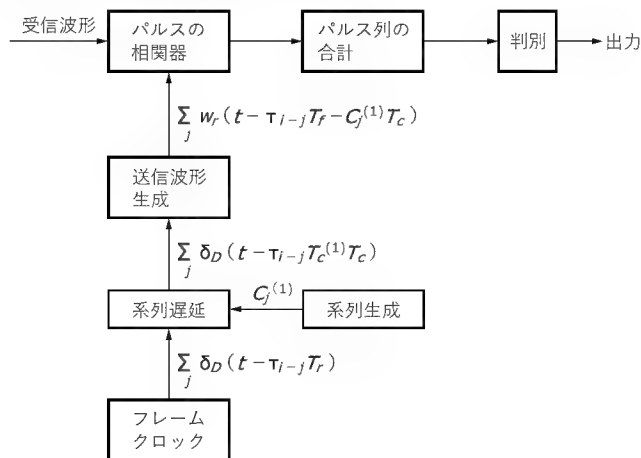
UWB の受信器において同期が完全であると仮定する。UWB の受信器のブロック図を図5に示す。UWB の受信器は、 $T_s = N_s T_f$ の時間で受信信号 $r(t)$ を観測して $D_0^{(1)}$ が0か1かを決定する必要がある。つまり、送信情報が d のときの受信信号の状態を H_d と表すと、

$$H_d : r(t) = A_1 \sum_{j=0}^{N_s-1} w_{rec}(t - \tau_1 - jT_f - c_j^{(1)}T_c - \delta d) + n_{tot}(t) \quad \dots\dots\dots (3)$$

の d が0か1かを判別する必要がある。(3)式の $n_{tot}(t)$ (他局間干渉と受信雑音) はまとめて、

$$n_{tot}(t) = \underbrace{\sum_{k=2}^{N_k} A_k w_{rec}^{(k)}(t - \tau_k)}_{\text{他局間干渉}} + \underbrace{n(t)}_{\text{受信雑音}} \quad \dots\dots\dots (4)$$

〔図5〕UWB の受信側のシステム構成



と表される。

他ユーザーがなく、かつ、データ $D_0^{(1)}$ が独立な乱数の場合、最適受信機は相関受信機で、

$$D_0^{(1)} = 0 \Leftrightarrow \underbrace{\sum_{j=0}^{N_s-1} \int_{\tau_1+jT_f}^{\tau_1+(j+1)T_f} r(t) v(t - \tau_1 - jT_f - c_j^{(1)}T_c) dt}_{\text{相関器出力の合計} = \alpha} > 0 \quad \dots\dots\dots (5)$$

と表される。ここで、

$$v(t) \triangleq w_{rec}(t) - w_{rec}(t - \delta) \quad \dots\dots\dots (6)$$

である。 $w_{rec}(t)$ は $[0, T_m]$ の期間で0でない、 $v(t)$ は $[0, T_m + \delta]$ の期間で0でない。式(5)の α は受信信号 $r(t)$ に合わせてホッピングした相関波形 $v(t)$ を用いてとった各パルスの相関値の合計値である。図3を用いて得られる相関器の波形を図6に示す。

厳密に言えば、以上の方式は他ユーザーの信号がある場合は最適ではない。ガウス分布でない多元接続による雑音が存在する場合、最適受信機では多元接続雑音の構成の情報を利用する。したがって、マルチユーザー環境では最適受信機構成はさらに複雑になる。図7にUWBのマルチユーザー環境下における相関受信を示す。同時に多元接続するユーザー数が増え、マルチユーザー受信が不可能になってくると他局間干渉はガウス分布に近付いてくる。このような状況では、 $n_{tot}(t)$ は白色ガウス雑音とみなされ、式(5)は最適となる。

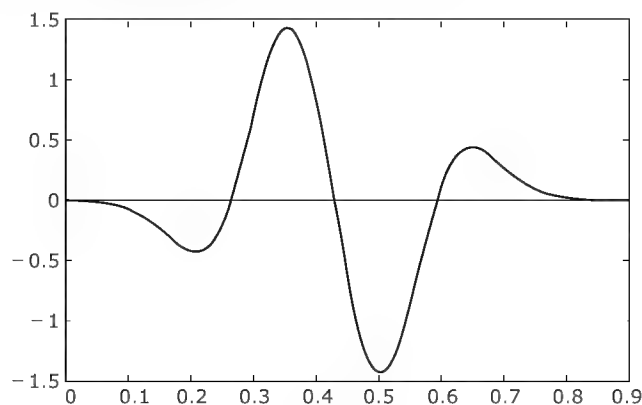
α は $\alpha = m + n_d$ と置き直すことができ、希望信号の相関器出力 $m(H_1$ のとき) と干渉成分の相関器出力 n_d はそれぞれ、

$$m = \sum_{j=0}^{N_s-1} \int_{\tau_1+jT_f}^{\tau_1+(j+1)T_f} \left[A_1 \sum_{i=0}^{N_s-1} w_{rec}(t - \tau_1 - iT_f - c_i^{(1)}T_c - \delta) \right] \times v(t - \tau_1 - iT_f - c_i^{(1)}T_c) dt \quad \dots (7)$$

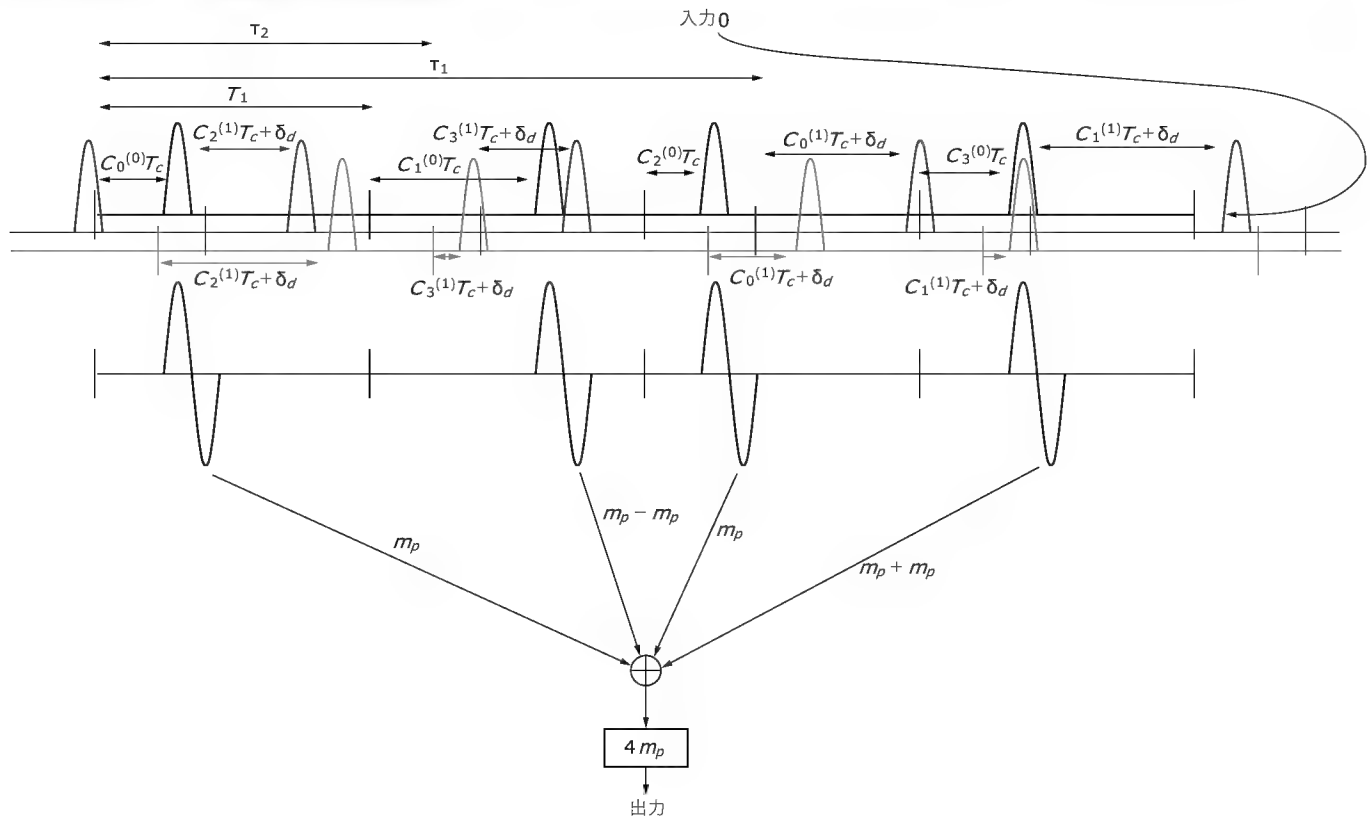
と、

$$n_d = \sum_{j=0}^{N_s-1} \int_{\tau_1+jT_f}^{\tau_1+(j+1)T_f} n_{tot}(t) v(t - \tau_1 - jT_f - c_j^{(1)}T_c) dt \quad \dots\dots\dots (8)$$

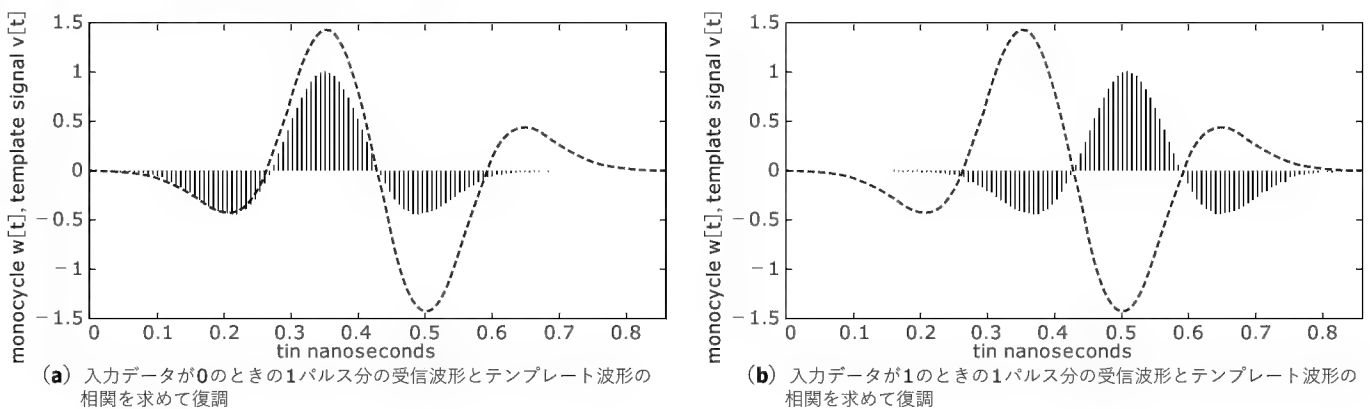
〔図6〕受信機で相関をとるテンプレート波形



〔図 7〕 マルチユーザー環境下の UWB 相関受信



〔図 8〕 受信パルスとテンプレート波形の相関



である。 m は $m = N_s A_1 m_p$ と表される。式 (8) はさらに簡単に、

$$n_d = \sum_{k=2}^{N_u} A_k n^{(k)} + n_{rec} \quad (9)$$

と表され、 $n^{(k)}$ は k 番目のユーザーからの他局間干渉を表し、 n_{rec} はモノサイクル以外の原因による雑音を表す。

2.3 UWB 受信機の SNR

UWB における信号対雑音電力比 SNR は、

$$SNR_{out}(N_u) \triangleq \frac{m^2}{IE\{n_d^2\}} \quad (10)$$

と表される。 $n^{(k)}$ は平均 0 である。式 (10) で示す n_d は独立な平均 0 の乱数なので、 n_d の分散値 $IE\{n_d^2\}$ は、

$$IE\{n_d^2\} = \sigma_{rec}^2 + N_s \sigma_a^2 \sum_{k=2}^{N_u} A_k^2 \quad (11)$$

と表される。 σ_{rec}^2 は受信雑音の成分である。

希望信号だけが存在する場合、つまり $N_u=1$ で多元接続しない場合の SNR は、

$$SNR_{out}(1) = \frac{(N_s A_1 m_p)^2}{\sigma_{rec}^2} \quad (12)$$

と表される。また、 N_u ユーザーで多元接続する場合の $SNR_{out}(N_u)$ は、

$$SNR_{out}(N_u) = \frac{(N_s A_1 m_p)^2}{\sigma_{rec}^2 + N_s \sigma_a^2 \sum_{k=2}^{N_u} A_k^2} \quad (13)$$

と表される。

受信パルスとテンプレート波形の相関について、図8(前頁)に示す。

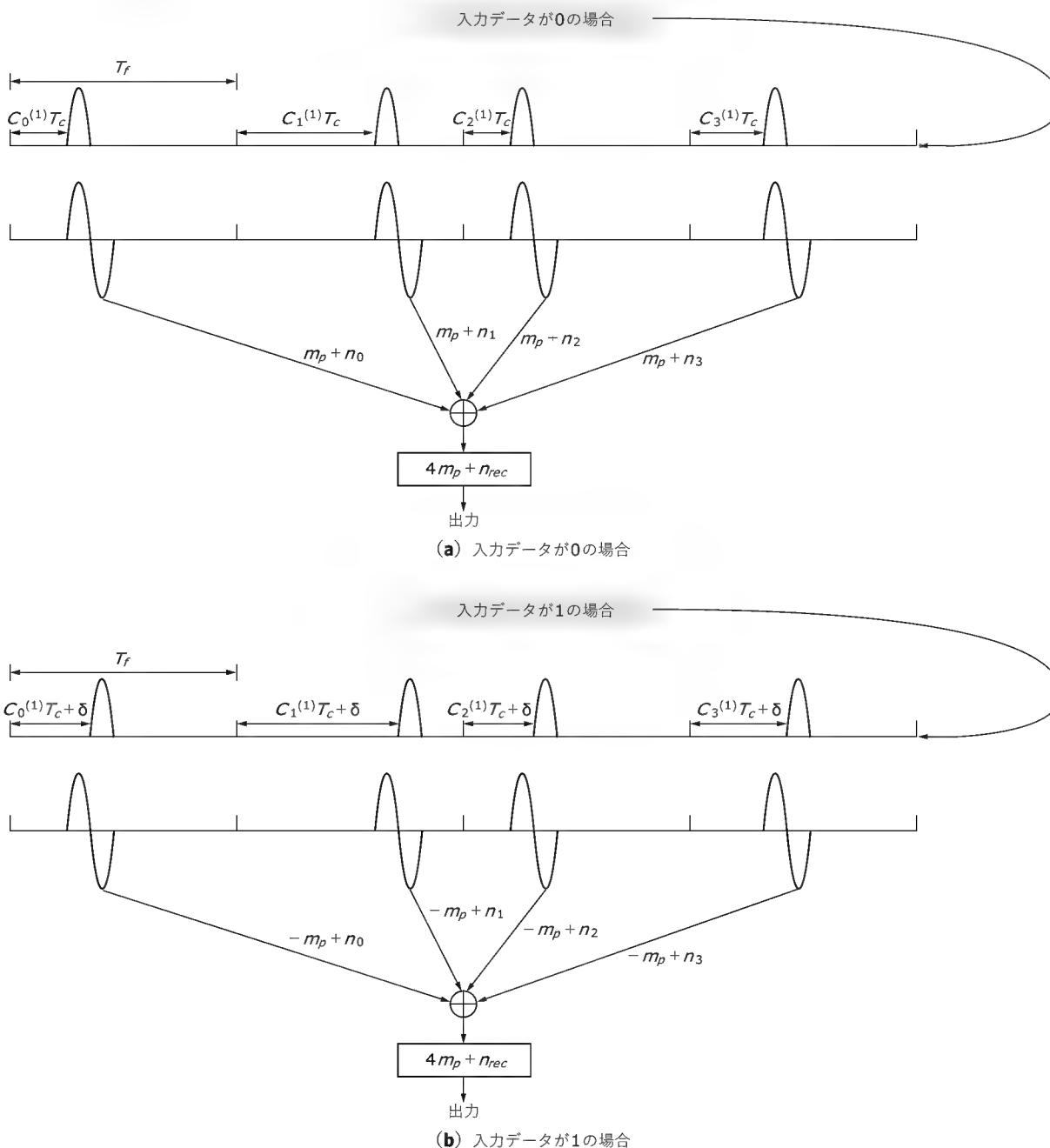
3 UWB の特徴

Impulse Radio による UWB 方式では、DS-SS 方式のように拡散符号のチップの時間幅を小さくすることによって帯域を広げるのではなく、Time Hopping (TH) された 1ns 以下の時間幅をも

ったパルス(モノサイクル)のベースバンド信号を複数送信することによって、非常に広い帯域を占有するようになっている(図9)。したがって、搬送波を用いて変調するときよりもさらに広い帯域で、スペクトル電力密度を低減して伝送する。その結果、高い秘匿性や干渉への耐性、到達時間の分解能力を有する。

UWB では、伝送する周波数帯に情報信号を乗せる搬送波を使わず、代わりにモノサイクルのベースバンド信号で伝送する点が特徴である。UWB では占有帯域幅が数 GHz にわたるため、良好な伝搬路特性でも歪みを生じてしまう。しかし、UWB では

〔図9〕 Time Hopping (TH) / Pulse Positioning Modulation (PPM) による UWB の送受信
(ユーザーごとに固有のタイムホッピング(TH)系列分だけ遅延させたパルスを複数送受信する)



非常に広い帯域を用いるため、

- ① マルチパスの遅延時間を 1ns 以下に分解できる。この結果、マルチパスフェージングの影響を十分抑えることができる
- ② 高いパス分解能力により、UWB による室内の高品質近距離無線通信が可能
- ③ フェージングの影響が低く抑えられ、送信電力が少なく済む
- ④ 送信電力の低い UWB では電力スペクトル密度が非常に低くなるので、他の狭帯域伝送に影響をほとんど及ぼさないといった特徴をもつ。

< UWB の物理的特徴 >

① UWB 信号

- パルス列であり、モノサイクルと呼ばれるパルス
- 余弦波による搬送波を用いない(広義で搬送波を使うものもあり)
- Impulse Radio とも呼ばれる
- 通常、パルス時間幅は pico seconds から nano seconds
- 典型的なパルス波形は Gaussian
- パルス繰り返し周期は、通常、0.1 秒間隔

② UWB 帯域幅

- 比帯域幅 $BW = (\text{帯域幅}) / (\text{中心周波数})$ が、通常 25 % 以上、

$$BW = 2 \frac{f_H - f_L}{f_H + f_L} = \frac{f_H - f_L}{f_c}$$

- $f_c = 2.4\text{GHz}$, $f_H = 3.0\text{GHz}$, $f_L = 1.8, 1.2\text{GHz}$ (比帯域幅 = 50%)

(例) 従来通信方式との比較

- AM $6.8\text{kHz}/530\text{kHz} = 1.3\%$
- cdmaOne $1.25\text{MHz}/800\text{MHz} = 0.15\%$
- W-CDMA $5\text{MHz}/2200\text{MHz} = 0.23\%$
- 無線 LAN (IEEE802.11) $22\text{MHz}/2450\text{MHz} = 0.9\%$

③ 処理利得 (Processing gain : PG)

- UWB システムは、DS-SS システムと、同一占有帯域幅で同程度の処理利得をもつ。したがって、干渉に対して強い

④ 通信容量

GHz オーダの帯域幅 B (後述) を用いる UWB は、超高速伝送が高信頼度で可能。

< UWB の実用上の特徴 >

- ① 電力スペクトル密度がきわめて低い(雑音レベル, DS-SS 以下)
 - ⇒ 既存の通信システムとの与干渉・被干渉が少なく、共存の可能性
- ② 平均電力レベルが 1mW 以下で数マイル伝送可能
- ③ きわめて短い (ns 単位) のパルスを利用
 - ⇒ RAKE 受信によりマルチパスに強い(高いパス分離能力)
 - ⇒ レーダとして高精度測距(数 cm 単位)が可能(高い距離分解能)
- ④ キャリアなし、信号の放射時間がきわめて短い
 - ⇒ 小型・低消費電力のシステムを構築可能

⑤ 常に広い帯域を占有 (GHz オーダ)

⇒ 大容量多元接続・超高速伝送 (< 数百 Mbps) 可能

⑥ 通信と測距が同時にできる

⇒ ITS (車車間通信など) に応用可能

*

*

以上のような特徴は、おもにスペクトル拡散通信方式の特徴と共通するものである。その理由は、信号の周波数スペクトル成分が広帯域に拡散されることにより得られる特徴として、UWB もスペクトル拡散方式と共通だからである。

スペクトル拡散の方法では、広帯域の拡散符号を情報信号にかけ算することで情報信号のスペクトルを拡散する直接拡散変調 (Direct Sequence or Direct Spread : DS) や、周波数シンセサイザを拡散符号で発信周波数(搬送周波数)を切り替えて(ホップさせて)情報信号のスペクトルを拡散する周波数ホッピング変調 (Frequency Hopping : FH) がおもに用いられる。

一方、Impulse Radio による UWB では、情報信号を超広帯域のスペクトルをもつパルス、またはパルス列に変換することにより、信号のスペクトルを広帯域に拡散している。

このように広い周波数帯域を用いると高速伝送が可能になる理由は、シャノンが導いた通信路容量 C によって説明できる。有線/無線のいずれの場合も、物理的に提供された通信路ごとに固有に誤りなく伝送できる最大の伝送速度として、通信路容量 C が定義される。とくに、伝送できる周波数帯域 B が制限され、雑音により誤りが生じる通信路では、通信路容量 C は、下記のように表される。

$$C = B \log_2 \left(1 + \frac{P}{N} \right)$$

C = Max channel capacity in bits/s

B = Channel bandwidth in Hertz

P = Signal power in Watts

N = Noise power in Watts

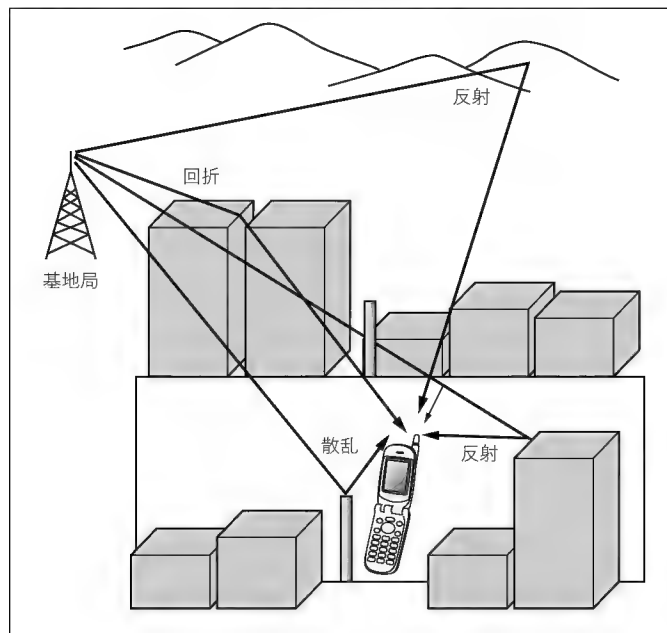
つまり、最大伝送速度 C は通信路の帯域幅 B に比例して大きくでき、信号電力対雑音電力比 (P/N) を大きくすれば、 C は大きくできる。したがって、UWB のように GHz オーダまで B を広帯域にすることにより、超高速伝送が可能となる。

一方、通信路でのシンボル誤りは、通常の無線通信では、雑音だけではなく、図 10 に示すように、壁などの障害物による電波の反射や回折などによる多重波伝搬、いわゆるマルチパス (Multi-path) による情報シンボル間干渉、さらに、図 11 (p.107) に示すように、複数のユーザーが無線通信路にアクセスする場合、いわゆる多元接続 (Multiple Access) する場合にユーザー間のパルスが時間的に衝突するユーザー間干渉によって誤りが生じる。

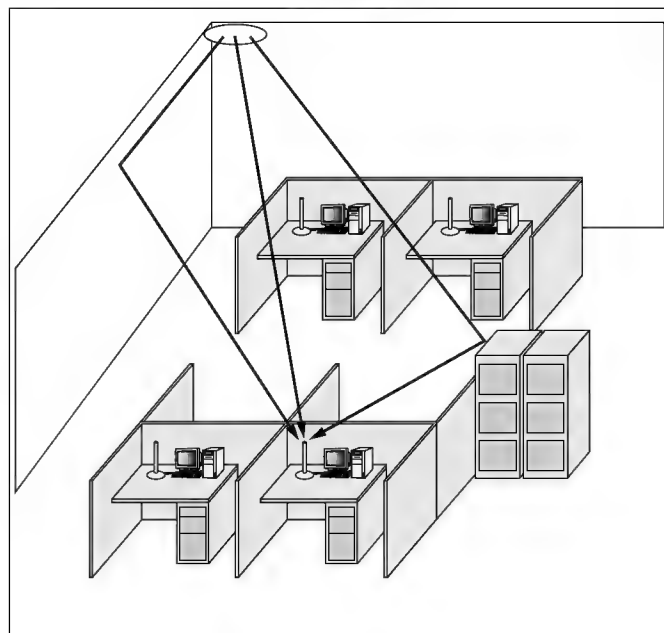
UWB では、おもに図 11 (a) に示すように、ユーザーごとにデータ 1 シンボルを伝送するパルス列の時間的位置を変えて、できるだけパルスの時間的衝突(ヒット)を避けるように時間ホッピングパターン(拡散符号に相当し、TH 系列という)を各ユー

〔図10〕ワイヤレス通信における多重波伝播(マルチパス)

(屋外の伝搬路環境)



(屋内伝搬環境)



ザーに割り当て、CDMA (Code Division Multiple Access : 符号分割多元接続)を行う。

図11(b)のように、ユーザーごとに異なるTH系列でタイムホップされたパルスを送受信するので、他局のパルスと希望局のパルスが衝突(ヒット)する確率がシステム性能を決める。しかし、伝送速度一定条件の下では、パルス間隔を広げることができず、ヒット確率を抑えることはできない。伝送速度一定条件の下で、パルス間隔を広げることができれば、UWBのシステム性能は良くなる。

UWB技術は、歴史的には通信よりもパルスレーダとして研究開発されてきた。UWB信号で距離を測る原理はいたって簡単で、送信したパルス信号が障害物に当たり、その反射信号を受信するまでの時間を計ることにより、そのパルスの往復時間に

電磁波の伝搬速度を掛ければ、往復距離が計算できる。とくに、遠くまで測距するためには、パルスの先頭値を大きくし、隣接する異なる物体を区別して認識できる距離分解能を精細にするためには、パルス幅を短くし、異なる物体からの反射パルスが受信端で区別して認識できればよい。

図12のように、UWBパルスは超短時間幅であるから、距離分解能に優れている。また、通信しながら、ユーザーごとに割り当てられたTH系列を受信端で相関を求めることにより、ユーザーごとの反射パルスを区別するだけでなく、1パルスの先頭電力が小さくても相関により複数パルスの電力を集約できるので、測距範囲を延ばせる。

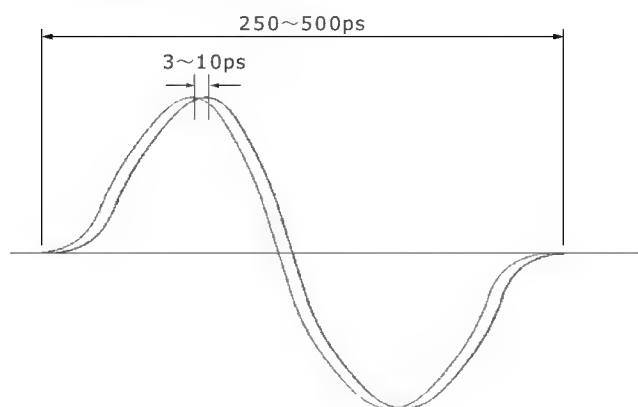
以上のような特徴をUWBはもっているため、学術的にもスペクトル拡散技術との関係や性能解析、各種の改良方式などが必要である。応用面ではUWBの特徴を活かしたシステム開発が期待されている。

一方、UWBは従来、運用に研究開発されてきたが、商用化するためには検討すべき課題がまだ多い。UWBの問題点を下記に示す。

< UWBの問題点 >

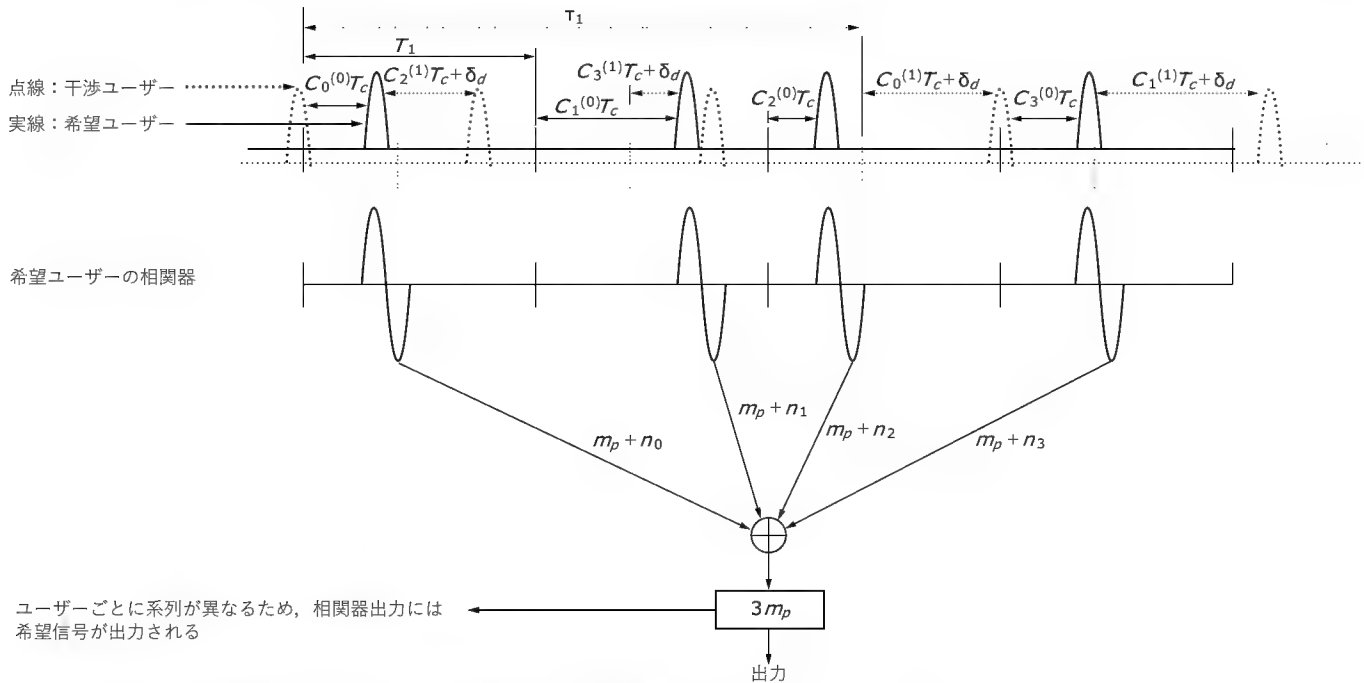
- ① 超広帯域で時間幅の非常に短いパルスを発生させる回路、素子、および超広帯域アンテナ・高周波回路の製造
- ② 受信時のパルス位置ずれの検出精度
- ③ マルチパス環境下でのパルス符号間干渉
- ④ マルチユーザー環境下でのパルス衝突によるユーザー間干渉(システム内干渉)
- ⑤ 周波数共用(共存システム)によるシステム間干渉
- ⑥ 超広帯域スペクトルを利用できる周波数帯が電波法上困難で

〔図12〕送信パルス(パルス信号の到着時間を計測することで、距離を測ることができる)



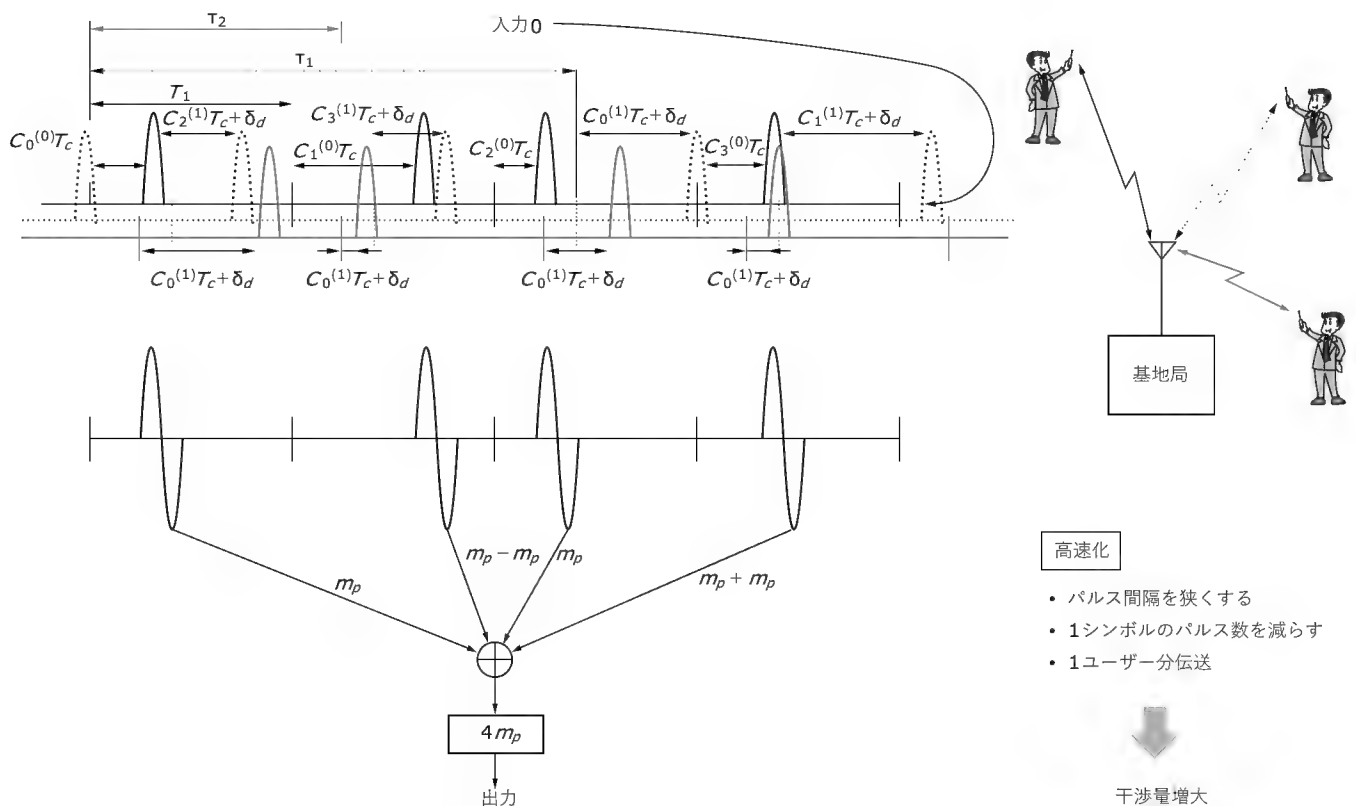
〔図 11〕 多元接続する場合

ユーザーの分離はタイムホッピング系列の違いで行う



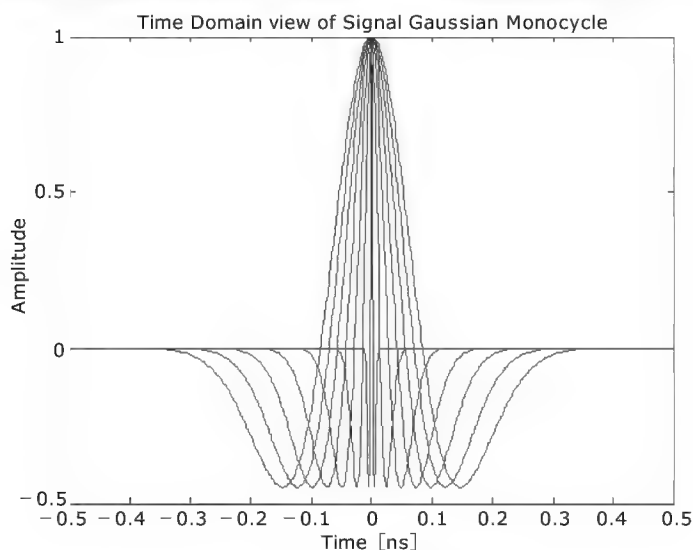
(各パルスをユーザーごとに違うタイムホッピング系列シフトさせて送受信する。
ただし、干渉ユーザーが増えるとパルスのヒット確率が増加し、相関器出力に干渉成分が多く入ることになる)

(a) UWBによるCDMA (ユーザーの分離) の原理

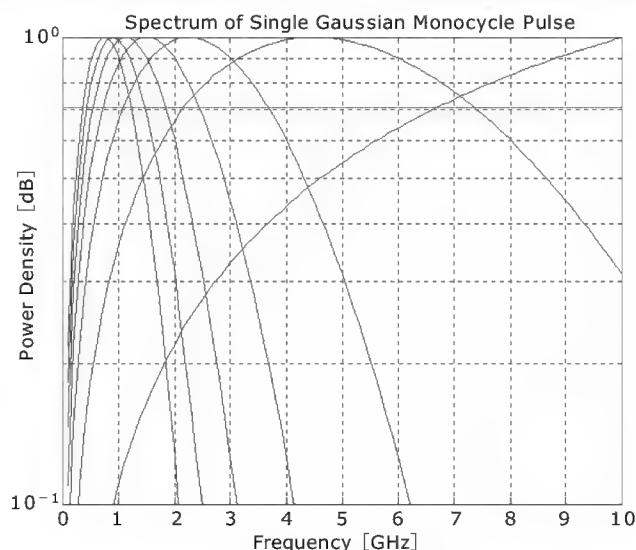


(b) UWB-CDMAにおけるユーザー間干渉

〔図13〕 受信パルス(基本パルス波形によって、周波数分布が決定される。したがってパルス波形を変更することにより、周波数特性を制御できる)



(a) 受信パルスの時間波形



(b) 受信パルスの周波数スペクトル

あった

先に述べたように、UWBはスペクトル拡散通信方式の一種とみなすこともでき、スペクトルの拡散方法が直接拡散方式や周波数ホッピング方式と異なり、超短時間長のインパルスを用いる。そのハードウェア実現形式によって異なるが、従来のスペクトル拡散方式では、GHzオーダの超広帯域にスペクトル拡散することは困難である。すなわち、直接拡散方式でこのような超広帯域の拡散符号を生成する回路を構成するには、高価なハードウェアが必要である。また、周波数ホッピング方式でもそのような超広帯域に周波数をホッピングするシンセサイザは非常に高価なものとなる。したがって、UWBの特徴を活かすためには、超短時間長のパルスを生成するハードウェアとその受信検出器の構成の実現性にかかっているといえる。従来、軍用に研究開発されてきたが、商用化するためには検討すべき課題が未だ多い。

そのほか、インパルス無線によるUWB信号は、搬送波を用いた変調を行わないため、原理的にはベースバンド伝送となり、図13(a)に示すパルス信号波形ごとに信号がもつ周波数成分は図13(b)のように、0Hz(直流)からGHzまでの広帯域スペクトルをもつことになり、UWBのための周波数割り当てや既存の無線システムとの周波数共用などの電波法上の問題も解決しなければならない。

4 UWBの応用

近年、モバイル情報通信システムにおける大容量化、高信頼化、高品質化に対する要求は専門家のみならず、一般にまで広くブームとなり、そのインフラストラクチャを基にした多様なサービスがビジネス化している。すでに、広帯域無線通信システムと

して、Wideband CDMAによるIMT-2000および、その下りリンクのbroadband streamingにHDRが導入され、無線LANにおいても2.4GHz帯のSS(Spread Spectrum)方式によるIEEE801.11bやslow FH(Frequency Hopping)によるBluetooth、さらに5.2GHzのOFDM(Orthogonal Frequency Division Multiplexing)によるHyperLAN2やIEEE802.11aおよびその2.4GHz版といえるIEEE802.11gなどが研究開発され、商用化されている。

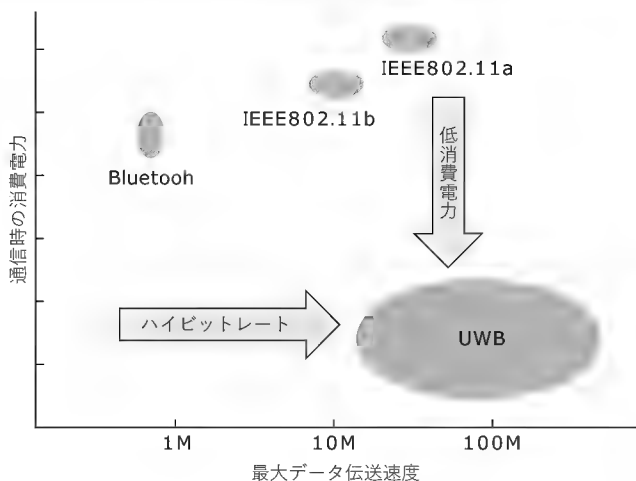
これらの方式では広帯域の変調方式を用い、高速無線伝送を可能としている。一方、搬送波を行わずに非常に広い帯域を占めるインパルス信号で無線伝送するUWB方式が、高周波デバイス、信号処理技術の研究開発により実現性を高め、その理論的可能性に対して先端研究者の間で注目を集めている。

UWB方式は先に述べたように、占有帯域幅は非常に広くなり、スペクトル電力密度は非常に小さくなるため、通常のスペクトル拡散通信と同様で、秘話性・秘匿性に優れ、ほかの狭帯域通信に与える影響は小さい。さらに、パルスの時間幅が非常に小さいため、マルチパスを細かく分解でき、RAKE受信が可能となるので、マルチパスにも強い。さらに、超広帯域に周波数スペクトルが拡散されるので、その特徴が顕著に強調される。

これらの特徴を活かした応用が検討されている。とくに、我が国では、UWBの高速伝送が可能で電波法の送信電力の制限などを考慮すると、現在、Bluetoothなどの技術が用いられている近距離ワイヤレスアドホックネットワークの市場に、Bluetoothよりはるかに高速・ブロードバンドなワイヤレス通信を可能にし、センシング機能などをもつ技術として、UWBがにわかに注目されている。

おもな応用として考えられているものは、室内通信、高速無線LAN、ホームネットワーク、コードレス電話、セキュリティセンサ、位置測定器、レーダなどである。とくに、

〔図 14〕 UWB システムの応用ターゲット



1) 通信

- データ速度：低速(数十 kbps)～超高速(数百 Mbps)
- 通信範囲：数 m 程度(～ 5m)
- “The 3rd generation” Bluetooth ?
⇒無線 PAN(Personal Area Network)へ
- IEEE 802.15(無線 PAN(Personal Area Network))
- TG3(High Rate, 20Mbps 程度まで)での規格を高速化したもの
- おもに家庭内でのデータ伝送
- 近距離での 100Mbps 以上の無線伝送
- Wireless USB(Universal serial bus) 2.0(Intel)
- Data rate : 480Mbps(USB 2.0)
- 米 XtremeSpectrum Inc.と Time Domain Corp.が UWB 技術の提案を行っている

2) レーダ、センサ

- 軍事用途
- 警察・消防向け(スルーウォールセンサなど)
- 高精度測距(衝突防止センサなど)

などが考えられている。

UWB のこうした応用のターゲットを図示すると、図 14 のように、100Mbps 程度の高速ワイヤレスシステムで消費電力を IEEE 802.11a.b.g などと比べて、十分低減でき、バッテリー駆動の携帯システムや、Bluetooth の応用領域がねらわれる。

5 UWB の法制化

UWB の商用化に関する関心が高まるなか、電波法上の問題がクローズアップされてきている。いうまでもなく、UWB の特徴を活かして応用を展開するためには、GHz オーダの広帯域をどこかの周波数帯で利用してよいのか、また、その技術条件は何を考慮して、どのように決めればよいのかなど、多くの課題が残されている。

〔表 1〕 米国 FCC の UWB の規制緩和概要

1998/08	FCC(連邦通信委員会)が UWB を規制緩和するための意見募集(NOI : Notice of Inquiry)を開始
2000/05	FCC が UWB の規制緩和に関する提案書(NPRM : Notice of Proposed Rulemaking)を提出
2001/01	NTIA(National Telecommunication and Information Administration)が GPS 以外の Federal Government Systems への UWB システムの影響に関する試験結果を公表
2001/02	NTIA が GPS 受信機へも UWB システムの影響に関する試験結果を公表
2002/02	FCC が UWB の利用に踏み切る(First Report & Order)

(「控えめな」規制緩和——今後さらに規制の緩和を検討)

5.1 米国 FCC による UWB 信号に関する規制

UWB の商用化に積極的な米国の状況を、表 1 にまとめる。

2002 年 2 月 14 日に米国 FCC が行った UWB 商用利用承認(詳細は次の URL 参照。 <http://www.watch.impress.co.jp/internet/www/article/2002/0215/uwb.htm>)に関連して、国内外で商用化に向けた電波法の改正などの検討が進みつつある。まず、米国におけるこれまでの状況は、次のように整理できる。

< UWB 規制に関する FCC のこれまでの状況 >

① 組織的な許可帯域外の放射は許可されていないが、FCC は無免許システムを基本とした UWB の商用化を許可する方針で検討を進めている。そのためには、組織的な放射に関する FCC の規制 Part 15 を放棄する必要がある。

② FCC 承諾が保留されてきた(part 15 of ET Docket No. 98-153)

現状の RF チャネル割り当て制限は、今後はもはや適用されない見込みである。一方、FCC は GPS などの既存システムを有害な干渉から保護するための方策を検討中である。新規制を適用する前に、試験や解析のための十分な機会を設定することを明示してきた。

③ こうした試みは、周波数資源の有効利用に大きな貢献を果たすとともに商用 UWB システムの本格導入に大きな牽引力となる。

米国 FCC が定める規制 Part.5 について要約すると、次のように整理できる。

< FCC Part.15 規制 >

① FCC Part 15 制限の原則。微弱電波設備：ライセンス不要、周波数帯ごとの放射電力制限

② FCC の UWB に関する規制案

(a) Communication and Measurement Systems

周波数帯：3.1GHz～10.6GHz

Indoor と Outdoor で条件が異なる

(Indoor) 全帯域： -41.3dBm/MHz 以下で、室内の場合
は Peer-to-peer 型の通信に限定

(Outdoor) 帯域ごとに制限緩和

(b) Imaging Systems

地中探査用レーダ、壁の内部探査用、医療用、セキュリティ
用途など(利用者に制限あり)

周波数帯： 960MHz 以下、 1.99GHz または $3.1\text{GHz} \sim 10.6\text{GHz}$

UWB Emission 制限

(c) Vehicular Radar Systems

自動車の衝突防止用レーダなど

周波数帯：中心周波数が 24.075GHz 以上、 22GHz と 29GHz
帯域

③ FCC の無免許組織的電力放射の制限

● $f < 960\text{MHz}$: 12nW/MHz (-49.3dBm/MHz)

● $f > 960\text{MHz}$: 75nW/MHz (-41.3dBm/MHz)

④ FCC の非組織的電力放射の制限

● Class A デバイス：商業、工業、ビジネス市場

Class A 制限： $f < 960\text{MHz}$: 147nW/MHz
(-38.3dBm/MHz)

● Class B デバイス：家庭、住居市場

Class B 制限：無免許組織的電力放射制限と同じ、

たとえば 2.4GHz 帯で、 1GHz の帯域幅で、UWB 送信機から
送信できる最大送信電力は -11.3dBm を越えられない。ピーク
電力と密度電力の制限以外に考慮すべき重要なパラメータとし
ては、電界強度、デューティ・サイクル、パルス繰り返し周波
数、変調方式、アンテナ利得などを考慮する必要がある。

欧州の ETSI における基本的な規制は、FCC と同等である。

* *

UWB の商用化に関する FCC のこのような議論のなかで、も

っとも議論が行われている問題は、既存の無線応用システムに
対して UWB システムが与える干渉問題である。この点につい
ては、次のように検討が進んでいる。

< UWB が干渉を避けるべき周波数帯域 >

① 基本要件

● UWB システムとともに雑音に関する制限も同時に制度化す
る必要がある

● 既存の従来からのシステムと共存を考慮する必要がある、と
くに、低電力の干渉に対しても敏感なシステムに対する影響
を考慮すべきである

● とくに電波天文、GPS、UMTS、航空システムなどのシス
テムに対しては、周波数共用を禁止するか、十二分に制限する
必要がある

● 運用が制限されている 65 帯域がある

② GPS への干渉

● 衛星からの地上受信信号電力はおおむね： -134dBm ($10 \sim$
 16W)

● 典型的な GPS 受信感度： $-135\text{dBm}@1575.42\text{MHz}$

● UWB 信号による干渉は、 $30 \sim 100\text{m}$ の近距離で問題となる

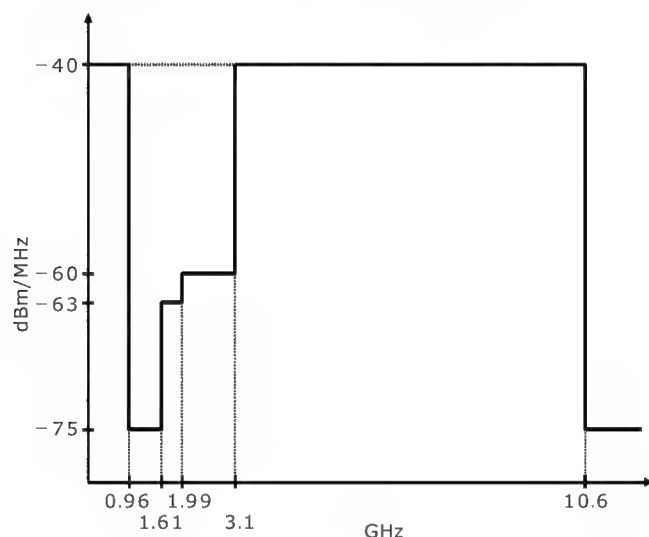
● したがって、UWB 信号の帯域を厳しく制限するか、干渉抑圧
機能をもつ UWB 送信機の改良が必要

③ 電波天文への干渉

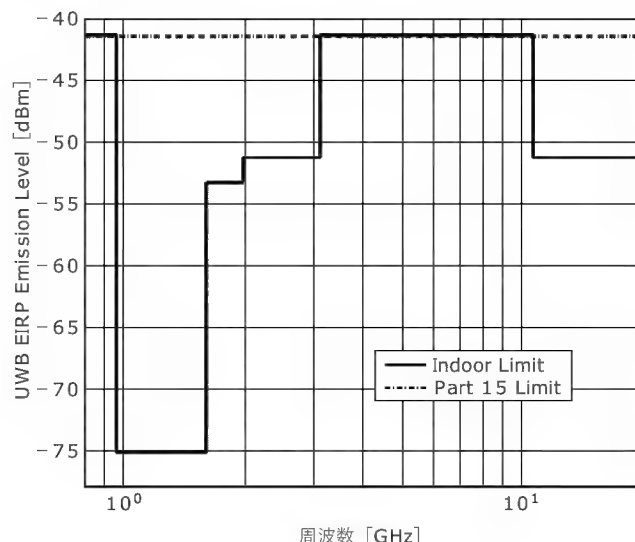
● 電波天文は、宇宙からのきわめて微弱な電気信号を頼りに天
文現象を観測するため、従来からマイクロ波、ミリ波帯の無
線通信システムが急増する中で、観測に与える干渉が顕著と
なり、国際機関 URSI の General Assembly などでもその対策
が議題となっている

● UWB 信号はとくに広帯域にわたる尖塔電力の高いパルス信
号であるために、電波天文に与える干渉が危惧されている

〔図 15〕 米国 FCC の UWB 信号に対する放射電力規制 (GPS やセルラーの $1 \sim 2\text{GHz}$ 帯域に対してとくに制限が厳しい)

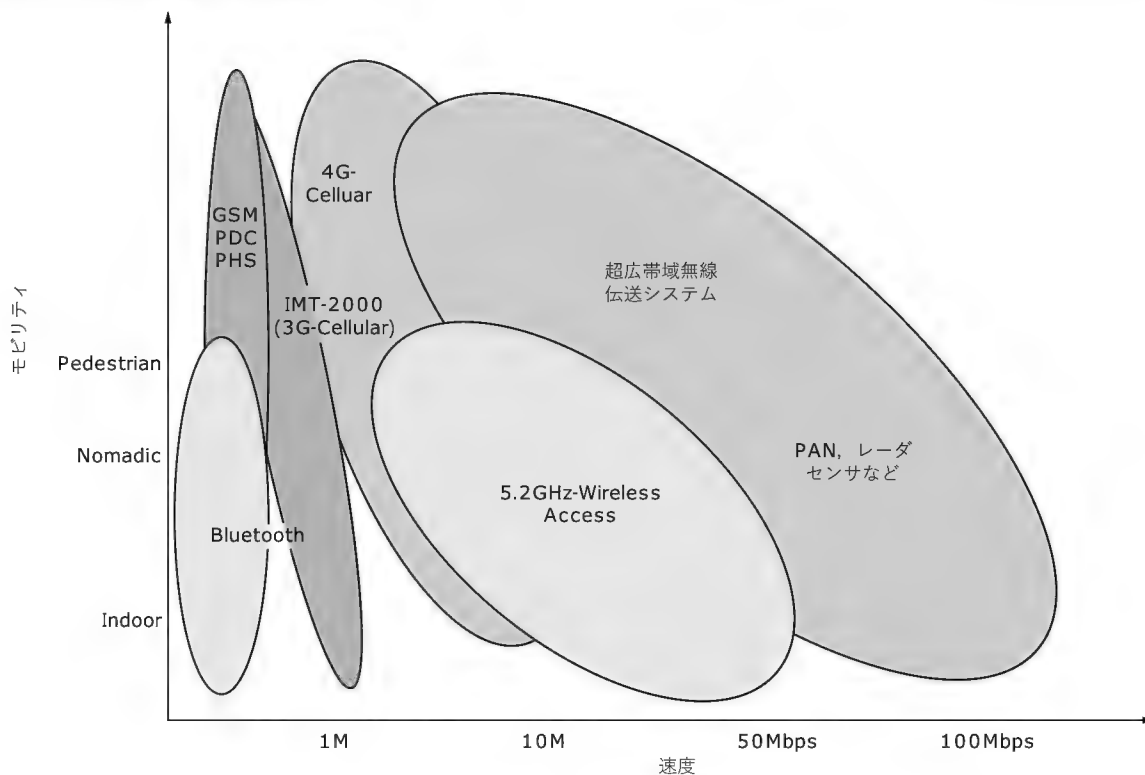


(a) 屋内伝搬の規制



(b) 屋外伝搬の規制

〔図 16〕 UWB システムの位置付け(速度対モビリティ)



このような状況を考慮し、FCC は現在、UWB 用の周波数帯や関連する技術条件を検討し、UWB 商用化を支援する視点で、具体案を策定中である。その一端を下記に示す。

< FCC の UWB に関する規制案 >

① Communication and Measurement Systems

- 周波数帯：3.1GHz～10.6GHz〔図 15(a)〕
- 室内、Peer-to-peer 型の通信に限定〔図 15(b)〕

② Imaging Systems

- 地中探査用レーダ、壁の内部探査用、医療用、セキュリティ用途など(利用者に制限あり)
- 960MHz 以下、1.99GHz または 3.1GHz～10.6GHz

③ Vehicular Radar Systems

- 自動車の衝突防止用レーダなど
- 中心周波数が 24.075GHz 以上

この FCC の活動と連動して、米国の業界団体 NTIA や他の政府関係機関などでは、見解を次のように示している。

① NTIA におけるテスト結果と見解

- (米)政府関係のシステムへの影響
- 400MHz～6.0GHz 帯を実験対象
- 3.1GHz 以下での UWB システムの運用には否定的
- GPS 受信機への影響
- 特別な Recommendation はなし

② 米政府関係機関の見解

- 米国防省は 4.2GHz 帯より高い周波数帯での UWB の商用利用を認める妥協案

- FAA, NASA は依然として 6GHz 帯以下における商用 UWB 無線システムの運用に難色

5.2 独立行政法人通信総合研究所の UWB プロジェクトと産学官コンソーシアム

一方、我が国では、こうした米国主導の UWB 商用化に対して、産業界の要請ををふまえ、各種の動きが見られるが、統一的なものは少なかった。これに対し、独立行政法人通信総合研究所(CRL：Communication Research Laboratory)においては、UWB に特化した R&D グループの準備が 2002 年 5 月から進められ、8 月に UWB プロジェクトを遂行する UWB 結集型特別グループが発足し、マイクロ波からミリ波にいたる UWB の研究開発から技術基準策定などを包括的に遂行し、CRL を中心として横須賀リサーチパーク：YRP に UWB 産学官コンソーシアムが結成され、UWB に関する電波制度における国際協調や我が国の UWB 商品化に関する産業界への貢献をおもな目的として、産学官連携による共同研究開発が進められている。

UWB システムの位置付けを図 16 に、システム間の比較を表 2 に示す。

1) UWB 産学官コンソーシアムの目的

- 超広帯域ワイヤレスアクセスシステムの研究開発
- テストベッドを用いたマイクロ波システム(960MHz, 3.1GHz～10.6GHz 帯, 22GHz～29GHz 帯)の実験による検証実証

〔表2〕システム間の比較

項 目	超広帯域無線システムの目標	Bluetooth	Bluetooth Ver.2	5.2GHz 移動アクセス	60GHz 帯免許不要システム (※2)
ユーザー速度	100Mbps 以上	最大 721kbps	2Mbps 程度 (※1)	最大 54Mbps	Home-link で 1.6Gbps 程度
通信距離	10 m 程度	10 ～ 100 m 程度	10 ～ 100 m 程度	数 100 m	10 m 程度
短 所	短距離通信	低データ速度		消費電力	ハードウェアコスト
特 徴	<ul style="list-style-type: none"> ●低消費電力 ●Ad-Hoc ●低価格 ●高速伝送 ●測距・測位 	<ul style="list-style-type: none"> ●Ad-Hoc ●低価格 	<ul style="list-style-type: none"> ●Ad-Hoc ●低価格 	屋内利用に限定	高速伝送

※1 : http://www.ericsson.co.jp/products/bluetooth_ip/faq/faq_02c.html#33

※2 : 電技審 60GHz 帯無線設備委員会資料の一例

- 未利用周波数帯(準ミリ波～ミリ波帯)の研究開発
- 高速データ伝送(100Mbps 以上)を達成し得る, 低コスト化送受信モジュール, 通信方式の確立
- 情報技審/ARIB などにおける標準化への寄与

2) UWB コンソーシアムにおける主要研究課題

- 周波数共用化技術
- 超広帯域アドホック通信方式
- 高速(100Mbps 以上)伝送技術
- 超広帯域マイクロ波・ミリ波デバイス技術
- 超広帯域マイクロ波・ミリ波アンテナ技術
- 電波伝搬特性の解明およびモデル化
- 干渉波抑圧・除去方式
- 高速パルス信号処理技術(RF 帯, BB 帯)
- 位置測定方式

3) UWB コンソーシアムの共同研究の進め方

- 契約形態
 - (a) YRP 研究開発協議会において参加企業を募る
 - (b) 企業は CRL と 1 : N の共同研究契約を締結
- マイクロ波方式に関する共同研究
 - (a) 平成 14 年 11 月より平成 16 年 3 月までの約 1.5 年間
- ミリ波方式に関する共同研究
 - (a) 平成 14 年 11 月より平成 18 年 3 月までの約 3.5 年間

6 UWBの研究開発課題とまとめ

本章では, インパルス無線による UWB の原理, 特徴, 応用, 法規制などについて紹介してきた。UWB は未だ研究段階にあり, 商用化のために解決すべき課題が山積している。その研究課題は, 先に述べた UWB の問題点を解決することに集約される。技術的な問題点については, 多くの研究者が新たに取り組むべき問題として注目し, UWB に特化した国際会議 UWBST b2(<http://www.uwbst2002.com/>) も 2002 年 5 月に米国 Baltimore で開催され, 米国ばかりでなく, 欧州, 日本から先進的な研究成果が報告されている。

筆者らは, 比較的早い時期から UWB の研究に着手し, 研究契約などの問題もあるが, まとまった研究成果を最近外部に報

告してきている。その一つとして, 従来のスペクトル拡散方式である直接拡散(DS)方式や周波数ホッピング方式(FH)などとの関係や比較についても紹介してきた。

< UWB と SS との比較 >

DS-SS と UWB を占有帯域幅, 伝送速度を同一にした場合に誤り率特性を比較しよう。

1) DS-SS の BER 理論式

$$SNR = \frac{1}{\frac{K-1}{3N} - \frac{N_0}{2E_b}}$$

N : 1 ビット時間中のチップ数

K : ユーザー数

$$BER = \frac{1}{2} \operatorname{erfc} \left(\sqrt{\frac{SNR}{2}} \right)$$

2) FH-SS の BER 理論式

$$BER = \frac{1}{2} \left(1 - \frac{1}{k} \right)^{M-1} \operatorname{erfc} \left(\sqrt{\frac{S}{2N}} \right) + \frac{1}{2} \sum_{i=1}^{M-1} \left(\frac{1}{k} \right)^{M-i} C_i \operatorname{erfc} \left(\sqrt{\frac{S}{2N+S_i}} \right)$$

K : ホッピング周波数の個数(850)

M : ユーザー数

S : 信号エネルギー

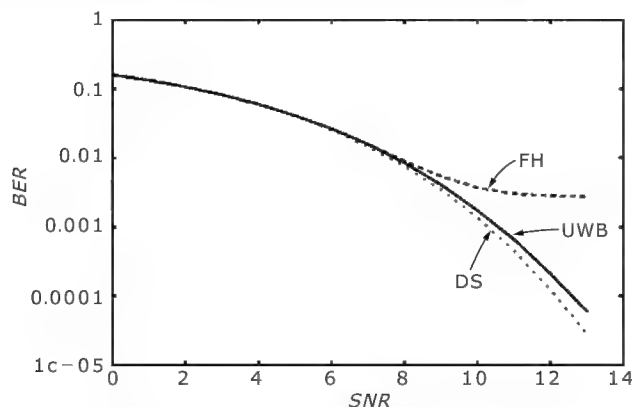
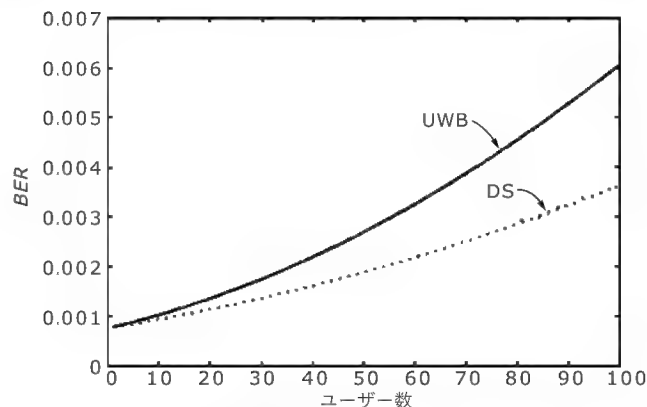
N : 雑音エネルギー

erfc : ガウスの誤り関数

伝送速度 3.125Mbps, ユーザー数 30, 周波数帯域幅(ピーク値から 3dB 下がる帯域幅) 3.2GHz とした場合の DS-SS, FH-SS と UWB の BER 特性を図 17(a) に示す。これより, もし従来の SS 方式で UWB 方式と同程度の帯域幅に信号スペクトルを拡散できれば, DS も FH も UWB とビット誤り率(BER)特性はあまりかわらないことがわかる。しかし, FH はユーザー数が増えるユーザーごとに各時点で用いる周波数が衝突(ヒット)しやすくなるため, 信号対雑音平均電力比(SNR)を大きくしても, 誤り率(BER)は改善されなくなる。

図 17(b) に, ユーザー数が増加した場合の UWB 方式と DS 方式の BER を示している。これから, UWB 方式は一種のタイム

〔図 17〕 UWB システムと従来の SS システム (DS, FH) の性能比較

(a) S/N 比対 BER (ビット誤り率) 特性 (伝送速度 3.125Mbps, ユーザー数 30, 周波数帯域幅 3.2GHz)(b) 同時利用ユーザー数対 BER (ビット誤り率) 特性 (伝送速度 3.125Mbps, $SNR = 30\text{dB}$, 周波数帯域幅 3.2GHz)

ホッピング (TH) 方式であるため, FH 方式と同様にユーザー数が増加すると, ユーザー間のパルスの衝突が増加するため, SNR を改善しても BER は改善されなくなる。

このことから, UWB 方式についても周波数利用効率を向上させるには, 衝突を軽減する各種の技術が必要となる。しかし当初は, 理論的限界ほどのユーザー数をサービスするような応用は現時点では想定されていない。また, DS 方式や FH 方式で UWB 方式と同等の超広帯域へ拡散することは, 経済的には困難である。

これらの理解に基づき, 筆者らの研究成果として, UWB の問題点を解決する方式, とくに, 多元接続における干渉問題の解消法として, UWB マルチユーザー受信法, マルチパス環境下での対処法として, RAKE 受信法, 高効率伝送のための多値化, 多元接続法などについて研究開発を行ってきた。今後はさらに, 商用化に必要な技術基準や技術条件適合証明のための測定法などの研究も必要と考える。

参考文献

- 1) Moe Z. Win, Robert A. Scholtz, "Ultra-Wide Bandwidth Time-Hopping Spread-Spectrum Impulse Radio for Wireless Multiple-Access Communications", *IEEE Transactions on Communications*, Vol.48, No.4, pp679-691, April 2000
- 2) J.M.Cramer, R.A.Scholtz, M.Z.Win, "On the analysis of UWB communication channels", pp.1191-1195, *Proc. IEEE Military Communications Conf.* 1999
- 3) F.Ramirez-Mireles, R.A.Scholtz, "Multiple access performance limits with time-hopping and pulse position modulation", pp.529-533 *Proc. IEEE Military Communication Conf.* 1998
- 4) 江島, 梅林, 水谷, 河野, 「Impulse Radio (UWB) の多値化とマルチユーザー用干渉除去方式の一検討」, 『信学技報』, SST2001-16, April 2001
- 5) 丸林 元, 中川 正雄, 河野 隆二共著, 「スペクトル拡散とその応用」, 信学会, May 2000

こうの・りゅうじ kohno@ynu.ac.jp 横浜国立大学大学院

x86CPUだけでもマスタしたい

開発技術者のためのアセンブラ入門

第15回 2進演算命令の加減算

大貫広幸

今回と次回の2回で、x86系の32ビットCPUで使用できる算術命令について説明します。

2進算術命令

算術命令は、算術演算 (arithmetic operation) を行う命令で、加減乗除などの四則演算などのことをいいます。

算術命令は、分類上「2進算術命令」と「10進算術命令」に分けられます。

2進算術命令は、2進数で表される整数値に対する演算命令です。そして、10進算術命令は、BCDで表される10進数の整数値に対する演算命令となります。

2進算術命令は、汎用レジスタあるいはメモリ上にある2進数

で表される整数値に対して加減乗除の四則演算を行うものです。

扱える2進整数は、386以降の32ビットCPUでは、8ビット長のバイト整数、16ビット長のワード整数、そして32ビット長のダブルワード整数の3種類です。

符号については、符号付き整数と符号なし整数の両方を扱うことができます。そして、符号付き整数の負数は、2の補数で値を表します。

2進算術命令では、機械語命令を実行すると、演算結果にしたがいステータスフラグ (OF, SF, ZF, AF, PF, CF) が設定されます。そのため、2進算術命令実行後、ステータスフラグを見ることで、演算結果の状態を知ることができます。

これは、先に述べたCMOVcc命令や後の回で説明するSETcc命令、そして条件ジャンプ命令などの判断条件として使用されます。

2進算術命令には、加算関係の命令としてADD, ADC, INCの3命令、減算関係の命令としてSUB, SBB, CMP, NEG, DECの5命令、乗算関係の命令としてMUL, IMULの2命令、そして除算関係の命令としてDIV, IDIVの2命令、合計12個の命令があります。

今回はこのうち、表1に示す2進算術命令の加減算に関する8命令について説明します。

〔表1〕x86系の32ビットCPUで使用できる2進加減算命令

分類	インストラクション名	動作	影響を受けるフラグ					
			OF	SF	ZF	AF	PF	CF
2進算術命令	ADD	Add 2進数による加算 DEST ← DEST + SOU	*	*	*	*	*	*
	ADC	Add with Carry 2進数によるキャリを含む加算 DEST ← DEST + SOU + CF	*	*	*	*	*	*
	INC	Increment 2進数による1の加算 DEST ← DEST + 1	*	*	*	*	*	.
	SUB	Subtract 2進数による減算 DEST ← DEST - SOU	*	*	*	*	*	*
	SBB	Subtract with Borrow 2進数によるボローを含む減算 DEST ← DEST - (SOU + CF)	*	*	*	*	*	*
	CMP	Compare 2進数による二つのオペランドの大小比較 SOU1 - SOU2	*	*	*	*	*	*
	NEG	Negate オペランドの2進数の値を2の補数した値で置き換える DEST ← - DEST	*	*	*	*	*	*
	DEC	Decrement 2進数による1の減算 DEST ← DEST - 1	*	*	*	*	*	.

▶表中のDESTはdestination(先)、SOUはsource(元)

▶表中の影響を受けるフラグの記号は次の状態を表す

・ = 変化しない * = 結果にしたがい変化する

2進算術命令の加算命令

加算関係の命令としてADD, ADC, INCの3命令があります。

● ADD 命令

ADD命令は、オペランドの転送先をDEST、転送元をSOUで表すと、

DEST ← DEST + SOU

という加算を行います。

転送先 (DEST) には汎用レジスタやメモリ上の値が指定できます。そして、転送元 (SOU) には汎用レジスタやメモリ上の値、イミディエイトが指定できます。

ただし、メモリ上の値は、二つ指定できないため、一つオペランドでメモリ上の値を指定した場合は、もう一方

のオペランドは、汎用レジスタかイミディエイトとなります。

そのため、演算のバリエーションは、

- 汎用レジスタ ← 汎用レジスタ + 汎用レジスタ
- 汎用レジスタ ← 汎用レジスタ + メモリ
- メモリ ← メモリ + 汎用レジスタ
- 汎用レジスタ ← 汎用レジスタ + イミディエイト
- メモリ ← メモリ + イミディエイト

となります。

ADD 命令実行後、ステータスフラグ(OF, SF, ZF, AF, PF, CF)は、演算結果にしたがい設定されます。ADD 命令自体は、符号なし、符号付きの両方の演算に使用します。

そのため、ステータスフラグも符号なし、符号付きの両方の演算の結果を表すことになります。

符号に関係のないフラグとしては、結果がゼロになった場合の ZF、結果が偶数パリティになった場合の PF、加算の結果、最上位ビットからの桁上りの発生を示す CF と、ビット 3 からの桁上りの発生を示す AF があります。

符号なしに関係する結果としては、CF が符号なし演算の結果、オーバーフローしたことを示すフラグとしても使用されます。

符号付きに関係する結果としては、OF がオーバーフローを表し、SF が負数を表しています。

実際の MASM での ADD 命令の記述例をリスト 1(次頁)に、gas での ADD 命令の記述例をリスト 2(p.117)に示します。

● ADC 命令

ADC 命令は、オペランドの転送先を DEST、転送元を SOU で表すと、

$$\text{DEST} \leftarrow \text{DEST} + \text{SOU} + \text{CF}$$

という加算を行います。CF は、ステータスフラグの CF です。

ADC 命令のオペランドの指定は、ADD 命令とまったく同じです。そのため、演算のバリエーションは、

- 汎用レジスタ ← 汎用レジスタ + 汎用レジスタ + CF
- 汎用レジスタ ← 汎用レジスタ + メモリ + CF
- メモリ ← メモリ + 汎用レジスタ + CF
- 汎用レジスタ ← 汎用レジスタ + イミディエイト + CF
- メモリ ← メモリ + イミディエイト + CF

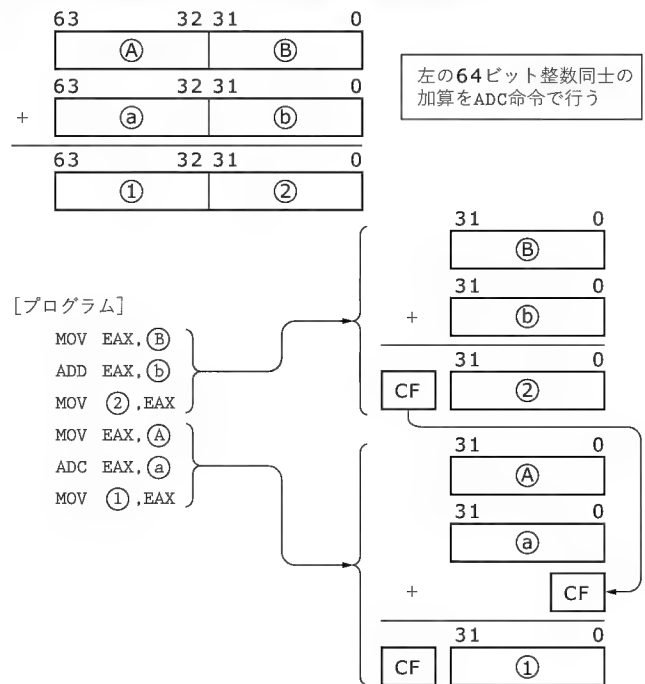
となります。

ADC 命令実行後、ステータスフラグ(OF, SF, ZF, AF, PF, CF)は、演算結果にしたがい設定されます。ステータスフラグの設定のされ方も、ADD 命令とまったく同じになっています。

実際の MASM での ADC 命令の記述例をリスト 1、gas での ADC 命令の記述例をリスト 2 に示します。

ADC 命令は、32 ビット長のダブルワード整数よりビット数が多い整数値の加算に使用します。たとえば、図 1 のような 64 ビット長のクワッドワードで表される整数の加算なら、まず下位のダブルワード同上进行して ADD 命令で加算し、次に上位のダブルワード同上进行して ADC 命令で加算することで、64 ビット長の加算が行えます。

〔図 1〕 ADC 命令による 64 ビット整数同士の加算の例



このように、ADC 命令を必要な回数使うことで、ビット数が多い整数値の加算も行うことが可能となります。

● INC 命令

INC 命令のオペランドは転送先一つで、オペランドで指定された転送先の汎用レジスタあるいはメモリ上の値を + 1 する命令です。

つまり、オペランドの転送元を DEST で表すと、

$$\text{DEST} \leftarrow \text{DEST} + 1$$

という加算を行います。

INC 命令を実行すると、CF を除くステータスフラグ(OF, SF, ZF, AF, PF)は、演算結果にしたがい設定されます。つまり、INC 命令では CF は変化しません。そのため、INC 命令の実行により最上位ビットからの桁上りが発生した場合でも、その桁上りは CF には設定されません。

実際の MASM での INC 命令の記述例をリスト 1 に、gas での INC 命令の記述例をリスト 2 に示します。

2 進算術命令の減算命令

減算関係の命令として SUB, SBB, CMP, NEG, DEC の五つの命令があります。

● SUB 命令

SUB 命令は、オペランドの転送先を DEST、転送元を SOU で表すと、

$$\text{DEST} \leftarrow \text{DEST} - \text{SOU}$$

という減算を行います。

転送先(DEST)には汎用レジスタやメモリ上の値が指定でき

〔リスト1〕 MASMのADD, ADC, INC 命令の記述例

		.586
		.model flat
00000000		.data
00000000	01	dtByte db 1
00000001	0002	dtWord dw 2
00000003	00000004	dtDWord dd 4
00000000		.code
		;*****
		; ADD
		;*****
		; 汎用レジスタ←汎用レジスタ + 汎用レジスタ
00000000	02 F8	add bh,al
00000002	66 03 DF	add bx,di
00000005	03 F9	add edi,ecx
		; 汎用レジスタ←汎用レジスタ + メモリ
00000007	02 1D 00000000 R	add bl,dtByte
0000000D	66 03 35	add si,dtWord
	00000001 R	
00000014	03 0D 00000003 R	add ecx,dtDWord
		; メモリ←メモリ + 汎用レジスタ
0000001A	00 35 00000000 R	add dtByte,dh
00000020	66 01 0D	add dtWord,cx
	00000001 R	
00000027	01 1D 00000003 R	add dtDWord,ebx
		; アキュムレータ←アキュムレータ + イミディエイト
0000002D	04 12	add al,12h
0000002F	66 05 1234	add ax,1234h
00000033	05 12345678	add eax,12345678h
		; 汎用レジスタ←汎用レジスタ + イミディエイト
00000038	80 C7 12	add bh,12h
0000003B	66 81 C1 1234	add cx,1234h
00000040	81 C7 12345678	add edi,12345678h
		; メモリ←メモリ + イミディエイト
00000046	80 05 00000000 R	add dtByte,12h
	12	
0000004D	66 81 05	add dtWord,1234h
	00000001 R	
	1234	
00000056	81 05 00000003 R	add dtDWord,12345678h
	12345678	
		;*****
		; ADC
		;*****
		; 汎用レジスタ←汎用レジスタ + 汎用レジスタ + CF
00000060	12 F8	adc bh,al
00000062	66 13 DF	adc bx,di
00000065	13 F9	adc edi,ecx
		; 汎用レジスタ←汎用レジスタ + メモリ + CF
00000067	12 1D 00000000 R	adc bl,dtByte
0000006D	66 13 35	adc si,dtWord
	00000001 R	
00000074	13 0D 00000003 R	adc ecx,dtDWord
		; メモリ←メモリ + 汎用レジスタ + CF
0000007A	10 35 00000000 R	adc dtByte,dh
00000080	66 11 0D	adc dtWord,cx
	00000001 R	
00000087	11 1D 00000003 R	adc dtDWord,ebx
		; アキュムレータ←アキュムレータ + イミディエイト + CF
0000008D	14 12	adc al,12h
0000008F	66 15 1234	adc ax,1234h
00000093	15 12345678	adc eax,12345678h
		; 汎用レジスタ←汎用レジスタ + イミディエイト + CF
00000098	80 D7 12	adc bh,12h
0000009B	66 81 D1 1234	adc cx,1234h
000000A0	81 D7 12345678	adc edi,12345678h
		; メモリ←メモリ + イミディエイト + CF
000000A6	80 15 00000000 R	adc dtByte,12h
	12	
000000AD	66 81 15	adc dtWord,1234h
	00000001 R	
	1234	
000000B6	81 15 00000003 R	adc dtDWord,12345678h
	12345678	
		;*****
		; INC
		;*****
000000C0	FE C1	inc cl
000000C2	66 41	inc cx
000000C4	41	inc ecx
000000C5	FE 05 00000000 R	inc dtByte
000000CB	66 FF 05	inc dtWord
	00000001 R	
000000D2	FF 05 00000003 R	inc dtDWord
		end

アキュムレータに対するイミディエイトの加算は専用の機械語命令をもっているため、他の汎用レジスタに対する加算より多少機械語のバイト数が短くなる

〔リスト2〕 gas の ADD, ADC, INC 命令の記述例

1	.data		38	# 汎用レジスタ + 汎用レジスタ + CF → 汎用レジスタ
2			39	0060 10C7 adcb %al,%bh
3	0000 01 dtByte: .byte 1		40	0062 6611FB adcw %di,%bx
4	0001 0200 dtWord: .word 2		41	0065 11CF adcl %ecx,%edi
5	0003 04000000 dtDWord: .long 4		42	# 汎用レジスタ + メモリ + CF → 汎用レジスタ
6			43	0067 121D0000 adcb dtByte,%bl
7	.text		43	0000
8	#*****		44	006d 66133501 adcw dtWord,%si
9	# ADD		44	000000
10	#*****		45	0074 130D0300 adcl dtDWord,%ecx
11	# 汎用レジスタ + 汎用レジスタ → 汎用レジスタ		45	0000
12	0000 00C7 addb %al,%bh		46	# メモリ + 汎用レジスタ + CF → メモリ
13	0002 6601FB addw %di,%bx		47	007a 10350000 adcb %dh,dtByte
14	0005 01CF addl %ecx,%edi		47	0000
15	# 汎用レジスタ + メモリ → 汎用レジスタ		48	0080 66110D01 adcw %cx,dtWord
16	0007 021D0000 addb dtByte,%bl		48	000000
16	0000		49	0087 111D0300 adcl %ebx,dtDWord
17	000d 66033501 addw dtWord,%si		49	0000
17	000000		50	# アキュムレータ + イミディエイト + CF → アキュムレータ
18	0014 030D0300 addl dtDWord,%ecx		51	008d 1412 adcb \$0x12,%al
18	0000		52	008f 66153412 adcw \$0x1234,%ax
19	# メモリ + 汎用レジスタ → メモリ		53	0093 15785634 adcl \$0x12345678,%eax
20	001a 00350000 addb %dh,dtByte		53	12
20	0000		54	# 汎用レジスタ + イミディエイト + CF → 汎用レジスタ
21	0020 66010D01 addw %cx,dtWord		55	0098 80D712 adcb \$0x12,%bh
21	000000		56	009b 6681D134 adcw \$0x1234,%cx
22	0027 011D0300 addl %ebx,dtDWord		56	12
22	0000		57	00a0 81D77856 adcl \$0x12345678,%edi
23	# アキュムレータ + イミディエイト → アキュムレータ		57	3412
24	002d 0412 addb \$0x12,%al		58	# メモリ + イミディエイト + CF → メモリ
25	002f 66053412 addw \$0x1234,%ax		59	00a6 80150000 adcb \$0x12,dtByte
26	0033 05785634 addl \$0x12345678,%eax		59	000012
26	12		60	00ad 66811501 adcw \$0x1234,dtWord
27	# 汎用レジスタ + イミディエイト → 汎用レジスタ		60	00000034
28	0038 80C712 addb \$0x12,%bh		60	12
29	003b 6681C134 addw \$0x1234,%cx		61	00b6 81150300 adcl \$0x12345678,dtDWord
29	12		61	00007856
30	0040 81C77856 addl \$0x12345678,%edi		61	3412
30	3412		62	#*****
31	# メモリ + イミディエイト → メモリ		63	# INC
32	0046 80050000 addb \$0x12,dtByte		64	#*****
32	000012		65	00c0 FEC1 incb %cl
33	004d 66810501 addw \$0x1234,dtWord		66	00c2 6641 incw %cx
33	00000034		67	00c4 41 incl %ecx
33	12		68	00c5 FE050000 incb dtByte
34	0056 81050300 addl \$0x12345678,dtDWord		68	0000
34	00007856		69	00cb 66FF0501 incw dtWord
34	3412		69	000000
35	#*****		70	00d2 FF050300 incl dtDWord
36	# ADC		70	0000
37	#*****			

ます。そして、転送元(SOU)には汎用レジスタやメモリ上の値、イミディエイトが指定できます。

ただし、メモリ上の値は、二つ指定できないため、一つのオペランドでメモリ上の値を指定した場合は、もう一方のオペランドは、汎用レジスタかイミディエイトとなります。

そのため、演算のバリエーションは、

- 汎用レジスタ ← 汎用レジスタ - 汎用レジスタ
- 汎用レジスタ ← 汎用レジスタ - メモリ
- メモリ ← メモリ - 汎用レジスタ
- 汎用レジスタ ← 汎用レジスタ - イミディエイト
- メモリ ← メモリ - イミディエイト

となります。

SUB 命令実行後、ステータスフラグ(OF, SF, ZF, AF, PF, CF)は、演算結果にしたがい設定されます。SUB 命令自体は、符号なし、符号付きの両方の演算に使用します。

そのため、ステータスフラグも符号なし、符号付きの両方の

演算の結果を表すことになります。

符号に関係のないフラグとしては、結果がゼロになった場合の ZF、結果が偶数パリティになった場合の PF、減算の結果、最上位ビットの桁借りの発生を示す CF と、ビット 3 の桁借りの発生を示す AF があります。

符号なしに関係する結果としては、CF が符号なし演算の結果、オーバフローしたことを示すフラグとしても使用されます。

符号付きに関係する結果としては、OF がオーバフローを表し、SF が負数を表しています。

実際の MASM での SUB 命令の記述例をリスト 3(次頁)、gas での SUB 命令の記述例をリスト 4(p.120)に示します。

● SBB 命令

SBB 命令は、オペランドの転送先を DEST、転送元を SOU で表すと、

$$\text{DEST} \leftarrow \text{DEST} - (\text{SOU} + \text{CF})$$

という減算を行います。CF は、ステータスフラグの CF です。

〔リスト3〕 MASMのSUB, SBB, CMP, NEG, DEC命令の記述例

		.586	
		.model flat	
00000000		.data	
00000000	01	dtByte db	1
00000001	0002	dtWord dw	2
00000003	00000004	dtDWord dd	4
00000000		.code	

		; SUB	

		; 汎用レジスタ←汎用レジスタ - 汎用レジスタ	
00000000	2A F8	sub	bh,al
00000002	66 2B DF	sub	bx,di
00000005	2B F9	sub	edi,ecx
		; 汎用レジスタ←汎用レジスタ - メモリ	
00000007	2A 1D 00000000 R	sub	bl,dtByte
0000000D	66 2B 35	sub	si,dtWord
	00000001 R		
00000014	2B 0D 00000003 R	sub	ecx,dtDWord
		; メモリ←メモリ - 汎用レジスタ	
0000001A	28 35 00000000 R	sub	dtByte,dh
00000020	66 29 0D	sub	dtWord,cx
	00000001 R		
00000027	29 1D 00000003 R	sub	dtDWord,ebx
		; アキュムレータ←アキュムレータ - イミディエイト	
0000002D	2C 12	sub	al,12h
0000002F	66 2D 1234	sub	ax,1234h
00000033	2D 12345678	sub	eax,12345678h
		; 汎用レジスタ←汎用レジスタ - イミディエイト	
00000038	80 EF 12	sub	bh,12h
0000003B	66 81 E9 1234	sub	cx,1234h
00000040	81 EF 12345678	sub	edi,12345678h
		; メモリ←メモリ - イミディエイト	
00000046	80 2D 00000000 R	sub	dtByte,12h
	12		
0000004D	66 81 2D	sub	dtWord,1234h
	00000001 R		
	1234		
00000056	81 2D 00000003 R	sub	dtDWord,12345678h
	12345678		

		; SBB	

		; 汎用レジスタ←汎用レジスタ - (汎用レジスタ + CF)	
00000060	1A F8	sbb	bh,al
00000062	66 1B DF	sbb	bx,di
00000065	1B F9	sbb	edi,ecx
		; 汎用レジスタ←汎用レジスタ - (メモリ + CF)	
00000067	1A 1D 00000000 R	sbb	bl,dtByte
0000006D	66 1B 35	sbb	si,dtWord
	00000001 R		
00000074	1B 0D 00000003 R	sbb	ecx,dtDWord
		; メモリ←メモリ - (汎用レジスタ + CF)	
0000007A	18 35 00000000 R	sbb	dtByte,dh
00000080	66 19 0D	sbb	dtWord,cx
	00000001 R		
00000087	19 1D 00000003 R	sbb	dtDWord,ebx
		; アキュムレータ←アキュムレータ - (イミディエイト + CF)	
0000008D	1C 12	sbb	al,12h
0000008F	66 1D 1234	sbb	ax,1234h
00000093	1D 12345678	sbb	eax,12345678h
		; 汎用レジスタ←汎用レジスタ - (イミディエイト + CF)	
00000098	80 DF 12	sbb	bh,12h
0000009B	66 81 D9 1234	sbb	cx,1234h
000000A0	81 DF 12345678	sbb	edi,12345678h
		; メモリ←メモリ - (イミディエイト + CF)	
000000A6	80 1D 00000000 R	sbb	dtByte,12h
	12		
000000AD	66 81 1D	sbb	dtWord,1234h
	00000001 R		
	1234		
000000B6	81 1D 00000003 R	sbb	dtDWord,12345678h
	12345678		

		; CMP	

		; 汎用レジスタ - 汎用レジスタ	
000000C0	38 C7	cmp	bh,al
000000C2	66 3B DF	cmp	bx,di
000000C5	3B F9	cmp	edi,ecx
		; 汎用レジスタ - メモリ	
000000C7	3A 1D 00000000 R	cmp	bl,dtByte
000000CD	66 3B 35	cmp	si,dtWord
	00000001 R		
000000D4	3B 0D 00000003 R	cmp	ecx,dtDWord

アキュムレータに対するイミディエイトの減算と比較は、専用の機械語命令をもっているため、他の汎用レジスタに対する加算より多少機械語のバイト数が短くなる

〔リスト3〕 MASMのSUB, SBB, CMP, NEG, DEC命令の記述例(つづき)

000000DA	38 35 00000000 R	; メモリ - 汎用レジスタ	cmp	dtByte,dh
000000E0	66 39 0D		cmp	dtWord,cx
00000001	R			
000000E7	39 1D 00000003 R		cmp	dtDWord,ebx
000000ED	3C 12	; アキュムレータ - イミディエイト	cmp	al,12h
000000EF	66 3D 1234		cmp	ax,1234h
000000F3	3D 12345678		cmp	eax,12345678h
000000F8	80 FF 12	; 汎用レジスタ - イミディエイト	cmp	bh,12h
000000FB	66 81 F9 1234		cmp	cx,1234h
00000100	81 FF 12345678		cmp	edi,12345678h
00000106	80 3D 00000000 R	; メモリ - イミディエイト	cmp	dtByte,12h
0000010D	12			
0000010D	66 81 3D		cmp	dtWord,1234h
00000001	R			
00000116	81 3D 00000003 R		cmp	dtDWord,12345678h
12345678				
00000120	F6 D9	; *****	neg	cl
00000122	66 F7 D9	; NEG	neg	cx
00000125	F7 D9	; *****	neg	ecx
00000127	F6 1D 00000000 R		neg	dtByte
0000012D	66 F7 1D		neg	dtWord
00000001	R			
00000134	F7 1D 00000003 R		neg	dtDWord
0000013A	FE C9	; *****		
0000013C	66 49	; DEC	dec	cl
0000013E	49	; *****	dec	cx
0000013F	FE 0D 00000000 R		dec	ecx
00000145	66 FF 0D		dec	dtByte
00000001	R		dec	dtWord
0000014C	FF 0D 00000003 R		dec	dtDWord
end				

つまり、SBB 命令ではまず転送元(SOU)に CF を加算し、その加算結果を転送先(DEST)から引くという動作をします。この「DEST ← DEST - (SOU + CF)」の計算は、

$$\text{DEST} \leftarrow \text{DEST} - \text{SOU} - \text{CF}$$

と表すこともできます。

SBB 命令のオペランドの指定は、SUB 命令とまったく同じです。そのため、演算のバリエーションは、

- 汎用レジスタ ← 汎用レジスタ - (汎用レジスタ + CF)
- 汎用レジスタ ← 汎用レジスタ - (メモリ + CF)
- メモリ ← メモリ - (汎用レジスタ + CF)
- 汎用レジスタ ← 汎用レジスタ - (イミディエイト + CF)
- メモリ ← メモリ - (イミディエイト + CF)

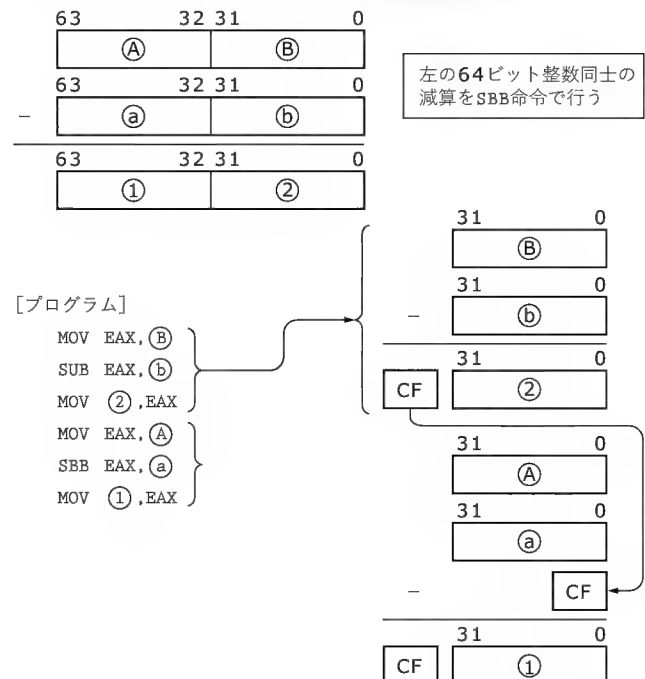
となります。

SBB 命令実行後、ステータスフラグ(OF, SF, ZF, AF, PF, CF)は、演算結果にしたがい設定されます。ステータスフラグの設定のされ方も、SUB 命令とまったく同じになっています。

実際の MASM での SBB 命令の記述例をリスト 3、gas での SBB 命令の記述例をリスト 4(p.120)に示します。

SBB 命令は、32 ビット長のダブルワード整数よりビット数が多い整数値の減算に使用します。たとえば、図 2 のような 64 ビット長のクワッドワードで表される整数の減算なら、まず下位のダブルワード同上进行して SUB 命令で減算し、次に上位のダブルワ

〔図2〕 SBB 命令による 64 ビット整数同士の減算の例



〔リスト4〕 gas の SUB, SBB, CMP, NEG, DEC 命令の記述例

1		.data			59	000012		
2					60	00ad 66811D01	sbbw	\$0x1234,dtWord
3	0000 01	dtByte: .byte	1		60	00000034		
4	0001 0200	dtWord: .word	2		60	12		
5	0003 04000000	dtDWord: .long	4		61	00b6 811D0300	sbb1	\$0x12345678,dtDWord
6					61	00007856		
7		.text			61	3412		
8		#*****			62		#*****	
9		# SUB			63		# CMP	
10		#*****			64		#*****	
11		# 汎用レジスタ - 汎用レジスタ → 汎用レジスタ			65		# 汎用レジスタ - 汎用レジスタ	
12	0000 28C7	subb	%al,%bh		66	00c0 38C7	cmpb	%al,%bh
13	0002 6629FB	subw	%di,%bx		67	00c2 6639FB	cmpw	%di,%bx
14	0005 29CF	subl	%ecx,%edi		68	00c5 39CF	cmpl	%ecx,%edi
15		# 汎用レジスタ - メモリ → 汎用レジスタ			69		# 汎用レジスタ - メモリ	
16	0007 2A1D0000	subb	dtByte,%bl		70	00c7 3A1D0000	cmpb	dtByte,%bl
16	0000				70	0000		
17	000d 662B3501	subw	dtWord,%si		71	00cd 663B3501	cmpw	dtWord,%si
17	000000				71	000000		
18	0014 2B0D0300	subl	dtDWord,%ecx		72	00d4 3B0D0300	cmpl	dtDWord,%ecx
18	0000				72	0000		
19		# メモリ - 汎用レジスタ → メモリ			73		# メモリ - 汎用レジスタ	
20	001a 28350000	subb	%dh,dtByte		74	00da 38350000	cmpb	%dh,dtByte
20	0000				74	0000		
21	0020 66290D01	subw	%cx,dtWord		75	00e0 66390D01	cmpw	%cx,dtWord
21	000000				75	000000		
22	0027 291D0300	subl	%ebx,dtDWord		76	00e7 391D0300	cmpl	%ebx,dtDWord
22	0000				76	0000		
23		# アキュムレータ - イミディエイト → アキュムレータ			77		# アキュムレータ - イミディエイト	
24	002d 2C12	subb	\$0x12,%al		78	00ed 3C12	cmpb	\$0x12,%al
25	002f 662D3412	subw	\$0x1234,%ax		79	00ef 663D3412	cmpw	\$0x1234,%ax
26	0033 2D785634	subl	\$0x12345678,%eax		80	00f3 3D785634	cmpl	\$0x12345678,%eax
26	12				80	12		
27		# 汎用レジスタ - イミディエイト → 汎用レジスタ			81		# 汎用レジスタ - イミディエイト	
28	0038 80EF12	subb	\$0x12,%bh		82	00f8 80FF12	cmpb	\$0x12,%bh
29	003b 6681E934	subw	\$0x1234,%cx		83	00fb 6681F934	cmpw	\$0x1234,%cx
29	12				83	12		
30	0040 81EF7856	subl	\$0x12345678,%edi		84	0100 81FF7856	cmpl	\$0x12345678,%edi
30	3412				84	3412		
31		# メモリ - イミディエイト → メモリ			85		# メモリ - イミディエイト	
32	0046 802D0000	subb	\$0x12,dtByte		86	0106 803D0000	cmpb	\$0x12,dtByte
32	000012				86	000012		
33	004d 66812D01	subw	\$0x1234,dtWord		87	010d 66813D01	cmpw	\$0x1234,dtWord
33	00000034				87	00000034		
34	0056 812D0300	subl	\$0x12345678,dtDWord		87	12		
34	00007856				88	0116 813D0300	cmpl	\$0x12345678,dtDWord
34	3412				88	00007856		
35		#*****			88	3412		
36		# SBB			89		#*****	
37		#*****			90		# NEG	
38		# 汎用レジスタ - (汎用レジスタ + CF) → 汎用レジスタ			91		#*****	
39	0060 18C7	sbbb	%al,%bh		92	0120 F6D9	negb	%cl
40	0062 6619FB	sbbw	%di,%bx		93	0122 66F7D9	negw	%cx
41	0065 19CF	sbb1	%ecx,%edi		94	0125 F7D9	negl	%ecx
42		# 汎用レジスタ - (メモリ + CF) → 汎用レジスタ			95	0127 F61D0000	negb	dtByte
43	0067 1A1D0000	s						

ード同上进行を SBB 命令で減算することで、64 ビット長の減算が行えます。このように、SBB 命令を必要な回数使うことで、ビット数が多い整数値の減算を行うことが可能となります。

● CMP 命令

CMP 命令は、オペランドで指定された二つの整数値を比較するための命令で、指定されたオペランドは、二つとも転送元となり変化しません。

CMP 命令の動作は、転送元 1 を SOU1 で、転送元 2 を SOU2 で表すと、

$SOU1 - SOU2$

という減算のみを行い、減算結果は捨てられます。

アセンブラの記述上、転送元 1 (SOU1) を `sou1`、転送元 2 (SOU2) を `sou2` とした場合、MASM では、

`CMP sou1, sou2`

と記述し、`gas` では `sou1` と `sou2` が逆になり、

`CMP sou2, sou1`

と記述します。

転送元 1 (SOU1) には汎用レジスタやメモリ上の値が指定できます。そして、転送元 2 (SOU2) には汎用レジスタやメモリ上の値、イミディエイトが指定できます。

ただし、メモリ上の値は、二つ指定できないため、一つのオペランドでメモリ上の値を指定した場合は、もう一方のオペランドは、汎用レジスタかイミディエイトとなります。

そのため、CMP 命令のバリエーションは、

- 汎用レジスタ-汎用レジスタ
- 汎用レジスタ-メモリ
- メモリー-汎用レジスタ
- 汎用レジスタ-イミディエイト
- メモリー-イミディエイト

となります。

CMP 命令実行後、ステータスフラグ (OF, SF, ZF, AF, PF, CF) は、減算結果にしたがい設定されます。ステータスフラグの設定のされ方は、SUB 命令とまったく同じになっています。

はじめに述べたように CMP 命令は、指定された二つの整数値を比較するのに使用されます。そして、その結果としてステータスフラグに設定される、二つの整数値の大小関係を得ることが目的の命令です。

表 2 は、CMP 命令で指定されたオペランドの二つの整数値の大小関係と、CMP 命令実行後のステータスフラグの状態を示します。

実際の MASM での CMP 命令の記述例をリスト 3、`gas` での CMP 命令の記述例をリスト 4 に示します。

● NEG 命令

NEG 命令のオペランドは転送元一つで、オペランドで指定された転送先の汎用レジスタあるいはメモリ上の値を 2 の補数した値で置き換えます。

つまり、オペランドの転送元を DEST で表すと、

〔表 2〕CMP 命令で比較される二つの値の大小関係とステータスフラグの状態

値の符号	値 A と B を CMP で比較した結果、設定されるフラグ (CMP は $A - B$ と演算)	値 A と B の大小関係	条件ジャンプなどのニモニックで使われる条件を表す文字
なし	ZF=1	$A = B$	E
	ZF=0	$A \neq B$	NE
	CF=0 and ZF=0	$A > B$	A
	CF=0	$A \geq B$	AE
	CF=1	$A < B$	B
	CF=1 or ZF=1	$A \leq B$	BE
付き	ZF=1	$A = B$	E
	ZF=0	$A \neq B$	NE
	ZF=0 and SF=OF	$A > B$	G
	SF=OF	$A \geq B$	GE
	SF \neq OF	$A < B$	L
	ZF=1 or SF \neq OF	$A \leq B$	LE

$DEST \leftarrow -DEST$

という演算を行います。

この $-DEST$ と演算は、 $0 - DEST$ の減算と同等の動作となります。

NEG 命令を実行すると、CF は元の DEST がゼロなら $CF = 0$ に設定され、元の DEST がゼロ以外なら $CF = 1$ に設定されます。CF を除くステータスフラグ (OF, SF, ZF, AF, PF) は、演算結果にしたがい設定されます。

実際の MASM での NEG 命令の記述例をリスト 3、`gas` での NEG 命令の記述例をリスト 4 に示します。

● DEC 命令

DEC 命令もオペランドが転送元一つで、オペランドで指定された転送先の汎用レジスタあるいはメモリ上の値を -1 する命令です。

つまり、オペランドの転送元を DEST で表すと

$DEST \leftarrow DEST - 1$

という減算を行います。

DEC 命令を実行すると、CF を除くステータスフラグ (OF, SF, ZF, AF, PF) は、演算結果にしたがい設定されます。つまり、DEC 命令では CF は変化しません。そのため、DEC 命令の実行により最上位ビットで桁借りが発生した場合でも、その桁借りは CF には設定されません。

実際の MASM での DEC 命令の記述例をリスト 3、`gas` での DEC 命令の記述例をリスト 4 に示します。

* * *

今回は、2 進算術命令の乗除算命令と 10 進算術命令について説明する予定です。

Hyper ITRONと μITRON4.0/PX仕様の解説

金田一勉

背景

身のまわりを見渡すと、じつに数多くの組み込みシステムが存在します。家庭内にある電気で動作してボタンや表示が付いた製品の多くにはマイコンが搭載され、組み込みシステムが動作しています。通勤通学の途中にも、会社や学校の中にもそういった機器が数多く見られます。また、携帯機器の中でも組み込みシステムが動作しています。それらのほとんどは、プログラムの大きさが数K～数百Kバイト程度であり、そのシステム全体をメーカーで把握することができます。

しかし、携帯電話を代表として、近年システムが巨大化していく傾向が見受けられます。これはいろいろな機能を追加し、使う側へより多くのサービスを提供しようとしているためです。こうなると、プログラムの大きさは1Mバイトを超え、数10Mバイトになる場合もあります。

ところで、組み込みシステムに各種の機能を実装するといった場合、マルチタスクOSの採用が一般的です。マルチタスクOSを利用することでシステムのプログラミングを簡略化することができます。

日本の組み込みシステムの多くはμITRON仕様準拠のOSを採用しています。これは、仕様がオープンなので理解が容易であること、数多くのメーカーから仕様に準拠したOSが開発されていて移行が容易であること、数多くのCPUに実装されていることなどが採用の理由だと思われます。

先の携帯電話のように、システムに組み入れる機能が増加してタスク数が100以上になると、すべてのプログラムを把握することが困難になってきます。また、ミドルウェアをほかから購入してシステムに組み込む場合もあります。

メーカーはシステムの試験を大量に行い、プログラムの不具合を見つけて修正します。しかし、システムが大きくなるほどプログラムの不具合を見つけることが難しくなります。そこで、万が一プログラムに不具合があっても、システム全体に及ぼす影響を最小限に食い止める策も考える必要があります。

そのために、保護機能を提供してその要望に応えようという動きがあります。保護機能を導入することでプログラムの不具

合を早期に発見することができ、試験に要する期間を短くすることもできます。

本稿では、(株)エルミックシステムが開発・販売する、保護機能を搭載しμITRON3.0仕様に準拠した「Hyper ITRON」について解説します。

保護機能

「Hyper ITRON」は、エルミックシステムが独自に仕様を策定した、二つの保護機能をもっています。

- カーネルオブジェクト保護
- メモリ保護

μITRON仕様では、タスクやイベントフラグなどカーネルが管理する機能をカーネルオブジェクトと呼んでいます。プログラムが各種のカーネルオブジェクトに対して要求する際に、誤って別のカーネルオブジェクトに要求してしまうと、システムの動作に悪影響を及ぼすことがあります。そこで、これを防ぐためのしくみをカーネルオブジェクト保護といいます。一般に、このような誤りは初期の段階で発見することができます。

メモリ保護は、ソフトウェアがもつ機能だけでは実現できず、MMU(Memory Management Unit)を利用します。MMUに対しプログラムがアクセスできるメモリ領域の情報を設定し、プログラムが不正なメモリ領域をアクセスした場合にそれを検出し、警告を出したり不正な処理を行ったプログラムを停止させることが可能です。

ハードウェアへのアクセスとカーネル情報

- ハードウェアへのアクセス

μITRONのプログラムでは、ハードウェアアクセスは通常タスクと割り込み処理で行います。

「Hyper ITRON」では、ハードウェアへのアクセスは、入出力ドライバ形式を推奨しています。入出力ドライバとは、一般にデバイスドライバと呼ばれているものです。

入出力ドライバでは、ハードウェアへのアクセスを担当し、タスクからの要求を受けつけて処理を行います。入出力ドライバ

には割り込み処理も含んでいます。これは、タスクで行う処理とハードウェアへの制御処理とを分離する目的のために、カーネルで入出力ドライバを管理する機能をもっています。

● カーネル情報

タスクが容易にアクセスできるメモリ領域には、カーネルの管理情報を置かないようにしています。たとえば、メモリプールの空きメモリブロック管理やメールボックスのメッセージ管理などです。タスクの誤動作によりカーネルの管理情報が破壊されると、カーネルが誤動作してシステム全体に影響が及んでしまいます。それを防ぐために、別に管理領域をもっています。

● システムコールのアドレスパラメータ

システムコールで指定されるアドレスパラメータの正当性をチェックします。ここでのアドレスパラメータとは、`get_tid`(タスクのID番号の取得)などでカーネルからの情報を格納するメモリ領域を指定するアドレスをいいます。カーネルは指定されたアドレスに情報を格納しますが、そのアドレスが不正な場合、カーネルを介して不正なメモリ領域を破壊することになります。

これを防ぐため、アドレスパラメータのチェックを行い、アクセスできないメモリ領域が指定された場合、エラーを返します。

● システムカーネルオブジェクト

「Hyper ITRON」では、負数のID番号の割り当てができるようにしており、システムカーネルオブジェクトとして扱います。負数のID番号を割り当てたシステムカーネルオブジェクトは、負数のID番号をもつタスクかタスク独立部(入出力ドライバなど)からのアクセスのみ許可されます。

システムカーネルオブジェクトには、正数のID番号を割り当てたタスクからのアクセスは禁止されます。

こうすることで、システムにとって重要なカーネルオブジェクトを保護することができます。

ソフトウェアグループ管理

保護機能を導入するために、保護の単位としてグループを設けます。

このグループには、タスクやイベントフラグなどのカーネルオブジェクトを所属させます。このグループ単位に管理する機能を「ソフトウェアグループ管理」といっています。

システムには、通信を行う機能や表示を行う機能、データを管理する機能などがあります。設計を行ううえでは、システムがもっている各種の機能単位でグループを形成するようにします。

このグループ単位でカーネルオブジェクト保護を行います。カーネルオブジェクト保護とは、システムコール時に指定するID番号に対応するカーネルオブジェクトへの不正なアクセスを防止するものです。

「ソフトウェアグループ管理」では、グループ単位にかたまりを形成します。このグループ単位にカーネルオブジェクト保護とソフトウェア部品の形成を推奨することができます。

● ID番号管理

「ソフトウェアグループ管理」では、従来のμITRON仕様でのID番号の管理をグローバルID番号といい、このグローバルID番号を割り当て、カーネルオブジェクトへのアクセスは自由になっています。グローバルID番号とは別に、グループごとにID番号をローカルに管理するローカルID番号があります。ローカルID番号に割り当てたカーネルオブジェクトは、ほかのグループからアクセスすることができません。

従来は、このようなソフトウェア部品を組み込む場合、その部品を構成するカーネルオブジェクトすべてにID番号を割り当てる必要がありました。「ソフトウェアグループ管理」を導入することで、グローバルID番号を割り当てるのが少なくなり、割り当てる際の手間が少なくなります。

● カーネルオブジェクト保護

「ソフトウェアグループ管理」において、グループごとにグループID番号を設定するようになっています。

グループID番号の0番(グループ0)は、従来のID番号管理と互換の管理を行います(グローバルID番号管理)。このグループ0に所属するカーネルオブジェクトは、ほかのグループから自由にアクセスができます。

グループID番号1番以降のものは、それぞれのグループでID番号をローカルに管理することができます(ローカルID番号管理)。

グループ間で情報を交換する場合は、グループ0のカーネルオブジェクトを介するようにします。

グループに所属するタスクにグループ0のID番号を付けると、そのタスクは、グループ0のカーネルオブジェクトと、そのグループに所属するカーネルオブジェクトの両方にアクセスできるようになります。

グループ0のID番号をもつタスクは、グループ0のカーネルオブジェクトにはアクセスできますが、ほかのグループのローカル管理されているカーネルオブジェクトの指定はできません。

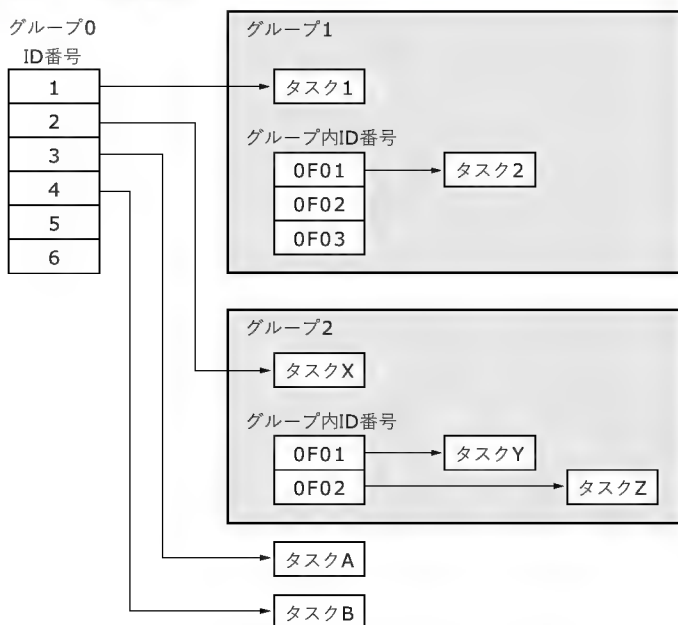
グループ内にローカル管理されているID番号をもつタスクは、グループ0のカーネルオブジェクトにはアクセスできますが、ほかのグループに所属するカーネルオブジェクトの指定はできません。

ソフトウェアグループでのID番号管理の例を図1に示します。グループ内ID番号において、0FxxHの0FHは、グループ内管理を示すマークとします。

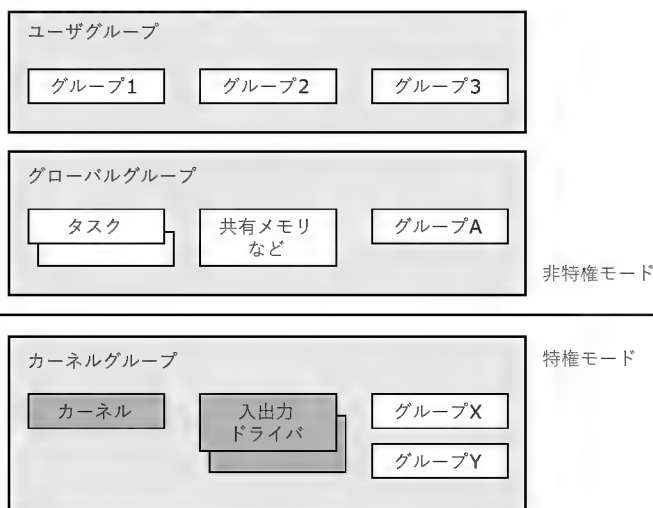
グループ1に所属するタスク1は、タスクAやタスク2に対して要求を行うことができますが、グループ2にあるタスクYには要求することはできません。また、グループ1に所属するタスク2は、グループ2に所属するタスクYに要求することはできません。グループ0に所属するタスクAは、タスク1やタスクXに要求できますが、タスク2やタスクYに要求することはできません。

図1で、グループ1にタスク3が追加されたとしても、グルー

〔図1〕ID 番号管理



〔図2〕メモリ保護グループ



プ1内のローカルID番号(0F02)に割り当てを行うだけなので、他グループのID番号の割り当てへの影響はありません。

● ソフトウェア部品

「ソフトウェアグループ管理」によりID番号をそのグループ内で管理することにより、グループ単位に扱うことができます。システムにそのグループを組み込む際に、ほかのグループとの情報を交換するカーネルオブジェクトに対し、グローバルID番号を割り当てます。グループ内だけで扱うカーネルオブジェクトには、ローカルID番号を割り当てます。

カーネルオブジェクトをグループ単位でローカルに管理することで、その部品が機能アップなどによりカーネルオブジェクトの構成が変更になっても、ローカルID番号に割り当てを行う

だけで、グローバルID番号への割り当てが不要になります。このことは、グループ単位のカーネルオブジェクトの構成を隠蔽できることを示します。

従来であれば、メーカーが部品を提供し、それをシステムに組み込んでもらう場合、その構成をすべて公開し、ID番号をユーザーに割り当ててもらいます。部品の機能アップなどにより構成が変わると、ユーザーに対して再割り当てをしてもらいます。

「ソフトウェアグループ管理」を導入することで、メーカーはカーネルオブジェクトの構成をすべて公開する必要がなくなり、また機能アップなどによる構成の変更があってもユーザーへの影響が少なくなります。

ローカルID番号は部品ごとに固定値になるので、その部品をバイナリで供給することができるようになります。従来であれば、システムに部品を組み込む場合、部品を構成するカーネルオブジェクトのID番号が組み込むシステムにより変わるので、ソースを公開し、ID番号を決定してもらってコンパイルし直す必要があります。部品のソースを公開することができない場合でも、バイナリでの供給が可能であれば、ユーザーへの提供が可能になります。

また、ローカルID番号を割り当てたカーネルオブジェクトはほかのグループからのアクセスができなくなるので、不正なアクセスによる誤動作を防ぐことができ、万が一誤動作してもその原因を追求することが容易になります。

メモリ保護

メモリ保護は、MMUの保護機能を利用します。仮想アドレスと物理アドレスとは1対1の対応としているので、MMUがもつアドレス変換機能は利用しません。

MMUを利用するため、MMUのページ単位でメモリ保護を行います。そのため、保護の単位はMMUのページ単位に配置します。

● 保護グループ

メモリ保護でも、属性によりグループ分けを行っています。グループには図2のようにユーザグループ、グローバルグループ、カーネルグループがあります。

ユーザグループは、MMUの非特権モードで動作するソフトウェアグループのグループが所属します。このグループ単位で保護が行われ、ソフトウェアグループ間でのメモリ領域へのアクセスはできません。

ユーザグループに所属するグループは、そのグループが占めるメモリ領域とグローバルグループのメモリ領域に対してアクセスが可能です。ほかのグループのメモリ領域、カーネルグループのメモリ領域、システムで定義したメモリ領域以外にアクセスした場合、メモリ保護違反として扱われます。

グローバルグループは、すべてのグループからアクセスができる領域で、非特権モードで動作します。グループ間で情報交換

〔表1〕 アクセス許可/禁止のメモリ領域

	アクセスが許可されるメモリ領域	アクセスが禁止されるメモリ領域
ユーザグループに 所属するグループ	<ul style="list-style-type: none"> ●そのグループが占めるメモリ領域 ●グローバルグループが占めるメモリ領域 	<ul style="list-style-type: none"> ●他のユーザグループが占めるメモリ領域 ●カーネルグループが占めるメモリ領域 ●システムで定義した以外のメモリ領域
グローバルグループ に所属するグループ	<ul style="list-style-type: none"> ●グローバルグループが占めるメモリ領域 	<ul style="list-style-type: none"> ●ユーザグループが占めるメモリ領域 ●カーネルグループが占めるメモリ領域 ●システムで定義した以外のメモリ領域
カーネルグループに 所属する入出力ドラ イバやソフトウェア グループ	<ul style="list-style-type: none"> ●ユーザグループが占めるメモリ領域 ●グローバルグループが占めるメモリ領域 ●カーネルグループが占めるメモリ領域 	<ul style="list-style-type: none"> ●システムで定義した以外のメモリ領域

するためのメモリ領域や共有で使用する関数など(通常のライブラリ関数も含む)を所属させます。グローバルグループにもソフトウェアグループのグループを所属させることができますが、アクセスできるメモリ領域はグローバルグループが占めるメモリ領域だけになります。

カーネルグループは、MMUの特権モードで動作し、カーネル本体や入出力ドライバが所属します。カーネルグループは特権モードで動作するので、基本的にメモリ領域へのアクセスは自由になります。

Hyper ITRONでは、ハードウェアへのアクセスは、入出力ドライバで行うように推奨しています。一般のタスクはユーザグループに所属するため、ハードウェアへのアクセスを行うことができません。入出力ドライバは、タスクからの要求を受け付けて入出力処理を行います。入出力ドライバはカーネルグループに所属しているので、ハードウェアへのアクセスを行うことができます。

カーネルグループにソフトウェアグループのグループを所属させることもできます。タスクでハードウェアへのアクセスを行いたい場合は、カーネルグループに所属させます。

各グループとアクセスが許可されるメモリ領域と禁止されるメモリ領域を表1に示します。

MMUの保護機能を利用することで、コード領域への書き込みアクセスを禁止することができます。アクセスが禁止されているメモリ領域にアクセスした場合やコード領域への書き込みアクセスが行われた場合は、メモリ保護違反処理を行います。ユーザグループやグローバルグループに所属するタスクがメモリ保護違反を行った場合には、警告を出力して対象のタスクを停止します。そして、カーネルグループに所属する入出力ドライバやタスクがメモリ保護違反を行った場合には、警告を出力してシステムを停止します。

MMUの制御はMMUドライバが行っており、カーネル処理と分離しています。システムのデバッグ時はメモリ保護機能を使ってプログラムを動作させ、デバッグ終了後にMMUドライバの登録をやめて、メモリ保護機能なしで動作させるということができます。このことで、MMUからのTLB(Translation Lookaside Buffer)ミスによる例外処理がなくなるため、その分オーバーヘッドがなくなり、システムの動作スピードは向上します。

● セクション

メモリ保護の対象になるメモリ領域をセクションに分離します。ここでは、日立製作所製SH-3/4でのセクションの分離について説明します。SH-3/4では、日立製作所製の開発環境を利用します。

各グループごとにセクション名を指定してコンパイルし、そのセクションの配置を指定してリンクします。

グループ0のセクション名は、P、C、D、R、Bとしています(デフォルトのセクション名)。

グループ1以降のセクション名は、GRP_x_P、GRP_x_C、GRP_x_D、GRP_x_DRAM、GRP_x_Bとします(xはグループのID番号に対応)。

カーネルグループのセクション名は、KRN_P、KRN_C、KRN_D、KRN_DRAM、KRN_Bとします。

メモリ領域の属性によるセクションの名前の付け方を示します。

- Pもしくはxxx_P : プログラムセクション(RO)
- Cもしくはxxx_C : コンスタントセクション(RO)
- Dもしくはxxx_D : ROM領域に格納するデータセクション(RO)
- Rもしくはxxx_DRAM : データセクションをコピーするセクション(RW)
- Bもしくはxxx_B : 初期値なしセクション(RW)

グループをカーネルグループに所属させる場合は、セクション名をKRN_xxxとします。

各セクションは、MMUのページ単位である4096バイト単位にアラインするようにしています。特定のアドレスに配置する場合を除き、リンク時にセクションの登録を行うことで、自動的に4096バイト単位に配置されるようになっています。

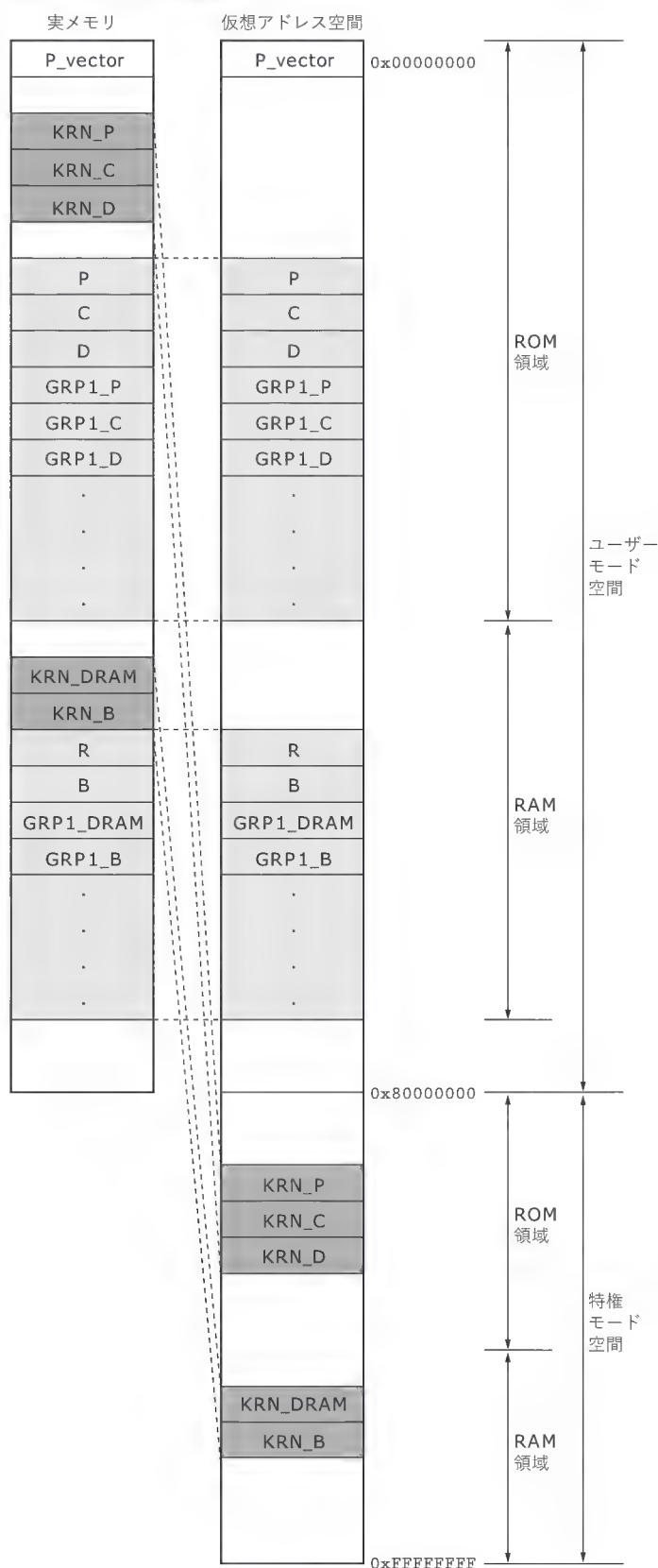
セクションの配置例を図3に示します。

● メモリ保護違反

メモリ保護違反処理は、MMUドライバで行います。MMUドライバで行うメモリ保護違反処理は、ユーザーで記述することができます。出荷時のMMUドライバでは、違反の要因をメッセージとして出力し、対象のタスクを停止させます。

タスクでメモリ保護違反が発生した場合、メモリ保護違反処理で出力するメッセージの例を図4に示します。

〔図3〕セクション配置例



〔図4〕メモリ保護違反メッセージ例

```

#### User Exception ####
  TLB Miss (Read) ← ①
  Program Count   = 080142A8H ← ②
  Exception Address = 08018076H ← ③
  Task ID = 12, (Group ID = 0) ← ④
  
```

- ① 不正アクセスの要因メッセージ
- ② 不正アクセスを行ったプログラムカウンタ(PC)
- ③ 不正アクセスの対象アドレス
- ④ 不正アクセスを行ったタスクのID番号(グループID番号)

不正アクセスの要因により、以下のようなメッセージを出力するようにしています。

- TLB Miss (Read) : TLB 無効例外(読み出し)
- TLB Miss (Write) : TLB 無効例外(書き込み)
- Read Access Violation : TLB 保護違反(読み出し)
- Write Access Violation : TLB 保護違反(書き込み)
- Address Error (Read) : アドレスエラー(読み出し)
- Address Error (Write) : アドレスエラー(書き込み)

上記のメッセージはシリアルに接続する端末に出力しますが、ログを残すなどといったシステム固有の処理をユーザーで記述することができます。

● 利用例

カーネルオブジェクト保護とメモリ保護を使用した例を示します。

1) ソフトウェア部品化

ソフトウェア部品として、グループ単位に各種のシステムで利用することができます(図5)。

システム A では、グループ 3 として登録していたグループをシステム B ではグループ Z として登録することができます(ソフトウェアグループの ID 番号管理による部品化の推奨)。

2) オプション機能の追加

システムにオプション機能を追加しても、ID 番号の割り当ては最小限で済みます。

また、追加するオプションの構造のすべてを公開しなくても、システムへの組み込みができます(図6)。

3) プログラムの共有

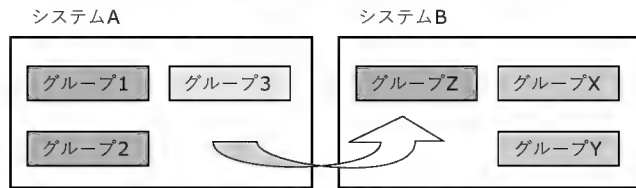
複数のチャネルで同じプロトコル通信を行うようなプログラムの場合、同じプログラムを実行させ、その動作環境を変えることができます(図7)。

これは、グループ内のカーネルオブジェクトは、ローカル ID 番号管理により別々のカーネルオブジェクトを割り当てることができることと、ローカル ID 番号は固定値にすることができることを利用したものです。図7の点線のタスクは同じプログラムを指定することができます。

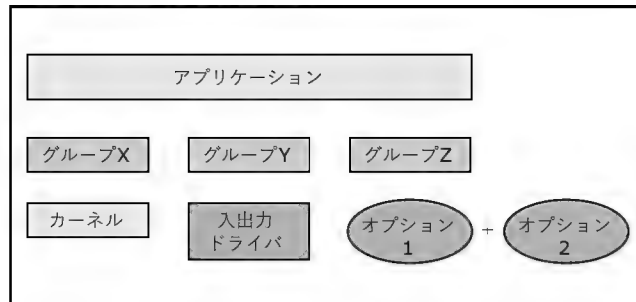
4) デバッグ支援

グループの試験中はユーザグループに所属させ、試験後はカーネルグループに移行します(図8, カーネルグループに移行さ

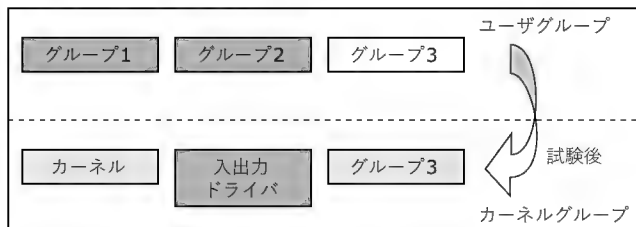
〔図5〕ソフトウェア部品化の例



〔図6〕オプション機能追加の例



〔図8〕デバッグ支援の例



せることにより、TLB ミスによるオーバーヘッドを削減)。

5) 基幹システムの保護

アプリケーションから、基幹システムのメモリ領域やカーネルオブジェクトを保護することができます(図9)。

システムにとって大事なデータをアプリケーションの誤動作から保護することができます。

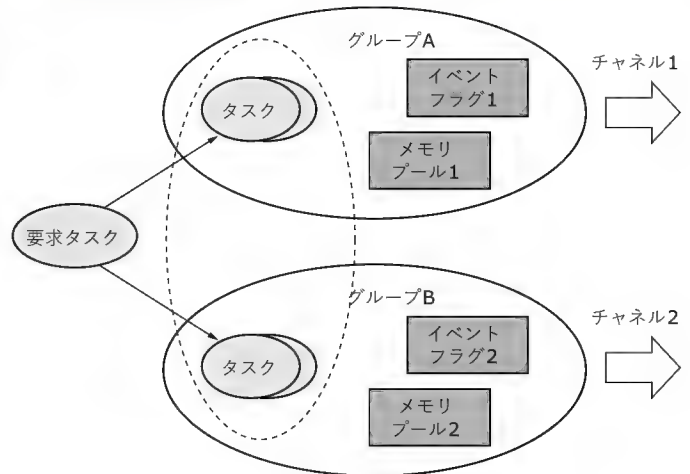
● 応用

これまで、メモリ保護の単位は、ソフトウェアグループで定義するグループ単位として説明してきました。ソフトウェアグループのグループは、ID 番号の管理のためのまとまりです。メモリ保護は、セクションとそのグループを管理することで実現しています。一つのグループに非特権モードで動作するタスクと特権モードで動作するタスクとを混在させることができます。

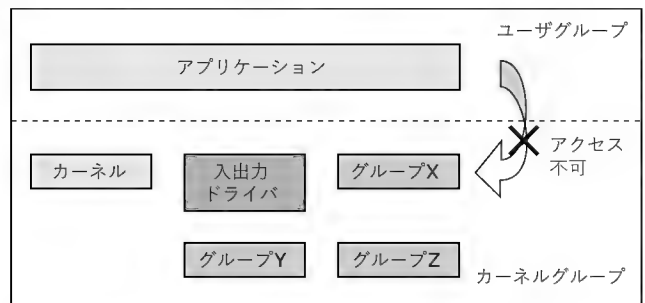
特権モードで動作させるタスクのコンパイル時とシステムに登録する際の設定を行うことで混在させることができます。ただし、非特権モードで動作するタスクは、特権モードで動作するタスクのメモリ領域に対してアクセスすることはできません。情報の交換は、必ず特権モードで動作するタスクが非特権モードのメモリ領域を参照するようにします。

このことで、非特権モードで動作するタスクと、特権モードで動作しハードウェアに直接アクセスするタスクとを一つのグ

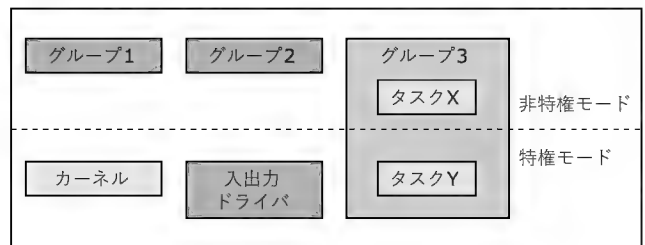
〔図7〕プログラムの共有の例



〔図9〕基幹システムの保護の例



〔図10〕非特権モードで動作するタスクと特権モードで動作するタスクを混在させる例



ループに混在させることができます(図10)。

μITRON4.0/PX仕様

トロン協会では、2001年1月からメモリ保護に関する仕様の策定を開始し、2002年6月にその仕様を公開しています。

保護を行う際の単位を「保護ドメイン」としています。保護ドメインには、カーネルオブジェクトを含めます。保護は、保護ドメイン単位でのアクセスの許可/不許可の指定になっています。この指定は、アクセス方法により「書き込み系アクセス/読み出し系アクセス/参照系アクセス/管理系アクセス」に分かれます。それぞれのアクセス系の許可/不許可のパターンを形成し、その

〔表 2〕保護仕様の比較

	μITRON4.0/PX	Hyper ITRON
保護単位	保護ドメイン カーネルコンフィギュレーションファイルでの定義が スタンダード	ソフトウェアグループ カーネルオブジェクトを登録する際にグループを 指定
保護単位とカーネルオブジェクトの 定義	スタンダードではCFGファイルに記述	テーブルに情報を記述しシステムに登録
カーネルオブジェクト保護	カーネルオブジェクトの登録時に指定するアクセス 許可ベクタによるアクセス許可/不許可の設定	「ソフトウェアグループ管理」によりローカルに 管理されているID番号への割り当て
メモリ保護	MMU/MPUなど、メモリアクセスを監視するハード ウェアで保護を実現	MMUを利用して保護を実現
ハードウェアへのアクセス	拡張SVCでのサポート	入出力ドライバでのサポート
特徴1	保護メモリプール、保護メールボックスによる保護 されたメモリ領域による情報交換機能	「ソフトウェアグループ管理」によるソフトウェア の部品化への推奨
特徴2	カーネルオブジェクト個々に対し、アクセス許可/ 不許可が細かく設定可能	カーネル処理とMMU制御処理が分離している ので、メモリ保護機能の取り外しが可能
特徴3	メモリ領域に対してアクセス許可ベクタを設定できる	負数のID番号のカーネルオブジェクトは負数の ID番号をもつタスクかタスク独立部からのアク セスのみ許可
システムコールのアドレスパラメー タのチェック	あり	あり (ユーザーの指定により省略可能)
カーネル情報の保護	あり	あり

パターンをアクセス許可パターンといいます。アクセス系によりそれぞれのパターンを決定し、それをまとめてアクセス許可ベクタと呼んでいます。

保護ドメインには、ユーザドメイン、システムドメイン、カーネルドメインおよびドメイン無所属があり、保護のレベルが異なります。

本稿では、タスクからカーネルに対する要求を「システムコール」という名称で統一しています(μITRON4.0仕様では「サービスコール」という名称になっている)。

● カーネルオブジェクト保護

μITRON4.0/PX仕様でのID番号の管理は従来と同じです。

μITRON4.0/PX仕様のスタンダードはシステムコンフィギュレーションファイルでシステムの構造を記述します。このシステムコンフィギュレーションファイル(以下CFGファイル)に、保護ドメインの囲みにしたがってカーネルオブジェクトを定義していきます。

保護ドメイン内に登録するカーネルオブジェクトは、デフォルトではその保護ドメインに所属するタスクからしかアクセスできません。ほかの保護ドメインからのアクセスを許可するカーネルオブジェクトには、アクセス許可ベクタを定義します。アクセス許可ベクタを定義する際に、アクセスを許可する保護ドメインを指定します。

保護ドメインの囲み以外のところでカーネルオブジェクトを定義すると、それはドメイン無所属となり、基本的にどのタスクからの要求も許可されます。ドメイン無所属には、タスクを含めることはできません。

このように、カーネルオブジェクト保護は、カーネルオブジェクト個々に対してアクセス許可ベクタを設定し、システムコール時にアクセスの許可/不許可をチェックし、不正なアクセスを

防ぐ方法です。

● メモリ保護

μITRON4.0/PX仕様では、保護ドメインを保護の単位としています。

メモリ保護機能の実現では、ハードウェアのメモリ保護機能を利用します。一般によく知られるMMU(Memory Management Unit)には、アドレス変換機能もありますが、仕様ではその機能は利用しておらず、仮想アドレスと物理アドレスは1対1の対応になっています。

CFGファイルに記述した保護ドメインは、コンフィギュレータによりメモリ保護ユニットのアドレス単位に合わせて配置されます。

メモリ領域に対してもアクセス許可ベクタを設定します。保護ドメインが占めるメモリ領域は、デフォルトでその保護ドメイン内のタスクからのみアクセスが許可され、ほかの保護ドメインからのアクセスは許可されません。

保護ドメインが占めるメモリ領域以外のメモリ領域に対し、アクセス許可ベクタを設定することで、アクセスの許可/不許可を指定します。これらのメモリ領域のアクセス許可ベクタは、システムコール時に指定するアドレスパラメータのチェックやTLBミス時の処理に参照されます。

● 追加機能

μITRON4.0/PX仕様では、大容量のデータを保護ドメイン間で保護された状態で送受信できる機能を定義しています。それが保護メモリプールと保護メールボックスです。これは、ページ単位でメモリを管理するMMUを使用する場合に利用できます。

保護メモリプールは、MMUのページ単位に管理された可変長のメモリプールになります。タスクが保護メモリプールから保護メモリブロックを取得した場合、取得したタスクが所属する

保護ドメインに所属するタスクからのアクセスが許可されます。取得した保護メモリブロックは、ほかの保護ドメインからのアクセスは禁止されます。

保護メモリブロックにデータを格納し、保護メールボックスに送信します。保護メールボックスは、保護メモリブロックのアドレスのみ送信することができます。タスクが保護メモリブロックを保護メールボックスに送信すると、保護メモリブロックのメモリ領域へのアクセスが許可されなくなります。保護メールボックスから保護メモリブロックを受信すると、受信したタスクが所属する保護ドメインに所属するタスクからメモリ領域へのアクセスが許可されます。保護メモリブロックを保護メモリプールに返却すると、返却した保護メモリブロックのメモリ領域へのアクセスは許可されなくなります。

これらの機能を利用することで、ほかのプログラムの誤動作による破壊から防ぐことができるメモリ領域を確保できると、ドメイン間で保護された情報を渡すことができるようになります。

最後に、今回解説したHyper ITRONとμITRON/PXの比較を表2に示します。

今後の展開

「Hyper ITRON」は、カーネルオブジェクト保護とメモリ保護をもったμITRON仕様準拠のカーネルです。

ただ、メモリ保護を利用するには保護単位にメモリ領域を分ける必要があるため、ソースファイルに対して修正を加えていく必要があります。そのため、既存システムへの導入にはかなり敷居が高いものになっています。

「ソフトウェアグループ管理」により、既存のAPIの変更なしでソフトウェア部品化を容易にする機能への要望が高くなっています。そのため、エルミックシステムでは、既存のμITRON仕様準拠のカーネルである「ELX-ITRON」に対し、「ソフトウェアグループ管理」を追加した「ELX-ITRON Neo」を開発中です。

参考文献

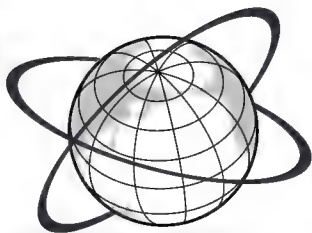
- 1) 『μITRON4.0仕様 保護機能拡張(μITRON4.0/PX仕様)』, (社) トロン協会
- 2) 「メモリ管理のしくみとプロセッサへの実装」, 『デザインウェーブマガジン』, 2002年9月号
- 3) 『SH7709A ハードウェアマニュアル』, (株) 日立製作所

■ エルミックシステムのμITRON仕様準拠のカーネル製品についての照会と問い合わせ先

URL: <http://www.elmic.co.jp/>

E-mail: info@elmic.co.jp

きんだいち・つとむ (株)エルミックシステム



IP電話システムの概要と現状

太田博之



加入電話はもう要らない？



「電話料金を月額固定に……」という見出しが、「IP電話」というキーワードとともに散見されるようになりました。では、そのIP電話というのは何なのでしょう。

「050からはじまる電話番号でつながるらしい」、「インターネットでつながるらしい」、「どうやら、通常電話からの着信ができないらしい」……という断片的な情報だけが行き交っています。このように正体不明？のIP電話ですが、すでにフュージョン・コミュニケーションズ(株)は、IP電話のテクノロジーを使って、全国一律3分20円の電話サービスを提供しています。企業ユーザー向けには、沖電気工業(株)をはじめ大手電機メーカーがIPソリューションを提供しており、その目玉がIP電話になっています。

このような現在注目されているIP電話について解説します。

IP電話とは何か



IP電話とは、Internet Protocol(IP)の規格に準拠した形で、電話相当のサービスを提供する技術です。

IP電話では、以下の二つの技術が必要になります。

- 通話の相手に対しての接続、切断、通信管理を行うしくみ
- 音声をIPパケットに変換して相手に伝えるしくみ

この二つについて簡単に説明します。

通話の相手に対しての接続、切断、通信管理を行うしくみ(プロトコル)は、以下のとおりです。

- ダイヤルされた番号により相手特定する
- 特定した相手に接続の意思を伝え、許可を受ける
- 通話中の課金管理
- 通話の終了

このようなプロトコルはIP電話にかぎらず、携帯電話、一般電話でも必要になります。IP電話ではこれらのプロトコルをIPの規格に沿った形で実現します(詳細は後述)。

もう一つの、音声をIPパケットに変換して相手に伝えるしくみを簡単に表すと図1のようになります。IP電話を使用するユーザー間では、授受される音声をデジタル化し、IPパケットに乗せて電話相手に送ります。相手側では、IPパケットのデータを再び音声に戻します。この流れを双方向に行い、電話の機能を実現します。

これまでの説明でわかるように、IP電話ではインターネットのリソース(設備)を使用するために、NTT、日本テレコム、KDDIなどが提供する公衆回線網も公衆回線交換機も必要としません。そのため、これまで発生していた、通話時間と相手先までの距離に依存する電話料金(課金)は発生しません。そのかわり、以下のような費用が発生します。

- インターネットを使用するためISP(Internet Service Provider)に支払う料金
- ADSLなどのインターネット接続のための回線使用にかかる費用
- 上記のプロトコルと音声伝達のしくみを実現するソフトウェア、ハードウェアにかかる費用

ただし現状では、これらの費用はいずれも月額固定で、通常の電話のような通話時間、相手先までの距離依存の電話料金は発生しません。IP電話は、料金の面で見ると、月額固定料金の使い放題の電話というイメージになります。

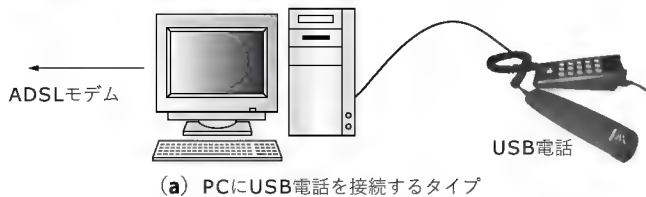
また、図1からもわかるとおり、IP電話のサービスを使用するためには、電話をかける側と電話を受ける側はインターネット網に接続していなければなりません。そのうえ、IP電話のための設備も必要になります。

まとめると、IP電話は通常の電話に比べて、月額固定料金の

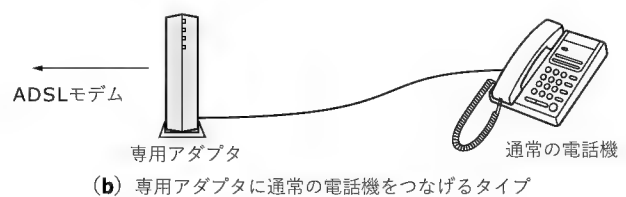
〔図1〕IP電話のしくみ



〔図2〕ブロードバンド型IP電話サービス



(a) PCにUSB電話を接続するタイプ

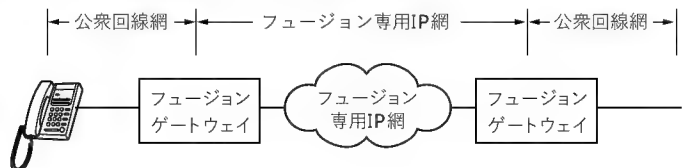


(b) 専用アダプタに通常の電話機をつなげるタイプ

〔表1〕各CODECの特徴

CODEC	方式名称	ビットレート (bps)
G.711	PCM	48K, 56K, 64K
G.726	ADPCM	16K, 24K, 32K, 40K
G.729	CS-ACELP	8K
G.723.1	ACELP/MP-MLQ	5.3K, 6.3K

〔図3〕中継型IP電話(フュージョンの例)



使い放題の電話という大きなメリットがありますが、お互いにインターネットに接続され、IP電話のしくみをもった二者間でのみ通話可能という制限があります。

使用される技術

上記でも説明しましたが、IP電話を実現するためにはIP電話特有のプロトコルと、音声データとIPパケットを相互変換するしくみが必要になります。

● プロトコル

IP電話に使用されるプロトコルはいくつかの種類がありますが、H.323とSIPの2種類がほとんどです。

H.323は、音声、ビデオ、データなどのマルチメディア通信を行うための規格で、ITU-T〔各国の通信関連の省庁(日本の場合は総務省)の代表で構成される規格委員会〕で標準勧告されています。

SIPは1999年3月にIETF(Internet Engineering Task Force)より発表された規格で、H.323より後発のため、まだあまり普及は進んでいません。しかしながら、後発ゆえに転送機能や発信者番号通知機能など、H.323に比べて公衆電話網に近い機能を備えています。Windows XPに搭載されているWindows Messengerには、このプロトコルが使用されています。

現在の市場においてはH.323搭載機器が多いのですが、Windows XPに搭載が決まったことなどの状況から、SIP搭載機器は今後増えていくことが予想されます。

H.323は従来の電話網のプロトコルから発展してIPに対応させたのに対して、SIPはインターネット上の通信制御から発展し、電話としてのプロトコルを備えるようになりました。それぞれ、機能はほぼ同じなのですが、出自が違うということで両者が並び立っているのです。

● 音声のデータ化(CODEC)

音声のCODECはG.711/G.723.1/G.726/G.729が使われます。G.711は必須CODECで、その他の方式はオプションとなっています。

ます、それぞれのCODECの特徴を表1にまとめました。さまざまな種類がありますが、ビットレートが低いほど劣悪な環境でも安定した通話が可能になります。このため多くのIP電話ではG.723.1、G.729などがよく使われています。

どのCODECを使うかですが、電話をかけて通話が始まる前にプロトコルの中で照合を行い、自分と相手が共通にもっているCODECを選択するという手順になっています。

● IP電話サービスの種類

2002年9月末でブロードバンドユーザーが国内で約600万になり、今後も増加する傾向にあります。また、一説によるとブロードバンドユーザーの10%~30%がIP電話を使い始めているという統計もあります。ここでいっているIP電話もいろいろな形があります。現在発表されている、またはサービスを始めているものを紹介します。

IP電話の形としては、PCに専用端末(USB電話)をつないで使うタイプと専用アダプタをつないで通常の電話機を使用するタイプがあります(図2)。この二つは家庭内のADSLモデムに接続する方式で、ブロードバンド型と呼ばれています。

もう一つ、ブロードバンド型とは別に中継型と呼ばれるサービスがあります。中継型IP電話は、2001年の春からフュージョン・コミュニケーションズがサービスを開始しており、約200万ユーザーが使用しています。中継型IP電話は、フュージョンのゲートウェイまではNTTの公衆回線網を使用します。ゲートウェイでは音声をデジタル化し、IPパケットとしてフュージョン専用IP網を通じて相手のゲートウェイ→公衆回線網→電話端末に音声を届けます。このしくみを図3に示します。

また、接続相手についても同一ISPのユーザー同士のみ接続可能なタイプと、一般電話機に電話をかけることができるタイプの2種類があります(表2)。

海外のIP電話事情

海外でのIP電話の先進国は、アメリカと韓国です。IP電話は

〔表2〕ISP別のサービス内容

サービス名/製品名	提供会社	使用方法	接続相手
KDDI インターネット IP フォンサービス	KDDI	専用アダプタが必要	一般回線(8.5円/3分)
FUSION IP-Phone for Biglobe	NEC	専用アダプタが必要	一般回線(8円/3分)
Yahoo BB Phone	Yahoo	専用アダプタが必要	一般回線(7.5円/3分)
Go2call	Nifty	PCに専用端末を接続して使う	一般回線(15円/3分)
Betarena	Nifty	PCにヘッドセットを接続して使用	Nifty ユーザー同士(無料)
everyPhone	マネジメント ジャパン	PCに専用端末を接続して使う(写真1)	ユーザー同士(無料) 一般回線も計画中

〔写真1〕
everyPhoneで
使用する専用
端末



〔写真2〕
ヘッドセット



既存の電話よりも安価なことが特徴ですが、アメリカと韓国の従来の電話会社は、これに対抗して国内電話を非常に安価に提供しています。

しかし、海外通話の場合は低料金でのサービスが困難なので、IP電話を使用する場合があります。

韓国の場合、2001年まではPCとヘッドセット(写真2)を使用するユーザーが多かったのですが、今年に入ってUSB電話をPCに接続して使用するユーザーが増えてきています。ヘッドセットに比べてUSB電話のほうが格段に音質が良いといわれており、すでに台湾、韓国合わせて20社程度のUSB電話のメーカーが参入しています。

将来の展望



総務省は、IP電話に対して050で始まる番号を付与することを決め、2002年の9月から番号の申請受け付けを開始しました。本誌が出る頃には050の番号によるサービスが開始されていることでしょう。

このように050の番号を総務省はIP電話に付与するのですが、一般電話からIP電話への050番号による着信は、2003年以降になるようです。これはNTTの交換機に050の番号を登録して、ユーザーから050で電話がかかってきた場合に、対応するIP電話サービス会社に接続する必要があるからです。この動作は交換機のプログラムにより行われるのですが、対応に1年近くの時間がかかるようです。また、変更にかかる費用をどこが出すかについても検討する必要があるようです。

交換機のプログラムの変更がすべて終われば、通常の電話とほぼ同じ使い勝手になります。その時期は2003年秋以降といわれています。

また、IP電話の将来としては以下のようなものが考えられます。

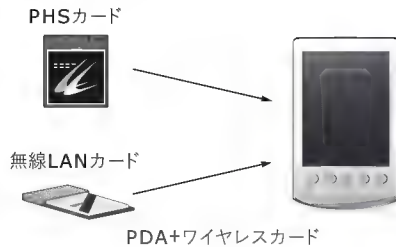
IP電話のサービスの中でPCにUSB電話をつないで使用するタイプがありました。この場合、IP電話のプロトコルと音声符号化はPC内のソフトウェア(これをクライアントソフトウェアと呼ぶ)で行います。PCに搭載する代わりに図4のようにPDAにクライアントをインストールし、PHSカードまたは無線LANカードをPDAに挿せば、PHSのサービスエリア、または無線LANのホットスポットでIP電話のサービスを受けることができます。これもモバイルIP電話の一つの形といえるでしょう。

また、PDAにBluetoothがついていて、USB電話の代わりにBluetooth電話端末を使用すれば、携帯電話型のモバイルIP電話になります。このときPDAは上着の内ポケットや鞆の中に入れておくことになるでしょう(図5)。

さらにクライアントに相当する部分をすべて携帯電話型端末に内蔵すれば、無線LANホットスポットで、PCやPDAを使わずにIP電話を使うことができます(図6)。

また、クライアントをゲームマシンにインストールしてUSB電話を接続すれば、IP電話として使用することも可能です(図7)。ゲームマシンでネットワーク型ゲームを行っている場合、ゲーム画面を凝視してゲームするだけではなく、電話で話しながら次の手を考えるなどの使い方をすると、さらにゲームが面白くなるでしょう。

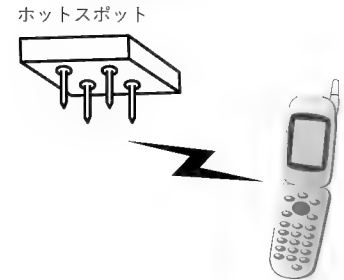
〔図4〕 PDA + ワイヤレスカード



〔図5〕 PDA + Bluetooth



〔図6〕 クライアントをすべて携帯電話端末に内蔵する



IP 電話の例 — everyPhone

everyPhone はマネージメント・ジャパン(株)が開発したオリジナルの VoIP システムです。

everyPhone のシステムはクライアントソフトウェア、USB 電話、ディレクトリサーバ、留守番電話サーバから構成されます。また、法人向けサービスのために代表電話機能、ADSL ダイナミック IP アドレス管理、NAT 機能をもっている PBX for everyPhone を用意しています。クライアントは H.323 に準拠しており、現在 SIP 対応版も開発中です。

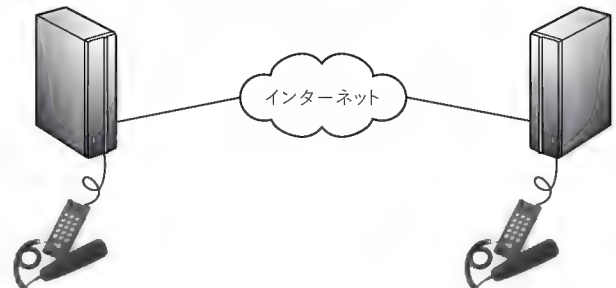
everyPhone はブロードバンド型の IP 電話サービスで、以下のような特徴があります。

- 1) インターネット上にディレクトリサーバを置いているために ISP 非依存のサービスが可能
- 2) ファイアウォールなどを備える法人ユーザーのためにクライアントが UPnP 対応になっている
- 3) 同じく、法人ユーザーのために廉価な PBX 機能をもった簡易サーバ (PBX for everyPhone) を提供している
- 4) クライアントはアップグレードに対応できるように Web ページからダウンロード可能
- 5) PC やクライアントが作動していない場合は、インターネット上の留守番電話サーバにメッセージが蓄積される (携帯電話の留守電サービスとほぼ同等のサービスを提供)

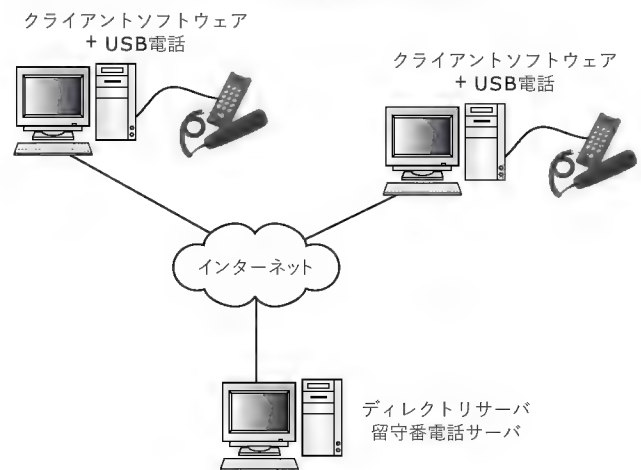
everyPhone を使用すれば、PC と USB 電話とインターネット接続環境さえあれば、世界中のどこでも同じように電話をすることができます。

これを実現するため、everyPhone はインターネット上にディレクトリサーバを設置しています(図8)。電話をかける場合、クライアントは相手がどこにいるかをディレクトリサーバに問い合わせます。ディレクトリサーバにはログインしたときのユーザーの IP アドレスが記録されているので、クライアントからの問い合わせに対して相手の IP アドレスを知らせます。

〔図7〕 ゲームマシンを使用した IP 電話



〔図8〕 ディレクトリサーバを設置する必要がある



このように、相手がどこ(どの IP アドレス)にいるかを知ることができるので、自分や相手がどこにいても、いつもとかわらずに電話をすることができます。IP 電話を使用すれば、世界中のすべての場所を自分のオフィスにすることが可能です。

おた・ひろゆき 加賀電子(株)

C言語のソースコードを読みやすく整形する — GNU indent

水野貴明

今回は、GNU indent という C 言語用のソースコードフォーマッタを紹介する。これはソースコードをチェックして、改行やインデントを一定の規則にもとづいてやり直してくれるものだ。これを使うことで、自分とは異なるスタイルで書かれたソースコードを読みやすく整形することができる。

GNU indent とは

GNU indent は、GNU プロジェクト^{注1}が管理・開発を行っている C 言語用のソースコードフォーマッタである。このソフトウェアは、GNU のドキュメント^{注2}によると 1976 年に BSD UNIX の一部として開発され、その後 Free Software Foundation^{注3}に寄付されたとのことで、非常に長い歴史をもつソフトウェアである。Free Software Foundation に寄付された後、何人かのメンテナが開発を引き継ぎ、現在は David Ingamells 氏によってメンテナが行われている。

インストール

● UNIX

RedHat Linux などの Linux ディストリビューションでは、GNU indent は標準でインストールされることも多い。コンソール上で以下のように入力すれば、GNU indent がインストールされているか、インストールされているバージョンはどれかを知ることができる。

```
$ indent --version
```

```
GNU indent 2.2.8a ← 現在のバージョン
```

インストールされていない場合は、Web ページからソースファイルをダウンロードしてきて、自分でビルドを行う必要がある。

とはいっても、ビルドの方法は非常に一般的なものだ。ソースコードは tarball (.tar.gz ファイル) として配布されているの

DATA

名称：GNU indent

Web サイト：<http://home.hccnet.nl/d.ingamells/beautify.html>

現在のバージョン：2.28a

で、それをダウンロードして展開する。そして展開されたディレクトリに移動し、以下のように makefile を作成し、ビルド、インストールを行うだけである。

```
$ ./configure ← makefile の生成
$ make ← プログラムのビルド
$ su ← パスワードを入力
# make install ← ファイルのインストール (管理者権限で)
```

標準では、/usr/local/bin/ にファイルが置かれる。

● Windows

GNU のソフトウェアの Windows への移植を行っている「GnuWin32」というプロジェクトによって、GNU indent の Windows 版が作成されている。そのファイルは同プロジェクトの Web ページから入手が可能である。バージョンは、残念ながら最新バージョンを確実に追従しているわけではないが、それほど古くないバージョンを入手できる (執筆時、公開されているバージョンは 2.27)。

● GnuWin32 プロジェクト

<http://gnuwin32.sourceforge.net/>

ここでは、コンパイル済みのファイルが配布されているので、ダウンロードして、適当な場所で展開するだけである。とくにインストーラなどは利用しない。展開したディレクトリ内の、bin ディレクトリにある indent.exe が実行ファイルである。

また、GNU indent は GNU gettext という国際化のためのバ

注1：GNUは「GNU is Not Unix」の略。完全なフリーウェアとしてUNIXの互換システムを作るプロジェクトである。1984年にRichard Stallman氏によって開始された。

注2：<http://www.gnu.org/brave-gnu-world/issue-35.ja.html>

注3：GNUプロジェクトのための資金を集める団体。代表はRichard Stallman氏。

〔リスト1〕インデントがめっちゃくちゃなソースコード

```

/* 曜日を計算する */
int dayofweek(int y,
              int m,
              int d)
{
    static int t[] = {0, 3, 2, 5, 0, 3, 5, 1, 4, 6, 2, 4};
    y -= m < 3;
    return (y + y/4 - y/100 + y/400 + t[m-1] + d) % 7;
}

int main(int argc, char * argv[])
{
    int i;
    i = dayofweek
    ( 2003, 1, 1 );
    printf( "2003/1/1 ... %d", i);
    return 0;
}

```

〔リスト2〕GNU indent によって綺麗に整形されたソースコード

```

/* 曜日を計算する */
int
dayofweek (int y, int m, int d)
{
    static int t[] = { 0, 3, 2, 5, 0, 3, 5, 1, 4, 6, 2, 4 };
    y -= m < 3;
    return (y + y / 4 - y / 100 + y / 400 + t[m - 1] + d) % 7;
}

int
main (int argc, char *argv[])
{
    int i;
    i = dayofweek (2003, 1, 1);
    printf ("2003/1/1 ... %d", i);
    return 0;
}

```

パッケージを利用しているので、こちらもインストールする必要がある。以下のページで配布されている libintl.dll を indent.exe と同じディレクトリ (もしくはシステムディレクトリ) に置けばよい。

● gettext for Win32

<http://sourceforge.net/projects/gettext>



ソースコードのフォーマット

GNU indent のもっとも単純な使い方は以下のように、単に処理したいソースコードをパラメータとして指定して、呼び出す方法である。

```
indent test.c
```

この場合、test.c というソースコードを標準のフォーマット (GNU スタイル) でフォーマットしなおし、元のファイルを上書きする。

次のように -o オプションを使うことで、出力先を指定するこ

ともできる。

```
indent test.c -o test_indent.c
```

たとえば、リスト1のようなめっちゃくちゃなフォーマットのソースコードであっても、リスト2のように、すっきりとしたソースコードにしてくれるのである。

さてGNU indent では、どういうフォーマットに変換するかをさまざまに設定することができる。そして、フォーマットの設定には、やはりオプションを利用する。ソースコードのフォーマットを指定するオプションは、表1のようにさまざまなものが用意されている。

GNU indent にはベースとなる三つの一般的なスタイル (表1では最後に記した三つ。詳しくは次節で述べる) が用意されており、それにさらにオプションを追加して、スタイルを修正する形で指定する。

ベースとなるスタイルを指定していない場合は、GNU スタイルが標準で選択される。たとえば、GNU スタイルでは、if 文の中括弧 ({) は以下のように、if 文の次の行に書かれる。

〔表1〕GNU indent で利用できるソースコード整形用のオプション

オプション		意 味
-bad	--blank-lines-after-declarations	定義ブロックの後に空行を入れる
-bap	--blank-lines-after-procedures	プロシージャ (関数) の後に空行を入れる
-bbb	--blank-lines-before-block-comments	コメントブロックの前に空行を入れる
-bbo	--break-before-boolean-operator	論理演算子 (&& や) の前で改行する
-bc	--blank-lines-after-commas	変数定義文でのコンマの後に改行を入れる
-bfda	--break-function-decl-args	関数定義で、カンマの後に改行を入れる
-bl	--braces-after-if-line	{ } を if の次の行に書く
-bli[n]	--brace-indent[n]	{ } の行で何文字インデントするかを指定
-bls	--braces-after-struct-decl-line	{ } を struct の次の行に書く
-br	--braces-on-if-line	{ } を if と同じ行に書く
-brs	--braces-on-struct-decl-line	{ } を struct と同じ行に書く
-bs	--blank-before-sizeof	sizeof の後にスペースを入れる。--Bill-Shannon 可
-c[n]	--comment-indentation[n]	コードの後に付けたコメントを何文字インデントするか (標準は 33 文字)
-cbi[n]	--case-brace-indentation[n]	case ブロックにおける { } を何文字インデントするか
-cd[n]	--declaration-comment-column[n]	定義文の後に付けたコメントを何文字インデントするか (標準は 33 文字)
-cdb	--comment-delimiters-on-blank-lines	コメントデリミタ (/* */) を単独の行にする
-cdw	--cuddle-do-while	do-while ループで、{ } と while を同じ行に書く
-ce	--cuddle-else	else と一つ前の { } を同じ行に書く
-ci[n]	--continuation-indentation[n]	一つの文が複数行にわたる場合の、2 行目以降のインデントを指定

〔表 1〕 GNU indent で利用できるソースコード整形用のオプション (つづき)

オプション		意 味
-cli[n]	--case-indentation[n]	case 文を何文字インデントするか
-cp[n]	--else-endif-column	「#else」「#endif」の後ろにつけたコメントを何文字インデントするか (標準は 33 文字)
-cs	--space-after-cast	キャストオペレータの後にスペースを入れる
-d[n]	--line-comments-indentation[n]	コメントのみの行を何文字インデントするかを指定
-di[n]	--declaration-indentation[n]	変数定義文で、変数型と変数名のあいだにいくつスペースをあけるかを指定
-fcl	--format-first-column-comments	行の 1 文字目から始まるコメントをフォーマット
-fca	--format-all-comments	行の 2 文字目以降から始まるコメントをフォーマット
-hnl	--honour-newlines	すでにある改行位置を尊重する
-i[n]	--indent-level[n]	一回のインデントの文字数を指定
-ip[n]	--parameter-indentation[n]	括弧の数に応じてインデントする文字数を指定
-l[n]	--line-length	1 行の最大文字数を指定 (コメント行を除く)
-lc[n]	--comment-line-length	コメント行 1 行の最大文字数を指定
-lp	--continue-at-parentheses	括弧が閉じられずに改行された場合、次の行は括弧の位置までインデントされる
-lps	--leave-preprocessor-space	プリプロセッサの「#」とコマンド名のあいだにスペースがあっても取り除かない
-nbad	--no-blank-lines-after-declarations	定義ブロックの後に空行を入れない
-nbap	--no-blank-lines-after-procedures	プロシージャ (関数) の後に空行を入れない
-nbbo	--break-after-boolean-operator	論理演算子 (&& や) の後で改行する
-nbc	--no-blank-lines-after-commas	変数定義文でのカンマの後に改行を入れない
-nbfd	--dont-break-function-decl-args	関数定義で、カンマの後に改行を入れない
-ncdb	--no-comment-delimiters-on-blank-lines	コメントデリミタ (「/*」と「*/」) を単独の行にしない
-ncdw	--dont-cuddle-do-while	do-while ループで、「}」の次の行に while を書く
-nce	--dont-cuddle-else	else を一つ前の「}」の次の行に書く
-ncs	--no-space-after-casts	キャストオペレータの後にスペースを入れない
-nfc1	--dont-format-first-column-comments	行の 1 文字目から始まるコメントをフォーマットしない
-nfca	--dont-format-comments	コメントのフォーマットを行わない
-nhnl	--ignore-newlines	もとからあった改行位置を無視する
-nip	--no-parameter-indentation	-ip0 と等価、括弧の数に応じたインデントを行わない
-nlp	--dont-line-up-parentheses	括弧が閉じられずに改行された場合でも、次の行のインデントはそれとは無関係
-npcs	--no-space-after-function-call-names	関数名と括弧の間にスペースを入れない
-npro	--ignore-profile	設定ファイルを無視する
-nprs	--no-space-after-parentheses	括弧の後にスペースを入れない
-nps1	--dont-break-procedure-type	関数の定義において変数名と、その関数の戻り値の型の間に改行を入れない
-nsaf	--no-space-after-for	for とそれに続く括弧の間にスペースを入れない
-nsai	--no-space-after-if	if の後に空白をあけない
-nsaw	--no-space-after-while	while の後に空白をあけない
-nsc	--dont-star-comments	コメントの左側にアスタリスクを挿入しない
-nsob	--leave-optional-blank-lines	余分な空行を削除しない
-nss	--dont-space-special-semicolon	for や while などと使われるセミコロンの前に、スペースを挿入しない
-nut	--no-tabs	スペースをタブに置き換えない
-pcs	--space-after-procedure-calls	関数名と括弧の間にスペースを入れる
-pi[n]	--paren-indentation	「(」で始まる行で何文字インデントするか
-prs	--space-after-parentheses	「(」の前、および「)」の後にスペースを入れる
-ps1	--procnames-start-lines	関数の定義において変数名と、その関数の戻り値の型のあいだに改行を入れる
-saf	--space-after-for	for とそれに続く括弧の間にスペースを入れる
-sai	--space-after-if	if の後に空白をあける
-saw	--space-after-while	while の後に空白をあける
-sbi[n]	--struct-brace-indentation[n]	struct, union, enum の行を何文字インデントするかを指定
-sc	--start-left-side-of-comments	コメントの左側にアスタリスクを挿入
-sob	--swallow-optional-blank-lines	余分な空行を削除する
-ss	--space-special-semicolon	for や while などと使われるセミコロンの前に、スペースを挿入する
-ts[n]	--tab-size[n]	一つのタブに置き換えられるスペースの数を指定する
-ut	--use-tabs	スペースをタブに置き換える
-gnu	--gnu-style	GNU スタイルに指定
-kr	--k-and-r-style	K&R スタイルに指定
-orig	--original	Berkeley スタイルに指定

```
if( flag == 1 )
{
    return -1;
}
```

しかし、GNU スタイルをベースとするが、if 文の中括弧は if 文と同じ行に書きたいといった場合は、以下のように -br というオプションを指定すればいい。

```
$ indent -br test.c
```

こうすれば、以下のように if 文の中括弧は if 文と同じ行に置かれるようになる。

```
if( flag == 1 ) {
    return -1;
}
```

また、インデントの文字数(GNU スタイルでは2文字)を4文字にして、なおかつタブへの置き換えをしないようにするには、以下のように指定する。

```
$ indent -i4 -nut test.c
```

標準では、8文字のスペースがあると、タブに置き換えられるようになっているが、-nutを指定することで、タブへの置き換えを無効にすることができる(何文字でタブに置きかえるかは、-tsというオプションで指定することができる)。

なお、スタイルを指定するオプションは、左から右へと解釈される。相反するスタイル(たとえば -bad と -nbad)が両方指定されている場合には、より右側で指定したものが有効になる。

GNU indent の使い方のポイントは、これらのコマンドをうまく使い分け、いかに自分のスタイルに近い組み合わせを作るかという点にある。

なお、GNU indent は国際化が行われており、コメント、文字列などに日本語が入っていても、とくに問題なく利用することができる^{注4}。



GNU indentがサポートするC言語の一般的なスタイル

人によってさまざまなスタイルが存在するC言語の記述方法だが、一般的によく用いられるスタイルというものが存在する。GNU indent では三つの「標準的な」スタイルをサポートしており、それらのスタイルは個々のオプションを細かく指定しなくても、ひとつのオプションで簡単に指定できるようになっている。

サポートされているスタイルは「GNU スタイル」、「Kernighan & Ritchie スタイル」、「Berkeley スタイル」の3種類である。

● GNU スタイル

このスタイルは、GNU コーディング規約^{注5}で推奨されているもので、現在の GNU indent の標準スタイルである。このス

イルを指定するために、「-gnu」というオプションが用意されているが、実際には標準で指定されるスタイルのため、このオプションを使う必要はない。

GNU スタイルを、個々のスタイル指定で表すと、以下のようになる。

```
-nbad -bap -nbc -bbo -bl -bli2 -bls -ncdb -nce
-cpl -cs -di2 -ndj -nfc1 -nfca -hnl -i2 -ip5
-lp -pcs -nprs -psl -saf -sai -saw -nsc -nsob
```

● Kernighan & Ritchie スタイル

C 言語は1973年、(当時)AT&Tのベル研究所において、Brian W. Kernighan氏とDennis M. Ritchie氏によって言語仕様が作られた。両氏は現在でもC言語の原典として広く読まれつづけている『プログラミング言語C』の著者でもある。そしてこの書籍の中で用いられているスタイルが、Kernighan & Ritchie スタイルである。

このスタイルは「-kr」というオプションで指定できる。個々のスタイル指定で表すと、以下のようになる。

```
-nbad -bap -bbo -nbc -br -brs -c33 -cd33 -ncdb
-ce -ci4 -cli0 -cp33 -cs -d0 -dil -nfc1 -nfca
-hnl -i4 -ip0 -l75 -lp -npcs -nprs -npsl -saf
-sai -saw -nsc -nsob -nss
```

● Berkeley スタイル

GNU indent はもともとBSD UNIXの一部として開発されており、その当時の標準のスタイルが「Berkeley スタイル」と呼ばれている。そのため、このスタイルは「-orig(オリジナルの意味)」というオプションで指定する。個々のスタイル指定で表すと、以下のようになる。

```
-nbad -nbap -bbo -bc -br -brs -c33 -cd33 -cdb
-ce -ci4 -cli0 -cp33 -dil6 -fc1 -fca -hnl -i4
-ip4 -l75 -lp -npcs -nprs -psl -saf -sai -saw
-sc -nsob -nss -ts8
```



設定をファイルで指定する

GNU indent では、そのフォーマットスタイルを実行時に指定できるほか、あらかじめ設定ファイルを記述しておいてその設定を参照させることができる。自分のスタイルをあらかじめファイルに記述しておくことで、フォーマットを毎回指定しなくても簡単に自分のスタイルに修正することが可能になる。

設定を記述するファイルは .indent.pro という名前にする。そしてカレントディレクトリに置いておくと、GNU indent が自動的に読み込んでくれる。

設定ファイルには、表1で示したオプションを改行やスパー

注4：ただし、国際化が行われたのは、2.27からで、それ以前のバージョンではシフトJISの文字列が入っているとうまく動かないなどの問題があった。そのため、シフトJISに対応した修正版なども公開されていたが、現在ではその必要もなくなっている。

注5：http://www.sra.co.jp/wingnut/standards-j_toc.html

[リスト3] .indent.pro サンプル

```
/*
.indent.pro サンプル
*/
--k-and-r-style
--blank-lines-after-declarations
--braces-after-if-line
--no-tabs
/*
--swallow-optional-blank-lines ←コメントアウトされている
*/
```

スで区切って記述すればよいだけである。設定ファイルでは、C/C++ のコメントスタイルである「//」および「/* ~ */」を使って、設定をコメントアウトすることもできる(リスト3)。

-npro(--ignore-profile)というオプションを指定することで、実行時に設定ファイルを読み込まなくすることも可能である。



C 言語以外のプログラムをフォーマットするには

GNU indent の弱点は、対応している言語が C 言語のみという

点である。GNU indent の Web サイトでは、C++ はサポートしていないということが強調されている。したがって、C++ をはじめとする他の言語を利用する場合には、何か他のフォーマットツールを利用する必要がある。

以下の「C-C++ Beautifier HOW-TO」というドキュメントには、C/C++ をはじめ、Perl や Java などさまざまな言語向けのソースコードフォーマッタが紹介されているので参考になるだろう。

● C-C++ Beautifier HOW-TO

<http://www.linuxselfhelp.com/howtos/C-C++Beautifier/C-C++Beautifier-HOWTO.html>

また、GNU indent を C++ に対応させようとするプロジェクトも開始されている。まだ 2002 年 7 月に開始されたばかりのプロジェクトで、何の成果物も公開されてはいないが、今後 C++ に対応した GNU indent (Indent++) が使える日がくるかもしれない。

● Indent++

<http://www.uvm.edu/~ashawley/indent++/>



Column COBF

ソースコードフォーマッタは、かならずしもソースコードを読みやすくするとは限らない。GNU indent を使っていても、自分のローカルルールと異なるルールに変換してしまえば、(自分には)読みづらいソースとなる。

しかし、そもそも読みやすいソースを作ることを目的としないフォーマッタも存在するのである。そんなフォーマッタの一つである COBF をここで紹介する。これは、GNU indent のようなフォーマッタとは正反対の機能を持ったソースコードフォーマッタである。つまり COBF は、ソースコードを「読みにくくする」ことを目的としたフォーマッタなのである。

たとえば、リスト A のようなソースコードがあったとする。これを、COBF で変換すると、リスト B のようになってしまう。

なんとも読みづらい、というよりもまったく読むことができないソースコードに変換されてしまうことがわかるだろう。しかも、COBF で変換したソースコードは、人間には非常に読みづらいものにはなるが、きちんとコンパイルすることが可能なのだ。

そのため、ソースコードを公開しなければならないが、あまり内容を解析されたくないといった場合に利用するのがよいそうである(ドキュメントにそう書かれている)。

名称: COBF (C-Obfuscator)

作者: Bernhard Baier 氏

Web サイト: <http://home.arcor.de/bernhard.baier/cobf/>

現在のバージョン: 1.03

● コードを読みにくくする手法

COBF は、コードを読みにくくするために、以下の方法を用いる。

- 1) コメントをすべてなくす
- 2) 改行をなくす
- 3) 変数名を無意味なものに置き換える
- 4) 予約語を無意味なものに置き換える
- 5) 文字列を 16 進数に置き換える

● コメントをすべてなくす

これは、文字どおりすべてのコメントが削除されてしまうことを意味する。コメントはソースコードのどこでどんな処理が行われているかといったことを知るための重要な手がかりとなる。そのコメントを削除することで、どこで何が行われているかが、ソースを解読しないことにはわからなくなる。

● 改行をなくす

GNU indent では、どこに改行を入れるかで、見やすさを調整していた。改行を取り除いてしまうことで、ソースコードは読みづらくなる。

● 変数名を無意味なものに置き換える

ソースコードを読みやすくするには、わかりやすい変数名を使うことも重要である。ということはつまり、変数名を規則性のないものに代えてしまうことで、ソースコードが読みづらくなるのである。

● 予約語を無意味なものに置き換える

「if」、「for」、「switch」といった予約語を、「#define」で「a」、「b」といったまったく無意味な文字列に置換してしまう。これは、COBF の行う処理の中でもっとも効果的なものである。これを行うと、その文字が何を意味するのかがわからなくなり、また変数名との区別もなくなってしまうので、ソースコードは著しく読みにくくなる。

この置き換えを行うために、COBF は cobf.h という新しいイン



まとめ：ソースコードフォーマッタの必要性

オープンソースという言葉は、最近よく耳にするようになった。これは、ソフトウェアのソースコードを公開してしまう開発スタイルのことである。SourceForge^{注6}というオープンソース開発者のためのホスティングサービスや各種ツールを公開しているサイトには、オープンソースで開発されているプロジェクトがたくさん登録されているし、Mozilla.org や OpenOffice.org など、もともとは市販されていたソフトウェアが、オープンソースになったものもある。

オープンソースで開発を行うということは、(あたりまえだが)ソースコードを第三者が読むことができるという意味である。しかし、せっかくソースコードが公開されていても、自分以外の書いたソースコードというのは、非常に読みづらいことが多い。

注6 : <http://sourceforge.net/>, 日本語版である <http://sourceforge.jp/> もある。

その原因には、コメントの有無や、プログラム自体の流れがすっきりしているかどうかなども挙げることができるが、そのほかに、改行をどこで入れるのか、インデントをどうするのかといったプログラマそれぞれがもつローカルルールの違いによって生じる読みづらさも存在する。ソースコードフォーマッタは、そういった自分とは違うルールで書かれた、(自分には)読みづらいソースに出会ったときに威力を発揮するはずだ。

また、自分で作成したプログラムを公に公開する場合でも、そのスタイルを一般的によく利用されているものに変換して、万人に読みやすいプログラムにしてから公開することもできる。

このように、ソースコードフォーマッタは、ソースコードを共有する際には、非常に強力な武器となってくれるツールなのである。

みずの・たかあき

クルードファイルを生成し、そこにたとえば以下のように#define文を定義している。

```
#define c int
#define e main
#define d for
#define f printf
#define g return
```

この例だと、forは「d」に、printfは「f」に置き換えられてしまう。

●文字列を16進数に置き換える

C/C++では、文字列を16進数で記述することができる。こうすると、元の文字に戻さないと何が書かれているかがわからないので、ソースコードを読みづらくすることができる。

```
printf("H");
↓
printf("Yx48");
```

このように、COBFは、ソースコードを非常に読みづらくすることができる。もちろん、まったく読めなくなるということではなく、予約語を元に戻し、GNU indentなどでフォーマットしなおすことで、

ある程度読むことができるようになる。したがって、どれくらいの有効性があるのかは疑問だが、すぐには読めなくなるし、面倒で読む気をなくさせるという意味では、非常に有効かもしれない。

そもそも、ソースを読みづらくするということにどれだけの意義があるのか、それはよくわからないが、こうしたヘンテコなアイデアをまじめに形にするということもプログラミングの醍醐味の一つではないだろうか。

〔リストA〕整形前のソースリスト

```
#include <stdio.h>
#ifdef unix
#define MAX COUNT 10
#else
#define MAX COUNT 20
#endif

int main()
{
    int i;
    for (i = 0; i < MAX COUNT; ++i)
        printf("Hello %d!\n", i);
    return 0;
}
```

〔リストB〕整形後のソースリスト

```
/* COBF by BB -- 'test.c' obfuscated at Fri Oct 11 10:30:31 2002
*/
#include<stdio.h>
#include"cobf.h"
#ifdef unix
#define b 10
#else
#define b 20
#endif
c e(){c a;d(a=0;a<b;++a)f("Yx48Yx65Yx6cYx6cYx6fYx20Yx25Yx64Yx21Yn",a);
g 0;}
```

第6回

GCCのインストールと C言語におけるGCCの拡張機能

岸 哲夫

今回は、GCCを各種環境にインストールする際の注意点を解説し、続けてGCCで拡張されているC言語の仕様について、今回と次回の2回に分けて説明する。具体的には、今回は、

- 式の中の文と宣言
 - ローカルに宣言されたラベル
 - 値としてのラベル
 - 入れ子になった関数
 - 関数呼び出しの構築
 - 型の代入
 - typedefでの型の参照
 - 拡張されたlvalue
- について、解説を行う。

(編集部)

GCCの導入に際して

現在、インテルアーキテクチャで動作するLinuxマシンにGCCを導入することは簡単です。実際、インストールのためのパッケージやバイナリが数多く配布されています。それらを利用することで、とくに悩む必要はなくなりました。

それでも通常のインストールが必要な環境の場合もあるので、詳細を説明をします。

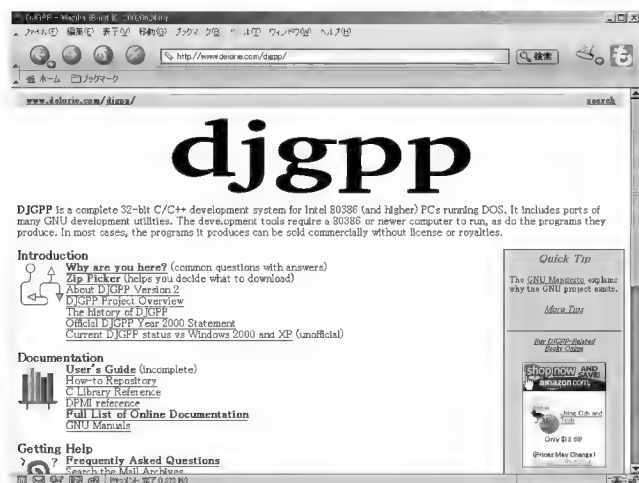
● MS-DOS の場合

本連載では、基本的にLinuxで動作するGNUツールを扱っていく予定ですが、他の環境で動作するGCCについて少し説明しておきます。

「素の」MS-DOSはあまり使われなくなっていると思いますが、組み込み用途などではまだ活躍しています。この環境でGCCを動作させるなら、DJGPPというツールをインストールしなくてはなりません。このセットには、DOS-Extenderツールが含まれているので、32ビット処理が可能になります。

公式サイトを図1に示します。

〔図1〕djgppのWebページ(<http://www.delorie.com/djgpp/>)



また、特殊な用途になりますが、「8086」プロセッサ環境の16ビットMS-DOSにもインストール可能です。図2に示すWebページからダウンロードできます。

もちろん、LinuxなどのGCCとそのまま同じではなく、以下のような制約があります。

- far ポインタが使用できない
- double および float が使用できない
- コードが64Kバイト、データが64Kバイト以上使用できない
- C++の constructors と destructors が使用できない
- デバッグツールがない
- ライブラリがない。また、スタートアップコードも標準のヘッダもない

この場合、リンカもDJLINKというツールを使います。

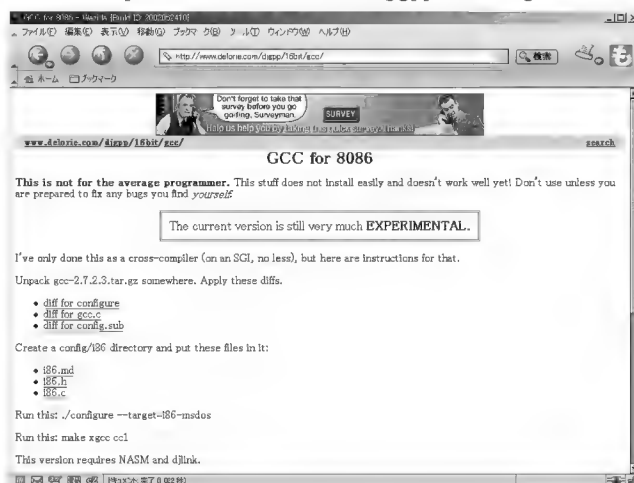
● BeOS の場合

インストールした時点でGCCが導入されているはずですが、バージョンを上げる場合には、元のGCCでコンパイルが可能です。

● Mac OS X の場合

やはり最初からGCCが導入されています。CCという名前でもusr/bin/ccにあります。

〔図2〕gcc for 8086
(<http://www.delorie.com/djgpp/16bit/gcc/>)



● VMS システム

GCC の VMS バージョンは、バックアップ・セーブセットとして配布されています。ソースコードとコンパイル済みのバイナリが含まれています。

しかし、まだ多くのバグがあるようです。それを回避する策の一つは、導入した環境でバイナリを再作成することです。

● Sun にインストールする場合の注意

Solaris では、GCC をビルドする際、`/usr/ucb`にあるリンカやその他のツールを使わず、`/usr/ccs/bin`のほうにあるツールを使ってください。ビルド中にアセンブラでエラーを発生する場合があります。

その場合、最新の GNU アセンブラを使用してください。binutils の最新版にアップグレードするか、または Solaris のアセンブラを使ってください。

`libgcc.a`をコンパイルするときには、環境変数 `FLOAT_OPTION` がセットされていないことを確認してください。`libgcc.a`のコンパイル時にこのオプションが `f68881` にセットされていると、生成されるコードは特殊なスタートアップファイルとリンクすることを要求され、正しくリンクできなくなります。

また、Sun のライブラリのバージョンによっては、`alloca` にバグがあります。このバグを回避するには、GCC によってコンパイルされた GCC バイナリをインストールしてください。これは、`alloca` を組み込み関数として使います。ライブラリの中の関数を使うことはありません。

Sun のコンパイラのバージョンによっては、GCC をコンパイルする際にクラッシュします。問題になるのは、`cpp` におけるセグメンテーションフォルトです。この問題の原因は、環境変数に大量のデータが存在することにあるように思われます。Sun の CC を使って GCC をコンパイルするのに以下のコマンドを使うことによって、この問題を回避することができるかもしれません。

```
make CC="TERMCAP=x OBJS=x LIBFUNCS=x
STAGESTUFF=x cc"
```

SunOS 4.1.3 と 4.1.3_U1 にはバグがあるようで、GCC をコンパイルする際に問題が起きます。その場合、最新の OS にアップグレードしてください。

ざっと説明しましたが、このように MS-DOS でも Mac OS X でも GCC を使用することは可能です。また、VMS 環境でも、もちろん商用 UNIX 環境にも導入が可能です。場合によっては、そのマシンで使用されるオリジナルな環境よりも効率が良いかもしれません。

C 言語における GCC の拡張機能

ここでは C 言語に関することだけ扱います。C++、Objective C に関しては、回を改めて説明することにします。

GNU の C には、ANSI 規格にしたがっていない拡張機能が多くつかあります。たしかに便利なのですが、それに慣れてしまう

と他の環境でプログラムが書けなくなってしまう恐れがあります。また、他の環境にポータリングすることが難しくなってしまいます。

しかし、用途によっては拡張機能によってわかりやすくコーディングすることが必要かもしれません。したがって、どのように使用するかで拡張機能を排除するか許可するかを考えてください。

もし排除する場合は、連載第 3 回目 (2002 年 10 月号) に記したように、`-pedantic` オプションを使用します。

このオプションは厳密な ANSI C および ISO C++ により要求される警告をすべて出力します。禁止されている拡張機能を使うプログラムをすべて拒絶します。正当な ANSI C プログラム、および ISO C++ プログラムであれば、このオプションの指定の有無にかかわらず正しくコンパイルされるはずです。しかし、このオプションが指定されないと、特定の GNU 拡張機能もまたサポートされることになります。

もし、拡張機能を使用してコードを書いた場合、条件コンパイルで ANSI、非 ANSI を分けることが可能です。これらの機能が利用可能であるかどうかをテストするためには、`__GNUC__` というマクロが事前に定義されているかどうかをチェックします。この `__GNUC__` というマクロは、GCC では常に定義されています。

Linux の GUI 開発環境として話題の C++ 言語版の Kylix では、GCC の独自拡張機能を使う場合、新たに環境の設定をしなくてはなりません。もし、Kylix との互換を取るならば、ANSI 準拠にしなくてはなりません。

今回と次回の 2 回にわたり、この拡張機能の説明と検証を行います。

● 式の中の文と宣言

拡張機能として、小括弧 `()` 内に中括弧 `{}` でまとめた複文を入れることができます。この複文中ではループや変数宣言もできます。最後の項がやはり小括弧 `()` の値を表します。

引き数のうち大きなほうを戻すマクロ `max_a()` を、次のように作ることができます。

```
#define max_a(X,Y) Y
((int _X = (X), _Y = (Y); _X > _Y ? _X :
_Y; ))
```

引き数の値を一時的な変数に保管し、そのの大小を評価しているの、「マクロの副作用」にはまることはありません。

GCC の標準機能で実装するには、`inline` 関数を使うことです。そのほうが確実に簡単かつ安全です (リスト 1, リスト 2)。

実行結果は以下のようになります。

```
$ ./test44
副作用が発生した答え = 2
正しい答え (拡張機能) = 80
$ ./test45
副作用が発生した答え = 2
```

〔リスト1〕 副作用が発生するマクロ、および拡張機能を使ったマクロを使用したCソース(test44.c)

```
#include <stdio.h>
#define max(X, Y) X > Y ? X : Y
#define max a(X,Y) Y
    ((int X = (X), Y = (Y); X > Y ? X : Y; ))
int main(void)
{
    int a,b,c,ans;
    a = 2;
    b = 10;
    c = 8;
    ans = c * max(a, b);
    printf("副作用が発生した答え = %d\n", ans);
    ans = c * max a(a, b);
    printf("正しい答え (拡張機能) = %d\n", ans);
    return;
}
```

正しい答え(拡張機能) = 80

正しい答え1(インライン関数) = 80

正しい答え2(インライン関数) = 160

\$

リスト3に test44.c のアセンブラリストを、リスト4に test44.c のアセンブラリストを示します。

リストからわかるように、ここでは inline 関数を指定しても展開されません。C++ の処理を行っていないからです。

リスト1の二つのマクロは、以下のように展開されます。

```
ans = c * a > b ? a : b ;
ans = c * ((int _X = ( a ), _Y = ( b );
           _X > _Y ? _X : _Y; ))
```

上の式では問題が起きることがわかんと思います。

- ローカルに宣言されたラベル

ローカルラベル機能が役に立つのは、複文式〔小括弧()内に中括弧[]で文をまとめたもの〕がマクロの中でしばしば使われるからです。あるマクロの中に入れ子になったループがあると、そのループから抜け出るのに goto が役に立ちます。ただし、その場合、スコープが関数全体である通常のラベルを使うことはできません。

なぜなら、そのマクロが一つの関数の中で複数回展開されることがあると、同じ関数の中でそのラベルが複数回定義されることになるからです。局所ラベルはこのような問題を回避します。

GCC の標準機能で実装するには、ラベルを使用する命令を使わないことです。プログラムは冗長になるかもしれませんが、可読性は高まります。

- 値としてのラベル

これは昔からメインフレームの COBOL やアセンブラや ROM BASIC でコードを小さくするために使用されてきた「飛び先テーブル」の一種です。

これを使用すると読みにくく、バグを出したときに見つけにくいので使用しないほうがよいと思います。

そのラベルがスコープ内にある関数の中で定義されたラベルのアドレスを、単項演算子 && で獲得することができます。この値の型は void * です。この値は定数であり、void * 型の定数

〔リスト2〕 リスト1に加えて inline 関数を使用したCソース(test45.c)

```
#include <stdio.h>
#define max(X, Y) X > Y ? X : Y
#define max a(X,Y) Y
    ((int X = (X), Y = (Y); X > Y ? X : Y; ))
static inline int max_i(int X,int Y);
int main(void)
{
    int a,b,c,ans;
    a = 2;
    b = 10;
    c = 8;
    ans = c * max(a, b);
    printf("副作用が発生した答え = %d\n", ans);
    ans = c * max a(a, b);
    printf("正しい答え (拡張機能) = %d\n", ans);
    ans = c * ( max_i(a, b) );
    printf("正しい答え1 (インライン関数) = %d\n", ans);
    ans = c * max_i(a, b) * 2;
    printf("正しい答え2 (インライン関数) = %d\n", ans);
    return;
}
static inline int max_i(int X,int Y)
{
    return X > Y ? X : Y;
}
```

が正当であるところではどこでも使うことができます。次に例を示します。

```
static void *array[]
= { &&foo, &&bar, &&hack };
```

こうすると、以下のようにインデックスを使ってラベルを選択することができます。

```
goto *array[i];
```

ここで、配列の添字が上限内にあるかどうかチェックされないことに注意してください。Cにおける配列のインデックスでは、このようなチェックは決して行われません。

このようなことを行うのなら、switch 文のほうが、よりすっきりしています。実現しようとしていることが switch 文にうまく適合しない場合以外は、ラベル値の配列ではなく、switch 文を使うようにしてください。

- 入れ子になった関数

C言語の拡張機能でネストされた関数を作ることができます (リスト5)。C++ 言語では使えません。

入れ子関数が定義された箇所において可視な変数は、すべて入れ子関数の中からアクセスすることができます。

関数の中で変数定義ができるところであればどこでも、入れ子関数の定義を行うことができます。つまり、任意のブロック内で、そのブロックの最初にある文の前であれば、入れ子関数の定義が可能です。

入れ子関数のアドレスをどこかに格納したり、別の関数へ渡すことによって、入れ子関数の名前が有効なスコープの外部からでも、入れ子関数を呼び出すことができます (リスト6)。

リスト6の関数 test1 は store のアドレスを引き数として受け取っています。test1 が store を呼び出すと、store に渡された引き数は array への値の格納に使われます。しかし、このテクニックは、入れ子関数を包含している関数(この例では

〔リスト3〕 test44.cのアセンブラリスト(test44.s)

```
.file "test44.c"
.version "01.01"
gcc2 compiled.:
.section .rodata
.LC0:
.string "¥311¥373¥272¥356¥315¥321¥244¥254¥310¥257¥300¥270¥244¥267¥244¥277¥305¥372¥244¥250 = %d¥n"
.LC1:
.string "¥300¥265¥244¥267¥244¥244¥305¥372¥244¥250¥241¥312¥263¥310¥304¥245¥265¥241¥307¥275¥241¥313 = %d¥n"
.text
.align 4
.globl main
.type main,@function
main:
pushl %ebp
movl %esp,%ebp
subl $40,%esp
movl $2,-4(%ebp)
movl $10,-8(%ebp)
movl $8,-12(%ebp)
movl -12(%ebp),%eax
imull -4(%ebp),%eax
cmpl -8(%ebp),%eax
jle .L3
movl -4(%ebp),%eax
jmp .L4
.p2align 4,,7
.L3:
movl -8(%ebp),%eax
.L4:
movl %eax,-16(%ebp)
addl $-8,%esp
movl -16(%ebp),%eax
pushl %eax
pushl $.LC0
call printf
addl $16,%esp
movl -4(%ebp),%eax

movl %eax,-20(%ebp)
movl -8(%ebp),%eax
movl %eax,-24(%ebp)
movl -24(%ebp),%eax
cmpl -20(%ebp),%eax
jge .L5
movl -20(%ebp),%eax
.L5:
imull -12(%ebp),%eax
movl %eax,-16(%ebp)
addl $-8,%esp
movl -16(%ebp),%eax
pushl %eax
pushl $.LC1
call printf
addl $16,%esp
jmp .L2
.p2align 4,,7
.L2:
movl %ebp,%esp
popl %ebp
ret
.Lf1:
.size main,.Lf1-main
.ident "GCC: (GNU) 2.95.3 20010315 (release)"
```

〔リスト4〕 test45.cのアセンブラリスト(test45.s)

```
.file "test45.c"
.version "01.01"
gcc2 compiled.:
.section .rodata
.LC0:
.string "¥311¥373¥272¥356¥315¥321¥244¥254¥310¥257¥300¥270¥244¥267¥244¥277¥305¥372¥244¥250 = %d¥n"
.LC1:
.string "¥300¥265¥244¥267¥244¥244¥305¥372¥244¥250¥241¥312¥263¥310¥304¥245¥265¥241¥307¥275¥241¥313 = %d¥n"
.align 32
.LC2:
.string "¥300¥265¥244¥267¥244¥244¥305¥372¥244¥250¥241¥312¥245¥244¥245¥363¥245¥351¥245¥244¥245¥363¥264¥330¥277¥364¥241¥313 = %d¥n"
.align 32
.LC3:
.string "¥300¥265¥244¥267¥244¥244¥305¥372¥244¥250¥241¥312¥245¥244¥245¥363¥245¥351¥245¥244¥245¥363¥264¥330¥277¥364¥241¥313 = %d¥n"
.text
.align 4
.globl main
.type main,@function
main:
pushl %ebp
movl %esp,%ebp
subl $8,%esp
addl $-8,%esp
pushl $2
pushl $.LC0
call printf
addl $16,%esp
addl $-8,%esp
pushl $80
pushl $.LC1
call printf
addl $-8,%esp
pushl $10
pushl $2
call max i
sall $3,%eax
addl $32,%esp
addl $-8,%esp
pushl %eax
```

〔リスト4〕 test45.cのアセンブラリスト(test45.s)(つづき)

<pre> pushl \$.LC2 call printf addl \$-8,%esp pushl \$10 pushl \$2 call max i sall \$4,%eax addl \$32,%esp addl \$-8,%esp pushl %eax pushl \$.LC3 call printf movl %ebp,%esp popl %ebp ret .Lfel: .size main,.Lfel-main </pre>	<pre> .align 4 .type max_i,@function max i: pushl %ebp movl %esp,%ebp movl 8(%ebp),%edx movl 12(%ebp),%eax cmpl %edx,%eax jge .L22 movl %edx,%eax .L22: movl %ebp,%esp popl %ebp ret .Lfe2: .size max_i,.Lfe2-max i .ident "GCC: (GNU) 2.95.3 20010315 (release)" </pre>
---	--

〔リスト5〕 ネストされた関数

```

void foo( double x[], double y[], int num )
{
    int i;
    int X( double xd )
    {
        return( (int)(2.0*xd) );
    }
    int Y( double yd )
    {
        return( (int)(4.0*yd) );
    }

    for( i=0 ; i<num ; i++ )
    {
        printf("%d %d\n", X(x[i]), Y(y[i]) );
    }
}

```

test)が終了しないかぎりにおいてのみ有効です。

かりに関数 test1 内部でどこかに store のアドレスを保存しても、関数 test が終了した後、そこを参照しても不定です。確実にコアダンプしてしまうでしょう。

GCC の標準機能で同等の機能を実装することはできません。可読性の点から、あまり使わないほうが無難です。

● 関数呼び出しを構築する

以下で説明する組み込み関数を使うことで、ある関数の引き数の数や型がわからなくても、その関数が受け取った引き数を記録して、別の関数を同じ引き数で呼び出すことができます。

また、その関数が返そうとした戻り値のデータ型がわからなくても、その関数呼び出しの戻り値を記録して、後にその値を返すことができます。

○ __builtin_apply_args ()

この組み込み関数は、現在処理中の関数を呼び出すためのデータを返します。関数は、スタックに割り当てられたメモリのブロックへ引き数を関数へ渡すために使われる引き数、ポインタ、レジスタ、構造体値アドレスとすべてのレジスタを保存します。その後、そのデータブロックのアドレスを void ポインタとして返します。

○ __builtin_apply (function, arguments, size)

この組み込み関数は、引き数(void* 型)とサイズ(int 型)によって記述されたパラメータのコピーで関数(void(*) ()型)を

〔リスト6〕 入れ子関数の呼び出し

```

test (int *array, int size)
{
    void store (int index, int value)
    { array[index] = value; }

    test1 (store, size);
}

```

起動します。引き数の値は上の __builtin_apply_args によって返された値でなければなりません。引き数サイズはバイトで、スタック引き数データのサイズを指定します。

この関数は、対象の関数が戻す値のデータを返します。

データは、スタックに割り当てられたメモリのブロックで保存されます。その後、そのデータブロックのアドレスを void ポインタとして返します。

○ __builtin_return (result)

この組み込み関数は、result の値を戻り値として、この組み込み関数を実行している関数から復帰します。result には、__builtin_apply から返された値を指定しなければなりません。

GCC の標準機能で同等の機能を実装することはできません。

● 型の代入

初期化子(initializer)とともに typedef 宣言を使うことで、式の型に名前を与えることができます。以下に、式 exp の型の名前として name を定義する方法を示します。

```
typedef name = exp;
```

この機能を使うと先に使ったマクロで、型にとらわれないものが作成できます(リスト7)。

```
#define max_a(X,Y) Y
((typedef _X = (X), _Y = (Y);
_X > _Y ? _X : _Y; ))
```

これで文字列以外の比較ができるようになります。実行結果を以下に示します。

```
$ ./test46
正しい答え(拡張機能) = 80
正しい答え(拡張機能) = 1246822400
$
```

〔リスト7〕 マクロに型の代入を使ったソース(test46.c)

```
#include <stdio.h>
#define max_a(a,b) ({ typedef _ta = (a), _tb = (b); _ta _a = (a); _tb _b = (b); _a > _b ? _a : _b; })
int main(void)
{
    int a,b,c,ans;
    long la,lb,lc,lans;
    a = 2;
    b = 10;
    c = 8;
    la = 2000000;
    lb = 1000000;
    lc = 8000000;
    ans = c * max_a(a, b);
    printf("正しい答え(拡張機能) = %d\n", ans);
    lans = lc * max_a(la, lb);
    printf("正しい答え(拡張機能) = %d\n", lans);
    return;
}
```

long 値でも正しい結果になりました。GCC の標準機能で同等の機能を実装することはできません。

- **typeof** で型を参照する

式の型を参照する方法の一つに **typeof** があります。このキーワードを使うときの構文は **sizeof** の構文に似ていますが、意味論的には、**typedef** により定義された型名のような働きをします。

typeof を使う宣言の意味と、なぜそれが役に立つことがあるのかを理解するために、これを次のようなマクロで書き換えてみましょう。

```
#define pointer(T)    typeof(T *)
#define array(T, N)  typeof(T [N])
```

すると、上の宣言は次のように書き換えることができます。

```
array (pointer (char), 4) y;
```

この場合、`array (pointer (char), 4)` は、`char` への四つのポインタから構成される配列の型です(リスト8, リスト9)。実行結果を以下に示します。

```
$ ./test47
char_p[0] = 97
char_p[1] = 98
char_p[2] = 99
char_p[3] = 100
char_p[4] = 101
char_p[5] = 102
char_p[6] = 103
char_p[7] = 104
char_p[8] = 105
char_p[9] = 106
long_p[0] = 0
long_p[1] = 1000000
long_p[2] = 2000000
long_p[3] = 3000000
long_p[4] = 4000000
```

〔リスト8〕 **typeof** でマクロを作ったソース(test47.c)

```
#include <stdio.h>
#define pointer(T)    typeof(T *)
#define array(T, N)  typeof(T [N])
int main(void)
{
    int ix;
    array (pointer (char), 10) char p;
    array (pointer (long), 10) long_p;
    for (ix=0;ix<10;ix++)
    {
        char p[ix] = 'a'+ix;
        long p[ix] = ix * 1000000;
    }
    for (ix=0;ix<10;ix++)
    {
        printf("char p[%d] = %d\n",ix,char p[ix]);
    }
    for (ix=0;ix<10;ix++)
    {
        printf("long_p[%d] = %d\n",ix,long_p[ix]);
    }
    return;
}
```

```
long_p[5] = 5000000
long_p[6] = 6000000
long_p[7] = 7000000
long_p[8] = 8000000
long_p[9] = 9000000
$
```

リスト9のアセンブラソースを見てわかるとおり、ポインタの長さ分、領域が10個ずつ取られているのがわかります。GCC の標準機能で同等の機能を実装することはできません。

- 拡張された **lvalue**

複合式、条件式、および、キャストは、そこに含まれる式が **lvalue** であるかぎり、**lvalue** として使うことができます。これは、アドレスを取ったり、値を格納することができるということを意味しています。

複合式の中の最後の式が **lvalue** であれば、複合式に対して値を代入することができます。以下に示す二つの式は同等です。

```
(a, b) += 5
a, (b += 5)
```

同様に、複合式のアドレスを取ることでもあります。次の二つ

の式は同等です。

&(a, b)

a, &b

条件式は、その型が void ではなく、かつ、真のときに分岐する部分と偽のときに分岐する部分がともに正当な lvalue であれば、正当な lvalue です。たとえば、以下の二つの式は同等です。

(a ? b : c) = 5

(a ? b = 5 : (c = 5))

見てのとおり言語仕様が違うのかと思うくらいに拡張されています。ただこれは、使用してもメリットはないと思います。後

で混乱をまねくでしょう。GCC の標準機能を使って一行で同等の機能を実装することはできません。

*

*

今回は、続けて GNU C の拡張機能について詳細に説明と検証を行う予定です。

きし・てつお オフィス岸

[リスト9] 展開されたアセンブラリスト(test47.s)

```
.file "test47.c"
.version "01.01"
gcc2 compiled.:
.section .rodata
.LC0:
.string "char p[%d] = %d\n"
.LC1:
.string "long p=[%d] = %d\n"
.text
.align 4
.global main
.type main,@function
main:
    pushl %ebp
    movl %esp,%ebp
    subl $96,%esp
    pushl %esi
    pushl %ebx
    nop
    movl $0,-4(%ebp)
    .p2align 4,,7
.L3:
    cmpl $9,-4(%ebp)
    jle .L6
    jmp .L4
    .p2align 4,,7
.L6:
    movl -4(%ebp),%eax
    movl %eax,%edx
    leal 0(,%edx,4),%eax
    leal -44(%ebp),%edx
    movl -4(%ebp),%ecx
    addl $97,%ecx
    movl %ecx,(%eax,%edx)
    movl -4(%ebp),%eax
    movl %eax,%edx
    leal 0(,%edx,4),%eax
    leal -84(%ebp),%edx
    movl -4(%ebp),%ecx
    movl %ecx,%ebx
    movl %ebx,%esi
    sall $5,%esi
    subl %ecx,%esi
    movl %esi,%ebx
    sall $6,%ebx
    subl %esi,%ebx
    sall $3,%ebx
    addl %ecx,%ebx
    movl %ebx,%ecx
    sall $6,%ecx
    movl %ecx,(%eax,%edx)
.L5:
    incl -4(%ebp)
    jmp .L3
    .p2align 4,,7
.L4:
    nop
    movl $0,-4(%ebp)
    .p2align 4,,7
.L7:
    cmpl $9,-4(%ebp)
    jle .L10
    jmp .L8
    .p2align 4,,7
.L10:
    addl $-4,%esp
    movl -4(%ebp),%eax
    movl %eax,%edx
    leal 0(,%edx,4),%eax
    leal -44(%ebp),%edx
    movl (%eax,%edx),%eax
    pushl %eax
    movl -4(%ebp),%eax
    pushl %eax
    pushl $.LC0
    call printf
    addl $16,%esp
.L9:
    incl -4(%ebp)
    jmp .L7
    .p2align 4,,7
.L8:
    nop
    movl $0,-4(%ebp)
    .p2align 4,,7
.L11:
    cmpl $9,-4(%ebp)
    jle .L14
    jmp .L12
    .p2align 4,,7
.L14:
    addl $-4,%esp
    movl -4(%ebp),%eax
    movl %eax,%edx
    leal 0(,%edx,4),%eax
    leal -84(%ebp),%edx
    movl (%eax,%edx),%eax
    pushl %eax
    movl -4(%ebp),%eax
    pushl %eax
    pushl $.LC1
    call printf
    addl $16,%esp
.L13:
    incl -4(%ebp)
    jmp .L11
    .p2align 4,,7
.L12:
    jmp .L2
    .p2align 4,,7
.L2:
    leal -104(%ebp),%esp
    popl %ebx
    popl %esi
    movl %ebp,%esp
    popl %ebp
    ret
.Lfel:
    .size main,.Lfel-main
    .ident "GCC: (GNU) 2.95.3 20010315 (release)"
```


デジタルオーディオボード の設計/製作

山武一郎



ここでは、先月号の特集「作りながら学ぶコンピュータシステム技術」で掲載できなかった、光デジタルオーディオ入出力対応のデジタルオーディオボードを設計する。AV 機器に使われているデジタルオーディオについて解説した後、デジタルオーディオデータ転送のシステム負荷を検討し、FIFO 内蔵の実用的なオーディオボードを設計する。最後に、WAVE ファイル対応の録音/再生サンプルプログラムも作成している。(編集部)

はじめに

マルチメディアという言葉は、今では死語といわれているようですが(笑)、コンピュータで音と映像を扱いたいという要求は、パソコン登場当初からあったようです。

デジタル回路でもっとも簡単に音を出すとするれば、ロジックの世界の“1”/“0”をそのまま電圧の“H”/“L”に変換し、圧電素子や圧電ブザーを鳴らす、いわゆるピープ音があります。“1”/“0”の切り替え速度を変えることで、音の高低も表現できます。そしてもう少し進化すると、三角波やのこぎり波といったある程度の波形を表現でき、それを3チャンネルもった3重和音を出力できるプログラマブルサウンドジェネレータ(PSG)などが登場します。さらに複数の正弦波を重ね合わせたり周波数変調をすることで、より表現力豊かな音を生成できるFM音源なども登場します。

一方で、このように波形を合成して出力するという考え方はなく、自然界の音をA-D変換してデジタル化し、それを音源として使うサンプリング音源というものも出てきました。技術の進歩とともにA-D/D-A変換のクオリティも向上し、CDオーディオでは16ビット/44.1kHz、DVDオーディオでは24ビット

/96kHzなどの量子化数/サンプリング周波数が使われています。またサンプリングしたデータをそのままファイルに書き出したり、書き出したファイルを出力して、音楽を録音/再生することも可能になりました。

ここでは、CDクオリティで音を入出力できる、光デジタル対応のオーディオ入出力ボードを設計/製作してみます。

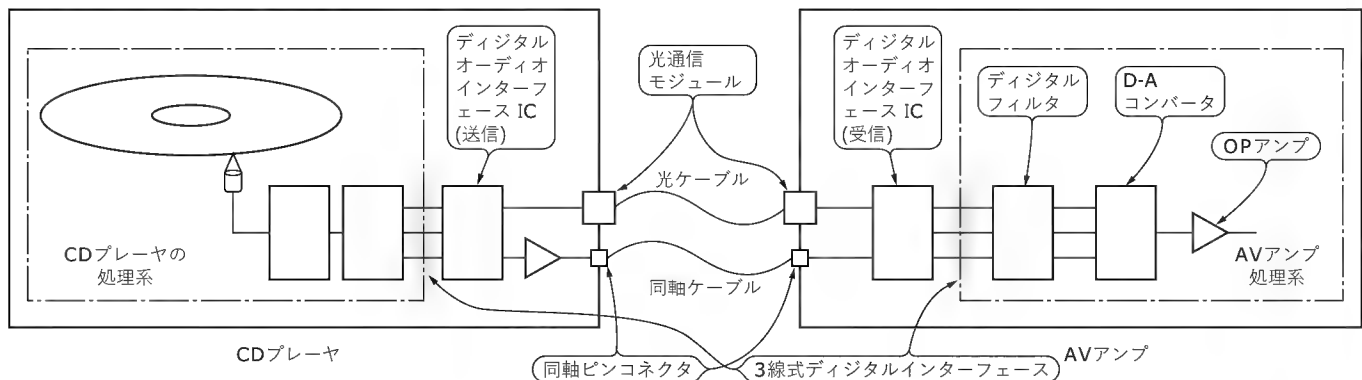
1 デジタルオーディオの基礎

● デジタルオーディオ機器の構成例

図1にデジタルオーディオシステムの構成例として、デジタルオーディオ出力対応のCDプレーヤと、デジタルオーディオ入力対応のAVアンプの、デジタルオーディオ信号の流れを示します。

現在の低価格化が進み内部がシステムLSI化されたAV機器は、かなりの部分が1チップ化されていると思いますが、基本的な考え方は通じるものがあると思います。また図1ではCDプレーヤとAVアンプという別々の機器ですが、アナログ出力をもっているデジタルオーディオ機器であれば、その内部は図1のシステムが一つの機器に内蔵されていると考えることができます。

(図1) デジタルオーディオシステムの構成例



● 同軸/光デジタル端子

一般的な民生用 AV 機器に使われるデジタルオーディオインターフェースには、端子がピンプラグ形状の同軸インターフェースと、光ファイバを使って伝送する光インターフェースの2種類が存在します(写真1)。筆者の感覚では、光デジタルインターフェースのほうがよく使われているように思えます。高級機には同軸もよく使われています。どちらも一長一短があるようで、同軸がなくなるといってもいいようです。

これらは信号を伝送するための物理的な媒体が異なるだけで、その上を流れる信号は同じものと考えて間違いありません。光デジタルオーディオ信号は、光デジタルオーディオレシーバ/トランスミッターモジュールで、同軸デジタルオーディオと同等の信号に変換されます。ちなみに同軸デジタルオーディオ信号も、実質的には信号のドライブ能力などの問題で、バッファ IC を経由して外とつながっていることが多いようです。

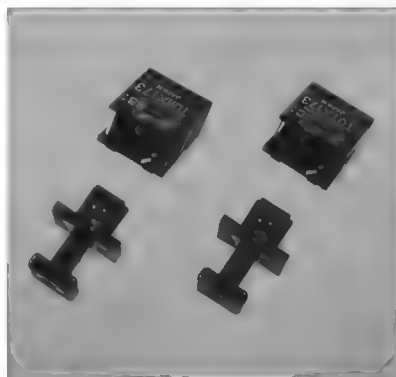
● デジタルオーディオインターフェース IC

デジタルオーディオの伝送には、同軸にしろ光にしろ、1本のケーブルだけで行われます。この1本の信号でL/Rの両チャンネルのデジタルオーディオデータはもちろん、サンプリング周波数の情報やその他の付随情報などもいっしょに伝送しています。

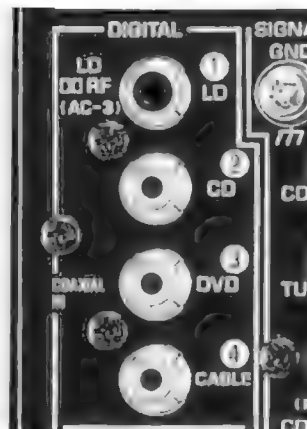
よって出力(送信)側のデジタルオーディオインターフェース IC は、デジタルオーディオ信号やクロック情報、その他の情報を合成して1本の信号にまとめて出力します。逆に入力(受信)側のデジタルオーディオインターフェース IC は、送信側のクロックに同期をかけ、1本の信号からデジタルオーディオ信号やクロック情報、その他の情報を取り出します。

ここで図1のAVアンプ側、受信側のデジタルオーディオインターフェース IC と D-A コンバータの間に注目してください。ここで伝送されている情報として、ビットクロック、L/R クロック、そしてオーディオデータの3種類の信号があります。これはデジタルオーディオ制御系の IC でよく使われる信号で、3線式デジタルインターフェースと呼ばれることがあります。

〔写真1〕 デジタルオーディオインターフェースの端子の外観



(a) 光デジタル端子
(左：受信用、右：送信用)
下は端子保護キャップ



(b) 同軸デジタル端子

ここを切り口にすることで、メーカーの異なるインターフェース IC とデジタルフィルタや D-A コンバータを接続できるのです。

● 3線式デジタルインターフェース

図2に3線式デジタルインターフェースの信号波形例を示します。量子化数は16ビットが一般的なので、ビットクロックが16クロックごとに、L/Rクロックの極性も切り替わります。しかし中には将来の拡張性をにらんでか、ビット数が20ビットや24ビットに対応したものもあります。その場合、16ビットのデジタルオーディオを伝送する場合、データをLSB側に詰めるかMSB側に詰めるかなど、使用するインターフェース IC やデジタルフィルタなどにより設定が必要になります。

オーディオデータはシリアルなので、量子化したデジタルオーディオデータをMSB側から出力するのが一般的のようです。またL/RチャンネルはLチャンネルを先に伝送します。

なお、デジタルオーディオインターフェース IC の動作システムクロック周波数としては、サンプリング周波数の256倍(256fs)や384倍(384fs)という周波数が使われます。3線式デジタルインターフェースの切り口で別のメーカーのICをそれぞれ組み合わせることができそうですが、システムクロックは同期が取れている必要があるため、たとえば256倍のクロックを採用する場合は256fs対応のデバイスでそろえる必要があります。

なお筆者は、DVD時代のデジタルオーディオ設計には詳しくないので、現在ではより高い量子化数/サンプリング周波数に対応する新しい内部インターフェースが一般的になっているかもしれません。

2 デジタルオーディオボードの仕様検討

● 対応デジタルオーディオの仕様

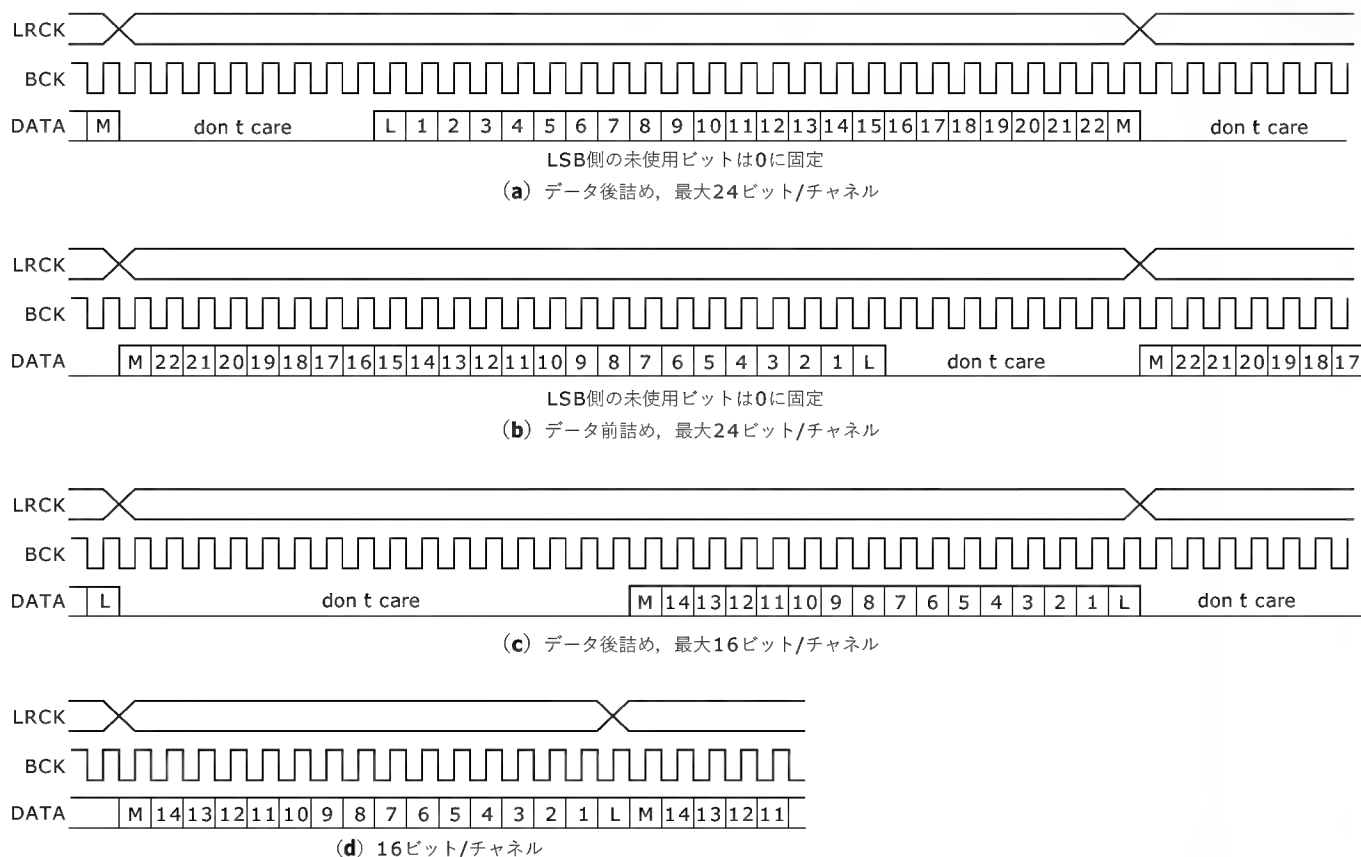
DVDでは5.1チャンネルなどのサラウンド信号も、デジタルオーディオインターフェースを経由して伝送します。しかしドルビーデジタルなどのサラウンド信号はいろいろな特許が絡んでいるので、残念ながらおいそれと使うわけにはいきません。

そこで今回は、デジタルオーディオとしてもっとも一般的な、44.1kHz、48kHz、32kHzの三つのサンプリング周波数への対応を考えます。量子化数は16ビットで、L/Rのステレオという仕様は固定です。

● デジタルオーディオインターフェース IC

すでに説明したようにデジタルオーディオインターフェースでは、一つのケーブルでクロックとデータがいっしょに送られてきます。送信側ではクロックとデータを合成する回路が、受信側では送信側のクロックに同期をかけてデータとクロックを分離する回路が必要になります。この部分にはアナログ回路が必要になるので、通常のFPGAだけでは実現できません。

〔図2〕3線式デジタルインターフェースの波形例



そこで今回は、3種類のサンプリング周波数に対応した、デジタルオーディオ信号を送受信する専用ICを使い、それらのロジック出力部分をPCIバスにブリッジし、制御する部分をFPGAで実現するという方法を採用します。

今回採用したデジタルオーディオインターフェースICは、送信用にはTC9271F(東芝)を、受信用にはTC9245N(同)を使用しました。パッケージはどちらも同じ28ピンSOPです。表1にピン配置を示します。

送信側のTC9271Fには、3線式デジタルインターフェースの仕様にいくつかのモードがあります。今回はMSBファースト、16ビット/チャンネル、データ後詰めの設定で動作させることにします。また送信側には、送信するデジタルオーディオ信号のサンプリング周波数の設定や、エンファシスの設定ピン、そして動作クロック周波数の入力ピンなどもあります。

受信側のTC9245Nにはいくつかの動作モードがあります。外付けにマイコンを置き、それによって制御させる場合にはシリアルモードを使いますが、今回は後述するようにFPGAと接続することを考えているので、パラレルモードを使用しました。また、現在受信しているデジタルオーディオ信号のサンプリング周波数やエンファシスの状態、コピー禁止信号が立っているかどうかのステータス情報も出力されます。なお、正常な信号が入力されていない状態では、エラー信号が出力されます。

● 光インターフェースの採用

また、同軸と光インターフェースの2種類が存在しますが、今回は光インターフェースを採用することにします。その理由としては、本ボードはPCIバス対応のボード、つまりノイズの巣窟のようなパソコンに実装することになるので、そのノイズを外のAV機器に伝えないためにも、機器間が絶縁される光インターフェースが望ましいと考えたためです。

以上をまとめたデジタルオーディオボードのブロック図を図3に示します。

● TC9271FとTC9245Nの仕様

受信側TC9245Nは16ビットMSBファースト、Lチャンネル先出しという仕様で固定されています。図2でいうところの(d)の波形になります。送信側TC9271FはICのピンを設定することで、いくつかのモードを選択できます。ここでは受信側と同じ仕様にしていきます。こうすることで、デジタルオーディオ入力をそのままスルーして出力端子から出力する場合に便利です。

● クロックセレクト

デジタルオーディオインターフェースICは、受信側は受信したデジタルオーディオ信号に同期をかけてクロックを生成するので、外付けのクロックは不要です。FPGAにはこれを入力して受信側ブロックを動作させます。

しかし、送信側はどのサンプリング周波数で出力するか、サ

〔表1〕 デジタルオーディオインターフェース IC のピン配置

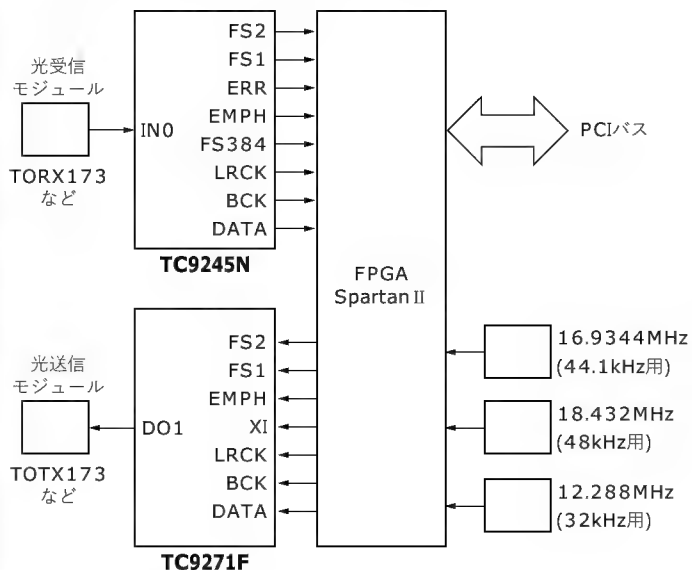
端子番号	記号	I/O	機能説明
1	BLOCK	O	ブロック先頭位置出力端子
2	UBDA	I	ユーザービット入力端子
3	LRS	I	LRCK 極性選択端子
			LRCK
			“L” “H”
			“L”レベル Rチャネルデータ Lチャネルデータ “H”レベル Lチャネルデータ Rチャネルデータ
4	LRCK	I	L/Rクロック入力端子
5	BCK	I	ビットクロック入力端子
6	DATA	I	デジタルオーディオデータ入力端子
7	VLDY	I	補正フラグ入力端子
8	EMPH	I	エンファシスフラグ設定端子
9	COPY	I	コピーフラグ設定端子
10	FS1	I	サンプリング周波数設定端子1
11	FS2	I	サンプリング周波数設定端子2
12	CKS	I	クロック分周波数選択端子
13	XI	I	クロック入力端子
14	V _{SS}	—	グラウンド端子
15	DO1	O	デジタルデータ出力端子1
16	DO2	O	デジタルデータ出力端子2
17	M1	I	チャンネルモード設定端子1
18	M2	I	チャンネルモード設定端子2
19	IS1	I	データ入力モード設定端子1
20	IS2	I	データ入力モード設定端子2
21	CGT1	I	カテゴリコード設定端子1
22	CGT2	I	カテゴリコード設定端子2
23	CGT3	I	カテゴリコード設定端子3
24	FR32	O	FR32出力端子
25	LBIT	I	LBIT入力端子
26	CKA1	I	クロック精度設定端子
27	CKA2	I	クロック精度設定端子
28	V _{DD}	—	電源電圧端子

(a) 送信側 TC9271F (パラレルモード/2チャンネル)

端子番号	記号	I/O	機能説明
1	DOUT	O	IN0 ~ IN2 選択出力端子. IN3 選択時は“L”固定出力
2	SEL	I	“H”またはオープンでパラレルモード, “L”でシリアルモードに対応
3	IN0	I	デジタルオーディオデータ入力端子 (チャンネル0 ~ 4)
4	IN1	I	
5	IN2	I	
6	IN3	I	
7	FCONT	O	PLL ミスロック検出信号出力端子
8	PD	O	位相比較器位相誤差信号出力端子
9	V _{DDA}	—	アナログ電源電圧端子
10	AMPI	I	LPF 用 OP アンプ入力端子
11	VCOI	O	OP アンプ出力端子 (VCO 発振制御電源出力)
12	VCOINH	I	VCO 発振停止制御用入力端子
13	NC	—	無接続端子
14	V _{SSA}	—	アナロググラウンド端子
15	V _{SS}	—	デジタルグラウンド端子
16	DATA	O	デジタルオーディオデータ出力端子
17	BCK	O	ビットクロック出力端子 (32fs)
18	LRCK	O	L/Rクロック出力端子 (L/Rチャネル極性固定)
19	EMPH	O	エンファシス出力端子 (“H”でエンファシスあり)
20	ERROR	O	エラー検出フラグ出力端子 (“L”でエラー検出)
21	TEST	I	テスト用入力端子
22	FS384	O	384fs クロック出力端子
23	S1	I	入力端子
24	S2	I	入力端子
25	COPY	O	コピー禁止フラグ出力
26	FS1	O	サンプリング周波数デコード出力端子1
27	FS2	O	サンプリング周波数デコード出力端子2
28	V _{DD}	—	デジタル電源電圧端子

(b) 受信側 TC9245N (パラレルモード)

〔図3〕 デジタルオーディオボードのブロック図



ンプリング周波数設定端子に設定するだけでなく、実際にサンプリングの何倍かのクロックが必要です。TC9271F は 384fs 系にも 256fs 系にも自動的に対応するので、今回は外部に 386 倍のクロックを実装します。

さらに今回は 3 種類のサンプリング周波数に対応するので、44.1kHz 用に 16.9344MHz を、48kHz 用に 18.432MHz を、32kHz 用に 12.288MHz の三つのクロックを実装し、FPGA に実装しています。FPGA の内部でサンプリング周波数を設定すると、その設定値が TC9271F のサンプリング周波数設定端子に出力すると同時に、FPGA 内部のクロックセレクタで該当クロックを選択し、TC9271F のクロック入力に出力されるようにします。

● PCI バスへのブリッジ

すでに説明したように、今回採用したデジタルオーディオインターフェースは、ビットクロック、L/R クロック、そしてビットデータからなる 3 線式デジタルインターフェースを使っています。つまりデジタルオーディオ信号をシリアルで伝送し

ているわけです。

しかし、デジタルオーディオ信号をパソコン上で扱うには、パラレルに変換してメモリやストレージに格納します。今回の仕様ではL/Rステレオの16ビットですから、ちょうど32ビットにL/Rの1サンプリング分を格納すると都合がよいと考えられます。

● もっとも単純なI/Oデバイス

L/Rまとめて1サンプリングがちょうど32ビットということは、PCIバスの幅とちょうど一致し、PCIバス上で1バスサイクルで1サンプリングのデータの入出力が可能になります。これをもっとも単純に読み書きするには、ステータスレジスタを設けて、データ転送の準備が整ったというステータスビットが立ったら、データレジスタを32ビット幅で読み書きするというポーリング制御でいけそうです。

● 転送負荷の検討

このとき、どれくらいの負荷がかかるのかを計算してみます。今回は量子化数16ビットでステレオ2チャンネルで、これを32ビット幅で1度に転送します。これは今回の仕様では一定なので、サンプリング周波数によりそのデータ転送の頻度が変わることになります。もっとも一般的なデジタルオーディオ信号と思われるCDオーディオを考えてみると、そのサンプリング周波数は44.1kHz、つまり22μsに1回のデータ転送が発生するわけです。

22μsというと、それほど速くないように思われます。たとえば最近のマイコンではRISC的に1命令1クロック動作のものが増えています。さらに10MHzで動作していても1クロック100nsなので、220命令は実行できる計算になります。もちろん命令フェッチだけでなくデータの読み書きやLOOP命令や条件分岐命令の実行も必要なので、実質はもっと余裕がなくなるでしょう。そしてもう一つ見逃してはならない点は、常に22μsに1回という定期的なタイミングを維持しつつ、データ転送を行わなければならないという点です。少しでも間に合わなければノイズや音切れなどが発生し、オーディオシステムとしては欠陥となります。

ここで、少し長めの割り込み処理が発生したとすればどうでしょうか。割り込み処理ルーチンの命令数的には数十ステップでも、一般的な割り込み処理ではレジスタの退避/復帰処理などが発生するので、あっという間に数μsオーダのポーリング不能時間が発生するでしょう。

● 割り込み処理のオーバーヘッド

また、ステータスビットが立った瞬間に割り込みを出力し、割り込みルーチン内でデータ転送を行う方法ではどうでしょうか。これも、もしほかの割り込み処理の中で、22μs以上に時間がかかる処理があった場合は間に合わなくなります。ただし、多重割り込みシステムとして、デジタルオーディオ転送を最上位の割り込みレベルで処理すれば、安定した割り込み処理を実現できるかもしれません。しかしこの方法でも、割り込み処理に

はレジスタの退避/復帰処理などが発生するので、22μsごとにデータ転送を行っていたのでは、その前後に毎回レジスタの退避/復帰処理が発生することを意味します。限られたシステム処理能力をむだに使うことになります。

● 送受信独立して256ワードのFIFOを実装

このように毎回22μsごとに...という処理は、決して軽い処理ではありません。また1ワードごとに毎回割り込みを発生させることもまた、かなりの負荷になります。

そこで、1度の割り込みでまとめてデータ転送を行うと、システムにおけるデータ転送の負荷を大幅に減らすことができます。

そこで、デジタルオーディオインターフェースICとPCIバスの間にFIFOバッファを設け、ここである程度の量になるまでデータをバッファリングし、一定量に達したら一気にデータ転送を行うという方法を採用します。

● FIFOと割り込み

今回はデータの入出力部分にFIFOを実装したので、FIFOの状態によりステータスの変化や割り込みを出力するようにします。問題は、FIFOをどのように制御するかです。

一気に転送するといっても、ブロック単位のデータ転送で、ブロックとブロックの間にACKを返すといったようなプロトコルの場合は、ブロックサイズでFIFOを確保し、FIFOフルでFIFOを一気に読み出し、FIFOエンプティで一気にブロックサイズ分だけ書き込みを行うなどの方法を使います。

しかし今回は、常時転送が行われるというシステムです。フルやエンプティ状態になってからやおら作業を始めては、FIFOがあふれる、もしくは空になってしまいます。

そこで受信FIFOはFIFOの空きが半分以下になったら、つまりハーフフルで入力データレディ状態を返し、送信FIFOは半分以上空きがあれば出力データエンプティ状態を返します。またそれぞれの要因で、システムに割り込みを出力するようにします。

● PCIデバイス仕様

表2(a)にPCIデバイスのコンフィグレーションレジスタ仕様を示します。ベースアドレスレジスタは1本のみを使い、I/O空間を要求しています。要求空間サイズは、今回は32バイトとしています。

また、表2(b)にI/Oレジスタ仕様を示します。大きく分けて、割り込み制御のためのレジスタと、FIFO制御のレジスタ、そしてデジタルオーディオインターフェースICの制御ピンレジスタの状態を設定/ステータスレジスタを割り当てています。

3 デジタルオーディオボードの設計/製作

● VHDLによるFPGAの設計

今回は前回の特集でも使用したPCI試作評価用ボードを使い、拡張用ピンヘッドにユニバーサル基板をスタック接続して、TC9271FやTC9245N、そして送信用クロックを実装しました。写

〔表2〕PCIデバイス仕様

ベンダID	0x6809
デバイスID	0x8007
クラスコード	0x04 0x01 0x00 マルチメディア/オーディオ
ヘッダタイプ	0x00
ベースアドレス0	I/O 空間 32 バイトの空間を使用
割り込み	INTA# 使用

(a) コンフィグレーションレジスタ仕様

オフセット	レジスタビット	名 称
+00h	32	割り込みステータスレジスタ ビット 1 デジタルオーディオ出力データエンプティ ビット 0 デジタルオーディオ入力データレディ
+04h	32	割り込みマスクレジスタ ビット 1 デジタルオーディオ出力データエンプティマスク ビット 0 デジタルオーディオ入力データレディマスク
+10h	32	デジタルオーディオ FIFO リセット制御 ビット 4 デジタルオーディオ出力 FIFO リセット ビット 1 デジタルオーディオスルー出力設定ビット ビット 0 デジタルオーディオ入力 FIFO リセット
+14h	32	デジタルオーディオ入力出力ステータス/制御レジスタ ビット 31 デジタルオーディオ出力アンダーランエラー ビット 30 デジタルオーディオ出力データエンプティ ビット 29 デジタルオーディオ出力パッファフル ビット 19 デジタルオーディオ出力エンファシス設定 ビット 17 デジタルオーディオ出力サンプリング周波数設定 1 ビット 16 デジタルオーディオ出力サンプリング周波数設定 0 ビット 15 デジタルオーディオ入力オーバーランエラー ビット 14 デジタルオーディオ入力データレディ ビット 13 デジタルオーディオ入力パッファエンプティ ビット 4 デジタルオーディオ入力エラーステータス ビット 3 デジタルオーディオ入力エンファシスステータス ビット 1 デジタルオーディオ入力サンプリング周波数ステータス 1 ビット 0 デジタルオーディオ入力サンプリング周波数ステータス 1
+18h	32	デジタルオーディオ入力データ (読み出し時) デジタルオーディオ出力データ (書き込み時)

(b) I/O レジスタ仕様

真2に試作したデジタルオーディオボードを示します。

なお、デジタルオーディオインターフェース IC のピン配置は表1に、ブロック図は図3に示しているの、回路図は省略します。FPGA 側はいずれに I/O ピンでも問題ありません。

また、2003 年 1 月号の特集同様、FPGA の設計には VHDL を使っています。リスト 1(p.155)に設計した VHDL のソースの一部を示します。この VHDL ソースは、参考文献2)の PIO.VHD をベースにしています。PCI バス側のシーケンサの動作などは、そちらを参照してください。

● FIFO モジュール

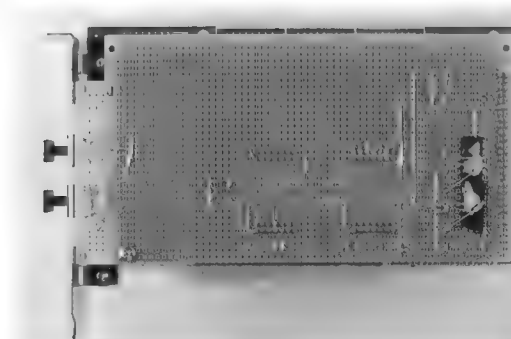
今回使用した PCI 試作評価用ボードには、Spartan II が実装されています。デバイスメーカーのザイリンクスは、同社の FPGA デバイスを活用するための、さまざまな回路モジュールを IP コ

アとして使えるように公開しています。これらは LogiCORE と呼ぶ、いくつかのパラメータを GUI 上で設定して回路モジュールを生成する機能を使って簡単に活用できます。

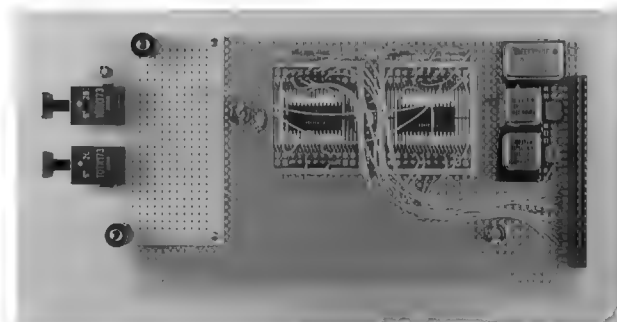
しかし残念なことに、ユーザー登録すれば誰でも Web からダウンロードして使えるフリー版の設計ツール ISE WebPACK では、この LogiCORE の機能が使えません。

ただし、LogiCORE 機能の使える正式版の設計ツール ISE Foundation や ISE Alliance で回路モジュールを生成すれば、そのモジュールに手を加えることはできませんが、そのまま上位階層からその回路モジュールを呼び出して使うことは可能です。FIFO モジュールのビット幅や深さなどを変更しなければ、それ以外の部分は ISE WebPACK でも設計変更して再論理合成、再配置配線してみることができます。

〔写真2〕試作したデジタルオーディオボードの外観



(a) PCI 試作評価ボードに実装したようす



(b) スタック接続基板の裏側

● 幅 32 ビット/深さ 256 ワードの FIFO

2003 年 1 月号の特集の趣旨を尊重するには、FIFO の深さの違いによるシステムパフォーマンスの変化を手元でテストできるように、自由に FIFO の深さを変えられるようにするべきですが、ISE WebPACK ではそれができないため、正式版設計ツールで深さ 256 ワードの FIFO モジュールを用意し、それを使うことにします。FIFO の深さや幅などのパラメータは変更できません。

● シリアル→パラレル変換部

デジタルオーディオ入力部分は、シリアルデータをパラレルに変換し、入力 FIFO に格納する部分です。入力のオーディオデータはビットクロックの立ち上がりエッジでサンプリングするので、ビットクロックの立ち上がりに同期して動作させます。

先に L チャンネルが送信されてくるわけですが、16 ビット分シフトレジスタに格納したからといって、すぐに入力 FIFO に書き込みはできません。今回使用した FIFO モジュールは 32 ビット幅なので、L/R 両チャンネルのデータがそろった時点で、32 ビットを一度に書き込みする必要があるからです。

そこで L/R クロックが“H”になったクロックで、その時点でのシフトレジスタに残っているデータを書き込むように記述しています。また、このとき入力 FIFO がフル状態であれば、デジタルオーディオ入力オーバーランエラーのフラグを立てます。

また、シフトレジスタ処理は、とくに 16 ビット分をカウントすることなく、ビットクロックの立ち上がりエッジが入力されれば常に 1 ビットシフトするように設計しています。今回は 3 線式デジタルインターフェース部分で、ビット長を 16 ビットにしているため、オーバーフローのような処理は、考慮する必要はありません。

● パラレル→シリアル変換部

デジタルオーディオ出力部は、出力 FIFO からデータを読み出して、パラレルデータをシリアルに変換して出力する部分です。

入力部は TC9245N から出力されるビットクロックに同期すればよいわけですが、出力部は FPGA 側からビットクロックを出力しなければなりません。外付けのクロックは、サンプリング周波数を 384 倍したクロックが実装されているので、これをまず 1/6 分周し、さらに 1/12 分周してビットクロックを生成します。ただし、直接カウンタで 12 までカウントしてリセットをかける方法では、デューティ 50% のクロックを生成しづらいので、1/6 分周のカウンタを作ってその中でビットクロック信号をトグル動作させることで、1/12 分周したデューティ 50% のビットクロックを生成します。また、それを 16 ビット分カウントして、L/R クロックも生成します。

パラレル→シリアル変換部では、ビットクロックで 32 ビットのカウンタがクリアされる 2 クロック前で出力 FIFO の読み出しを開始し、次のクロックでデータを取り出し、カウンタ 0 の状態からシフト出力動作を行います。最初は L チャンネルの MSB からです。なお、出力 FIFO からデータを読み出しするとき、FIFO

がエンプティ状態だった場合は、デジタルオーディオ出力アンダーランエラーのフラグを立てます。

● FIFO 制御

仕様の検討で説明したように、今回はハーフフルの状態システムに割り込みを出力します。今回は LogiCORE で生成した FIFO モジュールの仕様から、入力 FIFO バッファでは書き込み側の FIFO ライトポインタの、出力 FIFO では読み出し側の FIFO リードポインタの、それぞれ最上位ビットを使ってハーフフル/エンプティ状態として処理しています。

4 制御ソフトウェアの作成

● ストレージが必須

デジタルオーディオのデータ量は、CD クオリティで 1 曲 5 分とすると、約 50M バイトものデータ量になります。そのままメモリにおいておける量ではありません。HDD や CD-ROM といったストレージデバイスへの読み書きが必須になります。

2003 年 1 月号で設計した SH-4 によるオリジナルコンピュータシステムでは、まだ OS と呼べるものは動作していません。HDD への読み書きは、テストプログラムに毛が生えた程度の、セクタダンププログラムが動いている程度で、ファイルシステムがありません。ファイルフォーマットを考えず、セクタ単位で HDD へベタ書きという手もありますが、それはあまりに乱暴です(専用 HDD オーディオレコーダというのもそれはそれで面白いが)。

そこで今回は、動作確認用サンプルプログラムとして、PC/AT の MS-DOS 環境で動作する、録音再生ツールを作成してみました。

● WAVE ファイルの録音/再生ツール

さて、録音する場合はデジタルオーディオ入力から入力したデータをそのままバイナリにしてファイル化し、逆に再生する場合はそのバイナリファイルを読み込んで出力しても、システムとしては一貫したものが成り立つでしょう。2003 年 1 月号特集の第 4 章のグラフィックスカードでは、プロローグで説明のあるように BMP ファイルのローダを作成しました(ただし、こちらもファイルシステムは存在しないので、BMP ファイルはメモリ上に確保したバッファ領域から取り出す構造になっている)。どうせならこちらも、何か一般的なファイルフォーマットに対応させたいものです。

AT 環境で一般的なオーディオファイルといえば、現在では WAVE ファイルが一般的でしょう。そこで、デジタルオーディオ入力からの入力を WAVE ファイルとして出力(録音)し、逆に WAVE ファイルをデジタルオーディオ出力から出力する(再生)するツールを作成しました。

● WAVE ファイルのフォーマット

Windows 標準の WAVE ファイル(拡張子“WAV”)は、RIFF というフォーマットの一種です。表 3 に WAVE ファイルのフォーマットを示します。基本的にはヘッダがあり、それ以降にデ

〔表3〕 WAVE ファイルのフォーマット

バイト数	名 称
4 バイト	RIFF 形式の識別子 ' RIFF '
4 バイト	ファイルサイズ (バイト単位)
4 バイト	RIFF の種類を表す識別子 ' WAVE '
4 バイト	タグ 1 参照
4 バイト	データの長さ 1
n バイト	データ 1
4 バイト	タグ 2 参照
4 バイト	データの長さ 2
n バイト	データ 2
(以下同様)	

(a) RIFF フォーマット全体の構造

バイト数	名 称
4 バイト	"fmt" フォーマット定義. 最初のタグ (必須) (4 文字目の ' ' (スペース) も含まれるので注意)
4 バイト	"fact" 全サンプル数 (波形データの前に存在する)
4 バイト	"data" 波形データ (必須)

(b) WAVE で使われるおもなタグ

バイト数	名 称
4 バイト	"data" data フォーマットの定義
4 バイト	バイト数 data のバイト数
n バイト	実際のデータ <ul style="list-style-type: none"> ● ステレオならば L R L R L R ... の順番 ● 数値の並べ型はインテルバイトオーダー ● ビット数は 8 ビットまたは 16 ビット ● 8 ビットならば符号なし unsigned (0 ~ 255, 無音は 128) ● 16 ビットならば符号付き signed (-32768 ~ +32767, 無音は 0)

(d) データタグのフォーマット

バイト数	名 称
4 バイト	"fmt" fmt フォーマットの定義
4 バイト	バイト数 fmt のバイト数 リニア PCM ならば 16 (10h 00h 00h 00h)
2 バイト	フォーマット ID 参照 リニア PCM ならば 1 (01h 00h)
2 バイト	チャンネル数 モノラルならば 1 (01h 00h), ステレオならば 2 (02h 00h)
4 バイト	サンプリングレート 44.1kHz ならば, 44100 (44h ACh 00h 00h)
4 バイト	データ速度 (バイト/秒) 44.1kHz/16 ビットステレオならば, $44100 \times 2 \times 2 = 176400$ (10h B1h 02h 00h)
2 バイト	ブロックサイズ (バイト/サンプル×チャンネル数) 16 ビットステレオならば, $2 \times 2 = 4$ (04h 00h)
2 バイト	サンプルあたりのビット数 (ビット/サンプル). WAVE フォーマットでは 8 ビットか 16 ビット. 16 ビットならば 10h 00h)
2 バイト	拡張部分のサイズ (リニア PCM ならば存在しない)
n バイト	拡張部分 (リニア PCM ならば存在しない)

(c) fmt タグのフォーマット

ータが続きます。

本ボードの仕様のとしては 16 ビット/ステレオが基本ですが、WAVE ファイルでは 8 ビットやモノラルというファイルも存在します。そこで再生するファイルがモノラルだった場合は同じデータを L/R 両チャンネルに出力し、8 ビットだった場合は次式、

$$16 \text{ ビットデータ} = (8 \text{ ビットデータ} - 128) \ll 8$$

で 16 ビットに変換します (8 ビット時は 0 ~ 255, 無音が 128, 16 ビット時は -32768 ~ 32767, 無音が 0)。また、周波数が 22kHz や 11kHz の場合は、同じサンプリングデータを 2 回または 4 回、出力 FIFO に書き込むことで、44kHz サンプル分のデータにして 44.1kHz の周波数で出力するようにしています。

録音は、本ボードが対応している 3 種類のサンプリング周波数のみで、入力されたデジタルオーディオのサンプリング周波数を自動判別してヘッダに書き出します。量子化数は 16 ビットでステレオという仕様は固定です。

● プログラムの動作

リスト 2 (p.156) に、作成した WAVE ファイルの録音/再生ツールを示します。MS-DOS 環境で動作するので、いつものように参考文献 2) の PCI デバグライブラリ for DOS を使って、16 ビット MS-DOS 環境で、32 ビット I/O アクセスや割り込み処理を行っています。

まず表 2(a) のコンフィグレーションレジスタの仕様で示すベンダ ID やデバイス ID を検索し、ベースアドレスレジスタ 0 と割り込みラインレジスタを読み出します。正しくリソースが割り当てられているようであれば、その I/O アドレスをベースに、割り込みレジスタや割り込みエントリを初期化します。

まとめ

今回は、L/R ステレオが 1 チャンネルの入力と出力ができるのみという、サウンドカードとしてもっとも基本的な仕様のみでした。より本格的に活用するには、左右のバランス調整や、全体の音量調整機能も必要でしょう。また、ステレオ 1 チャンネルだけでなく複数チャンネルを実装し、ハードウェア的なミキサ機能を実現することで、より表現力豊かなサウンドカードを実現できるでしょう。

参考文献

- 1) 特集「作りながら学ぶコンピュータシステム技術」, 『Interface』, 2003 年 1 月号
- 2) 『PCI デバイス設計入門』, TECH I Vol.3, CQ 出版(株)

やまたけ・いちろう 来栖川電工有限会社

〔リスト1〕PCIデバイスのVHDLソース(一部)

```

~中略~
-- DAI入力データレディ/DAO出力データエンプティフラグ制御(PCIバスクロック同期処理)
-- DAI入力オーバーラン/DAO出力アンダーランエラーフラグ制御(PCIバスクロック同期処理)

DAxtoPCI Equ : process(PCICLK, PCIRST n)
begin
    if (PCIRST n = '0') then
        DAI DataRdy <= '0';
        DAI OverRun <= '0';
        DAO DataEmp <= '1';
        DAO UnderRun <= '0';
    elsif (PCICLK'event and PCICLK = '1') then
        DAI OverRun <= DAI OverRun f;
        DAI DataRdy <= DAI wr count(1);
        DAO UnderRun <= DAO UnderRun f;
        DAO DataEmp <= not (DAO rd count(1) or DAO rd count(0));
    end if;
end process DAxtoPCI Equ;

-- デジタルオーディオ入力シフトレジスタ処理
-- DAI BCKクロック入力
iDAI BCK PAD : IBUF
port map (
    I => DAI BCK ,
    O => iDAI BCK
);

DAI wr clk <= iDAI BCK; -- DAI入力FIFO書き込みクロック

DAI DATA Equ : process(iDAI BCK, PCIRST n, DAI FIFO Reset)
variable DAI LRCKf : std logic;
begin
    if (PCIRST n = '0') or (DAI FIFO Reset = '1') then -- PCIバスリセットがアサートされたとき
        DAI ainit <= '1'; -- DAI入力FIFOリセット
        DAI wr en <= '0';
        DAI OverRun f <= '0';
        DAI ShiftRegL <= (others => '0');
        DAI ShiftRegR <= (others => '0');
        DAI LRCKf := '0';
    elsif (iDAI BCK'event and iDAI BCK = '1') then
        DAI ainit <= '0'; -- DAI入力FIFOリセット解除

        if (DAI LRCKf = '0') and (DAI LRCK = '1') then -- DAI LRCK立ち上がり(Lch開始)
            if (DAI full = '1') then
                DAI OverRun f <= '1';
            else
                DAI din(31 downto 16) <= DAI ShiftRegR; -- DAI入力FIFO書き込み
                DAI din(15 downto 0) <= DAI ShiftRegL;
                DAI wr en <= '1';
            end if;
        else
            DAI wr en <= '0';
        end if;
        if (DAI LRCK = '1') then -- Lchデータ受信時
            DAI ShiftRegL(0) <= DAI DATA; -- シフトレジスタ
            DAI ShiftRegL(15 downto 1) <= DAI ShiftRegL(14 downto 0); -- MSBファースト
        else -- Rchデータ受信時
            DAI ShiftRegR(0) <= DAI DATA; -- シフトレジスタ
            DAI ShiftRegR(15 downto 1) <= DAI ShiftRegR(14 downto 0); -- MSBファースト
        end if;
        -- ↑エッジを検出するまで、ひたすらシフトして受信していく
        DAI LRCKf := DAI LRCK;
    end if;
end process DAI DATA Equ;

-- 384fsクロック選択
iDAO XI <= OSC 12M when (DAO FS1 Reg = '1') and (DAO FS2 Reg = '1') else -- 32kHzモード
            OSC 16M when (DAO FS1 Reg = '0') and (DAO FS2 Reg = '0') else -- 44.1kHzモード
            OSC 18M when (DAO FS1 Reg = '0') and (DAO FS2 Reg = '1') else -- 48kHzモード
            DAI FSEXT; -- DAIクロック選択

-- BCKクロック分周
DAO BCK Equ : process(iDAO XI)
begin
    if (iDAO XI'event and iDAO XI = '1') then
        if (CLK CountA = "101") then -- 6回目(5)カウント
            CLK CountA <= (others => '0');
            DAO BCKout <= not DAO BCKout; -- ビットクロックトグル動作(1/12分周)
        else
            CLK CountA <= CLK CountA + 1;
        end if;
    end if;
end process DAO BCK Equ;

~以下略~

```

〔リスト2〕 WAVE ファイルの録音/再生ツールのプログラム (一部)

```

~中略~
/* デジタルオーディオ入出力割り込み処理 */
void PCI Int waveOut(void)
{
    int i;
    unsigned char c;
    unsigned long l;
    c = inp(IO Address+0); /* ステータス確認 */
    /* DAO 出力データエンベディ割り込み */
    for(i=0;i<128;i++) { /* 128ワード読み出し */
        l = *INT ReadBufferPtr++; /* 読み出しバッファ */
        IoWriteLong(IO Address+0x18, l); /* データ書き込み */
    }
    INT DAO Count++;
    if ((INT DAO Count&((INT RestartCount)-1))==0) {
        /* バッファサイズをオーバーしたか? */
        INT ReadBufferPtr = INT ReadBufferTop;
    }

    outp(IO Address+0,c); /* 割り込みクリア */
    return;
}

/* デジタルオーディオ入出力割り込み処理 */
void PCI Int waveIn(void)
{
    int i;
    unsigned char c;
    unsigned long l;
    c = inp(IO Address+0); /* ステータス確認 */
    /* DAI 入力データレディ割り込み */
    for(i=0;i<128;i++) { /* 128ワード読み出し */
        l = IoReadLong(IO Address+0x18); /* データ読み出し */
        IoWriteLong(IO Address+0x18,l); /* DAO データ書き込み */
        *INT WriteBufferPtr++ = l; /* 書き込みバッファ */
    }
    INT DAI Count++;
    if ((INT DAI Count&((INT RestartCount)-1))==0) {
        /* バッファサイズをオーバーしたか? */
        INT WriteBufferPtr = INT WriteBufferTop;
    }

    outp(IO Address+0,c); /* 割り込みクリア */
    return;
}

~中略~

/* wave ファイルのロード準備
   RIFFヘッダを解析して情報を取得する */
int waveLoadPrepare(void)
{
    char buf[256];
    unsigned long n, i;
    /* FILE *fp; */
    int fh;
    fh = global.fh;
    /* R I F F */
    n = read(fh, buf, 4);
    dump(buf, n);
    if(n != 4) return -1;
    if(strncmp("RIFF", buf, 4) != 0) return -2;
    /* get fileSize(-8) */
    n = read(fh, buf, 4);
    dump(buf, n);
    if(n!=4) return -1;
    global.fileSize = *(unsigned long *)&buf[0];
    /* W A V E */
    n = read(fh, buf, 4);
    dump(buf, n);
    if(n!=4) return -1;
    if(strncmp("WAVE", buf, 4) != 0) return -2;
    /* read chunk */
    while(1){
        n = read(fh, buf, 4);
        dump(buf, n);
        if(n!=4) return -1;
        if(strncmp("fmt ", buf, 4) == 0) {
            printf("chunkID: fmt %n",
                /* found 'fmt' */
                n = read(fh, buf, 4);
            dump(buf, n);
            if(n!=4) return -1;
        }
        global.fmt.chunkSize
            = ((*unsigned long *)&buf[0])+1 & 0xffffffffL;
        i = global.fmt.chunkSize;
        if(i>16) i = 16;
        n = read(fh, &global.fmt.wFormatTag, i);
        dump((char *)&global.fmt.wFormatTag, n);
        if(n != i) return -1;
        /* skip */
        i = global.fmt.chunkSize - i;
        if(i>0) {
            lseek(fh, i, SEEK_CUR);
            printf("skip %d bytes\n", i);
        }
    } else
    if(strncmp("data", buf, 4) == 0) {
        printf("chunkID: data\n");
        /* found data */
        n = read(fh, buf, 4);
        dump(buf, n);
        if(n!=4) return -1;
        global.data.chunkSize = *(unsigned long *)&buf[0];
        break; /* 脱出 */
    } else {
        printf("chunkID: %c%c%c%c\n",
            buf[0], buf[1], buf[2], buf[3]);
        n = read(fh, buf, 4);
        dump(buf, n);
        if(n!=4) return -1;
        i = ((*unsigned long *)&buf[0])+1 & 0xffffffffL;
        if(i>0) {
            lseek(fh, i, SEEK_CUR);
            printf("skip %d bytes\n", i);
        }
    }
}

if(global.fmt.chunkSize == 0) {
    printf("fatal error: cannot found 'fmt' chunk.\n");
    return -1;
}

if(global.fmt.wFormatTag != 1) {
    printf("fatal error: cannot play except 'PCM WAVE' format.
        (wFormatTag = %u)\n", global.fmt.wFormatTag);
    return -1;
}

if(global.forceFrequency != 0){
    global.fmt.dwSamplesPerSec = global.forceFrequency;
}

/* 必要なパラメータを取得 */
n = 0;
/* サンプリングレートをチェックする */
while(rates[n] != 0){
    if(global.fmt.dwSamplesPerSec == rates[n]){
        /* 該当するサンプリングレートに対応する rate, factorを設定する */
        global.rate = rates rate[n];
        global.factor = rates factor[n];
        break;
    }
    n++;
}

if(global.rate == 0){
    printf("SamplesPerSec not supported. (%lu)\n",
        global.fmt.dwSamplesPerSec);
    return -1;
}

if((global.fmt.wChannels<1) || (global.fmt.wChannels>2)){
    printf("Channels not supported. (%u)\n",
        global.fmt.wChannels);
    return -1;
}

global.channels = global.fmt.wChannels;
if((global.fmt.wBitsPerSample != 8) &&
(global.fmt.wBitsPerSample != 16)) {
    printf("BitsPerSample not supported. (%u)\n",
        global.fmt.wBitsPerSample);
    return -1;
}

global.bits = global.fmt.wBitsPerSample;
/* check chunkSize */
if(global.data.chunkSize == 0){
~以下略~

```

音楽配信技術について

—— Ogg Vorbis

第1回

岸 哲夫



映像・音楽の分野でも、インターネットによって情報を発信することがますます重要視されています。ストリーミング配信などの手段によって、無料または課金された音楽や映像が日々配信されています。レンタルビデオを借りるように、オンデマンドでビデオを見ることも可能になりました。

この連載では、それらを実現させるための周辺技術について解説していきます。大きく分けて、以下の事柄を解説していきます。

- 音楽配信技術について
- 音楽を配信する側の現状
- OpenAudioLicence について
- 音楽配信技術についての概略
- 映像配信技術について
- 映像を配信する側の現状
- PDA・携帯を使った映像配信について
- ストリーミング配信技術の概略
- オープンソフトウェアで映像・音楽を作り配信する手段

さて、ネット上のCD販売ショップでは、かつて商品の視聴をさせるために、MP3フォーマットの楽曲をダウンロードできるようにしてありました。

しかし現在、ライセンスの問題が発生したため、MP3は少なくとも商用では見かけることがなくなりました。たとえば、有名な「タワーレコード」のWebサイトでは視聴用のフォーマットに「WMA」を使用しています。また、「HMV」ではMAGIQLIPというソフトをインストールして視聴させるシステムになっています。

MP3フォーマットは、ドイツのFraunhofer IIS-A社が作成しました。そして、数年前からネット上に急速に普及したMP3フォーマットに対して、Fraunhofer IIS-A社が使用料を請求し始めたのです。そうすると、MP3のエンコーダを作ったり曲を配信するとライセンス料を支払わなくてはなりません。そこでOgg Vorbisというフォーマットが脚光を浴びています。MP3より優れた圧縮率と音質、そしてオープンソフトウェアであるということを採用されています。

今回は、Ogg Vorbisフォーマットについて少し詳しく解説します。

Ogg Vorbisの公式サイトを図1に示します。

2002年の7月にバージョン1.0が正式にリリースされました。

これはOggプロジェクトという名称のツール群で、Vorbisという音声圧縮ツールということだそうです。

いままでにも音声圧縮技術はいくつかありました。たとえば、初期のQuickTimeは、映像を取り扱うよりも音声の圧縮に使われることのほうが多くありました。そして、その後にMP3が一般化しました。

このVorbisは、GNU GPL (GNU General Public License) の元で使用できます。ライブラリとSDKはLGPLライセンスです。もちろん、ソースもWebサイトにあるので、参照することが可能です。

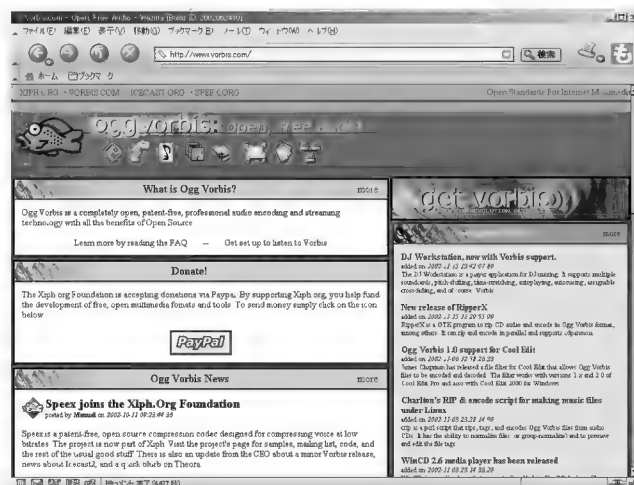
今回は、VorbisのWebサイトにある技術文書を参考にして解説します。

● 原音の再現性について

原音の再現性について、Vorbisの開発者たちは次のように語っています。

原音の再現性に関しては機械的な測定基準に基づいて大いに主観的です。デジタルアンプを通したCDの音声と真空管アンプを通したLPレコードの音声のどちらを選ぶかは、個々の感覚です。測定した歪率で比較したところで、

〔図1〕 Ogg VorbisのWebページ(<http://www.vorbis.com/>)





あまり意味をなしません。

CODECであるASPEC, ATRAC, MP3, WMA, AAC, TwinVQ, AC3, およびVorbisは、ビットレートを減少させるために、客観的忠実度を失います。これは事実です。

ビットレートを増加させて、圧縮率を減らすこと、またその逆のどちらを選ぶか悩まなくてはなりません。

理想は、忠実度の損失を少なくしもっとも良いトレードオフを選択することです。

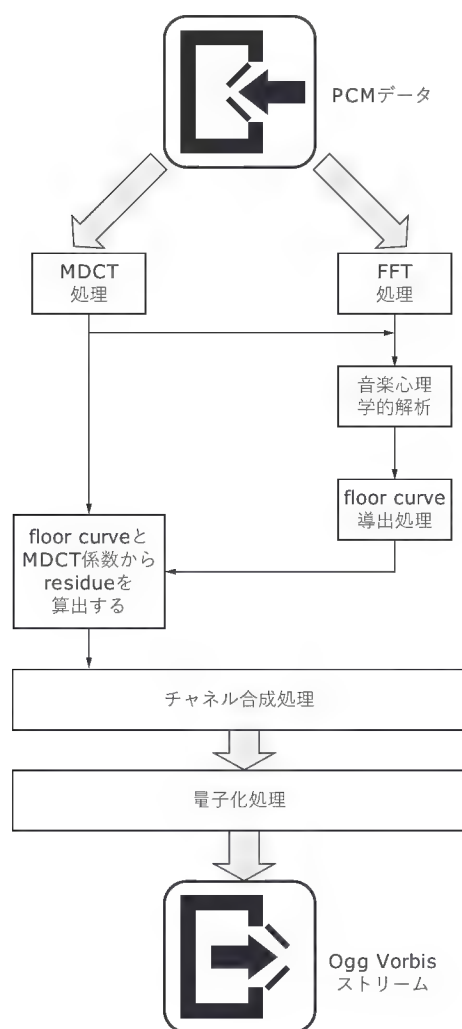
FMラジオの大部分の聞き手は、そのメディアがコンパクトディスク、またはDATと比べ、どのくらいのさらに低い忠実度であるのかなどと感じたりはしません。

しかし、測定結果と比較されたとき、差異は、明白です。

カセットテープの忠実度はもっと低いけれども、容易に扱えます。

低ビットレートでコード化された平均44.1kHzステレオのMP3とカセットを比較すると、MP3は実際には高い客観的忠実度でしょう。しかし、主観的にはるかに悪いように聞こえます。

〔図2〕
概略処理フロー



このように、ユーザーの要求を満たすためにCODECが主観的品質を犠牲にしなければならないとき、その結果は、一般に比較なしで気付きにくい、あるいは無視しやすい差異であるべきです。明らかに人工的な音質は望まれません。

主観的忠実さを犠牲にすることが必要であるとき、その目標は、明らかに人工品ではなく差異をめざして努力することです。

CODECの圧倒的大多数は、必ずあるレベルまでクオリティを低下させます。

主観的品質を犠牲にすることが必要であるとき、そのような問題を回避することが、Vorbisの基本的な設計思想であり、そしてそれはVorbisの設計、およびチューニングに反映されます。

● Vorbis アプリケーションの技術的特色

Vorbisは、ビットレートの非常に広い範囲にわたって柔軟に変化ビットレートだけを採用する多目的なオーディオCODECです。

MP3は可変ビットレート、固定ビットレートのどちらにも対応しつつありますが、多くのデコーダ/エンコーダは、どちらかという非効率的な固定ビットレートにしか対応していないことがあります。

また、Vorbisは48kbpsで高品質のCD、そしてDATデータをリサンプリングなしでエンコードします。そして8kHzの電話通信から192kHzのデジタルマスタまで、モノラルから5.1チャンネルまで対応します。

可変ビットレート(VBR)とは、高音質が必要な部分では高いビットレートを使用し、それほど高い音質が必要ではないところではビットレートを低くする方式です。

なお、可変ビットレートだけしか使用できない難点は、ストリーミングや動画の音声として使うことができないという点です。

音楽の密度は一定ではありません。たとえば、楽器の音が1種類だけ流れている部分では、ビットレートを低くしても問題ない場合があります。

ビットレートが低ければ音質が下がってしまいますが、同時にファイルサイズは小さくなります。MP3と同程度の音質ではファイルサイズがより小さくなります。

一般に、MP3ではサンプリングが128kbpsあれば満足がいくだけの品質が得られるとされていますが、Vorbisは同程度のファイルサイズで、もう1ランク上の160kbpsサンプリング音質が扱えます。

この点に関しては、筆者も実際に音質を検証してみました。

音声圧縮の品質は音楽の種類に大きく関係します。合成音だけが使われるテクノ系の音楽では、圧縮率が高くなるようです。しかし、民族音楽などの複雑な生楽器を多用した場合、前面に出ている楽器音はともかく、微妙に鳴り響く音は明らかに省略されてしまう場合もありますが、Vorbisでは、その他のCODEC

と比較しても、その度合いが少ないように感じました。

● Ogg Vorbis の処理概略

Vorbis は MP3 などと同じく非可逆圧縮を採用しています。ここでは、Vorbis がどのような処理を行っているのかを説明します(図 2)。

● MDCT

MDCT とは、変形離散コサイン変換のことです。DCT だけでは変換ブロックの境界ごとに量子化誤差が発生するため、音の品質に悪影響を与えます。MDCT は、前後の隣接フレームと半分ずつ分析フレームを重ねあわせることによって、この歪みを防いでいます。

● FFT

Vorbis は、MDCT と FFT を使用して、その結果を平均化させています。

● 音響心理学的解析

音響心理学に基づいて音声データを解析しています。たとえば、可聴音域から外れた部分の音質を犠牲にしたり、大きな音の後の小さな音を犠牲にして、圧縮率を高めます。

聴覚によって感知できる音との最小レベルと周波数の関係は既知のものです。個々の差はあっても最小可聴限界値はほぼ同じです。それ以上は人が聞くことができ、それ以下は人が聞くことができません。

そこで最小可聴限界以下の部分は人には聞こえないということで、その部分のデータを削除し、圧縮効率を高めます。

また、マスキング特性も利用します。マスキング特性とは、ある大きな音が存在している場合、その音の周波数的に近い音、時間的に近い音は、マスキング効果により聴覚で知覚されないため、最小可聴限界と同様に、聞こえない部分を削除することによりデータを削減して圧縮効率を高めます。

その後、ノイズのマスキング、ハフマン符号ベクトル量子化を行い、ドルビー準拠のチャンネル合成を行い、圧縮データが完成します。

● 対応エンコーダについて

Linux 対応のエンコーダとして、CRIP というツールがあります。このツールにはリッパ機能もありますが法的にグレーなので、それにはふれません。図 3 に CRIP の Web サイトを示します。

そのほかにもエンコーダはありますが、Linux 環境で動作するものはすべて、

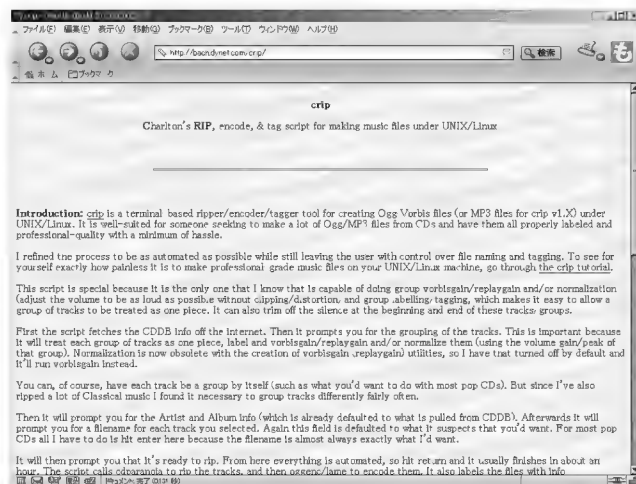
http://www.vorbis.com/download_unix.psp
にあるライブラリの rpm パッケージ、または tar ボールをインストールしなければ動作しません。

また、Windows では次のツールが使用できます。これは Vorbis の Web サイトからダウンロードできます。

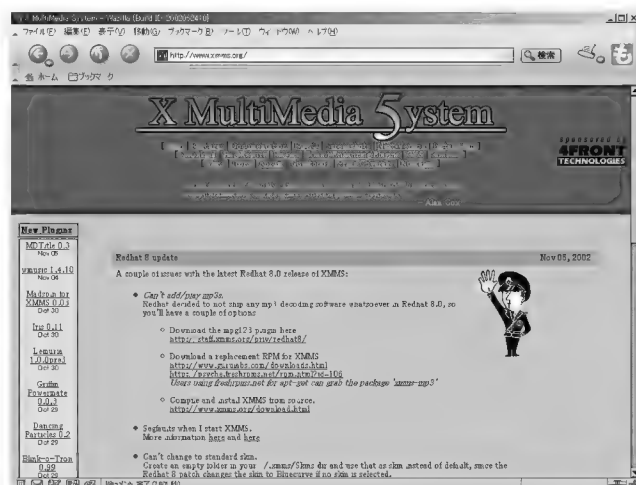
Oggdrop - Simple drag and drop GUI encoder;

OggdropXPd - More powerful, more complex drag and drop GUI encoder

〔図 3〕 CRIP の Web ページ(<http://bach.dynet.com/crip/>)



〔図 4〕 xmms の Web ページ(<http://www.xmms.org/>)



これらは GUI インターフェースをもちます。そして次のツールは、コマンドラインで動作します。

vorbis-tools - command line utilities including

oggenc, ogginfo, vorbiscomment, vcut, and oggdec

● Vorbis 対応のソフトウェアプレーヤ

Linux 対応のプレーヤとしては、たいていのディストリビューションに入っている XMMS のプラグインで対応しています(図 4)。また、zinf もプラグインで対応しています(図 5)。

また、Windows では、Winamp(図 6)と SONIQUE(図 7)が対応しています。

そしてさらに、Macintosh や BeOs, そしてプレイステーション 2 でも動作するようです。先ごろ Macintosh で Ogg Vorbis decoder plugin をインストールすることによって、iTunes で Ogg Vorbis を使用できるようになったようです。

詳しくは、

<http://www.vorbis.com/download.psp>
を参照してください。



〔図5〕 zinf の Web ページ (<http://www.zinf.org/>)



〔図7〕 SONIQUE の Web ページ (<http://sonique.lycos.com/>)



● Vorbis 対応のハードウェアプレーヤ

現在、Vorbis に対応している単体のプレーヤはありません。しかし、今後、香港のフロンティア・ラボと韓国のアイリバー社が対応するかもしれないとのことです。

少し意味が違いますが、Linux 対応の Zaurus 上で動作する tkcPlayer が Vorbis に対応しています。いち早く野外で Vorbis フォーマットの音楽を聞きたいというマニアックな人にはお薦めかもしれません(図8)。

● Ogg Vorbis フォーマットの今後

前述のとおり、携帯プレーヤでも Vorbis への対応が考えられているようです。通常、このような製品は「MP3 プレーヤ」と呼ばれて、せいぜい Windows 規格の WMA フォーマットをサポートしているだけでしたが、今後は「MP3 プレーヤ」と呼ばれなくなるかもしれません。

また、現実にはまだ対応していませんが、リアルネットワークスが Vorbis と提携すると発表しました。『RealOne Player』と

〔図6〕 Winamp の Web ページ (<http://www.winamp.com/>)



〔図8〕 tkcPlayer の Web ページ
(<http://www.thekompany.com/embedded/tkcplayer/>)



『Helix Universal Server』で対応する予定だそうです。

その企画が始動すると、インターネット上での事実的な標準だった MP3 フォーマットも、その地位を大きく揺るがされることになるでしょう。リアルネットワークスが戦略的にオープンソース化を進めていることに大きく関わっていると思います。

そして、音楽を発信する側のミュージシャンたちは、比較してみると音質の良くない MP3 ファイルより Vorbis フォーマットを歓迎しているようです。その理由は、Vorbis も同じくロスの多い圧縮形式(非可逆圧縮)ですが、よりダメージを減らすための優れたアルゴリズムを採用しているため、同サイズなら MP3 ファイルよりも優れた音質で音楽を提供できるからです。

そして、何よりライセンス問題があります。ミュージシャンがネット上で MP3 形式で楽曲を販売した場合、Fraunhofer に対し、セールスに応じた一定のロイヤリティを支払う責任を負うことになるでしょう。しかし Vorbis の場合、特許もライセンスもないので、販売する場合も、他人に配る場合も、ストリー

ム配信する場合も、面倒な手続きは必要ありません。そういう点でもミュージシャンたちに注目されています。

最新情報として2002年12月6/7日に、大阪で「関西オープンソース+フリーウェア2002」というイベントがありました。執筆時点で詳細は不明ですが、次回以降でふれる予定の「オープンオーディオライセンス」について、DADAや4-D、P-MODELに参加していた小西健司氏が、デモを交えて講演を行ったようです(図9)。

このように、Ogg VorbisはMP3の「代替品」というものではなく、より優れたシステムといえます。

次回は、引き続きOgg Vorbis公式サイトにある技術資料の解説を行います。そして次回以降で、配信する側がどのようにOgg Vorbisを考えているか、そしてOpenAudioLicenseとの関係を検証したいと考えています。

きし・てつお

(図9) 関西オープンソース+フリーウェア2002
(<http://of.good-day.net/event.html>)



Embedded UNIX (Interface12月増刊)

好評発売中

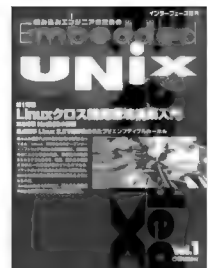
Embedded UNIX Vol.1

- 第1特集 **Linux クロス開発環境構築入門**
- 第2特集 **NetBSD の真髄**
- 重点記事 **Linux 2.5 で標準化されたプリエンプティブルカーネル**

その他、連載記事、解説記事、ニュース、技術情報満載!

CQ出版社 〒170-8461 東京都豊島区巣鴨1-14-2 販売部 TEL.03-5395-2141 振替 00100-7-10665

A4 変型判
196 ページ
定価 1,490 円(税込)



Interface BackNumber

2002 年

4 月号 GUI の組み込み機器への実装&活用法

5 月号 CD-ROM付き
オブジェクト指向の実装技法入門

6 月号 別冊付録付き
これでわかる! マイクロプロセッサのしくみ

7 月号 別冊付録付き
Linux 徹底詳解 — ブート&ルートファイルシステム

8 月号 CD-ROM付き
組み込み分野への BSD の適用

9 月号

別冊付録付き
基礎からの計算科学・工学 — シミュレーション

10 月号

データベース活用技術の徹底研究

11 月号

CD-ROM付き
徹底解説! ARM プロセッサ

12 月号

多言語文字コード処理&国際化の基礎と実際

2003 年

1 月号

別冊付録付き
作りながら学ぶコンピュータシステム技術

CQ出版社 〒170-8461 東京都豊島区巣鴨1-14-2 販売部 ☎(03)5395-2141 振替 00100-7-10665

やり直しのための 信号数学

第 14 回

FFTによる信号処理応用(システム設計編Ⅰ)

三谷政昭



これまで3回にわたり、数学関数編、データ処理編と題して、FFTによる信号処理応用について具体例を示し、FFTの能力の一端を実感してもらった。

今回からは、FFTを用いてデジタルシステムを設計する事例について解説する。まずは、デジタルシステムの周波数特性、すなわち伝達関数の近似設計におけるFFTの適用の仕方、考え方を中心にわかりやすく説明する。具体的なデジタルシステムとして、デジタルフィルタを採り上げ、周波数特性のさまざまな形状(ローパス、ハイパス、バンドパス、バンドストップ)の例を示す。(筆者)

デジタルシステムの 周波数応答(振幅, 位相)

まず、デジタルシステムの周波数応答(あるいは周波数スペクトル)について簡単にまとめておこう。デジタルシステムの中で、デジタルフィルタとよばれるものは雑音を含む信号から雑音を取り除いて信号成分のみを取り出したり、信号の形状を変えたり、信号を平均化したり、信号をいくつかの周波数成分に分解したり、...と、いろいろな信号処理機能をもつものである(図14.1)。

ところで周波数応答には、たとえば“振幅”、“位相”とよばれるパラメータがあり、それぞれ次のような性質を表す。

● 振幅特性(図14.2)

いま、入力に大きさ2[V]の正弦波信号を加えたときに出力で1.6[V]の正弦波信号が得られたとしよう。このとき、デジタルシステムの振幅は「0.8(= 1.6/2)である」という。同様に、入

力信号の大きさが2[V]で出力信号の大きさが2[V]のときはデジタルシステムの振幅は「1である」といい、入ってきた信号が大きさの変化がなく、そのままの大きさで出力される。このような周波数は“通過域(パスバンド: passband)”とよばれる。

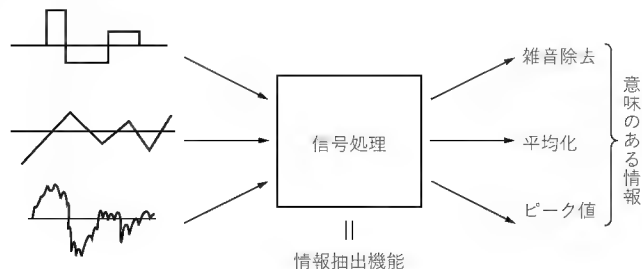
これに対して、入力信号の大きさが2[V]で出力信号の大きさが0[V]のときはデジタルシステムの振幅は「0である」といい、入ってきた信号がまったく出力されないわけで、“阻止域(ストップバンド: stopband, あるいは減衰域)”とよばれる。このように入力信号の大きさに対して、

「どれくらいの割合で信号が出力されるのか」を表すものが振幅であり、正弦波信号の周波数に対する変化のようすをグラフにしたものが“振幅特性”、あるいは“振幅スペクトル”とよばれている(図14.3)。

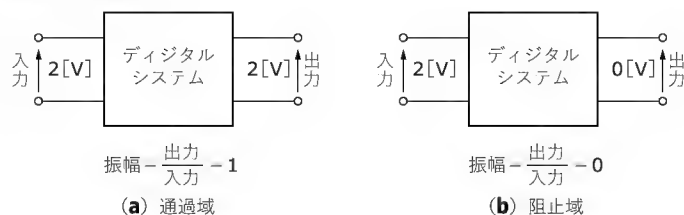
● 位相特性

さて、入力信号をデジタルシステムに加えると間髪をおかず瞬時に出力が得られると思われるかもしれないが、そうではない。たとえば、国際電話や衛星放送などで外国に住む人との会話を聞いていると、なんとなく間延びした感じで受け答えが

〔図14.1〕信号処理とは

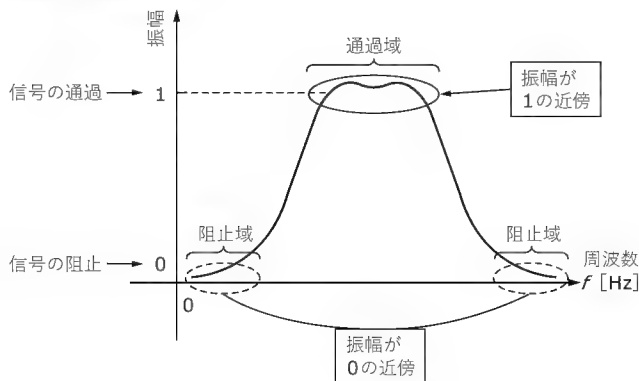


〔図14.2〕振幅とは

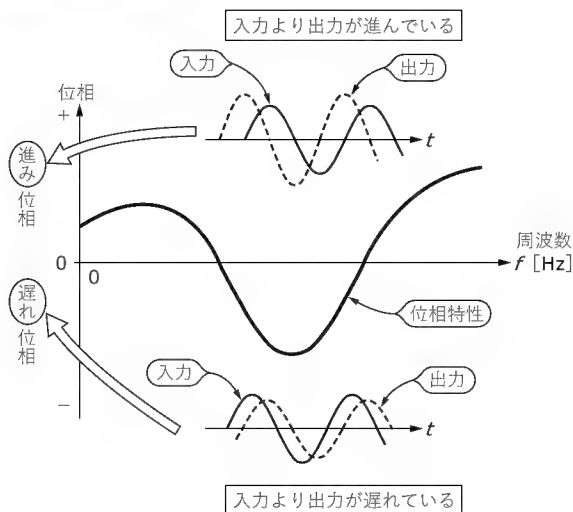




〔図 14.3〕 振幅特性



〔図 14.5〕 位相特性



スムーズでないと思うことがあるが、この現象は言葉を発してから届くまでに時間がかかって遅れているためである。デジタルシステムでも同様で、通常は図 14.4 に示すようにある時間だけ遅れて出力信号が得られることになる。この時間遅れに関係する量が“位相”とよばれるものである。入力信号がデジタルシステムに入ってからどれだけの時間ずれがあって信号が出力されるのかに関係する位相が、正弦波の周波数に対してどのように変化をするのかをグラフにして表したものが、“位相特性”、あるいは“位相スペクトル”とよばれている(図 14.5)。

たとえば、10 [Hz] の周波数の正弦波が 0.01 [秒] 遅れて出力されたときには、

$$-2\pi \times 10 \times 0.01 = -0.2\pi [\text{rad}]$$

という位相を有するといい、負(マイナス)の符号は時間の“遅れ”を表す。一般的には、入力信号の周波数を f [Hz]、時間の遅れを t_d [秒] とすると、その位相は、

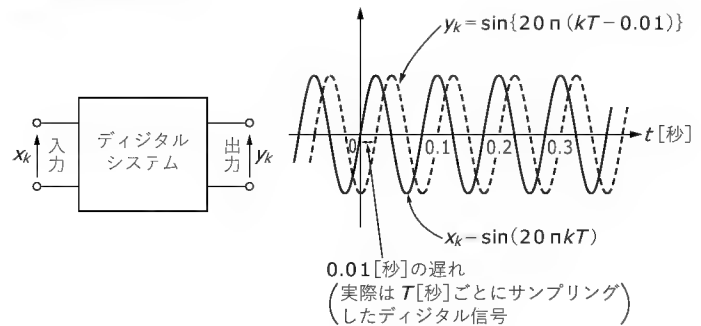
$$-2\pi f t_d [\text{rad}] \dots\dots\dots (1)$$

と表されることになる。

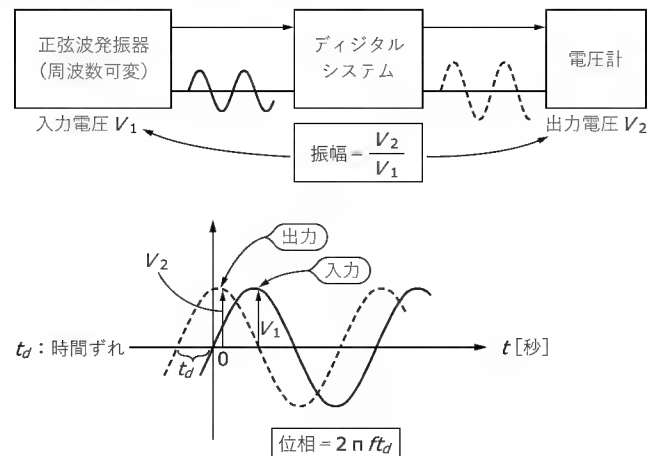
● 周波数応答の測定方法

もっともシンプルな測定方法を図 14.6 に示す。

〔図 14.4〕 位相とは



〔図 14.6〕 周波数特性の測定方法



- 1) 周波数を可変できる正弦波発振器を用意する
- 2) ある周波数 f [Hz] の正弦波をデジタルシステムに入力信号として加え、出力信号の大きさを測定する。同時に、オシロスコープ上に入出力波形を表示させ、時間の差 t_d を測定する
- 3) 横軸に発振器の周波数 f を、縦軸に振幅、あるいは位相をとり、発振器の周波数 f を変えながら、それぞれの値をプロットする。その際、振幅と位相は次式で計算して求める。

$$\text{振幅} = \frac{\text{出力電圧の大きさ}}{\text{入力電圧の大きさ}} \dots\dots\dots (2)$$

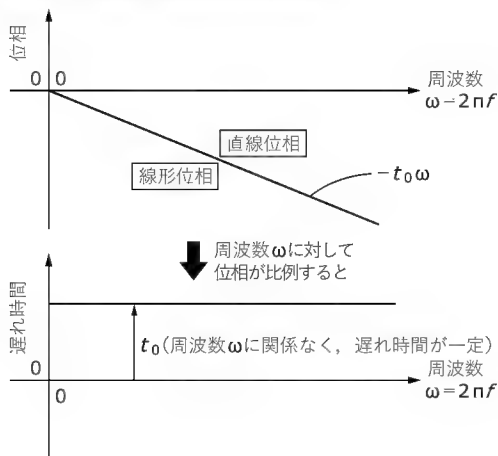
$$\text{位相} = 2\pi \times (\text{時間のずれ}) \dots\dots\dots (3)$$

なお、位相を角周波数で割った値は“遅延時間”とよばれ、周波数に対して一定値となる特性を“線形位相(あるいは、直線位相)”という(図 14.7)。

デジタルシステムの周波数特性例

周波数を変えて得られるデジタルシステムの周波数特性には、通過域(信号を通しやすい周波数領域)と阻止域(信号を通しにくい周波数領域)の組み合わせによって、4種類のデジタルフィルタに大別される(図 14.8)。ここで、フィルタ(filter)という言葉は、文字どおり信号を選択するという意味であり、ド

〔図 14.7〕線形位相(直線位相)特性



リップコーヒを入れるときに用いる「ろ紙」の役目と同じような機能を有している。

1) ローパスフィルタ〔図 14.8(a)〕

低域通過型フィルタともいう。通過域が角周波数 $\omega = 0$ [rad] (直流に相当) から ω_0 までで、 ω_0 から $\omega_s/2$ の範囲が阻止域となり、周波数が高くなるにしたがって通りにくくなり、出力信号が小さくなる。ここで、 ω_s はサンプリング周波数で、サンプリング間隔 T [秒] の逆数 ($= 1/T$) に等しい、つまり、デジタルシステムのもっとも高い周波数は、サンプリング角周波数 ω_s の $1/2$ であるということに注意してもらいたい。

2) ハイパスフィルタ〔図 14.8(b)〕

高域通過型フィルタともいい、ローパスフィルタの逆の特性を有する。すなわち、角周波数 $\omega = 0$ [rad] (直流に相当) から ω_0 までが阻止域で、 ω_0 から $\omega_s/2$ の範囲が通過域となり、周波数が高くなるにしたがって通りやすくなり、出力信号が大きく

なる。

3) バンドパスフィルタ〔図 14.8(c)〕

帯域通過型フィルタともいい、角周波数 ω_1 から ω_2 までの範囲が通過域で、それ以外の角周波数の範囲は阻止域となる。つまり、中間の周波数はそのまま出力され、低い周波数と高い周波数の信号は減衰してほとんど出力されない。

4) バンドストップフィルタ〔図 14.8(d)〕

帯域阻止型フィルタ、あるいはバンドエリミネーションフィルタともいう。角周波数 ω_1 から ω_2 までの範囲が阻止域で、それ以外の角周波数の範囲は通過域となる。つまり、低い周波数と高い周波数の信号はそのまま出力され、中間の周波数は減衰してほとんど出力されない。

図 14.8 に示すように、通過域から阻止域、阻止域から通過域へと非常に急峻な階段状の変化をするような振幅特性を有するデジタルフィルタを実現することは不可能であり、図 14.9 に示すような実現可能な特性を設計対象のモデルとして考えなければならぬ。

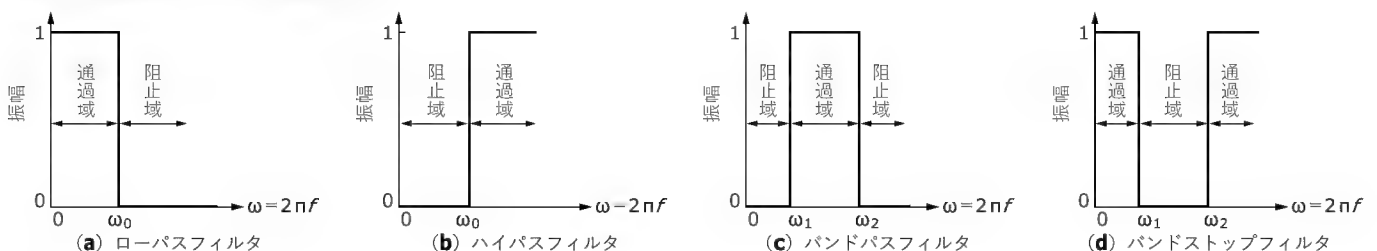
デジタルシステムの周波数 特性と DFT 値 $(1 + \sqrt{2})$

それでは、デジタルフーリエ変換 (DFT) 値とデジタルシステムの伝達関数表現で用いる“ z 変換”との関係についての説明を始める。

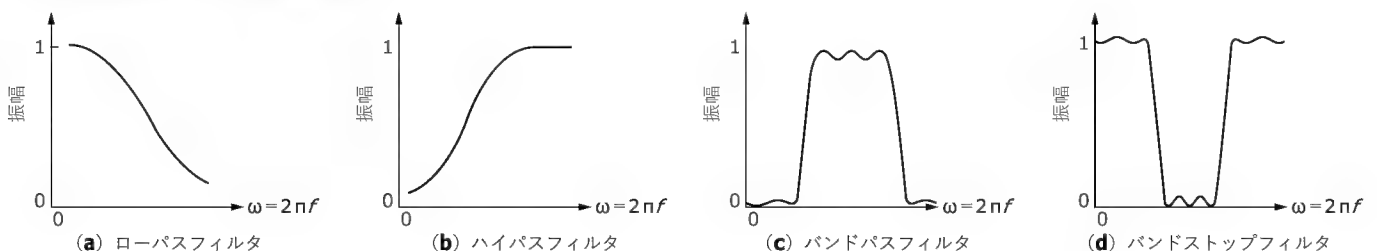
いま、周期性を有するアナログ信号 (図 14.10) をサンプリング間隔 T [秒] ごとにサンプリングして得られた N 個のデジタル信号のサンプル値を $\{f_n\}_{n=0}^{N-1}$ とするとき、DFT 値 $\{F_k\}_{k=0}^{N-1}$ は次式で与えられる。

$$F_k = \frac{1}{N} \sum_{n=0}^{N-1} f_n (W_N)^{nk}; k = 0, 1, 2, \dots, N-1 \quad \dots\dots\dots (4)$$

〔図 14.8〕理想的なフィルタの振幅仕様

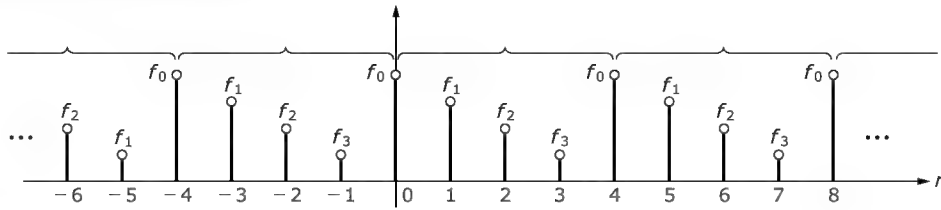


〔図 14.9〕実際のフィルタの振幅特性例

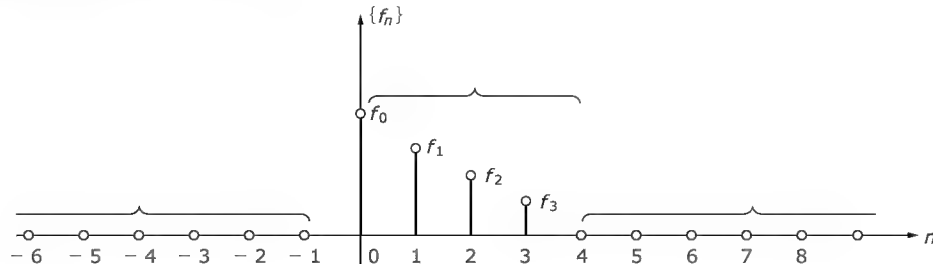




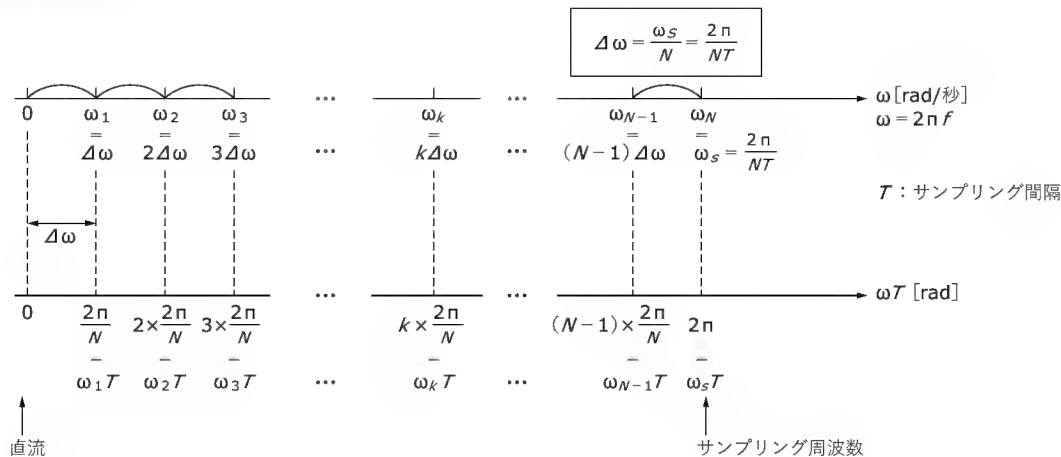
〔図 14.10〕 周期性を有するデジタル信号の例 ($N = 4$)



〔図 14.11〕 時間制限されたデジタル信号の例 ($N = 4$)



〔図 14.12〕 周波数分解能 $\Delta\omega$



ただし, $W_N = e^{-j2\pi/N}$ (5)

また, 図 14.11 のデジタル信号系列 $\{f_n\}_{n=0}^{N-1}$ の z 変換は,

$$G(z) = \sum_{n=0}^{N-1} f_n z^{-n} \dots\dots\dots (6)$$

であり, $z = e^{j\omega T}$ を代入して周波数(スペクトル)特性が計算される。

$$G(e^{j\omega T}) = \sum_{n=0}^{N-1} f_n e^{-jn\omega T} \dots\dots\dots (7)$$

角周波数 ω は $0 \sim \omega_s$ ($\omega_s = 2\pi/T$ [rad/秒], サンプルング角周波数) の範囲の値をとり, N 等分した各周波数を ω_k とすると,

$$\omega_k = k\Delta\omega; \quad k = 0, 1, 2, \dots, N-1 \dots\dots\dots (8)$$

$$\text{ただし, } \Delta\omega = \frac{\omega_s}{N} = \frac{2\pi}{NT}$$

となり, $\Delta\omega$ は周波数分解能に相当する (図 14.12)。

ここで, $\omega = \omega_k$ における $G(z)$ の値 $G(e^{j\omega_k T})$ を G_k とし, 式 (8) より得られる $\omega_k T = k(2\pi/N)$ を式 (7) に代入すると,

$$G_k = G(e^{j\omega_k T})$$

$$= \sum_{n=0}^{N-1} f_n e^{-jnk(2\pi/N)}$$

$$= \sum_{n=0}^{N-1} f_n (e^{-j2\pi/N})^{nk}$$

となる。さらに, 式 (5) の W_N を用いて書き換えると,

$$G_k = \sum_{n=0}^{N-1} f_n W_N^{nk} \dots\dots\dots (9)$$

なる関係が導かれる。

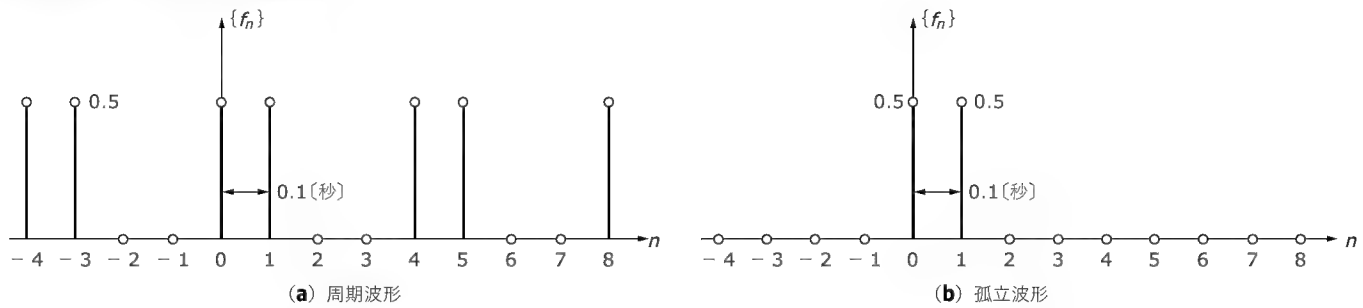
よって, 式 (4) と式 (9) を比較することにより, 以下の関係式が得られる。

$$F_k = \frac{1}{N} \times G_k \dots\dots\dots (10)$$

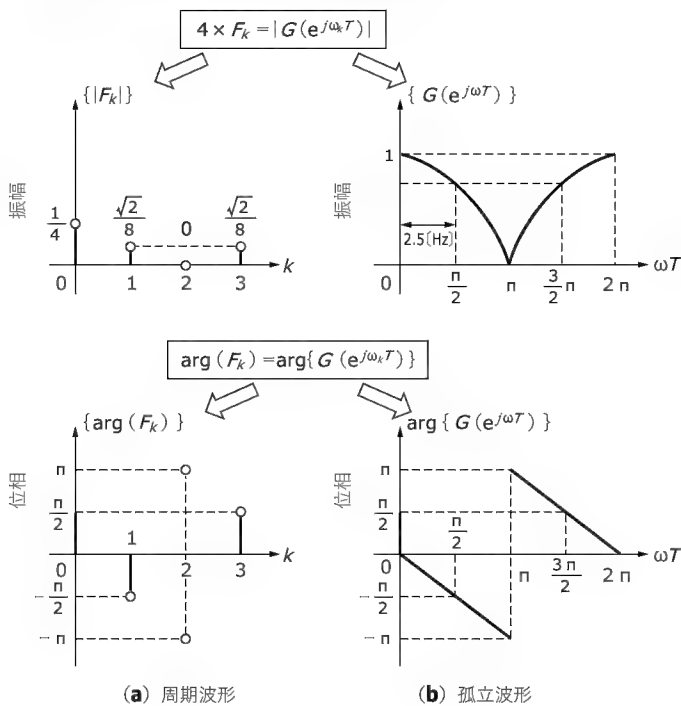
$$G_k = N \times F_k \dots\dots\dots (11)$$

つまり, z 変換に基づく周波数スペクトル値 $\{G_k\}_{k=0}^{N-1}$ が DFT

〔図 14.13〕 デジタル信号 例題 1



〔図 14.14〕 周波数応答の振幅, 位相 例題 1



値 $\{F_k\}_{k=0}^{N-1}$ を N 倍したものに相当するわけで, 式 (4) の $(1/N)$ 倍を除いて計算した結果に一致することがわかる。

例題 1

図 14.13 (a), (b) に示すデジタル信号の周波数成分を求めよ。

解答 1

図 14.13 (a) の周期波形は, $N=4$ として式 (4) を計算すると, 周波数成分は離散的な形で次のように求められる〔図 14.14 (a)〕。

$$F_0 = \frac{1}{4}(f_0 + f_1 + f_2 + f_3) = \frac{1}{4}(0.5 + 0.5) = \frac{1}{4}$$

$$\begin{aligned} F_1 &= \frac{1}{4}(f_0 - jf_1 - f_2 + jf_3) \\ &= \frac{1}{4}(0.5 - j0.5) = 0.125 - j0.125 = \frac{1}{8}(1 - j) \end{aligned}$$

$$F_2 = \frac{1}{4}(f_0 - f_1 + f_2 - f_3) = \frac{1}{4}(0.5 - 0.5) = 0$$

$F_3 = F_1$ の複素共役

$$= 0.125 + j0.125 = \frac{1}{8}(1 + j)$$

ここで, サンプルング間隔 T が 0.1 [秒] なので, サンプルング周波数が,

$$f_s = \frac{1}{0.1 \text{ [秒]}} = 10 \text{ [Hz]}$$

となり, 周波数分解能は,

$$\Delta f = \frac{f_s}{N} = \frac{10}{4} = 2.5 \text{ [Hz]}$$

で与えられる。よって, 各周波数 ($0, 2.5, 5, 7.5$ [Hz]) に対する振幅 $|F_k|$ と位相 $\arg(F_k)$ は以下のように計算される。なお, 数学的には, 振幅は絶対値に, 位相は偏角に相当する。

(i) $f = 0$ [Hz] (直流)

$$|F_0| = \frac{1}{4}, \arg(F_0) = 0$$

(ii) $f = 2.5$ [Hz]

$$|F_1| = \frac{1}{8}\sqrt{1^2 + (-1)^2} = \frac{\sqrt{2}}{8},$$

$$\arg(F_1) = \arctan(1, -1) = \tan^{-1}\left(\frac{-1}{1}\right) = -\frac{\pi}{4}$$

(iii) $f = 5$ [Hz]

$$|F_2| = 0, \arg(F_2) = \pm \frac{\pi}{2}$$

(iv) $f = 7.5$ [Hz]

$$|F_3| = \frac{1}{8}\sqrt{1^2 + 1^2} = \frac{\sqrt{2}}{8} = |F_1|,$$

$$\arg(F_3) = \arctan(1, 1) = \tan^{-1}\left(\frac{1}{1}\right) = \frac{\pi}{4} = -\arg(F_1)$$

また, 図 14.13 (b) の孤立波形の周波数成分は, 式 (7) を計算して連続的な形で次のように求められる〔図 14.14 (b)〕。

$$\begin{aligned} G(e^{j\omega T}) &= 0.5 + 0.5e^{-j\omega T}; \omega = 2\pi f \\ &= 0.5 + 0.5 \times \{\cos(\omega T) - j\sin(\omega T)\} \\ &= \{0.5 + 0.5\cos(\omega T)\} - j0.5\sin(\omega T) \quad \dots\dots (12) \end{aligned}$$

このように, 周期波形と孤立波形とで周波数成分のようすが



違っていることに注意してもらいたい。つまり、周期波形は離散的、孤立波形は連続的な周波数成分をもつのである。ここで、式(12)において、DFT値が表す離散的な周波数(0, 2.5, 5, 7.5 [Hz])に対する G_k ($k = 0, 1, 2, 3$)を求めてみると、

$$\begin{aligned} G_0 &= G(e^{j0}) = 1 \\ G_1 &= G(e^{j2\pi \times 2.5 \times 0.1}) = G(e^{j0.5\pi}) \\ &= \{0.5 + 0.5 \cos(0.5\pi)\} - j0.5 \sin(0.5\pi) \\ &= \frac{1}{2}(1 - j) \\ G_2 &= G(e^{j2\pi \times 5 \times 0.1}) = G(e^{j\pi}) \\ &= \{0.5 + 0.5 \cos(\pi)\} - j0.5 \sin(\pi) = 0 \\ G_3 &= G(e^{j2\pi \times 7.5 \times 0.1}) = G(e^{j1.5\pi}) \\ &= \{0.5 + 0.5 \cos(1.5\pi)\} - j0.5 \sin(1.5\pi) \\ &= \frac{1}{2}(1 + j) \end{aligned}$$

となる。よって、 F_k ($k = 0, 1, 2, 3$)と比べてみると、

$$G_k = 4 \times F_k$$

という、式(10)と式(11)の関係が成立することが確認できる。

FFTによるデジタルシステム設計

それでは、サンプル数 $N = 4$ [個]に対するデジタルシステムの振幅特性 $|G(e^{j\omega T})|$ が周期性を有することを利用して、FFTを利用して設計する手順を示しておこう(図14.15)。

いま、振幅特性 $|G(e^{j\omega T})|$ を有限項(項数が4個)のフーリエ級数で表すことを考える。すなわち、展開係数を $\{h_n\}_{n=-1}^{n=2}$ とすれば、

$$G(e^{j\omega T}) = h_0 + h_1 e^{j\omega T} + h_2 e^{j2\omega T} + h_{-1} e^{-j\omega T} \dots (13)$$

と表され、周波数分解能に対応する周波数は、

$$\omega_k T = k \left(\frac{2\pi}{4} \right) = \frac{k\pi}{2}; k = 0, 1, 2, 3 \dots (14)$$

となる。そこで、まず式(5)より、

$$W = W_4 = e^{-j\frac{\pi}{2}} \dots (15)$$

とおき、式(14)を式(13)に代入すると、以下の関係式が得られる。

$$H_0 = G(e^{j0}) = h_0 + h_1 + h_2 + h_{-1} \dots (16)$$

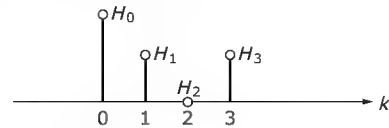
$$H_1 = G\left(e^{j\frac{\pi}{2}}\right) = h_0 + h_1 W^{-1} + h_2 W^{-2} + h_{-1} W^1 \dots (17)$$

$$H_2 = G(e^{j\pi}) = h_0 + h_1 W^{-2} + h_2 W^{-4} + h_{-1} W^2 \dots (18)$$

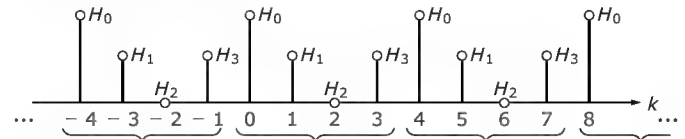
$$H_3 = G\left(e^{j\frac{3\pi}{2}}\right) = h_0 + h_1 W^{-3} + h_2 W^{-6} + h_{-1} W^3 \dots (19)$$

〔図14.15〕FFTによるデジタルシステム設計の流れ($N = 4$)

- ① デジタルシステムの振幅仕様を与える



- ② 振幅仕様を周期波形とみなす



- ③ 周期波形のフーリエ級数の展開係数を求める

$$\{h_0 \ h_1 \ h_2 \ h_3\}$$

$$h_{-1} e^{-j\omega T} + h_0 + h_1 e^{j\omega T} + h_2 e^{j2\omega T} \quad (\text{フーリエ級数展開})$$

- ④ デジタルシステムの伝達関数 $H(z)$ に直す

また、式(15)の回転因子 W は、

$$W^4 = 1 \dots (20)$$

なので、 $W^1 = W^{-3}$, $W^2 = W^{-6}$, $W^3 = W^{-9}$ であり、式(16)～式(19)に代入して以下のように表される。

$$H_0 = h_0 + h_1 + h_2 + h_{-1} \dots (21)$$

$$H_1 = h_0 + h_1 W^{-1} + h_2 W^{-2} + h_{-1} W^{-3} \dots (22)$$

$$H_2 = h_0 + h_1 W^{-2} + h_2 W^{-4} + h_{-1} W^{-6} \dots (23)$$

$$H_3 = h_0 + h_1 W^{-3} + h_2 W^{-6} + h_{-1} W^{-9} \dots (24)$$

ところで、 h_{-1} を h_3 とみなせば、式(21)～式(24)はフーリエ逆変換(IDFT)の計算式に一致していることから、展開係数 $\{h_n\}_{n=0}^{n=3}$ は $\{H_k\}_{k=0}^{k=3}$ を入力とするDFT値によって計算されることがわかる。

一般に、決定すべきフーリエ級数の展開係数が N [個]であるときは、周波数特性を N 等分し、その周波数標本点のDFT値を求めることによって展開係数が得られる(図14.16)。

以上の計算から得られた展開係数より、デジタルシステムの伝達関数 $G(z)$ は、式(13)において $z = e^{j\omega T}$ と置き換え、 $h_2 \neq 0$ とすれば、

$$\begin{aligned} G(z) &= (h_0 + h_1 z^1 + h_2 z^2 + h_{-1} z^{-1}) \times z^{-2} \\ &= h_2 + h_1 z^{-1} + h_0 z^{-2} + h_{-1} z^{-3} \dots (25) \end{aligned}$$

で与えられ、周波数特性は、 $z = e^{j\omega T}$ を代入して、

$$G(e^{j\omega T}) = h_2 + h_1 e^{-j\omega T} + h_0 e^{-j2\omega T} + h_{-1} e^{-j3\omega T}$$

で求められる(図14.17)。また、 $h_2 = 0$ の場合は、

$$\begin{aligned} G(z) &= (h_0 + h_1 z^1 + h_{-1} z^{-1}) \times z^{-1} \\ &= h_0 + h_1 z + h_{-1} z^{-1} \dots (26) \end{aligned}$$

と表される。なお、式(26)の変形に際し、それぞれ z^{-2} , z^{-1} をかけているが、デジタルフィルタの因果性を担保するためのものである。

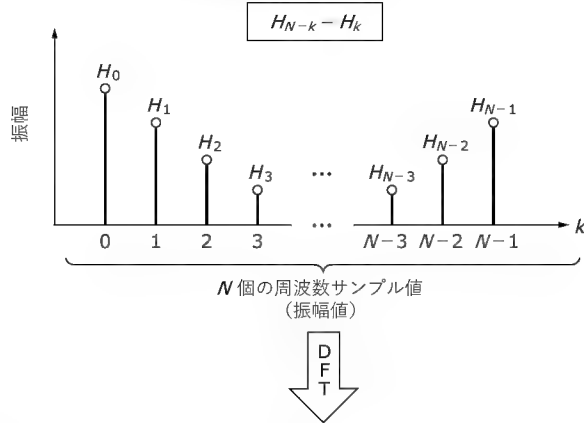
例題2

図 14.18 のローパスフィルタを設計し、周波数特性 (振幅, 位相) を示せ。

解答2

図 14.18 より, $H_0 = 1$, $H_1 = 0.5$, $H_2 = 0$, $H_3 = 0.5$ であり, $N = 4$ として式 (4) に代入すれば,

〔図 14.16〕 N 個のフーリエ級数展開係数の算出



フーリエ級数展開	$h_0 + h_1 e^{j\omega T} + h_2 e^{j2\omega T} + \dots + h_{N-2} e^{-j2\omega T} + h_{N-1} e^{-j\omega T}$
----------	---

〔図 14.17〕 フーリエ級数展開式から伝達関数の算出 ($N = 4$)

● フーリエ級数展開

$$G(e^{j\omega T}) = h_0 + h_1 e^{j\omega T} + h_2 e^{-j2\omega T} + h_{-1} e^{-j\omega T}$$

↓ $e^{j\omega T} = z$ とおく

● 仮の伝達関数

$$G(z) = h_0 + h_1 z + h_2 z^2 + h_{-1} z^{-1}$$

↓ 因果律を満たすように遅延をかける

- ① $h_2 \neq 0$ の場合は z^{-2} を掛ける
- ② $h_2 = 0$, $h_1 \neq 0$ の場合は z^{-1} を掛ける

- ① の場合: $G(z) = h_2 + h_1 z^{-1} + h_0 z^{-2} + h_{-1} z^{-3}$
- ② の場合: $G(z) = h_1 + h_0 z^{-1} + h_{-1} z^{-2}$

$$h_0 = \frac{1}{4} (H_0 + H_1 + H_2 + H_3) \dots \dots \dots (27)$$

$$h_1 = \frac{1}{4} (H_0 + H_1 W^1 + H_2 W^2 + H_3 W^3) \dots \dots \dots (28)$$

$$h_2 = \frac{1}{4} (H_0 + H_1 W^2 + H_2 W^4 + H_3 W^6) \dots \dots \dots (29)$$

$$h_{-1} = h_3 = \frac{1}{4} (H_0 + H_1 W^3 + H_2 W^6 + H_3 W^9) \dots \dots \dots (30)$$

となり, さらに,

$$W = W_4 = e^{-j\frac{\pi}{2}} = -j$$

を考慮して計算することにより,

$$h_0 = 0.5, h_1 = 0.25, h_2 = 0, h_{-1} = 0.25 \dots \dots \dots (31)$$

と計算される。よって, 式 (26) より 図 14.18 のローパスフィルタの伝達関数を $H_{LP}(z)$ と表せば,

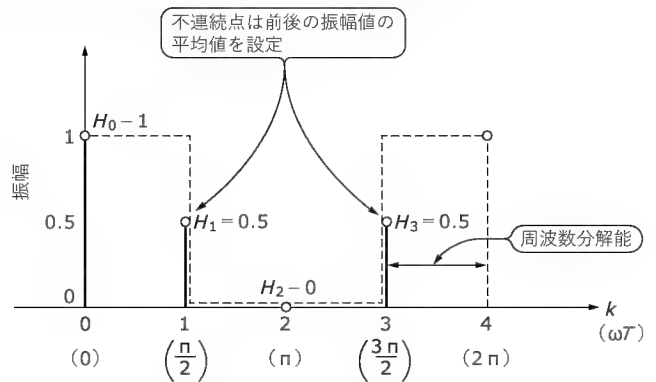
$$H_{LP}(z) = 0.25 + 0.5z^{-1} + 0.25z^{-2} \dots \dots \dots (32)$$

で与えられ, 周波数特性は, $z = e^{j\omega T}$ を代入して,

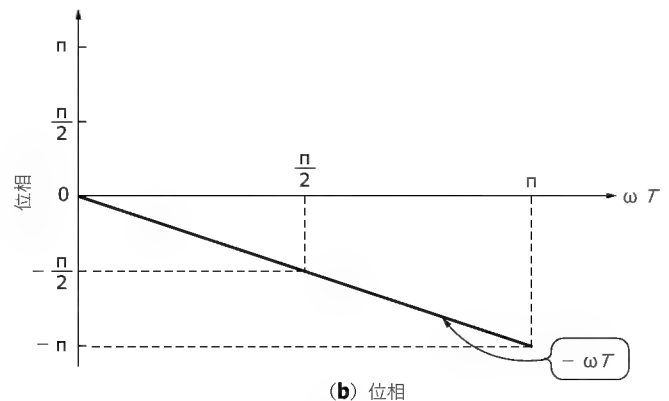
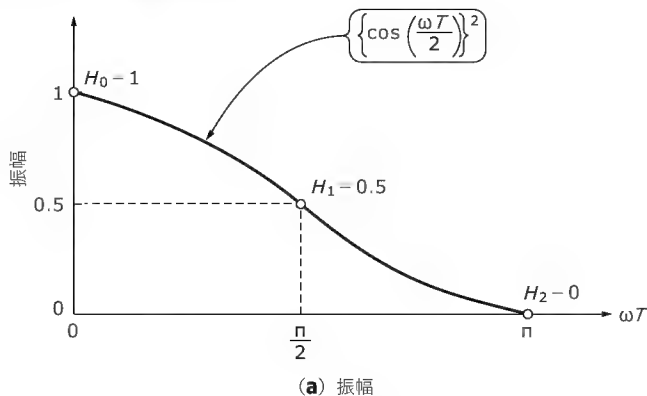
$$H_{LP}(e^{j\omega T}) = G(e^{j\omega T}) = \left\{ \cos\left(\frac{\omega T}{2}\right) \right\}^2 e^{-j\omega T} \dots \dots \dots (33)$$

で求められる (図 14.19)。

〔図 14.18〕 例題2 ローパスフィルタの設計仕様

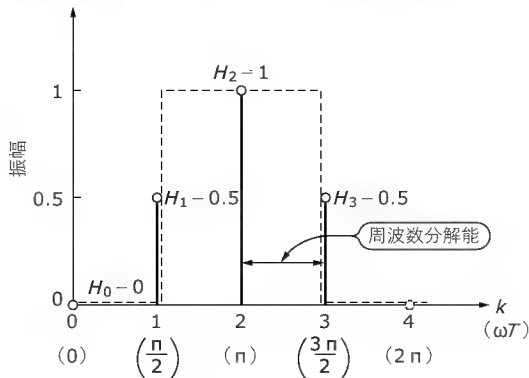


〔図 14.19〕 例題2 の周波数特性





〔図 14.20〕 例題3 ハイパスフィルタの設計仕様



例題3

図 14.20 のハイパスフィルタを設計し、周波数特性(振幅, 位相)を示せ。また、ローパスフィルタの係数〔式(32)〕と比較せよ。

解答3

図 14.20 より、 $H_0 = 0$ 、 $H_1 = 0.5$ 、 $H_2 = 1$ 、 $H_3 = 0.5$ であり、式(4)のDFT値は、

$$h_0 = 0.5, h_1 = -0.25, h_2 = 0, h_{-1} = -0.25 \dots (34)$$

と計算される。よって、式(26)より図 14.20 のハイパスフィルタの伝達関数を $H_{HP}(z)$ と表せば、

$$H_{HP}(z) = -0.25 + 0.5z^{-1} - 0.25z^{-2} \dots (35)$$

で与えられ、周波数特性は、 $z = e^{j\omega T}$ を代入して、

$$H_{HP}(e^{j\omega T}) = G(e^{j\omega T}) = \left\{ \sin\left(\frac{\omega T}{2}\right) \right\}^2 e^{-j\omega T} \dots (36)$$

で求められる(図 14.21)。

例題4

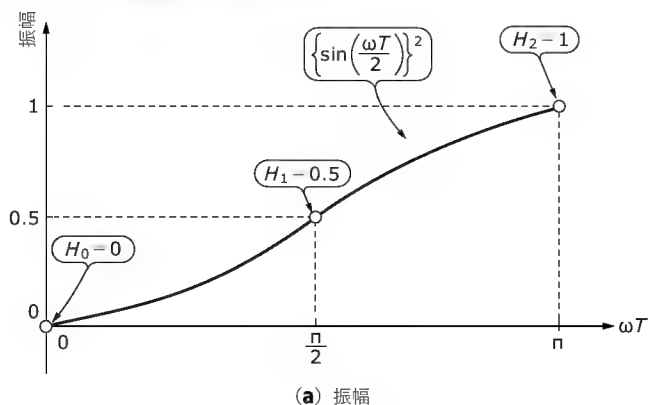
図 14.22 のバンドパスフィルタを設計し、周波数特性(振幅, 位相)を示せ。

解答4

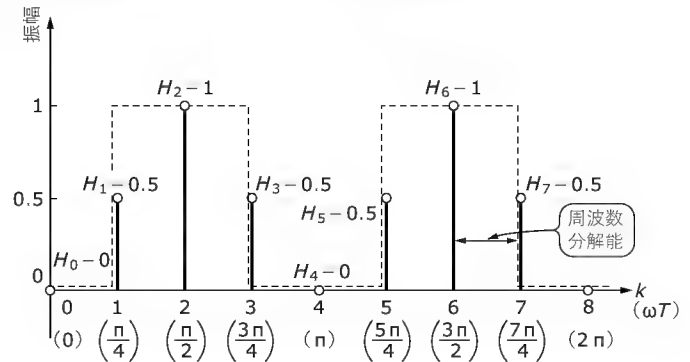
図 14.22 より、 $H_0 = 0$ 、 $H_1 = 0.5$ 、 $H_2 = 1$ 、 $H_3 = 0.5$ 、 $H_4 = 0$ 、 $H_5 = 0.5$ 、 $H_6 = 1$ 、 $H_7 = 0.5$ であり、 $N = 8$ として、式(5)より、

$$W_8 = e^{-j\frac{\pi}{4}} = \cos\left(\frac{\pi}{4}\right) - j\sin\left(\frac{\pi}{4}\right) = \frac{1-j}{\sqrt{2}}$$

〔図 14.21〕 例題3 の周波数特性



〔図 14.22〕 例題4 バンドパスフィルタの設計仕様



となり、式(4)に代入してDFT値を求めれば、

$$h_0 = 0.5, h_1 = 0, h_2 = -0.25, h_3 = 0$$

$$h_4 = 0, h_{-3} = 0, h_{-2} = -0.25, h_{-1} = 0 \dots (37)$$

と計算される。ここで、 $N = 8$ のときの伝達関数 $G(z)$ は、 $N = 4$ の場合と同様の計算により、

$$\begin{aligned} G(z) &= (h_0 + h_1z + h_2z^2 + h_3z^3 \\ &\quad + h_4z^4 + h_{-3}z^{-3} + h_{-2}z^{-2} + h_{-1}z^{-1}) \times z^{-4} \\ &= h_4 + h_3z^{-1} + h_2z^{-2} + h_1z^{-3} \\ &\quad + h_0z^{-4} + h_{-1}z^{-5} + h_{-2}z^{-6} + h_{-3}z^{-7} \dots (38) \end{aligned}$$

で与えられ、周波数特性は、

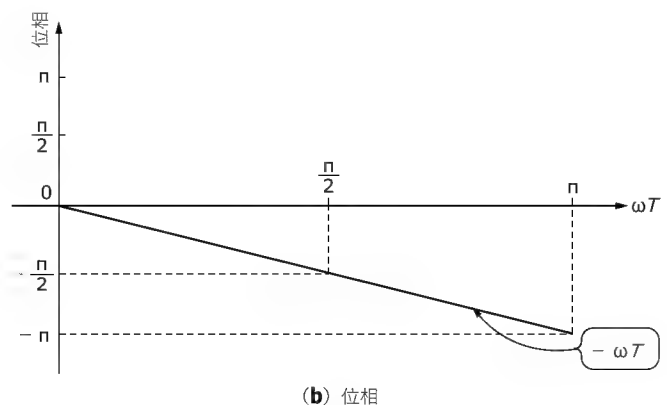
$$\begin{aligned} G(e^{j\omega T}) &= (h_4 + h_3e^{-j\omega T} + h_2e^{-j2\omega T} + h_1e^{-j3\omega T} \\ &\quad + h_0e^{-j4\omega T} + h_{-1}e^{-j5\omega T} + h_{-2}e^{-j6\omega T} + h_{-3}e^{-j7\omega T}) \\ &\dots (39) \end{aligned}$$

で求められる。

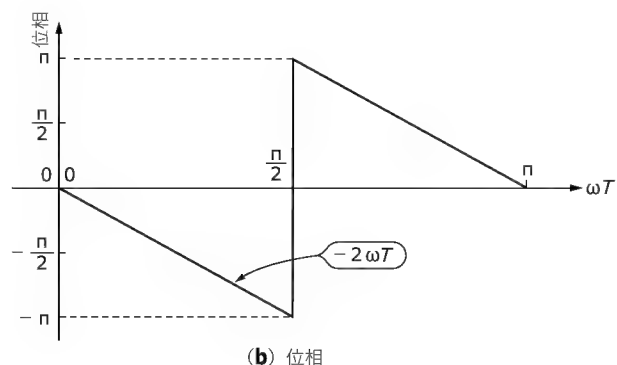
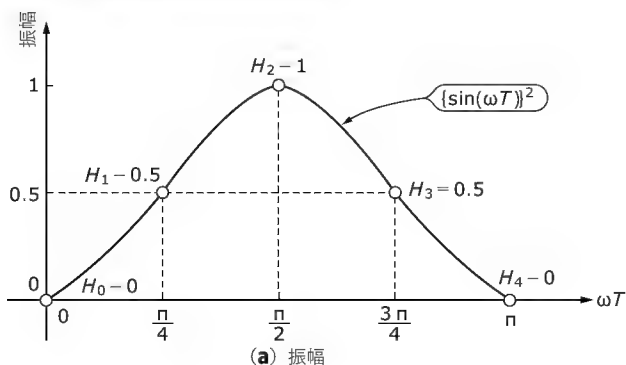
よって、式(37)を式(38)に代入し、図 14.22 のバンドパスフィルタの伝達関数を $H_{BP}(z)$ と表せば、 $h_3 = h_4 = h_{-3} = 0$ を考慮して、

$$\begin{aligned} H_{BP}(z) &= (h_0 + h_1z + h_2z^2 + h_{-2}z^{-2} + h_{-1}z^{-1}) \times z^{-2} \\ &= h_2 + h_1z^{-1} + h_0z^{-2} + h_{-1}z^{-3} + h_{-2}z^{-4} \dots (40) \end{aligned}$$

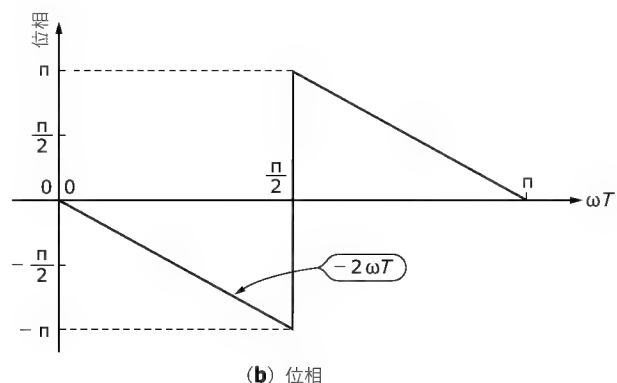
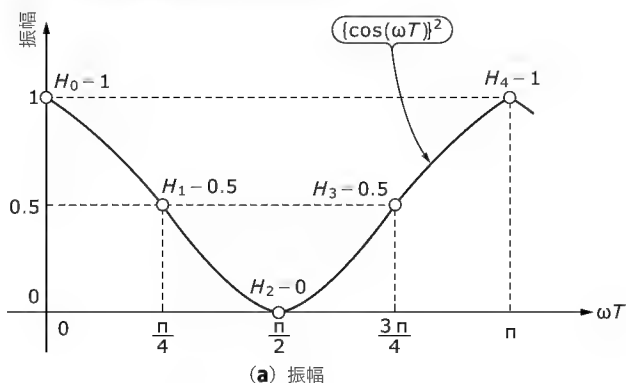
で与えられ、周波数特性は、 $z = e^{j\omega T}$ を代入して、



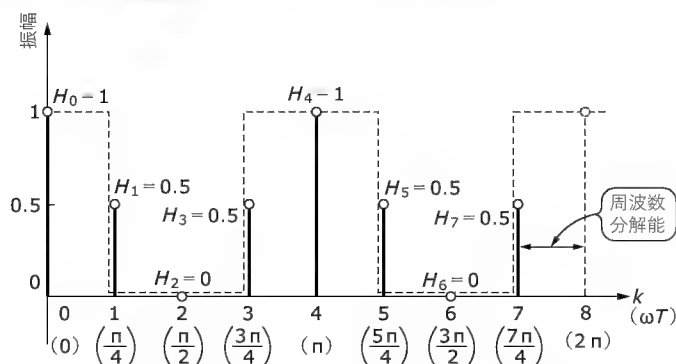
〔図 14.23〕 例題4 の周波数特性



〔図 14.25〕 例題5 の周波数特性



〔図 14.24〕 例題5 バンドストップフィルタの設計仕様



$$H_{BP}(e^{j\omega T}) = G(e^{j\omega T}) = \{\sin(\omega T)\}^2 e^{-j2\omega T} \dots\dots\dots (41)$$

で求められる (図 14.23).

例題5

図 14.24 のバンドストップフィルタを設計し、周波数特性 (振幅, 位相) を示せ。

解答5

図 14.24 より, $H_0 = 1$, $H_1 = 0.5$, $H_2 = 0$, $H_3 = 0.5$, $H_4 = 1$, $H_5 = 0.5$, $H_6 = 0$, $H_7 = 0.5$ であり, $N = 8$ として式 (4) の DFT 値は,

$$\begin{aligned} h_0 &= 0.5, \quad h_1 = 0, \quad h_2 = 0.25, \quad h_3 = 0 \\ h_4 &= 0, \quad h_{-3} = 0, \quad h_{-2} = 0.25, \quad h_{-1} = 0 \dots\dots\dots (42) \end{aligned}$$

と計算される。よって、図 14.25 のバンドストップフィルタの伝達関数を $H_{BS}(z)$ と表せば, $h_3 = h_4 = h_{-3} = 0$ を考慮して式 (40) と同様の計算により,

$$\begin{aligned} H_{BS}(z) &= (h_0 + h_1 z + h_2 z^2 + h_{-2} z^{-2} + h_{-1} z^{-1}) \times z^{-2} \\ &= h_2 + h_1 z^{-1} + h_0 z^{-2} + h_{-1} z^{-3} + h_{-2} z^{-4} \dots\dots (43) \end{aligned}$$

で与えられ、周波数特性は, $z = e^{j\omega T}$ を代入して,

$$H_{BS}(e^{j\omega T}) = G(e^{j\omega T}) = \{\cos(\omega T)\}^2 e^{-j2\omega T} \dots\dots\dots (44)$$

と求められる (図 14.25)。

以上、例題2 ～ 例題5 に示すように、設計したいデジタルシステムの振幅特性を仕様として与えれば、FFT 計算により得られる DFT 値をフーリエ級数の展開係数とみなして伝達関数を導き出せることがわかる。つまり、所望の仕様を満たすデジタルシステムを設計できることが理解されるのである。

* * *

今回は、引き続き“システム設計編Ⅱ”として、周波数サンプリング法とよばれる設計手法などについて解説する予定である。お楽しみに。

ハッカーの常識的見聞録 ②6

今月の常識 デジカメとPC共用CFカードはバックアップを忘れずに

■ 広畑由紀夫

☆デジタルカメラ(デジカメ)は、プロ用が1,000万画素を超え、一般用でも500万画素を超える高品位な製品が普及してきている。そのような状況では、PCとデジカメ間でメモ리카ードを共用することも多いだろう。今回は、CFカードにまつわる話をする。

コンパクトフラッシュ(CF)型のメモ리카ードストレージも1Gバイトマイクロドライブではなく、フラッシュメモリで1Gバイトの大容量のものが普及するようになり、早ければ2002年末には1.5G、2.0G、3.0Gバイト製品の発表/発売開始が話題にのぼってきています。また、アクセス速度もPIOモード4の速度(ATAインターフェース)で可能になる高速タイプのコントローラ搭載CFカードが一般用として発売されました。PIOモード4は、UDMA接続の最新ドライブに比べてたしかに転送速度だけを考えれば遅いものの、フラッシュメモリと従来のHDDを比べた場合、HDDという平均シーク速度はフラッシュメモリなら0に近くなります。

● フォーマットと再利用問題

CFカードをPCで簡単に使用できるアダプタやCFスロット対応のPocketPCや、PalmなどでCFカードをフォーマットして再利用することは、デジカメとPC間のデータ交換にCFカードでやりとりしている人には、もはやあたり前のことでしょう。最近では、デジカメとUSBなどで直接接続するキットも出始めてはいますが、やはりカードアダプタの値段の差は大きいもので、1,000円弱のアダプタカードと、1万円を越える接続キットのオプションのどちらを買うか、といわれると、アダプタを買って利用する人のほうが多いのではないかと思います。

さて、再利用してフォーマットする際、Windows XPでフォーマットすると、そのCFカードが使えなくなってしまうという現象が、巷でよく指摘されています。また、その際にはデジカメでのフォーマットさえできなくなってしまう機種も一部にはあるようです。

実際、筆者が先日購入した製品では、取扱説明書には「デジカメ本体でフォーマットしてください」とは書かれていましたが、「デジカメ本体以外でフォーマットしたカードは使用できません」とは書かれていませんでした。そこで、Windows XPでFATフォーマットを行った128Mバイトのカードをデジカメに入れてみたのですが、「このカードは使用できません」というメッセージが出るのみで、フォーマットすらできませんでした。メーカーのWebにあるFAQなどでも、「FATフォーマットにしてください」ということのみで、いまだに機種によってはPCでフォーマットしたカードが使用できないという例があるようです。

● 再利用に関する対処法

筆者の例では、デジカメ本体のメーカーサポート修理センターで対

応をしてくれるということで一件落着はしましたが、中古や譲り受けたデジカメを使用する場合などには、メーカーのWebでフォーマットに関するFAQなどをよく調べておくべきでしょう。そのほかの情報としては、オリンパスから2002年の秋以降に販売されているデジカメで再フォーマットできるものが非常に多いようなので、メモリ購入店に展示機があれば頼んでみるのも手でしょう。

もっとよい手段は、やはりPCでなんとかできないかということですが、通常のフォーマットプログラムで対応できないのであれば、最後はフォーマット情報から再現できるバックアップ&リストアしかなくなります。

● CFカードのバックアップ

筆者の環境では、HDDドライブとしてのアダプタと、PCMCIAアダプタを使い分けています。そのほかにはUSBも使用していますが、こちらはおもに持ち歩き用です。

さて、今回検証してみた現象は、物理フォーマットには関連しておらず、論理フォーマットが異なっているために使用できなくなっているということが、フォーマットユーティリティとデジカメの動作から判断できます。そこで、論理フォーマットごとバックアップすればよいということになります。

こうした機能は、一般的なソフトウェアでは、DriveImageなどが発売されているので、それらを利用するとよいでしょう。そうしてドライブのイメージとしてバックアップファイルを作成しておき、同容量のメモリを使い回すときには、いったんリカバリを行うことで対応するというわけです。

● プログラムで行うなら....

Windows2000/XPなどで、I/Oデバイスコントロールによる、論理フォーマットのジオメトリ取得と、論理フォーマットのカスタムフォーマットプログラム、さらにデバイスが追加されたときに自動でバックアップを行うプラグ&バックアップツールをVisual Studio.NETで自作している最中です。こちらは機会をみて発表できるでしょう。

バックアップさえしておけば、ノートPCのHDDを大容量CFカードにして、高速起動ノートPCのような改造や使い分けも安心して行えるでしょう。

ひろはた・ゆきお OpenLab.

シニアエンジニア の 技術草子

貳拾四之段

◆人間は考える葦である

旭 征佑

● 二宮金次郎

その石像は、小学校の校門を入ってすぐ左にあったので、学校に通うたびに毎日お目にかかっていた。母親から聞いた話だと、「貧しい中、忠義奉公しながらも、寸暇を惜しんで勉強した」お手本の存在だそう。石像は、重そうな薪を背負って働きながらも、しっかりと本を両手にもって勉強している姿をしている。占くなって苔が染みついている状況からも、母の話が真実味を帯びて聞こえた記憶がある。じつはこの石像には、筆者は特別な思い出がある。二宮金次郎を例に出し、毎日のように「勉強しなさい」と母親にさとされていたからだ。もちろん、今となっては、良い思い出でもある。

二宮金次郎の銅像や石像は、ほとんどすべての小学校にあったそう。しかし、今ではどこの小学校に行っても、ほとんど見かけることはない。文献も、探してみると意外と少ないことがわかった。しかしネットで検索すると、簡単に見つけることができる。それだけではない。「学校の怪談」にまで出てくることがわかって苦笑してしまった。そこでは、二宮金次郎が夜中に運動場や廊下を走っていたとか、翌日学校に来たら、石像が背負っている薪の本数が減っていたとか、そんな話らしい。わずかに石像が残っている小学校でも、得体の知れない像になり下がってしまっているのが、なんだか空しい。

ここで、二宮金次郎(二宮尊徳)を簡単に紹介しておこう。彼は、天明8年(1787年)、農家に生まれた。14歳で父を、16歳で母を亡くし、傾いた一家を支えて一所懸命に働きながら、独学で読み書き、算術を身につけた。そして荒れた田畑を開墾し、得たお金で失った田畑を買い戻した。25歳のとき小田原藩の家老服部家に取り立てられ、経済的に疲弊していた服部家をわずか1年で再建、その後依頼を受けて多くの藩の財政も再建する。のちに五条講という名の新しい資金調達のしくみを考案し、最終的に全国1,000箇所以上に広めた。これは現在の信用組合、農業協同組合へと発展していく。

● 怠け者を増やす先人の知恵？

考えてみれば、先人たちはいろいろな知恵やしくみを残してくれた。おかげで我々は、それらを利用して便利に生活できる。インターネットも同じかもしれない。すべて先人の知恵のデータベースやしくみがネット上に蓄積されているからだ。

本などで調べても、専門外のことはひどく時間がかかったり、不正確だったりする。たとえば、二宮金次郎を調べようと思ったら、以前なら親に聞いたかもしれないが、正確な知識が得られるかどうか怪しいところだ。家に戻って、埃まみれの百科事典でもひっくり返すかもしれないが、型どおりの説明しか載っておらず、自分の知りたいところはなかったりする。Webを使って調べると、二宮金次郎の経歴や、石像・銅像の建てられた経緯、さらには学校の怪談に登場することまで、いろいろな方面の情報が載っており、その総数は数千件にものぼる。

ほかに、いままで多くの先人が蓄えてきたしくみそのものも、改良されてネット上に再現されてきている。おかげでネット上で買い物もでき、買った物は宅配便で送られてくる。ネット銀行も登場し、政府のe-Japan構想により官公庁の手続きも自宅や会社に居ながらにしてできるようになってくる。顧客獲得のため、当然ながら、同様のしくみを民間の企業も作るだろう。

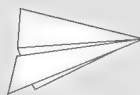
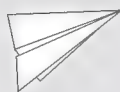
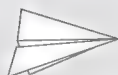
しかし、いかにも知識と経験をすべて吐き出してしまったようにも見える中年おじさんが、インターネットの情報を単純に引用しているだけの状況に遭遇したりすると、非常に空しい。いったい何をやっているんだ。人間は考える葦ではなかったのか。

● 年を取ってもボケない

ただでさえ、人間は歳をとるとボケるといわれる。たしかに、簡単な漢字を思い出せなくなって、書いている途中に筆が止まったり、ちょっとしたことが思い出せずに、「あの、あれ」などと連発したりするようになる。筆者も若い頃はそんな四十すぎのおじさんを、思いっきり馬鹿にしていたものだ。おじさんたちが笑ってごまかしていたのは、一種諦めの境地に達していたのだろう。

そのボケというのは、基本的に記憶力の減退からくるものらしい。しかし、記憶をつかさどる器官は歳をとってもまったく衰退しないことが、最近の研究の結果わかったようだ。それにもかかわらず、なぜ歳を取るとボケようになるのか？

歳を取ると、考えることや、記憶することをいつのまにか放棄していることに気がつく。このため、脳の機能が衰退していくのが現実のところだという。そういえば、80歳になっても90歳になっても、若い人に負けないくらい頭の切れる人はいる。つまり、年を取ったらボケるとするのは誤りで、頭を使わなくな



ったからボケるといのが正しいのだ。

読者の方も振り返って考えてみるといい。最近、試験勉強や、何かを必死に暗記したことはあるだろうか。記憶をするというのは、脳のもっとも重要な作業だ。あらゆる面で、これを怠ってはいないか。

● 洗練された頭脳と強靱な足腰

しかし、心配は不要かもしれない。

最近、大量のWebページを見るようになった。そして素早く要点を見つけ出し、整理するようになった。以前にくらべ、その情報量や処理量は圧倒的に増えている。もしかしたら、情報過多の時代、大量の情報の中から自分の求める情報を探し、素早く整理・分類し、処理してしまうために、脳はフル回転しているのではないだろうか。これは、情報が少なかった時代には不要だった、まったく新しい能力だ。短期間に大量の情報を記憶して、整理しなければならないのだから、人間は記憶力をフルに活用する。

こう考えると、インターネットの登場はボケを生むどころか、以前にもまして高度な頭脳を生み出してきているのではないかという考え方もできる。

たとえば、昼食を食べるときのことを考えよう。太古の時代、人間には、生きていくために、近くの獲物のありかを手当たりしだいにみつける動物的な勘があったはずだ。しかし現在、人間にはその能力はほとんどない。だが、近くのどんな店がランチをやっているか、どの店が何曜日に休みか、どの店がおいしいか、そんな多くの情報をもって、自分にあった店を即時に選択し、その店に向かうのが普通だ。おかげで、たった1時間の昼休みに外にでかけるだけで、昼食にありつくことができる。そして、栄養状態は昔よりすこぶる良好だ。つまるところ、人間はより多くの情報を得て整理することで、ますます進化してきたのである。

とはいえ、気になることが一つある。インターネットで物事が足りる分、歩き回る量が大幅に減っていないだろうかという点だ。以前、子供の玩具の万歩計を借りて、1日どのくらい歩いているか計ったことがある。以前は数千歩から1万歩以上も歩いていたこともあった。意外な多さに驚いたものだ。しかし、最近多くて数千歩、ひどいと2千歩を切っている。歳のせいもある



るだろうと思うが、歩き回る必要性が減ったことも大きく影響しているのではないかと思う。

椅子に座る時間が長くなると、どうも足腰を鍛えなくてはいけなくなるらしい。こればかりは、どうしようもない。ほんのわずかなことだが、わざわざ机まで行ってちょっと打ち合わせするといったことまで、メールで済ましてしまうという事実もある。

パスカルが言った「人間は一本の葦にすぎない。自然の中でもっとも弱いものである。だが、それは考える葦である」。人間は考える葦かもしれないが、もう一つ、葦は立っている必要があることを忘れてはならない。足腰が弱り、折れてしまったら元も子もないのだ。

そういえば二宮金次郎も、多くの薪を背負い、山道を歩きながら本を読んでいたもので、りっぱな足腰をもっていたことだろう。晩年になって、幕府の御普請役となった彼は、70歳で没するまで、次々と新しい施策を打ち出し、全国を歩いて農地開拓、経済改革を実現していくことができたのだ。

あさひ・しょうすけ テクニカルライター
イラスト：森 祐子

Engineering Life in Silicon Valley

起業・独立のステップ

H. Tony Chin

筆者のまわりにはさまざまな形で仕事をしている人が多い。フリーでエンジニアリングやその他のコンサルティングをしている人、会社を経営している人、そして大小さまざまな規模の企業に勤めている人達だ。今は会社に勤めていても、いずれは独立したいとか、起業してみたいという気持ちがある人達がいる。

日米に関わらず、企業にまだサラリーマンとして勤めている人達からよく聞く質問が、「どうやったらうまく独立・起業できるか?」である。勤めている会社を急に辞めてスタートアップを作ったり、独立するケースはまれだと思う。シリコンバレーでの起業のケースを見ても、余裕を見た準備期間をもって計画的に進めていることが多い。

☆ 何でもうけるか?

起業するなり独立するなりで、いちばん始めに皆が直面するのが「何をやってお金もうけをするか?」というポイントではないだろうか。さまざまな考え方があるが、やはり自分の今やっている仕事の延長線や現在の仕事に近いこと、またはその応用が現実的だろう。

たとえば筆者の知り合いで、その昔は RTOS の会社に勤めていたエンジニアがいる。8 年ほど前に独立して、フリーでプログラミングの仕事をしていた。きっかけはサポートをしている客先が忙しいときに、プログラミングを手伝ってほしいというバイトの話があったという。サポートの領域をはるかに超えている内容だし、勤めている会社では副業を禁じられているので、当初は断ったそうだ。もっとも彼は RTOS の会社に勤めているからこそ自分の価値があると思っていて、会社を離れて一人で仕事をするあまりメリットがないのではないかと自分を相当疑ったようだ。

しかし、同じような話がほかの企業からもあり、仲の良い顧客と話をすることで、自分のスキルは独立してもかなり使えるという感触を得たようだ。実際、独立してからは、前から付き合いのあった顧客から仕事を貰っている。顧客側も安心して仕事を出せる先があるし、彼としても安定して仕事が来るという構図になっている。

自分が普通にやっている仕事が、外から見ると意外に大事で価値があるというケースだ。また、辞めた会社からも仕事を紹介されるケースもあったそうだ。彼の場合は、謙虚なタイプだったので必要以上に自分を過小評価していたようだ。はじめの 1 年目は顧客からお金を取るところでだいぶ苦労したと言っていた。

さらにもう 1 人の知り合いは、プログラミングが 3 度の飯よりも好きで、いつも自宅に最新の開発環境をもっていたり、新しい

プラットフォームでのプログラミングに興味をもっている人だ。彼の場合は自分の立ち上げた会社の仕事以外に常に 4~5 個ネタを練っていて、暇さえあれば自分のアイデアを試すためのプロトタイプを作ったりしている。ジャンルはさまざまで、シミュレータから Java で書いた Web 上アプリケーションまでである。

彼は機会さえあれば、その道に詳しい人に自分のプロトタイプを見てもらったりして、ビジネスにするチャンスをうかがっている。実際にビジネスとしていくつか立ち上げているが、彼はネタ作りが好きなようで、製品化には向いていないと自分でも言っている。パートナーを数名集めては立ち上げて、軌道に乗るとまた次のネタ作りをするようだ。ネタの中には、話にならないようなものもたくさんあるが、彼の場合は「数撃てば当たる」鉄砲的な考え方なのだろうか? 上場するような大きな会社にはまだ化けていないが、地道に製品を作っているともいえるし、自分の好きなことなので長続きしているのだと思う。

これらの二つの例でいえるのが「エンジニアはエンジニアらしい仕事で勝負」というところではないだろうか? 逆に新しいビジネスモデルや複雑なライセンス形態で起業をして、勝負に出た人がある。かなり派手に投資家も集めた。しかし、お金のやり取りや、何をビジネスのネタにしているかが非常に理解しにくい会社であった。今から振り返ると、彼が起業したときはインターネットバブルのときなので、ある種の流行だったのかもしれない。今でも会社は続いているが、複雑なビジネスモデルのため苦戦しているのはたしかだ。

☆ 自分に関する棚おろし……正直に自分を評価してみる

前述の「何でもうけるか?」に関連して、自分に何ができるのかをはっきりと把握する必要がある。自分のもっている能力・スキルや得意分野、不得意分野などを、よく、正直に、的確に理解しておく必要があると思う。これによってビジネスの方向性を見つけれたりすることができる。たとえば、エンジニアリング以外に自分は文章を書くのが得意だとか、説明をするのがうまいと社内ですごく評価されている人は、ビジネスが軌道に乗るまで何らかの講師をするといった方法でマーケティング活動ができる。また、起業するなり独立するなり、社外の顧客や協力企業に説明をしたり、営業を行ったりしなければならぬケースが出てくる。それまでにあまり社外に出る機会がなかったとか、知らない人と話をしたり説明するのが苦手な人もいると思う。不得意である分野は、これから起業・独立するまでに自分で身につけるなり、それを補ってくれるパートナーを探すなどの準備が必要となる。会社に勤めて

エンジニアをしていると、どうしてもビジネス的なスキルに接する機会がないので不得意分野に入ってしまうのではないだろうか？ 先ほどの例の営業や、一般的な経営のスキル、財務・経理のスキル、それから契約を取りまとめたりするスキルなどだ。一部は外部の専門家に頼めるものもあるが、できるだけ自分で理解を深めたりするのが大事なほうというまでもないと思う。

経理、財務、営業や法律などの専門分野は、自分のやる気しだいで学んだり身につけたりすることが可能であると誰もがいう。そして、その姿勢で知識をつけていくのがシリコンバレーのエンジニア達の姿だ。しかし個人のネットワーク……ようするにコネは一夜で築き上げることはできないので、これだけは時間をかけるしかない。シリコンバレーでは、比較的横のつながりが多いため、社外のエンジニアや技術職でない人達と交流したり知り合いになれる機会がある。学会、展示会、会合など外に出る機会も多くの人と会い、交流を続けることでしか、ネットワークはできない。純粋にエンジニアリングの能力が評価されて会社がスタートするというケースはほとんどない。エンジニアリングができる人、ビジネス的なセンスのある人、そして投資をする人が引き合わされて話が進んでいくことがほとんどだ。やはり人間同士のやり取りであるから、顔つなぎができていて、お互いに信頼関係がすでに構築されているケースのほうが話が進みやすい。これには日米の差はあまりないと思う。どこの国でもやはり「良い出会い」はたいせつだ。

☆ 助走をつける……もっとも大事な準備段階

シリコンバレーのエンジニア達が起業・独立する場合、意外と知られていないのは、準備段階を万全にするということだ。急に会社を辞めて、次の日からスタートアップ企業を設立した……という例はまずない。会社に勤めながら暇さえあればプロトタイプを作ってみたり、それを評価してくれる人を探すなど、期間を十分に取っている。多くの会社は副業をしたりすると問題になるので、だいたい気をつかってこの期間を過ごすことになる。また、起業・独立に必要なスキルやコネ作りも十分に時間を取る。

筆者の知っている人達で起業・独立した人達は、「会社勤めを辞めて自分で何かしよう」といいはじめてから、準備期間を少なくとも1年～2年ほどもつ。プロトタイプの実験や勉強、情報収集ももちろんだが、スキル不足を克服するための自分の修行や、コネ作りにも十分に時間を費やす。また、個人的にも多くを犠牲にすることが多いスタートアップでは、家族の理解やその準備もたいせつだ。給料が急激に減るのは当たり前だし、貯金を起業のブートストラップに使うケースが多い。起業・独立でうまくいっている人達は、個人的に貯金をかなりもっていたり資産がある人が多い。個人的な財務管理が会社経営にも反映しているのだろう。また、違うスタートアップで一財産築いてから自分の会社を立ち上げる人も多い。いずれにせよ十分に時間と余裕を見ながら、自分の作りたい会社や製品を考えながら着々と準備をしていく。

シリコンバレーの場合だと、転職や社内異動でさまざまな経験を積むことが可能だ。プログラミングや開発のみをやっている

たエンジニアが夜間でMBAを取り、あるときからマーケティングに配属されていたというケースもある。周囲もはじめは気付かないのだが、いままですごして通っていたエンジニアが、ある日突然スーツで会社に来てびっくりされたという話もある。

もっとも起業のスキルを手っ取り早く身につけられるのは、スタートアップの社員として仕事をするところだろう。小さい会社だと、自然と役割の幅が広いうえにチャレンジをさせてくれる機会が多い。従業員が少ないが、やらなければならないことは山ほどあるからだ。だんだんとスキルアップをするごとにスタートアップのスケールを小さくしたり、設立年数が少ない会社を選んできると、気がついたら設立のメンバーの一人であったというケースもある。とにかく、まわりにさまざまなサイズのスタートアップ企業があるのでお手本には最適だ。

☆ お手本が多いメリット……ノウハウが集中している

スタートアップに必要なお手本となる人や会社が多いし、長年のテクノロジベンチャーを築き上げたノウハウや経験を積んだ人達が集中しているという意味では、シリコンバレーが有利なのはたしかだ。常に自分のキャリアを自分で管理する環境にあるシリコンバレーのエンジニアは、スタートアップの夢をもっている人なら少しずつでもそれに近づくための工夫があるようだ。自分の力や能力を的確に評価して足りない部分を補っていくプロセスを繰り返し、機会を見て、一度は自分の思ったとおりにやってみる人が多い。

トニー・チン htchin@attglobal.net WinHawk Consulting

Column

次の牽引役は？

シリコンバレーはインターネットバブル崩壊後の後遺症をまだ背負っている。貸しビルの空きがどんどん増えているし、一時期は困っていた日中の高速の渋滞もかなり緩和された気がする。全米の失業率が5.7%近くで、シリコンバレーでは7%近くまで上昇している。そして、まだレイオフのニュースは続いている。

一般的にアメリカ人は引越すことにあまり抵抗はないので、職や良い住処を求めて積極的に移動することが多い。だから、ダウンサイクルに入ってレイオフが当たり前になり始めると、かなりのペースでどんどん人口が移動していく。80年代、90年代にもダウンサイクルはあったが、その当時は、パソコンが駄目なら通信ネットワーク関係とか、モバイル系のハードが多く出荷されていたため、ある種の牽引役となったそう。今回のダウンサイクルでは、確実な牽引役がないところが問題のようだ。Y2KでパソコンやIT関係のハード・ソフトの投資は十分にあるし、通信ネットワークのインフラも十分にあるからだ。軍事や政府関係のハードは、相当大きな戦争(朝鮮戦争やベトナム戦争ぐらい)にならないと牽引役にならないという話だ。やはり目玉となるハードがあり、それにさまざまな他の分野のテクノロジーが利用されるわけだ。

HARD WARE

● 32ビットマイコン

MB91F233
MB91232L

- ・低消費電力化を目的として開発された FR 60Lite シリーズ 32 ビット RISC マイコン。
- ・CMOS0.35 μ m プロセスを採用。
- ・動作周波数は、2.1MHz ~ 33.6MHz。
- ・最大消費電流は、80mA (MB91F233) および 50mA (MB91232L)。
- ・電源電圧は、内部 (2.4 ~ 3.6V) および I/O (3.0 ~ 5.5V) の 2 電源を装備。
- ・搭載メモリは、256K バイトフラッシュメモリ/16K バイト RAM (MB91F233) および 192K バイトフラッシュメモリ/16K バイト RAM (MB91232L)。
- ・A-D コンバータは、4 チャンネル \times 2 ユニットの 10 ビット。
- ・D-A コンバータは、2 チャンネルで 8 ビット。
- ・クロック出力機能、リアルタイムクロック機能、UART 通信機能、各種タイマ機能を搭載。
- ・スリープ、ストップ、時計モードの各低消費電力モードを搭載。

■ 富士通 (株)

サンプル価格: ¥2,500 (MB91F233/MB91232L)
TEL : 042-532-1397
E-mail : edevice@fujitsu.com

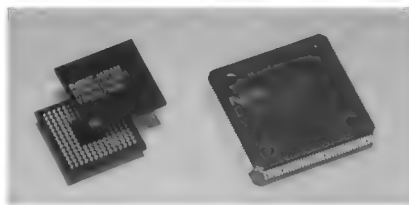
● 汎用 1 チップマイコン

V850E/MA3

- ・80MHz 動作時に 106MIPS の高速処理を実現する「V850E1」CPU コアを搭載しており、高性能なリアルタイム制御を必要とするアプリケーションに適する。
- ・処理性能あたりの消費電力として、4.7mW /MIPS (Typ.) を実現。
- ・1 クロックで読み出し実行可能な ROM を 512K バイト内蔵することで、高速なリアルタイム処理を実行可能。
- ・1 クロックアクセス可能な RAM を 32K バイト内蔵しており、スタック、ワーク用メモリ操作の高速化を実現。
- ・フラッシュメモリ内蔵製品では、ボードへ実装したままでプログラムを書き換えられる。

■ NEC エレクトロニクス (株)

サンプル価格: ¥900 ~ ¥3,600
TEL : 044-435-9494 FAX : 044-435-9608
E-mail : info@lsi.nec.co.jp



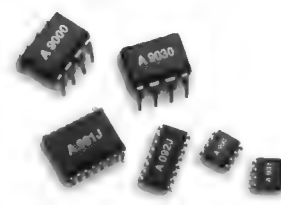
● アイスレータ

HCPL-9000/0900 シリーズ
デジタルアイソレータ

- ・100MBd (Mbaud data) という伝送速度を、代表値で 2ns のパルス幅歪み、および 10ns の伝達遅延時間で実現。
- ・2 チャンネル品で単一方向、双方向、4 チャンネル品で単一方向、2/2 双方向、1/3 双方向と多様な内部コンフィグレーションを用意。
- ・製品パッケージは、8 ピン DIP から 8 ピンおよび 16 ピンのスモールアウトラインパッケージまで用意。
- ・3.3V 供給電圧時の入力電流は 1 チャンネルあたり 10 μ A、供給電流は 1 出力チャンネルあたり 2mA の低消費電流を実現。
- ・動作電圧は 3.3V と 5.0V。
- ・瞬時同相雑音除去電圧は、 $V_{cm}=1000V$ 時に最小値 15kV/ μ s。

■ アジレント・テクノロジー (株)

サンプル価格: ¥500 ~
TEL : 0120-61-1280



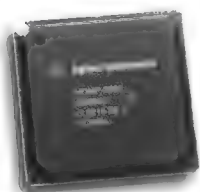
● シリアルライザ/デシリアルライザ

HDMP-2689
ファイバ・チャンネル SerDes IC

- ・19 \times 19mm の 289 ピン PBGA のパッケージで供給される 2Gp/s ファイバチャンネルの 4 チャンネル SerDes。
- ・2.125Gp/s と 1.0625Gp/s の二つのシリアルデータ速度を 4 チャンネル独立に設定することが可能。
- ・10 ビットのパラレルインターフェースに加え、8B/10B エンコード/デコード機能を搭載。
- ・0.18 μ m の CMOS プロセス技術の採用により、1.7W の低消費電力を実現。
- ・IEEE802.3 で規定されている MII から SerDes のコントロールとステータス確認が行えるため、システムのダウンタイムを削減することが可能。

■ アジレント・テクノロジー (株)

サンプル価格: ¥9,860
TEL : 0120-61-1280



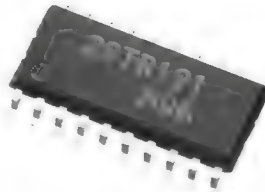
● モータ駆動用 IC

形 2STB121PM

- ・疑似正弦波ソフトスイッチング方式を用いて、静音化を実現。
- ・従来はファンモータで使用する、3 相ブラシレスモータ駆動に必要なホールセンサをなくすことで、モジュールの小型化、薄型化を実現。
- ・正転、逆転切り替えの設定が可能。
- ・サーマルシャットダウン機能を装備。
- ・1W クラスのモータに対してセンサレス駆動を実現。
- ・最大出力電流は 12mA。

■ オムロン (株)

価格: オープン価格
TEL : 075-344-7074



● 液晶ディスプレイモジュール

NL6448BC33-53

- ・広視野角、高輝度、高温度範囲をもつ、対角 26cm (10.4 型) アモルファスシリコン TFT カラー液晶ディスプレイモジュール。
- ・見る角度によるコントラストや色味の変化を抑え、上下/左右、各 170° の広視野角 (コントラスト比 10:1 以上の範囲) を実現。
- ・パネル透過率を 1.5 倍に向上し、高輝度 350cd/m²、高コントラスト比 300:1 を実現。
- ・動作温度範囲 -10 ~ +70°C、保存温度範囲 -20 ~ 80°C と広範囲な温度で使用可能。
- ・表示色は 262,144 色で、画素数は 640 \times 480 (307,200 画素) を実現。
- ・インターフェースは、6 ビットデジタル RGB 輝度信号。

■ 日本電気 (株)

サンプル価格: ¥60,000
TEL : 044-435-1851



HARD WARE

●カラー液晶

D-TFD 半透過型
カラー LCD モジュール

- ・デジタルスチルカメラ向けクリスタルファインカラー液晶。
- ・透過型液晶技術の採用により、外光環境に左右されず、表示の視認性が向上。
- ・液晶の透過率を7%から10%に改善することにより、液晶表面輝度を180カンデラ/cm²から250カンデラ/cm²に向上。
- ・透過率の向上により、小型モジュールの薄型バックライトの採用が可能となり、カメラの厚みをスリムにすることができる。
- ・電池寿命を長くするために、バックライト消費電力を200mWから150mWに低減。
- ・対角寸法は3.9cmで、表示ドット数は460×240ドット。
- ・表示色は262,144色。

■ セイコーエプソン (株)

価格：下記へ問い合わせ

TEL：042-587-5816

URL：

http://www.epsondevice.com/



●デュアル MOSFET

IRF7335D1

- ・nチャネル型MOSFETを2個とショットキダイオード1個を、14ピンSOICの1パッケージに収めたデュアルMOSFETであるFETKYデバイス。
- ・二つのMOSFETは、それぞれ制御用と同期整流用に最適化され、同期整流用MOSFETと並列に内蔵したショットキダイオードは、順方向電圧が小さいため高速なスイッチングが可能。
- ・同期整流用MOSFETとショットキダイオードとを接続する配線の浮遊インダクタンス、およびデバイスとプリント基板との接続の浮遊インダクタンスが最小限になるように設計されている。
- ・耐圧はいずれも最大30V、ドレイン電流は最大10A。
- ・制御用MOSFETのオン抵抗は13.4mΩ、ゲート電荷は13nC、同期整流用MOSFETのオン抵抗は9.6mΩ、ゲート電荷は18nC。

■ インターナショナル レクティファイアー
ジャパン (株)

サンプル価格：¥250

TEL：03-3983-0875 FAX：03-3983-0642

●16ビットマイコン

AE45C M/Chip 対応品
AE43C M/Chip 対応品

- ・ICカード用アプリケーションである「Master Card M/Chip Select」を既存のICカード用16ビットマイコンのマスクROMに搭載。
- ・EEPROM領域の確保と迅速なICカードの製作、発行を実現。
- ・16ビットマイコンのCPUコア「AE-4」を搭載し、EEPROM容量は32Kバイト(AE45C)、8Kバイト(AE43C)を内蔵。
- ・暗号処理用のコプロセッサや電圧、周波数の異常検出器などの機能を備えているため、高セキュリティのICカードを実現。
- ・EEPROMの全容量をデータや他のアプリケーションプログラム用に使用することができるため、ICカードの機能を向上させるためのアプリケーションの追加などが可能。

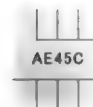
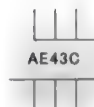
■ (株) 日立製作所

価格：¥620～¥720 (AE45C/10,000個)

¥500～¥600 (AE43C/10,000個)

TEL：03-5201-5169

URL：http://www.hitachisemiconductor.com/jp/



●マシビジョンカメラ

PC-640CL

- ・30/60フレーム/sのCMOSイメージャ(640×480)搭載のカメラ。
- ・最高1/10,000秒のフルフレームグローバルシャッターを搭載。
- ・外部コントロールによる非同期リセット機能。
- ・カメラリンク、8ビットデジタル出力。
- ・RS-232-Cによるカメラコントロール。
- ・アドレスシフトスキャンにより、任意にフレームサイズをWOI(Window of interest, 任意エリア抽出)操作で変更することが可能。
- ・44×44×36.8mmの小型設計。
- ・フル動作での必要電力は、12Vで100mA。
- ・900nmの波長域で50%の量子効率(入射光子あたりの出力電子数)は、近赤外感度にも優れる。

■ バルニックスアメリカ 日本支社

価格：下記へ問い合わせ

TEL：03-5805-2455 FAX：03-5805-8082

●パワーエレクトロニクス用デジタル制御システム

特殊三相PWM出力ボード

- ・同社のパワーエレクトロニクス用デジタル制御システムPE-Expert IIの拡張ボードとして動作するPWMパターン出力ボード。
- ・用途に合わせて各種三相PWM信号を生成可能。
- ・ゲート信号出力用光出力モジュールを搭載。
- ・同じキャリア信号を使用し、同期した2または4系統の三相PWM信号を出力。
- ・反転したキャリア信号を使用し、同期した2系統の三相PWM信号を出力。
- ・中性点クランプ型3レベルインバータ用の三相PWM信号を出力。
- ・PWM出力中にキャリア周波数を連続的に変更することが可能。
- ・外部信号に同期した三相PWM信号を出力。

■ マイウェイ技研 (株)

価格：¥350,000～¥450,000

TEL：045-476-3722 FAX：045-476-3723

URL：http://www.myway-labs.co.jp/

●シミュレーション用ボードシステム

NPC-BCS シリーズ

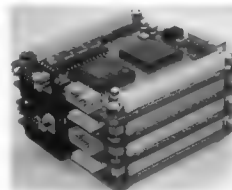
- ・マルチCPUシステムの開発環境を提供するボードシステム。
- ・積み木状組み立て基板でマルチCPUシステムを実現。
- ・二重化CPUシステム用のコンパクトな物理構造。
- ・全基板の論理回路にはPLDを採用。
- ・VMEバスの基本機能を拡張した共通バスの採用。
- ・共通バスは物理的、電気的な変更、データアドレス幅の拡大で高機能仕様を実現。
- ・基板構造はマルチCPUシステムに必要な物理的ディジーチェーンを提供し、高速アービトレーション機能を実現。

■ (株) ナパック

価格：¥120,000

TEL：042-763-7737 FAX：042-763-7737

URL：http://members.jcom.home.ne.jp/napac/



HARD WARE

●画像処理装置

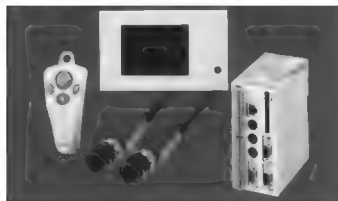
AX30 シリーズ

- ・外観形状認識を行うマイクロイメージチェッカのカラータイプ。
- ・設定、操作の流れを重視したメニュー構成。
- ・同社 A シリーズ共通のキーパッド。
- ・抽出したい色をポインタで選択するだけで、色抽出が可能。
- ・前面集中配線により、メンテナンス性を向上した。
- ・液晶モニタバックライト 50,000 時間保証。
- ・本体とモニタの着脱が可能。
- ・フルカラー液晶 VGA モニタ対応。
- ・プルダウンメニュー、メッセージエリアを設置。
- ・最大 512M バイトのコンパクトフラッシュに対応。

■ 松下電工 (株)

価格：オープン価格

TEL：06-6906-1850



●ダウンコンバーティングミキサ

LT5512

- ・パンプミキサに対する高直線性の代替デバイスで、変換利得が得られ、LO (Local Oscillator) ドライブレベルを大幅に引き下げることが可能。
- ・差動 LO パッファアンプとアクティブ二重平衡ミキサを内蔵。
- ・内蔵の RF パッファアンプによって LO-RF 絶縁が改善されており、高精度の外付けバイアス抵抗が不要。
- ・温度が補償されたバイアス回路とパワーダウナーブル/ディセーブル回路を内蔵。
- ・950MHz で +20dBm, 1900MHz で +17dBm の高入力 IP3 (3 次ひずみ) を実現。
- ・1900MHz で 14dB の SSB ノイズフィギュア。
- ・4 × 4mm QFN パッケージに収容され、4.5V ~ 5.25V の電源電圧範囲で動作。

■ リニアテクノロジー (株)

サンプル価格：¥445

TEL：03-5226-7291

FAX：03-5226-0268



●iSCSI 準拠 PCI アダプタボード

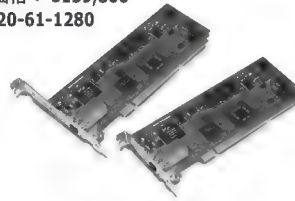
ANIC-2101A/2103A

- ・IETF の iSCSI 規格に準拠しているため、ストレージ装置の安定性や相互接続性を高めることが可能。
- ・TCP/IP の処理をハードウェア的に行うことで、CPU や OS 側の負荷を軽減できる TOE (TCP/IP offload Engine) 技術を組み込んでいる。
- ・アダプタボードのデータ処理能力を高めながら、システム全体の負荷やネットワークのレイテンシを削減することが可能。
- ・iSCSI レベルおよび TCP/IP レベルでアダプタボードにアクセスできるため、ブロック転送およびファイル転送の双方に対応可能。
- ・サーバに対してはターゲットとして、バックアップ機器に対してはイニシエータとして、処理を同時に行うことが可能。

■ アジレント・テクノロジー (株)

サンプル価格：¥139,800

TEL：0120-61-1280



●マルチメディアカード

HB28H016RM2/
HB28D032RM2/
HB28B064RM2

- ・マルチメディアカードの約半分のサイズのリデューストサイズマルチメディアカード (RS-MMC)。
- ・サイズ 18 × 24 × 1.4mm, 重さ 0.8g の小型、軽量化を実現。
- ・機能、ピン数、薄さは標準サイズのマルチメディアカードと同じで、マルチメディアカードとの互換性を維持している。
- ・書き込み速度は 1.0M バイト/s を実現。
- ・読み出し時電流 28mA (Typ.), 書き込み時電流 33mA (Typ.) の低消費電力を実現しており、モバイル機器のバッテリー長時間駆動に適する。
- ・HB28H016RM2 は 16M バイト, HB28D032RM2 は 32M バイト, HB28B064RM2 は 64M バイトの記憶容量をもつ。

■ (株) 日立製作所

価格：オープン価格

TEL：03-5201-5021



●CPU 評価ボード

[ju:] シリーズ
PXA250 EVA BOARD

- ・インテル製 PXA250 アプリケーションプロセッサの機能および性能評価、ハードウェアのリファレンスボードとして利用可能なシステム。
- ・G4250EB-X001 (標準モデル), G4250EB-X002-S (20 キー搭載モデル), G4250EB-X002-L (20 キー, カラー LCD 搭載モデル) の 3 タイプを用意。
- ・CPU の信号線を接続したコネクタを実装し、外部に拡張したオリジナル基板の作成が可能。
- ・バスクロック 100MHz。
- ・SDRAM 64M バイト, フラッシュメモリ 32M バイト, RS-232-C × 1 ポート, Ethernet × 1 ポート, 7 セグメント LED × 8 を搭載している。

■ (株) ゼネテック

価格：¥148,000 ~ ¥228,000

TEL：03-3357-3044 FAX：03-3354-6144

URL：http://www.genetec.co.jp/

●無線 LAN システム

UNI-LINK2410

- ・2.4GHz 帯の電波を利用した、無線間データ伝送速度 100Mbps をもつ高速無線 LAN システム。
- ・1 台の親機で最大 127 台の子機の管理が可能。
- ・電波妨害による通信不能の発生を避けるために、データ変調方式として使用周波数帯域がランダムに変化する、OFDM-PH 複合方式を採用。
- ・OFDM 変調方式におけるサブキャリアの数を増やすことによって、無線間データ伝送速度 100Mbps を取得。
- ・無線間データ伝送において、デジタル多重無線データ伝送方式の実現が可能。
- ・無線の傍受によるデータの漏洩を防ぐため、システム間セキュリティのほか、リアルタイムにおける DES-3 暗号処理方式を上回る機能をもつ、独自方式による動的暗号処理を実装。
- ・ネットワークに対してブリッジ機能をもつ子機と、ルータ機能をもつ親機を用意。

■ ユニパルス (株)

価格：下記へ問い合わせ

TEL：03-5148-3866 FAX：03-5148-3001

URL：http://www.unipulse.com/jp/

HARD WARE

●アナログストレージオシロスコープ

TS-80600

- ・高輝度、可変残光機能付き、最高目視ライティングスピード 10div/ns を実現。
- ・ストレージ機能により、高速単発現象をストレージ可能。
- ・DC～600MHz (50Ω) の高帯域で、4チャネルを搭載。
- ・800×480ドットの高精細カラーディスプレイを搭載。
- ・波形の重ね書きができる、パースিসタン機能を搭載。
- ・プリンタ内蔵、LAN インターフェース搭載、PCMCIA メモリカードの利用が可能。
- ・NTSC/RGB 映像出力端子を標準で装備。

■ 岩通計測 (株)

価格: ¥1,480,000

TEL: 03-5370-5474 FAX: 03-5370-5492

E-mail: info-tme@iwatsu.co.jp



●マイナスイオン測定器

COM-3100

- ・マイナスイオン環境の測定、記録、データ化が可能な、鉱石用マイナスイオン測定器。
- ・イオン測定、連続イオン測定、ガイガーカウンタ積算の3種類の測定方式を用意。
- ・最大測定値を 999,999 カウントまでサポートし、16桁2行のSTN液晶表示器を採用。
- ・リアルタイムデータ、メモリデータのプリント出力が可能。
- ・データをリアルタイムでRS-232-Cに出力でき、メモリデータをExcelフォーマットでパソコンに出力可能。
- ・AC100Vと内蔵電源の2電源方式で、1回の充電で約10時間使用可能。

■ コムシステム (株)

価格: ¥398,000

TEL: 042-543-9062 FAX: 042-543-9570

E-mail: com@com-system.co.jp



●ラムダロッカー

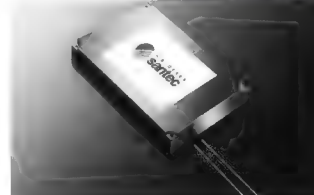
LBM-8

- ・ROADM (波長選択可能な光アドドロップ装置) で用いるモジュール。
- ・最新の光 MEMS (Micro Electro Mechanical Systems) 技術を利用した光可変減衰器を採用し、コンパクトな外形が実現され高密度実装が可能。
- ・4チャネル単位の増設が可能であるため、初期投資の軽減を実現。
- ・通過波長に同社の高性能干渉膜フィルタ技術を利用した、4スキップ0タイプの100GHz間隔WDMフィルタを搭載することも可能で、低損失なROADMの構築が可能。
- ・温度特性に優れた多層膜干渉フィルタを使用しており、温度制御が不要。
- ・10μW/チャネル以下の低消費電力を実現。

■ サンテック (株)

価格: ¥400,000

TEL: 0568-79-3536 FAX: 0568-79-1718



●プログラマブルコントローラ

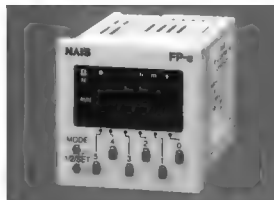
FP-e

- ・盤面取り付け可能なプログラマブルコントローラで、サイズは48×48×77.5mm、PLC機能を内蔵。
- ・操作盤に付いていたタイマやカウンタが不要になるため、操作盤の小型化、制御盤の省スペース化や制御盤レスも可能。
- ・3色、2段5桁表示で、簡易アルファベットや数値を表示できるため、簡単なメッセージやタイマカウンタなどの設定値、経過値の表示が可能。
- ・操作スイッチで表示している設定値の変更が可能。また、入力スイッチとして使用できる。

■ 松下電工 (株)

価格: ¥29,800

TEL: 06-6908-1131



●開発支援ソリューション

MJX330 for ARM

- ・PCカードTYPE II型のJTAGエミュレータ。
- ・ノートパソコンのカードスロットに挿入してターゲットにケーブルを接続するだけで、デバッグ環境の構築が可能。
- ・ターゲットシステム上のJTAGコネクタに接続するだけで、透過性に優れた安定したデバッグを実現。
- ・ARMコアに含まれる組み込みICE-RT機能をフルに活用することで、命令実行ブレーク、アクセスブレークなどのフルICEに匹敵するデバッグ機能をサポート。
- ・標準添付のアセンブラレベルデバッグ MJXDWBWに加え、グリーンヒルズ社製Multiにより、高級言語デバッグ環境を構築することが可能。
- ・オンチップデバッグ機能を利用し、プロセッサを実装した状態で安定したデバッグが行える。

■ (株) ライトウェル

価格: 下記へ問い合わせ

TEL: 03-3392-3331 FAX: 03-3393-3878

E-mail: ZAXSales@lightwell.co.jp

●DSP向けスタータキット

TMS320C5510 DSK

- ・200MHzで最大400MIPSの処理性能をもつ「TMS320C55x」を搭載した開発ボード、エミュレータ、コネクタ、統合開発環境「Code Composer Studio」、パワーマネジメント機能で構成。
- ・統合開発環境「Code Composer Studio」内に、ソフトウェアベースのパワーアナライザとパワースケーリングライブラリを内蔵。
- ・パワーアナライザの使用により、コアレベルまたはシステムレベルの消費電力を視覚的に測定、分析し、消費電力の配分の正確な測定が可能。
- ・パワースケーリングライブラリは、ランタイムにおけるCPU周波数とコア電圧を計測し、周波数と電圧の最適な組み合わせを実現。
- ・パワースケーリングライブラリとともに、独立したコンフィグレーションライブラリを供給。これによりパワースケーリングライブラリをカスタムハードウェアやコンフィグレーションライブラリのソースファイルに移行することが可能となる。

■ 日本テキサス・インスツルメンツ (株)

価格: ¥49,800

FAX: 0120-81-0036

URL: <http://www.tij.co.jp/pic/>

SOFTWARE

●統合プラットフォーム

Unify NXJ

- ・J2EE アプリケーションのライフサイクルを自動化、合理化する統合化されたアプリケーション環境を提供。
- ・RAD ツールで統合されたコンポーネントフレームワークにより約70%の作業を自動化。
- ・イベントドリブンのアプリケーションモデルに基づいており、アプリケーションの各イベントセクションに対しコントロール、プロパティ、アクションなどの定義が可能。
- ・アプリケーションの挙動とビジネスルールをJ2EE BluePointと融合し、Javaの知識なしでコード生成、ビジネスルールの適用、異種データソースの統合が可能。

■ ユニファイジャパン (株)

価格: ¥600,000 (開発版) ¥960,000 (実行版)

TEL: 03-5614-5367 FAX: 03-5614-5368

E-mail: contact@unify-jp.com

URL: http://www.unify-jp.com/



●Java 開発ソリューション

JBuilder 8

- ・JDK1.3.1と比較して20~80%のパフォーマンス向上を実現したJDK1.4上で稼働させることで、開発パフォーマンスの大幅な向上を実現。
- ・Web アプリケーションの構築に対応する最新のオープンソースフレームワークApache Strutsをサポート。
- ・2Way ビジュアル EJB デザイナによる EJB 開発、複雑なエンティティ Bean のリレーションやデータマッピングの定義、XML 配布ディスクリプタのビジュアル定義など、EJB 1.1/2.0 準拠のアプリケーション構築を大幅に簡素化。
- ・SOAP, WSDL, UDDI, WSIL を含む最新の Web サービステクノロジーをサポート。
- ・プロジェクト内のソースコードは、UML モデル化して視覚的に把握でき、マウス操作によってダイアグラム間を移動することで、未知のコードの構造や関連、依存関係の把握が可能。

■ ボーランド (株)

価格: ¥48,000 (SE 版) ¥360,000 (Enterprise 版)
¥520,000 (Enterprise Performance Bundle 版)

TEL: 03-5350-9380 FAX: 03-5350-9369

URL: http://www.borland.co.jp/

●組み込み用評価キット

プロトタイプキット

- ・開発テーマごとに、組み込みソフトウェアの新技术の評価、実験、検証が可能。
- ・技術テーマごとに必要となる組み込み用ソフトウェア部品をあらかじめリアルタイム OS に移植し、コンパイラ、デバッグなど開発ツールへの対応を済ませ、CPU ボードと適当な I/O から構成されるハードウェアプラットフォーム上に構築。
- ・組み込み無線 LAN + IPv6、組み込み無線 LAN、ユビキタス Bluetooth-LAN、Bluetooth マルチシリアルポート、ユビキタス IrDA、ホームゲートウェイ、ユビキタス IP ネット、ネット&ファイル、組み込み Web サーバ、IPv6/IPSec、クイック LAN、インターネット端末、USB2.0、簡単 GUI、メモリスティック、SD/SDIO メモリ、フラッシュファイル、リアルタイム Linux、リアルタイム BSD、オープンソース μITRON、メモリ保護 ITRON、組み込み Linux の 22 種類のプロトタイプキットをリリース。

■ (株) エーアイコーポレーション

価格: 下記へ問い合わせ

TEL: 03-3493-7981 FAX: 03-3493-7993

E-mail: sales@aicp.co.jp

URL: http://www.aicp.co.jp/

●USB OTG プロトコルスタック

GR-USB/OTG

- ・USB 2.0 On-The-Go 仕様準拠のプロトコルスタック。
- ・USB 2.0 フル/ロースピードに対応。
- ・SRP、HNP をサポート。
- ・OTG 仕様の Descriptor, b_hnp_enable, a_hnp_support, a_alt_hnp_support をサポート。
- ・CPU に依存しない。
- ・μITRON をはじめとする各種リアルタイム OS に対応。
- ・主要 OTG コントローラに対応。
- ・プラグ&プレイのための API 関数を提供。
- ・バルク/コントロール/インタラプト/アイソクロナス転送をサポート。
- ・さまざまなクラスドライバを提供。

■ (株) グレープシステム

価格: 下記へ問い合わせ

TEL: 045-222-3761 FAX: 045-222-3759

●組み込みソフトウェア開発支援ツール

T-Navi

- ・組み込みの対象となるハードウェアのインターフェースをソフトウェアとして提供する、開発支援ツール。
- ・レジスタ Read/Write からの遅延時間設定による割り込み、および割り込み発生ボタンによる任意のタイミングでの割り込みの 2 種類を用意。
- ・デバイスが格納するレジスタ情報の定義、ソフトウェアのレジスタ Write 情報の表示など I/O レジスタのエミュレーションをサポート。
- ・レジスタ設定、割り込みデバッグ用データの保存やカーネル状態のトレースログの保存。
- ・タスク状態とシステムコール、レジスタ Read/Write、割り込みなどのタイムチャートの表示が可能。
- ・固有の μITRON 仕様と TOPPERS/JSP カーネルとの差異を補間するインターフェース機能をもつ。
- ・各半導体種別固有の拡張システムコールや構成情報の自動生成機能などを提供。

■ (株) 日立システムアンドサービス

価格: ¥360,000 (1 ライセンス)

~ ¥2,880,000 (20 ライセンス)

TEL: 052-263-3912 FAX: 052-263-1162

●FPGA 動作合成ツール

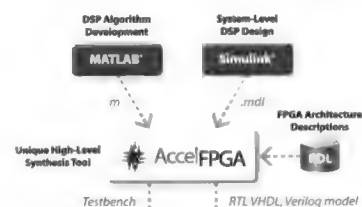
AccelFPGA

- ・米国 AccelChip 社が開発した、DSP 向けシステムレベル設計ツール「MATLAB」, 「Simulink」の出力ファイルから、FPGA 向けの HDL を動作合成するツール。
- ・生成された HDL コードは、各社の FPGA 用論理合成ツールへの入力が可能。
- ・ターゲットデバイス向けに最適な HDL を出力する「TARGET」、データパスレジスタ挿入のための「PIPELINE」、処理リソース並列化のための「UNROLL」などの最適化指示を用意。
- ・MATLAB モデルのコンパイル後に、スケジューリング、リソース使用、パイプラインなどのレポートを得ることが可能。

■ 丸文 (株)

価格: ¥6,000,000 ~

TEL: 03-3639-5301 FAX: 03-3639-2358



SOFTWARE

●多次元設計ツール

nVisage

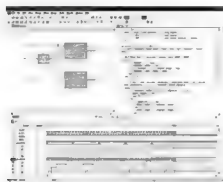
- PCB 設計および FPGA 設計のための階層的回路図入力可能な設計ツール。
- OrCAD の回路図、あるいはライブラリとの双方向の互換をもつ。
- ネストされたマルチチャネル回路図設計をサポート。
- 回路図と VHDL の混合設計。
- 複数の FPGA アーキテクチャに対応した VHDL ドリブン RTL 合成。
- SPICEf5/X-Spice 準拠のシミュレーションが回路図から起動可能。
- タイミングバックアノテーションをサポートする VHDL 合成。

■ アルティウムジャパン (株)

価格: ¥348,000

TEL: 03-5436-2501 FAX: 03-5436-2505

E-mail: info@altium.co.jp



●組み込み向け USB プロトコルスタック

AVE-USB

- セイコーエプソン製 OTG 対応 USB コントローラ S1R72005 に対応。
- USB OTG 対応により、パソコンを介さず機器同士の接続を実現。
- ダイナミックにホスト/ペリフェラルの切り替えが可能。
- 必要な機能のみを選択して搭載でき、メモリ量を削減可能。
- プラグ&プレイに対応。
- OTG 対応を意識して設計、開発。
- ANSI 仕様の C 言語で記述され、さまざまな CPU、OS に移植可能。
- 組み込み機器への最適化により、コンパクト化、高速化を実現。
- オブジェクト交換プロトコル OBEX をオプションで提供。

■ (株) ACCESS

価格: 下記へ問い合わせ

TEL: 03-5259-3685 FAX: 03-3233-0222

●アプリケーション移植ツール

Visual MainWin

- Windows アプリケーションを UNIX 環境に移植する開発ツール。
- Windows 用ソースコードを UNIX コンパイラにより再コンパイルし、ネイティブ UNIX アプリケーションを生成。
- インターネットインフラストラクチャ開発者やアプリケーション開発者が Windows 上でアプリケーションを開発し、それと同時に Windows 用と UNIX 用のモジュールの生成が可能。
- エミュレータとは異なり、開発から配布までをカバーするコンプリートクロスプラットフォームソリューション。

■ エクセルソフト (株)

価格: オープン価格

TEL: 03-5440-7875 FAX: 03-5440-7876

E-mail: xlsoftkk@xlsoft.com

URL: http://www.xlsoft.com/

●組み込み開発プラットフォーム

MontaVista Linux Professional Edition 3.0

- サポートするすべてのアーキテクチャに対し、あらかじめビルドしてあるバイナリおよび統合されたソースコードを提供。
- カーネルは Linux2.4.18 をベースとしており、開発環境は豊富なアプリケーションパッケージがサポートする GNU ツールの最新バージョン、GDB5.2 と GCC3.2 を採用。
- メモリマネジメントの強化、IPv6 のサポート、さらに幅広いアーキテクチャをサポートしたシステムおよびユーザーレベルのイベントトレーシング機能、ジャーナリングファイルシステム、XFS などが含まれる。
- 広範囲な組み込みプロセッサアーキテクチャ、CPU ボードおよびソフトウェアコンポーネントをサポートした包括的な組み込み開発パッケージ。
- 七つの主要な CPU アーキテクチャから 24 種類以上のプロセッサ、70 種類以上のボードをサポート。
- クロス開発機能に焦点を当てており、11 種類のホスト環境で開発ツールの使用が可能。

■ モンタビスタソフトウェアジャパン (株)

価格: 下記へ問い合わせ

TEL: 03-5469-8840

●消失データ復元ソフト

R-Studio データレスキュー
R-Studio データレスキュー Pro

- パソコンの消失したデータを復元できるソフトウェア。
- 操作画面はエクスプローラ形式で表示され、消失データファイルを一目で把握。
- 「ログウィンドウ」には操作の履歴が「メインパネル」にはドライブのパーティション/FAT などのデータが詳細に表示。
- 復元させたいファイルだけではなく、複雑に構成されたフォルダでも、ツリー構造を保ったまま復元することが可能。
- 復元したデータは、ホスト OS で認識されるすべてのディスクに保存可能。
- ハードディスクだけではなく、FD や MO、デジカメのメモリカードなど、ドライブとして認識される媒体であれば復元可能。
- 消去されて間もないデータを検索する「ファイルサーチ」機能を搭載。

■ (株) 住友金属システム
ソリューションズ

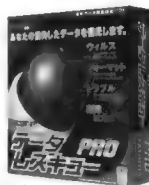
価格: ¥9,800

¥15,800 (Pro 版)

TEL: 03-5815-7258

E-mail: dr-info@smisol.co.jp

URL: http://www.smisoft.com/



●ソフトウェア開発向けツール

Tau Generation2

- リアルタイムシステム開発向けツール。
- UML2.0 に対応したビジュアル設計であるため、正確で詳細な設計が可能。
- システムアーキテクチャの仕様だけでなく、システムの動作もビジュアルに明記。
- UML2.0 で提案されている実行形式のモデルに対応し、自動コードの生成が可能。
- モデルのシミュレーションにより、すべての開発工程で進捗を検証でき、早期のエラー発見が可能。
- ツールに制限されることなく拡張でき、モデルシステムの大きさに依存しないスケラビリティを実現。

■ 日本テレロジック (株)

価格: 下記へ問い合わせ

TEL: 03-6402-1620 FAX: 03-6402-1621

E-mail: info@telelogic.co.jp

IPパケットの隙間から

物持ちが良い人々の話

祐安重夫

52

友人のS君からメールがきて、32Mバイト分のSIMMが必要だけれど、たしか壊れたDELLのマシンがあったのではないかといってきた。たしかにマシンはあるが、壊れてはいない。それどころか、まだ現役で生きている。

このマシンは初期型PentiumのWindows95システムで、現在でもVMware上のWindows98SEから、リモートCD-ROMのアクセスに使用している。VMwareからは直接、ホストであるLinuxマシンのCD-ROMはもちろんアクセスできるが、Linuxで使用することがけっこうあるので、常駐させておきたい辞書CD-ROMは、古いマシンのほうに入れたままになっている。

VMware上のWindows98SEには、仮想CD-ROMドライバもインストールしてあるのだが、ホストとなっているLinuxマシンのメモリが256Mバイトしかないため、VMware仮想マシンにはあまりメモリを割り当てられない。そのため、仮想CD-ROMドライバは使用するメモリがもったいないのと、10Mbpsで接続されたリモートCD-ROMでも、辞書程度なら十分なスピードがあるため、こちらを使用することが多い。また、古いマシンには、昔のバージョンのWebブラウザなどが入っているので、ユーザーサポートの際などに役にたつことがある。

S君は、それではということで、さらに古い44MHzの486マシンはどうかと言い出した。これは7年前に買ったもので、S君のところも同じマシンを入れ、彼の会社も筆者の会社もしばらくの間、それにBSD系のUNIXを入れてサーバとして使用していた。このマシンも、16MバイトのSIMMを使用していた。S君のところではだいぶ前にサーバをリプレースし、筆者のところでは数年前までこれをサーバとして使用していた。しかし、S君のところと違い、うちではサーバのリプレース後もバックアップ用としてそのまま稼働させ続け、現在でも現役である。最近ではCPU負荷が高くて長時間動作するプログラムを走らせたり、ちょっとした並列処理プログラムの実験に、未だ使用している。S君には「物持ちがいい」と言われてしまったが、今になってSIMMを探すS君のほうも、けっこう物持ちが良い。

実際のところ、WindowsはさておきUNIX系のOSの場合、GUIにGNOMEのような負荷の高いシステムを使用しないかぎり、X+fvwm2程度なら44MHzの486マシンでも、それほどストレスなく動作する。ましてXさえ使用しなければ(実際にはLinuxマシンからリモートでktermを立ち上げて使用しているが、もちろんローカルにXを立ち上げるより負荷は低い)、十分実用になる。その点では中古のマシンをたくさん買って、実験的にクラスタを構成する程度なら、かなり安価に実現できる。ただ問題は、場所をとるという点である。

ところで、知人から頼まれて中古のノートパソコンを探していた。なんでも冬は寒いから、こたつでパソコンを使用したいというのである。こたつでノートパソコンだと、結露が心配である。ずっと昔、北海道でこたつでApple IIを使用していたところ、結露で故障してしまったという話があった。まだアップルの日本法人がない頃で、アメリカの技術者にどうしても状況を理解してもらえなかったらしい。

それはさておき、インターネット通販のカatalogをチェックしていたら、RedHat Linux 6.2をインストール済みのノートが14,000円で売られている。ただし、NICがついていないので、LANに接続するわけにはいかない。PCカードのNICを接続すると、本体より高くなりそうなのが難点だが、この価格なら使い捨てで使用しても惜しくはない。ちなみにRedHat 7.2をインストールしたのも5万円近くであったが、これもNICなしである。こちらはちょっと、使い捨てには惜しい。

どちらにしても、場所を取らずにLinuxでクラスタを組むことは、そんなに高額な投資を必要とはしない。もっともクラスタの本来の目的が、信頼性の向上や負荷の分散であることを考えると、あくまでも実験レベルの話ではあるが、しかし、簡単に実験できる環境を自前で用意することができるというのは、いろいろな点で便利だろう。

物持ちが良いといえば、MS-DOS時代の16ビットのパソコンは、手元にあったものはほぼ全滅してしまっていたが、20年近く前のZ80のCP/Mマシンが、まだ現役で生き残っている。さすがにLANには接続できないが、RS-232-CでBSDサーバに接続されている。

BSDサーバには1ボードで8ポートあるRS-232-Cボードが入っており、この時代にモデムが2台、MIDI音源が3台つながつている。さらにLinuxマシンとも、LANとは別に1系統シリアルで接続されており、これはおもにBSDサーバに接続されたMIDI音源に、LinuxやVMware上のWindows98SEからシリアルMIDIで信号を送出して、BSDサーバ側でMIDI機器に中継するといった目的で使用している。

CP/MマシンもRS-232-Cポートに接続されているわけだが、まだ3ポートも余っている。もう何台かMIDI音源を接続しようかとも思ったが、最近の音源はUSBが主流である。RS-232-Cの使い道も減ってきた。実際にCP/Mマシンに関しては、ファイル転送、リモートログイン、リモート実行といった機能が使用できるようになっているが、これらのソフトウェアの一部は自作で、9年ほど前の本誌でそれについて書いたことがある。

すけやす・しげお インターメディア・アクセス

海外イベント

- 2003/1/4-8 **International Conference on VLSI Design**
Taj Palace, Nel Delhi, India
International Conference & Exhibition Services
<http://vlsi.ccr1.nj.nec.com/~chak/vlsi2003/index.html>
- 1/6-10 **Macworld Conference & Expo**
The Moscone Center, SA, USA
IDG
<http://www.macworldexpo.com/macworld2003/V33/index.cvn>
- 1/9-12 **2003 International CES**
Las Vegas Convention Center, NV, USA
Consumer Electronics Association
<http://www.cesweb.org/>
- 1/14-16 **COMDEX SCANDINAVIA**
Swedish Exhibition and Congress Centre, Goteborg, Sweden
Key3Media
<http://www.key3media.com/international/events/index.php?d=scandinavia&s=welcom>
- 1/27-30 **COMNET Conference & Expo**
Washington Convention Center, WA, USA
IDG
<http://www.comnetexpo.com/comnetexpo/V33/index.cvn>
- 2/4-6 **Digital Content Delivery Expo**
San Jose Convention Center, San Jose, CA, USA
PBI Media
<http://www.replitech.com/>
- 2/9-13 **International Solid-State Circuits Conference**
San Francisco Marriott Hotel, San Francisco, CA, USA
IEEE
<http://www.isscc.org/isscc/>

国内イベント

- 1/19-23 **International Micro Electro Mechanical Systems Conference**
国立京都国際会館(京都府京都市)
IEEE
<http://mems.kaist.ac.kr/mems2003/>
- 1/21-24 **ASP-DAC 2003 (Asia and South Pacific Design Automation Conference 2003)**
北九州国際会議場(福岡県北九州市)
日本エレクトロニクスショー協会
<http://www.aspdac.com/indexj.html>
- 1/22-24 **電子コンポーネント EXPO**
東京国際展示場(東京ビッグサイト, 東京都江東区)
リードエグジジションジャパン
<http://web.reedexpo.co.jp/ed/>
- 1/30-31 **Electronic Design and Solution Fair 2003**
パシフィコ横浜(神奈川県横浜市)
日本エレクトロニクスショー協会
<http://www.edsfair.com/frame.html>
- 2/5-7 **NET&COM 2003**
日本コンベンションセンター(幕張メッセ, 千葉県千葉市)
日経 BP 社
<http://expo.nikkeibp.co.jp/netcom/exhibit2003/>
- 2/12-14 **ISS Japan 2003 (Industry Strategy Symposium Japan)**
パンパシフィックホテル横浜(神奈川県横浜市)
SEMI
http://www.semi.org/web/japan/wexpositions.nsf/url/iss03_j
- 2/26-28 **IP.net JAPAN 2003**
東京国際展示場(東京ビッグサイト, 東京都江東区)
リックテレコム
<http://www.ric.co.jp/expo/ip2003/index.html>

開催日, イベント名, 開催地, 問い合わせ先の順

日程はすべて予定です。問い合わせ先にご確認のうえ, お出かけください。

セミナー情報

- 第1回組込みソフトウェアに関する教育・育成ワークショップ
開催日時 : 1月10日(金)
開催場所 : 日本規格化協会(東京都新宿区)
受講料 : 10,000円
問い合わせ先 : 組込みソフトウェア管理者・技術者研究会(CESSAME),
sessame@blues.tqm.t.u-tokyo.ac.jp
<http://blues.tqm.t.u-tokyo.ac.jp/esw/opensessame/>
- E Rモデルによるデータベース設計技法～基礎から実践演習まで～
開催日時 : 1月15日(水)～1月16日(木)
開催場所 : SRC セミナールーム(東京都高田馬場)
受講料 : 79,600円
問い合わせ先 : (株)ソフト・リサーチ・センター, ☎(03) 5272-6071
http://www.src-j.com/seminar_no/23/23_009.htm
- ステートマシンの設計技術
開催日時 : 1月17日(金)～1月18日(土)
開催場所 : CQ 出版セミナールーム
受講料 : 25,000円
問い合わせ先 : エレクトロニクス・セミナー事務局, ☎(03) 5395-2125
- 無線 LAN の動向と新技術
開催日時 : 1月20日(月)
開催場所 : オームビル(東京都千代田区)
受講料 : 49,500円(1口で1社3名まで受講可)
問い合わせ先 : (株)トリケップス, ☎(03) 3294-2547, FAX(03) 3293-5831
<http://www.catnet.ne.jp/triceps/sem/c030120n.htm>
- 画像処理システム開発技術
開催日時 : 1月21日(火)～1月23日(木)
開催場所 : 高度ポリテクセンター(千葉県千葉市)
受講料 : 30,000円
問い合わせ先 : 雇用・能力開発機構 高度ポリテクセンター事業課,
☎(043) 296-2582 http://www.apc.ehdo.go.jp/seminar/jyohousub_out/syousai/02IIW22053.html
- Windows リアルタイム拡張による計測・制御
開催日時 : 1月22日(水)～1月23日(木)
開催場所 : 高度ポリテクセンター(千葉県千葉市)
受講料 : 35,000円
問い合わせ先 : 雇用・能力開発機構 高度ポリテクセンター事業課,
☎(043) 296-2582 http://www.apc.ehdo.go.jp/seminar/jyohousub_out/syousai/02IIW22082.html
- はじめての HDL
開催日時 : 1月23日(木)
開催場所 : CQ 出版セミナールーム
受講料 : 13,000円
問い合わせ先 : エレクトロニクス・セミナー事務局, ☎(03) 5395-2125
- 車載用半導体デバイスの技術開発動向と信頼性技術
開催日時 : 1月24日(金)
開催場所 : オームビル(東京都千代田区)
受講料 : 52,500円(1口で1社3名まで受講可)
問い合わせ先 : (株)トリケップス, ☎(03) 3294-2547, FAX(03) 3293-5831
<http://www.catnet.ne.jp/triceps/sem/c030124n.htm>
- DC-DC コンバータ設計の基礎
開催日時 : 1月30日(木)
開催場所 : CQ 出版セミナールーム
受講料 : 13,000円
問い合わせ先 : エレクトロニクス・セミナー事務局, ☎(03) 5395-2125
- オシロスコープ入門(1日コース)
開催日時 : 1月30日(木)～1月31日(金)
開催場所 : 日本テクニクス(東京都品川区)
受講料 : 20,000円
問い合わせ先 : 日本テクニクススクール窓口, ☎(03) 3448-3015
<http://www.tektronix.co.jp/News/School/main.html>
- 無線 LAN 構築・運用のトラブルシューティング
開催日時 : 1月30日(木)～1月31日(金)
開催場所 : SRC セミナールーム(東京都高田馬場)
受講料 : 76,000円
問い合わせ先 : (株)ソフト・リサーチ・センター, ☎(03) 5272-6071
http://www.src-j.com/seminar_no/23/23_019.htm
- 半導体製造装置入門
開催日時 : 1月31日(金)
開催場所 : CQ 出版セミナールーム
受講料 : 13,000円
問い合わせ先 : エレクトロニクス・セミナー事務局, ☎(03) 5395-2125
- リアルタイム OS の基礎
開催日時 : 2月6日(木)
開催場所 : CQ 出版セミナールーム
受講料 : 13,000円
問い合わせ先 : エレクトロニクス・セミナー事務局, ☎(03) 5395-2125
- Linux デバイスドライバ開発入門
開催日時 : 2月7日(金)
開催場所 : CQ 出版セミナールーム
受講料 : 13,000円
問い合わせ先 : エレクトロニクス・セミナー事務局, ☎(03) 5395-2125

読者の広場



Interfaceへの声

2002年12月号特集
「多国語文字コード処理&国際化の
基礎と実際」に関して

▷今回はI/F誌に期待している内容からは
かけ離れていましたが、他誌では取り上げ
られそうにないので、役に立ちました。
SWIGの記事も参考になりました。(arts)
▷国際化にはいろいろと取り決めなければ
ならない問題が多くてたいへんだというこ
とがよくわかりました。また、Linuxにお
いては、日本の方が大勢努力していらっ
しゃることに驚きました。(玉出のタマ)
▷今回、MS-DOS時代に経験した文字コー
ド以来、このような領域は初めて見たとい
う状態です。Windowsになってからは深
く経験していないので、今回の特集で興味
をもったというのが本音です。文字コード
の変換という意味で感動したといえ、10
年近く前に中国へ出張した際、現地の電子
タイプライタの文字変換を発音表記で入力
し、漢字に変換する方法をとっていると聞
き、なるほどと思ったことを思い出します。
(匿名希望)

▷いつも悩まされる文字コードの特集を、

ここまでよくまとめたなあというのが率直
な感想です。Mookとして出版してもらっ
ても良いのではないかと思います。

(JR9JUK)

▷特集は、多くのトピックについて触れら
れており、読み物として楽しめ、今後
の参考になると思う。また、多くの参考資
料がURIで紹介されたのは時代の流れかとも
思った。個人的にはLi18nuxにおける既
存ソース/ライブラリとの運用上の注意点
などを実例を含めてまとめてあればと思っ
た。今後の記事に期待します。(信)

▷ソフトウェアの国際化ですが、日本が対
応をせまられるばかりではつまりません。
逆に自信のあるソフトウェアは、インター
ネットからアクセスできなくし、日本語版
のみしか作らないという具合にできないで
しょうか。「欲しかったら出すもの出して
買いに來い」というわけです。記事とは相
反するようですが、これぐらいのことがい
えるソフトウェア(ハードウェア?)を作っ
てみたいものです。(H²)

▷コード系の特集は良いのですが、実際、
Windowsなどの各種ブラウザでは、日本
語ファイル名のファイルがダウンロードで
きないので、使い勝手が悪い。なぜ、ワー
ルドワイドなのに、そのようなことが起こ
るのか、今後どうなるのかも含めて特集し
てほしかった。(てんりん)

その他

▷最近、組み込みシステムの仕事からは離
れていますが、この分野についての情報は
I/F誌だけなので、毎月購読しています。
「開発者のためのアセンブラ入門」と「組み
込みプログラミングノウハウ入門」は、プ
ログラミング入門シリーズの中に加えてく
ださい。(帰ってきた青年実業家)

▷『ネットワーク向け3D規格「XVL」の概
要』は、とても勉強になりました。ネット
ワーク向けの3D規格があるのさえ知りま
せませんでした。Webはまだまだ2Dなので、
3Dで物の形状がわかるようになると良い
ですね。(福沢陽介)

▷ずっとプログラム作成から離れていたの
で、なかなか昔の勘が戻ってきません。読
んでいてもまだまだわからないことが多い
のですが、少しずつ前に進んでいます。客
先のプレゼンを行ううえで、XVLの記事は
とても参考になりました。設計・製造のレ
ベルだけに使うのみではなく、客先の購入
意欲をそそるためにも十分に有効なツール
だと思います。(まだ浦島太郎)

▷「ハッカーの常識的見聞録」は、毎月読ん
でいて、「よくまあこれだけ」と、妙に感
心してしまいます。しかし、これが本当に
「常識」なんでしょうか?(観空)



特集担当デスクから

☆何年前だったでしょうか、無線LAN対応機器を使ったインテグレーションをやっておられる会社に伺って打ち合わせさせていただいたのは、そのときは、無線LANを工場内の自走システムなどに積み、通信させて……といった話で、異機種との相互接続性などは、有線LANではあったけれど無線では課題ですねえ、といった感じでした。ところがあという間に、ADSLを代表とするブロードバンド化の流れとともに、IEEE 802.11b対応ワイヤレスルータなどが、家庭にまで入り込んできました。ペンダの方とお話すると、相互接続もおおむね問題ないといわれます。☆しかし、今月の特集第1章でも言及されていますが、無線LANについ

て、機器の設定などの情報は多くあるのに、技術や標準化動向などが解説されたドキュメントは意外と少ないというのが現状です。さまざまな可能性の拓ける分野でもあり、多くの技術者の興味をひけるのではと思って特集を企画しましたが、いかがだったでしょうか。

☆また、この分野の開発はどんどん加速化している感じがします。かなり普及してきたといえるIEEE802.11bでは最高伝送速度11Mbpsがうたわれていますが、54MbpsのIEEE802.11a対応機器が発売され、さらに100Mbps以上を実現するUWBや60GHz帯を使う伝送についても、さまざまな研究プロジェクトがたちあがっています。

アンケートの結果

興味のある記事
(2002年12月号で実施)

- ① 第3章 文字コードの変換の実際
- ② 第2章 多漢字問題と TRON コード
- ③ 第1章 文字コードの理論と実際
- ④ 第4章 Linux における多国語対応の実際
ー I18N/L10N/G11N/M17N
- ⑤ ネットワーク向け3D規格「XVL」の概要
- ⑥ JPEG2000/Motion-JPEG2000の技術概要と
応用(後編)
- ⑦ 第5章 Qt をサンプルとした国際化の実際
- ⑧ フジワラヒロタツの現場検証(第65回)
- ⑨ 第6章 Windows CE .NET の国際化対応の
概要
- ⑩ フリーソフトウェア徹底活用講座(第4回)
- ⑪ シニアエンジニアの技術草子(武拾式之段)
- ⑫ Appendix ソフトウェア国際化プロセスの
事例
- ⑬ 開発環境探訪(第14回)
- ⑭ 開発技術者のためのアセンブラ入門(第13
回)
- ⑮ 組み込みプログラミングノウハウ入門(第7

回)

- ⑯ プロセッサコア「Xtensa」によるソフトウェ
ア主体の設計手法(前編)
- ⑰ ハッカーの常識的見聞録(第24回)
- ⑱ 第4回自動認識総合展
- ⑲ NEW PRODUCTS
- ⑳ Show & News Digest

特集「多国語文字コード処理&
国際化の基礎と実際」についての
アンケートの結果Q1 ふだんソフトウェアを作成するときに国
際化を意識していますか？

- ① している (20%)
- ② していない (80%)

Q2 (Q1で①と答えた方にお伺いします)国際
化ソフトウェアを作成するうえで、ど
のようなことに注意していますか？(複数回
答可)

- ① Unicode の使用 (60%)
- ② ISO10646 の使用 (0%)

- ③ TRON コードの使用 (20%)
- ④ ロケールへの対応 (20%)

Q3 国際化に関連した記事で、どのような記
事をご希望ですか？

- 国際化を意識するとき、その地域でのソフ
トウェア環境が問題になると思います。し
たがって、EU、北米、アジアなど、地域的
なソフトウェアの傾向についての記事があ
ればよい
- 日本語の文化的な問題と、文字コードの整
合性
- 世界中が欲しがらるソフトウェア(ゲーム以
外)の情報があまりないので、ぜひ取り上げ
てほしい。「ない」なら「ない」ではっきりと
書いても良いと思う



Interface 年間予約購読のお知らせ

Interface を確実にお手元にお届けする年間予約購読をご利用く
ださい。

Interface : 毎月25日発売

(年4回CD-ROM付き特別号/年4回付録付き特別号)

年間予約購読料金: 10,800円

※予約購読料金の中には年間の定価合計金額および送料荷造り費
用が含まれます。

● 申し込み方法

お申し込みは、FAXで下記までご通知ください。お申し込み便利な
「年間予約購読申込書」をWeb上でも公開しています(<http://www.cqpub.co.jp/hanbai/nenkan/nenkan.htm>)。こちらをご利用くだ
さい。

お支払い方法は、クレジットカード・現金書留・郵便振替・銀行振込が
ご利用になれます。

お申し込み受け付け後、請求書を発送いたします。

● 年間予約購読の申し込み先

CQ出版株式会社 販売局 販売部

TEL: 03-5395-2141 FAX: 03-5395-2106

ICカード技術
の基礎と応用2003年3月号は
1月25日発売です

MULTOS/NICSS/eTRON/ASEPcos/Felica/JavaCard

これまで使用されてきた磁気カードや、本誌で解説を行ってきたメモリカードに加えて、ICカードが注目を集めている。単なる記憶装置にすぎなかった磁気カードやメモリカードと比べ、ICカードはその内部にCPUとメモリを搭載している。なおかつ、その中でOSを動作させたうえでセキュリティレイヤを搭載し、アプリケーションソフトウェアを動作させることにより高いセキュリティを実現している。また、ICカード用OSとしてもさまざまなものが発売され、さらに非接触カードと接触カードでは使用されるハードウェアが異なる。

そこで本特集では、ICカードアプリケーションを作成するにあたって必要とされる基礎知識から、ハードウェア、OS、アプリケーション、セキュリティの確保にいたるまでを徹底的に解説する。

編集後記

■ Embedded Technology 2002, 反省点を残しつつも無事に終わりました。ビッグサイト(東京)からパシフィコ(横浜)に移り、皆さん来ていただけるか少々心配だったのが、蓋を開けてみると多くの人に来場いただき、ありがとうございます。技術現場の人が直接会っている語れる「現実の」場の必要性は高まっていると思います。(洋)

■ 「風邪を引いて寝ていた」とは、よく使われる表現だが、正確にはちょっと違うと思う。厳密には「風邪を引いてしまったので、布団を敷いて寝ていた」が正しいのではないのだろうか。単なる言葉遊びと思われるかもしれないが、じつはその通り! 風邪で発熱中なので、この程度の事しか考えられないのだ。この季節、ご自愛あれ。(=IO)

■ モノクロ再生ビデオは前も書きましたが、最近ではもう1台のビデオもイジェクトの調子が悪いわ中でテープをかんだりするわ.....フタを開けてみても調整できそうな部分もなし..... R/RWかRAMかHDD、はたまた融合機を買うか.....青いのはまだ先みたいだなあ。メディアも悩むがチューナ側も悩む物.....地上波デジタルはいつ?(M)

■ もともと貨物線だったところに埼京線走らせて、湘南・新宿ラインを乗り入れたうえにりんかい線まで走らせませんか.....複雑なダイヤを構築するだけでも大変なのに、日々これを運用していかなければならない、と考えると気が遠くなります。頑張ってください。(み)

■ 本誌の場合、「組み込み」あるいは「エンベデッド」がキーワードである。最初はインテルが言い始めたらしく、CPUを機械に埋め込むということから使われたようだ。もっとたくさんCPUを使ってくれ、ということだったのだが、今ではCPUのない製品の方が珍しい。最近、PC以外の製品を組み込み機器と呼んでいるようで、少し変な感じがする。(Y)

■ 不況ということもあり、少しでも明るい気持ちになれるようにと、デパートやホテルでは11月上旬からクリスマスイルミネーションを飾り付けていました。TVで見ると「綺麗だな」とは思うのですが.....今年はイルミネーションを見ながら気持ちだけでも暖かい気分になりたいですね。(Y2)

■ 携帯電話の市場も価格とサービスの激しい競争に入り各社とも最新製品発表が短い時間で行われています。特に、画像表示をする機能を重点的に提案しています。中でも、動画を利用できるサービスを提供している携帯もあり、自動車の最高峰F1の中にも採用されているようです。今後は、身の回りのセキュリティを含めて利用範囲が広がり、数十年前のアニメに登場したような環境になるかもしれません。(S)

■ 親しらずを抜いた方がいいと、たまたま行くことになった大学付属病院で言われました。痛いわけじゃ無いんですよ! 歯茎から頭が出てきていないんです。でもその歯茎の中で止まっている状態が、かえって悪いらしい。親しらずの抜歯は未経験.....ただただ、脅えるばかりです。(A)

お知らせ

▶読者の広場

本誌に関するご意見・ご希望などを、綴じ込みのハガキでお寄せください。読者の広場への掲載分には粗品を進呈いたします。なお、掲載に際しては表現の一部を変更させていただくことがありますので、あらかじめご了承ください。

▶投稿歓迎

本誌に投稿をご希望の方は、連絡先(自宅/勤務先)を明記のうえ、テーマ、内容の概要をレポート用紙1~2枚にまとめて「Interface投稿係」までご送付ください。メールでお送りいただいても結構です(送付先はsupportinter@cqpub.co.jpまで)。追って採否をお知らせいたします。なお、採用分には小社規定の原稿料をお支払いいたします。

▶本誌掲載記事についてのご注意

本誌掲載記事には著作権があり、示されている技術には工業所有権が確立されている場合があります。したがって、個人で利用される場合以外は、所有者の許諾が必要です。また、掲載された回路、技術、プログラムなどを利用して生じたトラブルについては、小社ならびに著作権者は責任を負いかねますので、ご了承ください。

本誌掲載記事をCQ出版(株)の承諾なしに、書籍、雑誌、Webといった媒体の形態を問わず、転載、複写することを禁じます。

▶コピーサービスのご案内

本誌バックナンバーの掲載記事については、在庫(原則として24か月分)のないものに限りコピーサービスを行っています。コピー体裁は雑誌見開きの、複写機による白黒コピーです。なお、コピーの発送には多少時間がかかる場合があります。

●コピー料金(税込み)

1ページにつき100円

●発送手数料(判型に関わらず)

1~10ページ: 100円, 11~30ページ: 200円, 31~50ページ: 300円, 51~100ページ: 400円, 101ページ以上: 600円

●送付金額の算出方法

総ページ数×100円+発送手数料

●入金方法

現金書留か郵便小為替による郵送

●明記事項

雑誌名、年月号、記事タイトル、開始ページ、総ページ数

●宛て先

〒170-8461 東京都豊島区巣鴨1-14-2

CQ出版株式会社 コピーサービス係

(TEL: 03-5395-4211, FAX: 03-5395-1642)

▶お問い合わせ先のご案内

●在庫、バックナンバー、年間購読送付先変更に関して

販売部: 03-5395-2141

●広告に関して

広告部: 03-5395-2133

●雑誌本文に関して

編集部: 03-5395-2122

記事内容に関するご質問は、返信用封筒を同封して編集部宛てに郵送して下さるようお願いいたします。筆者に回送してお答えいたします。

Interface

©CQ出版(株) 2003 振替 00100-7-10665
2003年2月号 第29巻 第2号(通巻第308号)
2003年2月1日発行(毎月1日発行)
定価は裏表紙に表示してあります

発行人/蒲生良治

編集人/相原 洋

編集/大野典宏 村上真紀 山口光樹 小林由美子

デザイン・DTP/クニメディア株式会社

表紙デザイン/株式会社ブランニング・ロケッツ

本文イラスト/森 祐子 唐沢睦子

広告/澤辺 彰 中元正夫 渡部真実

発行所/CQ出版株式会社 〒170-8461 東京都豊島区巣鴨1-14-2

電話/編集部 (03) 5395-2122 URL <http://www.cqpub.co.jp/interface/>

広告部 (03) 5395-2133 インターフェース編集部へのメール

販売部 (03) 5395-2141 supportinter@cqpub.co.jp

CQ Publishing Co., Ltd./1-14-2 Sugamo, Toshima-ku, Tokyo 170-8461, Japan

印刷/クニメディア株式会社 美和印刷株式会社

製本/星野製本株式会社



日本 ABC 協会加盟誌
(新聞雑誌部数公表機構)

ISSN0387-9569

Printed in Japan